

0რ0ნე გოცირიძე

ბიოსამედიცინო ინჟინერია

6აშ.2



“საქართველოს ტექნიკური უნივერსიტეტი”

2013

შინაარსი

თავი 1. სისტემები ორგანოების და ქსოვილების ვიზუალიზაციისათვის .	.გვ. 3
თავი 2. დიაგნოსტირების რენტგენული სისტემები	გვ. 33
თავი 3. ულტრასონოგრაფია	გვ. 48
თავი 4. კომპიუტერული ტომოგრაფია	გვ. 60
თავი 5. დოპლეროგრაფიული დიაგნოსტიკის სისტემები.	გვ. 83
თავი 6. პლეტიზმოგრაფები	გვ. 124

თავი 1

სისტემები ორგანოების და ქსოვილების

გიზალიზაციისათვის

1.1. შესავალი

სამედიცინო დიაგნოსტიკურ პრაქტიკაში ხშირად აუცილებელია მიღებულ იქნას ცალკეული ორგანოების გამოსახულება, ასეთი გამოსახულების მიღება შესაძლებელია სპეციალური ხელსაწყოების-ტომოგრაფიების გამოყენებით. გამოკვლევების სხვადასხვა მიმართულებებმა, აღწარმოების სიზუსტემ, ადამიანის სხვადასხვა ორგანოების და სისტემების გამოკვლევების სპეციფიკამ, მოითხოვა სხვადასხვა სახის ტომოგრაფიების შექმნა. სადღეისოდ სამედიცინო ტექნიკა გამოირჩევა ორგანოების და ქსოვილების ვიზუალიზაციის ფართო საშუალებებით.

რენტგენული ტომოგრაფია იძლევა საშუალებას განვახორციელოთ Type equation here. ბიოობიექტის სხვადასხვა შრეების კვლევა, ტომოგრაფებში გამოიყენება გადასაღები ობიექტის და ფირიანი კასეტის სინქრონული ბრუნვის სისტემები, უძრავი რენტგენ

ნული მილაკის პირობებში. რთული ბიოლოგიური ობიექტის გამოკვლევისას (მაგ. ბრონქიალური ხე) ჩვეულებრივი ტომოგრაფიის საშუალებანი არ არის საკმარისი, რადგან რენტგენოგრამებზე გამოსახულებები ერთმანეთზე დაიტანება და ასეთ შემთხვევაში ხშირად შეუძლებელია თითოეული მათგანის ცალკე შესწავლა. ხარისხიან გამოსახულებას იძლევა რენტგენული ტომოგრაფია. მაგ. ფირმა “Medikur”-ის მიერ გამოშვებული კომპიუტერული ტომოგრაფი “Medekt-18” შეიძლება გამოყენებული იქნას მთელი სხეულის გამოკვლევისათვის. სკანირების დრო შეადგენს 18...45წ-ს და დამოკიდებულია გამოკვლევის მეთოდზე. ბიოობიექტიდან ინფორმაციის მოხსნის შემდეგ, იმავე დროს ჩნდება გამოსაკვლევი ორგანოს გამოსახულება, რაც მიიღწევა სპეციალური ელექტრონული ბლოკის საშუალებით, რომელიც დაკავშირებულია ეგზ-თან (ელექტრონულ გამომთვლელი მანქანა).

ფირმა “Siemens”-ის (გერმანია) მიერ დამუშავებული კომპიუტერული დანადგარი “Komatom-2”, უზრუნველყოფს მაღალ გარჩევისუნარიანობას რბილი ქსოვილების გამოსახვისას; ამასთან მიიღება განივი ანათლების

გამოსახულება, რაც აუცილებელია თავის ქალის დავადებების და ტრამვების დიაგნოსტიკისათვის. განსაკუთრებით მძიმე შემთხვევებში გამოსახულების ხარისხი შეიძლება გაუმჯობესდეს ინფორმაციის დამატებითი დამუშავებით კომპიუტერული სისტემის საშუალებით 6წ–ის განმავლობაში.

ხარისხობრივი გამოსახულების მიღებისათვის ხელსაწყო “Komatom-2”–ში, გამოიყენება გამოსხივების სისტემა მბრუნავი დეტექტორით. ამ მეთოდის გამოყენებისას გამოსხივების ყოველი იმპულსის მიღება ხდება დეტექტორული რკალის ყველა ელემენტების მიერ (გამოიყენება მაღალი მგრძნობიარობის მქონე დეტექტორების სისტემა ნახევრადგამტარულ კრისტალებზე). რენტგენული მილაკი გრაფიტული ანოდით უძლებს 25 სკანირებას (სიმძლავრე 750კვტ). სკანირების მაქსიმალური სიხშირის დროს (7სკანირება/წთ.) ანოდის დისკი არ გადამეტხურდება. მუდმივი ძაბვის გენერატორი, რომელიც კვებავს ანოდის წრედს იძლევა მაღალი ძაბვის სტაბილურ იმპულსებს. ეს აპარატი საშუალებას იძლევა ინფორმაცია შევინახოთ ციფრული ფორმით.

კომპიუტერული ტომოგრაფის საშუალებით შეიძლება გაკეთდეს დასკვნები ცალკეული ორგანოების ფუნქციონალური მდგომარეობის შესახებ (თირკმელები, გული და ა.შ.) “Komatom-2” დაპროექტებულია როგორც ერთიანი სისტემა, რომელიც შედგება სტანდარტული ელემენტების და შეცვლადი მოდულებისაგან, რომელიც შიცავს მასკანირებელ ბლოკს პაციენტების განსათავსებელი მაგიდით, მონაცემების მართვის და დამუშავების პულტს დისპლეებით და თვითაწყობად ფოტოკამერას, გამოსასვლელი სისტემით გამოსახულებების აგების, რეკონსტრუქციისა და ტომოგრამების დამუშავებისათვის.

ფირმა “Hitachi” (იაპონია) მიერ მოელი სხეულის კომპიუტერული ტომოგრაფიის სისტემა (მოდელი №-4, სერია 30), სკანირების დრო 2,8 წმ. გამოსახულების რეკონსტრუქცია ხორციელდება დაგროვებული მონაცემების მიხედვით. სწარფქმედი კომპიუტერის საშუალებით, რის შედეგადაც დრო სკანირებიდან გამოსახულების მიღებამდე შეადგენს დაახლოებით 18-77წმ. მკაფიო და ნათელი გამოსახულების მიღება უზრუნველყოფილია სკანირებით 360° -ის ფარგლებში და იმპულსების გამეორების მაღალი სიხშირით, რაც განაპირობებს დიდი რაოდენობის მონაცემების აკრეფას მრავალი მიმართულებით. გამოსახულების მატრიცა შედგება 320x320 ელემენტისაგან, შრის სისქე შეირჩევა 3.5 და 10 მმ.

ფირმა “Philips”-მა (ნიდერლანდები) დაამუშავა სისტემა “Politam”- 4, რომელიც აკმაყოფილებს ტომოგრაფიის გამოსახულების მაღალ მოთხოვნებს. გამოსახულების მაღალი ხარისხი ამ შემთხვევაში უზრუნველყოფილია სხივის ზუსტი მოძრაობით რკალის გასწვრივ, რაც შესაძლებელია სისტემის შტატივის სპეციალური კონსტრუქციის და ყოველი შრისთვის გამოსახულების მუდმივი ზრდის გამო. სისტემის ხისტი საფუძველი გამორიცხავს ვიბრაციას მუშაობის ნებისმიერ რეჟიმში. ჰიპოციკლოიდალური მოძრაობა, რომელიც ტომოგრაფიისათვის უჩვეულოა, გამოსახულების როული განშლით ხორციელდება 48^0 კუთხით. თუ მოძრაობა ხორციელდება ელიფსოიდის მიხედვით, მაშინ მოძრაობის მთავარი ღერძის ორიენტაცია შეიძლება შეიცვალოს, რაც იძლევა სშუალებას ცენტრირება მოხდეს საჭირო მიმართულებით: ასე მაგ. ხერხემლის ზურგისმიერი უბნის, მენჯ-ბარძაყოვანი არის კვლევისას. ამასთან შეიძლება განისაზღვროს მანძილი იმ შრიდან, რომლის ტომოგრაფიაც ხორციელდება, იმ მაგიდამდე, რომელზედაც მოთავსებულია პაციენტი. წრფივი ტომოგრაფია იძლევა კარგ შედეგს მცირე ექსპოზიციური პერიოდის და ბიოობიექტის შედარების მარტივი სტრუქტურის შემთხვევაში. იმისათვის, რომ უფრო მკაფიოდ იყოს განსაზღვრული დასწეულებული არე, სხივის მოძრაობა უნდა დაემთხვეს გამოკვლელვის ობიექტის ღერძის მიმართულებას. სისტემის რეგულირების მუშაობა მარტივდება მაფოკუსირებელი დიაფრაგმის გამოყენების გამო. ტომოგრაფიის ჩატარების დროს, გამოსაკვლევი უბნის ცენტრის თანახვედრა უნდა მოხდეს იმ წერტილთან, რომელის გარშემოც ტრიალებს რენტგენული მილაკი და კასეტა ფირთან ერთად. ამ სისტემაში გამოყენებულ რენტგენულ მილაკს აქვს მცირე ფოტუსი უფრო წვრილი ორგანოების და სტრუქტურების გამოსახულების მისაღებად. მბრუნავი გისოსი, რომელიც სხივის ღერძისმიერად ყენდება და უზრუნველყოფს ტომოგრაფიის მაღალ ხარისხს, საკონტროლო შრის სისქისაგან დამოუკიდებლად. ვიზუალიზაციის ეფექტურობის გასაზრდელად იყენებენ სატელევიზიო ფლუოროსკოპიულ მოწყობილობას. როგორც ცნობილია, ტომოგრაფიაში გამოსაკვლევი შრის სისქე და მიღებული გამოსახულების კონტრასტულობა ურთიერთკავშირშია, რის გამოც თხელი ფენების ტომოგრამები ნაკლებ კონტრასტულია. სანგრძლივი ექსპოზიცია, გამოკვლევების სანგრძლივობასთან ერთად, რაც აუცილებელია მაღალი კონტრასტულობის ტომოგრაფიული გამოსახულების სერიის მისაღებად, განსაზღვრავს რენტგენული მილაკის შერჩევას,

ფოკუსირება 0.6 და 1 მმ-ია. კლინიკურ პრაქტიკასა და სამედიცინო სისტემებში გამოყენება პპოვეს ულტრაბგერითი ლოკაციის მეთოდებმა, რომლებიც დამყარებულია დოპლერის ეფექტზე, რაც მდგომარეობს იმაში, რომ ულტრაბგერითი რხევები განსხვავებულად აირეკლება სხვადასხვა ბიოსტრუქტურებიდან, მაგრამ ისინი ვერ უზრუნველყოფენ მრავალგანზომილებიანი სივრცითი გამოსახულების მიღებას, ამიტომ განვითარდა მაღალგანზომილებიანი ლოკაციის მეთოდები, რაც დაფუძნებულია იმაზე, რომ ლოკაციის დროს არეკვლილი სიგნალები სინქრონულად მიიღება რამდენიმე წერტილში, რაც იძლევა მოძრაობის სიჩქარის ვექტორის შემადგენლების სივრცით განშლას, ბიოსტრუქტურებისაგან ულტრაბგერის გაბნევის დიფუზიური მდგენელების მდგრად მიღებას. ასეთი მოწყობილობები შეიცავენ ერთ მიმღებ-გადამცემ გარდამქმნელს, ორ დამატებით გარდამქმნელს, მაძლიერებელ არხებს და დამუშავების ბლოკს.

ამ ფირმის მიერ შემოთავაზებული აპარატურა იძლევა საშუალებას გაიზარდოს გამოსახულების მასშტაბი, გამოყენებულ იქნას სხივური კალამი გამოსაკვლევი ორგანოების და ქსოვილების ფართობის, პერიმეტრის და მოცულობის განსაზღვრისათვის.

ფირმა “Siemens”-მა ულტრაბგერითი დიაგნოსტიკისათვის გამოუშვა ხელსაწყო “Sonoline 800”. ეს აპარატი მრავალსაათიანი მუშაობის შედეგადაც კი არ მოითხოვს რეგულირებას. რადიოლოკაციური ტექნიკიდან აღებული “გამამრავლებელი ანტენის” მეთოდი უზრუნველყოფს გამოსაკვლევი ობიექტის მახლობელი ზონდიდან უცხო არეკვლილი სიგნალების გაცხრილვას. ხელსაწყოსათვის დამუშავებულია მაღალი ინტეგრაციის სპეციალური ინტეგრალური მოდულები, რომლებიც შესრულებულია ე.წ. ემიტერულ-შეუდლებული ლოგიკით, რაც იძლევა საშუალებას, ბევრად გაიზარდოს მონაცემების დამუშავების სიჩქარე ანალოგურ ხელსაწყოებთან შედარებით, სადაც გამოყენებულია მიკროპროცესორები. სხვადასხვა არხების სიგნალების ფოკუსირება აჯამვა და გამოსახულების საერთო წინასწარი მომზადება შეიძლება განხორციელდეს სწრაფქმედ ეგზ-ში, ამასთან მიკროპროცესორები არა მარტო ასრულებენ მართვის ამოცანებს, არამედ უზრუნველყოფენ გამზომ მოწყობილობებს მონაცემებით, ქმნიან ინფორმაციულ მასივებს. ამ ხელსაწყოს შეიძლება შეუერთდეს ერთდროულად ორი აპლიკატორი. საერთო გაძლიერება ერთი აპლიკატორით მეორეზე გადასვლის შემთხვევაში ავტომატურად

შეეთანხმება ახალ სიხშირეს, ასე, რომ გაძლიერების შემდეგი რეგულირება არ ხორციელდება. აპლიკატორების ფართო ნაკრების არსებობის გამო ხელსაწყო უნივერსალურია სონოგრაფიისათვის, ბგერითი სიხშირის დიაპაზონში 2.5 მგპ-დან 7 მგპ-დე.

ჰაიმორიტის დიაგნოსტიკებისათვის ფინური ფირმა "Oriola"-ს მიერ დამუშავებულია ულტრაბგერითი აპარატი "Sinuscan". მისი კვება ხორციელდება ცვლადი დენით (220 ვ. ძაბვა; სიხშირე 50 ჰც; მოხმარებული სიმძლავრე 10 ვტ; მუშა სიხშირე 1.3 მგპ). დიდი გამოყენება ჰპოვა ორგანოების და ქსოვილების ვიზუალიზაციის მეთოდმა, რომელიც დაფუძნებულია ბირთვულ მაგნიტურ რეზონანსის (ბმრ) გამოყენებაზე.

ბმრ-ის აპარატებში რენტგენული გამოსხივება გამორიცხულია. (განსხვავებით რენტგენული ტომოგრაფებისაგან). გაცილებით მაღალია გარჩევისუნარიანობა ულტრაბგერით აპარატურასთან შედარებით. ბმრ-ის მეთოდი დაფუძნებულია იმაზე, რომ სხვადასხვა ქსოვილების ატომების ბირთვებს, მათ შორის ბიოლოგიური ქსოვილებისას, აქვთ უნარი გამოასხივონ ელექტრომაგნიტური სიგნალები, რომელთაც შეუძლიათ გარეგან მაგნიტურ ველთან რეზონირება. ბმრ-ის არსი: შეიძლება გავარჩიოთ წყალბადის ატომი პლანერული მოდელის საშუალებით. რამდენადაც ტრაექტორიის განსაზღვრა ხდება ერთდროულად სხვა ფიზიოლოგიური პარამეტრების, მაგ. საშვილოსნოსშიდა წნევის განსაზღვრასთან ერთად. მუშაობის დოპლერის რეჟიმი სისტემაში ირთვება როგორც საშუალება, იმ სტრუქტურების მოძრაობების ჩასაწერად, რომელთა არეკვლის შესაძლებლობანი სუსტია.

სტატიურ და დინამიურ რეაქციაში ნაყოფის გამოსახულების ერთგანზომილებიანი და ორგანზომილებიანი აღწარმოების სკანერებს, აწარმოებს იაპონური ფირმა "Topson". ერთგანზომილებიანი გამოსახულება აღწარმოებულია ოსცილოსკოპზე, ორგანზომილებიანი კი სატელევიზიო მონიტორზე. გაზომვის შედეგები აისახება ციფრულ ინდიკატორზე. ამ ხელსაწყოში არის მიმდინარე დროის მთვლელი და ბგერითი სიგნალიზატორი.

სამედიცინო დიაგნოსტიკურ პრაქტიკაში ხშირად დგება აუცილებლობა მიღებულ იქნას ცალკეული ორგანოების გამოსახულება, ასეთი გამოსახულების მიღება შესაძლებელია სხვადასხვა სპეციალური რადიოლოგიური ხელსაწყოების – რენტგენული აპარატების, ტომოგრაფების, მაგნიტურ-რეზონანსული აპარატების გამოყენებით. გამოკვლევების

სხვადასხვა მიმართულებებმა, აღწარმოების სიზუსტემ, ადამიანის სხვადასხვა ორგანოების და სისტემების გამოკვლევების სპეციფიკამ მოითხოვა ამ მიმართულებით სხვადასხვა სახის აპარატურის შექმნა. სადღეისოდ სამედიცინო ტექნიკა გამოირჩევა ორგანოების და ქსოვილების ვიზუალიზაციის ფართო საშუალებებით.

მრავალი წლის მანძილზე მედიცინაში გამოსახულების შესანახ საშუალებად ფოტო ფირს იყენებდნენ. კომპიუტერული ტექნოლოგიების განვითარებამ საშუალება მოგვცა მიგვეღო სრულიად სხვა ხარისხის გამოსახულება, მისი შენახვის და გადაცემის აპარატურული და კომუნიკაციური საშუალებები.

კომპიუტერი და გამოსახულების ციფრული დამუშავება პირველად გამოიყენეს კომპიუტერულ ტომოგრაფიაში, რამაც რევოლუციური ბიძგი მისცა ამ სფეროს განვითარებას, კერძოდ გამოსახულების დამუშავებისა და მიღების საშუალებების განვითარებას. ახლა უკვე შესაძლებელი გახდა მონაცემების მიღება, მათემატიკური ოპერაციების შესრულება, გამოსახულების ფორმირებისათვის აუცილებელი მონაცემების გენერირება. ექიმებს მიეცათ შესაძლებლობა ორგანოების გამოსახულებაზე დაკვირვებოდნენ და აღენიშნათ დეტალები და მათი განსხვავებანი, შეენახათ და მოეძებნათ გამოსახულება, მიღებული გამოსაკვლევი ადგილებიდან და ეს ყველაფერი ფირის გარეშე.

ტელეფონს და ტელეკომუნიკაციის სხვა საშუალებებს, მაგ. ინტერნეტს, აქვს საერთო სტანდარტები გამოსახულების გადაცემისათვის, რაც საშუალებას გვაძლევს მყისიერად გადავიდოთ საჭირო გამოსახულება დიაგნოსტიკური ინფორმაციის მისაღებად. ფოტოგრაფიული, რენტგენოლოგიური, ულტრაბგერითი, რადიოიზოტოპური, სატელეგიზო და ყველა სხვა სისტემის გამოსახულების ფორმირება შეიძლება წარმოვიდგინოთ კამერის სახით, ხოლო ყველა ასეთი კამერით მიღებული გამოსახულება, შეზღუდულია გარჩევისუნარიანობით, ხმაურის დონით და ამპლიტუდური შეალით. მაგ. ფოტოგამოსახულება შეიძლება გავადიდოთ იქამდე, სანამ იგი არ გახდება ძალიან „მარცვლოვანი,” ეს მარცვლოვნება ზღუდავს გარჩევისუნარიანობას და განსაზღვრავს ხმაურის დონეს. რენტგენული გამოსახულება შეზღუდულია გარჩევისუნარიანობის მიხედვით - რენტგენული გამოსხივების წყაროს ზომებით, ხოლო ხმაურის მიხედვით - სხივის ინტენსიურობით. ულტრაბგერითი გამოსახულების შეზღუდვა განისაზღვრება კუთხური გარჩევისუნარიანობით, გარდამქმნელის უნარით განასხვავოს ცრუ

სიგნალი ჭეშმარიტისაგან ან ხმაურისაგან. რაც შეეხება სატელევიზიო გამოსახულებას, იგი შეზღუდულია კამერის მგრძნობიარე ელემენტის ელექტრონული მეხსიერების მოცულობით.

გამოსახულების თვისება შეიძლება გამოვიკვლიოთ ისე, რომ ყურადღება არ მივაქციოთ კამერას, რომლის დახმარებითაც იყო ის მიღებული. კამერა შეიძლება ჩავთვალოთ მოწყობილობად, რომლითაც გამოსახულება გადაეცემა ერთი ზედაპირიდან მეორეს. ის შეიძლება წარმოვიდგინოთ, როგორც გადამცემი არხი, რომელშიც გაივლის ყველა გამოსახულებიდან გამომავალი სიგნალი, იმისთვის რომ შემდეგ მოხდეს მისი გამედავნება - მივიღოთ მისი საბოლოო გამოსახულება (სახე). შესაბამისად ნებისმიერი კამერა, სატელევიზიო, რენტგენოლოგიური, როგორც სხვა ნებისმიერი მოწყობილობა, რომელიც ქმნის გამოსახულებებს შეიძლება აღვწეროთ სიგრცითი გადამცემი ფუნქციის დახმარებით.

12. გამოსახულების საიზორმაციო მოცულობა.

გამოსახულებაში ინფორმაციის რაოდენობა - „ინფორმაციული მოცულობა”, უმეტეს შემთხვევაში განისაზღვრება მისი დისკრეტული ელემენტების რაოდენობის გამრავლებით თითოეული პიქსელის ამპლიტუდის რიცხობრივ რაოდენობაზე, მაგრამ ამისათვის აუცილებელია, შეირჩეს რომელიმე მეთოდი პიქსელების ზომების განსაზღვრისათვის. პიქსელების ზედდების გამო შეუძლებელია მათი ზუსტად გაყოფა. პიქსელი (picture element ან picture cell) ეს არის გამოსახულების ელემენტი, რასტრულ გრაფიკაში ორგანზომილებიანი ციფრული გამოსახულების უმცირესი ლოგიკური ელემენტი. პიქსელი არის გაუყოფადი, მართკუთხოვანი ობიექტი, ჩვეულებრივ კვადრატული ან წრის ფორმის, რომელსაც აქვს განსაზღვრულ ფერი. რასტრული კომპიუტერული გამოსახულება შედგება პიქსელებისაგან, რომლებიც განლაგებულია სტრიქონების და სვეტების მიხედვით. რაც უფრო მეტია ფართობის ერთეულზე პიქსელების რაოდენობა, მით უფრო დეტალურია იგი. რასტრული გამოსახულების თითოეული პიქსელი – ეს არის ობიექტი, რომელიც სასიათდება გარკვეული ფერით, რუხი ფერის სხვადასხვა გრადაციით. ერთ პიქსელს შეუძლია შეინახოს ინფორმაცია მხოლოდ ერთი ფერის შესახებ. პიქსელი ასევე არის რასტრული გამოსახულების უმცირესი ერთეული, რომელსაც დებულობენ ინფორმაციის გამოგანის გრაფიკული სისტემების (კომპიუტერების მონიტორები, პრინტერები და ა.შ.)

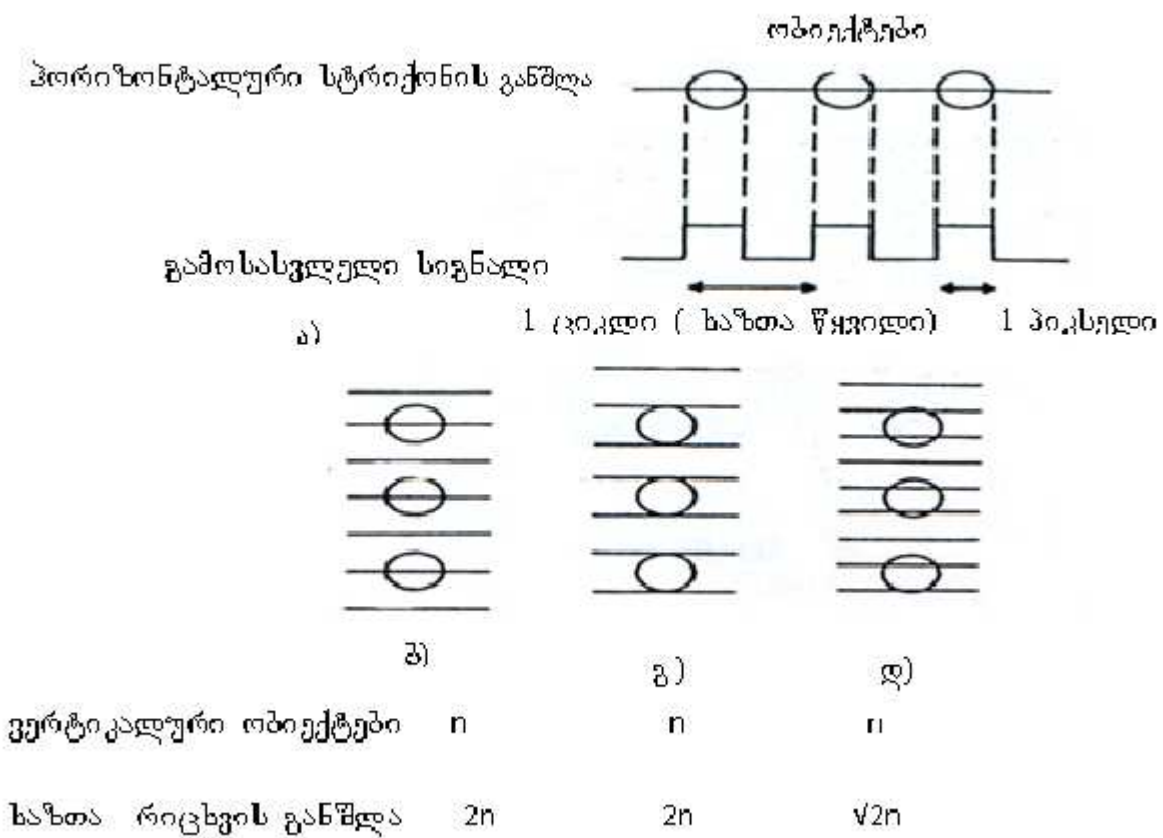
საშუალებით. ასეთი მოწყობილობების გარჩევისუნარიანობა განისაზღვრება გამოტანილი გამოსახულების პორიზონტალური და ვერტიკალური ზომებით პიქსელებში. ფერად მონიტორებზე ასახული პიქსელები შედგება ტრიადებისაგან (სუბპიქსელები წითელი, მწვანე და ლურჯი ფერის). გარჩევისუნარიანობა ეს არის ეკრანის ზომა წერტილებში, ე.წ. პიქსელებში.

ნებისმიერი წარმოშობის ხმაური, რითაც არ უნდა იყოს ის გამოწევეული, ფოტოგრაფიის მარცვლოვნებით, ელექტრული მუხტის ან სტატისტიკური ფლუქტუაციის ქვანტების რაოდენობის გამო (სინათლე, რენტგენული ან გამა-სხივები), ზღუდავს გაძლიერებას, რომელიც შეიძლება გამოვიყენოთ არსზე. როგორც წესი, ითვლება რომ ამპლიტუდის გრადაციის რიცხვი არსზე ტოლია გაზომვის შედეგად მიღებული სიდიდის – ფარდობა სიგნალი/ხმაური (ფსხ). არხის ხმაურის ფაქტორი განისაზღვრება, როგორც ფარდობა თეორიული ფსხ (ანუ მაქსიმალურად შესაძლებელი მნიშვნელობა) გაზომვის შედეგად მიღებული ფსხ სიდიდესთან.

გამოსახულება შეიძლება განვიხილოთ, როგორც განსაზღვრული ზომის ზედაპირი, რომელზეც დატანილია სივრცული გარჩევისუნარიანობა, რომელიც იზომება წყვილი ხაზების რიცხვით მილიმეტრზე (წყ.ხაზ/მმ). გარჩევისუნარიანობის ასეთი განსაზღვრისას შემთხვევაში გამოსახულებაზე ობიექტები და მათ შორის მანძილები ერთმანეთის ექვივალენტურად ჩაითვლება. მაგალითად, იმისათვის, რომ გამოვსახოთ სპილენძის ბადის ყველა ნახვრეტი და ყველა ხლართი, თუ მას აქვს 10 ასეთი ნახვრტი 1 სმ² ფართობზე ან 100 ნახვრეტი 1 სმ², სისტემას უნდა ქონდეს გარჩევისუნარიანობა უკიდურეს შემთხვევაში 1 წყ.ხაზ/მმ ან 2 პიქსელი/მმ-ზე, ვინაიდან ცალკეული ობიექტის და მონაკვეთის დასარეგისტრირებლად მოითხოვება არა უმცირეს 2 (ორი) წყვილი ხაზისა (2 პიქსელი) თითოეულ დერძზე მათი სხვა ობიექტებისაგან გამოსაყოფად.

სურ.1.2.1. ნაჩვენებია როგორ შენდება, იქმნება სატელევიზიო კადრში მრგვალი ობიექტების მიმდევრობის, რიგის გამოსახულება. პირველ პრობლემას წარმოადგენს სატელევიზიო კადრების ხაზების რიცხვის ზუსტი განსაზღვრა. დავუშვათ, რომ სატელევიზიო სკანერი მოიცავს გადამწოდსაც, რომელიც ითვლის გამოსახულებების ერთ ხაზს, შემდეგ გადავა მეორე ხაზზე და ა.შ. მანამ, სანამ გამოსახულება არ იქნება მთლიანად დასკანირებული ჩავთვალოთ რომ გადამწოდიდან გამოსული სიგნალი მიეწოდება სინათლის პროექტორს, რომელიც, საწყისი გამოსახულების აღსაღენად მოდულირებულ

სინათლის სხივის კონას აგზავნის ფოტო ფირზე. პირველ რიგში აუცილებელია სკანირების დროს ერთმა ხაზმა მაინც გაიაროს ამ მრგვალ ობიექტში. ჩავთვალოთ, რომ თუ ობიექტი თეთრია გადამწოდიდან გამომავალი სიგნალი იქნება დადებითი, თუ მუქი – უარყოფითი. თეთრი ობიექტების და მუქი შუალედების მიმდევრობაში ყოველი ობიექტი წარმოდგენილი იქნება სიგნალის დადებითი ნახევარპერიოდით, ყოველი შუალედი - უარყოფითი ნახევარპერიოდით. ზოგადად ობიექტების რეგისტრაციისთვის საჭიროა ერთი მთლიანი ციკლი დაწყებული სივრცითი სისშირის გასაშვები ზოლიდან, თვითონ ტბიექტებისათვის - დადებითი ნახევარპერიოდი და უარყოფითი ნახევარპერიოდი – ობიექტებს შორის შუალედისათვის.



სურ.1.2.1.

- (ა) თითოეული ობიექტი შედგება ერთი პიქსელისაგან, და გამოსასვლელი სიგნალის თითოეული ციკლი შედგება 2 პიქსელისაგან. (ბ) n ვერტიკალური ობიექტებისათვის საჭიროა $2n$ სტრიქონი. (გ) თუ ობიექტები განლაგებულია

განშლის ხაზებს შორის $2n$ ხაზი არ არის საკმარისი (დ) საკმარის გარჩევისუნარიანობას იძლევა მხოლოდ $2n\sqrt{2}$ სტრიქონი.

გერტიკალური ღერძის მიხედვით ობიექტების ყველა მიმდევრობისათვის აუცილებელია განშლის ერთი სტრიქონი. კიდევ ერთი სტრიქონი აუცილებელია რიგებს შორის მანძილების დასარეგისტრირებლად. ნებისმიერ რეალურ სისტემაში არ შეიძლება წინასწარ ვიცოდეთ ობიექტების განლაგება განშლის სტრიქონის მიმართ.

იმისათვის რომ გავაკეთოთ შესწორება შემთხვევითობაზე, ხაზების რიცხვი კადრში უნდა გავადიდოთ – $\sqrt{2}$ -ჯერ. ობიექტების საერთო რაოდენობა მეხსიერების ველზე ტოლია n^2 . ამასთან ვთვლით, რომ გერტიკალურ ხაზზე განაწილებულია n რაოდენობა ობიექტებისა. იმისათვის, რომ უზრუნველყოთ ალბათობა თითოეული აღმოჩენილი ობიექტისა და მათ შორის მანძილისა, სისტემაში აუცილებელია გვქონდეს დაახლოებით $2n\sqrt{2}$ ბრუნვის ხაზი. თუ კადრის საზღვრებში ობიექტების რაოდენობა უდრის n^2 , გამშვებ ზოლში საჭიროა როგორც მინიმუმ n რაოდენობის ციკლი, რათა გვქონდეს საჭირო გარჩევისუნარიანობა ამ ობიექტების რეგისტრაციისათვის განშლის ყველა ხაზში. ამგვარად, გამოსახულების სრული გატარების ზოლი უნდა შედგებოდეს $2n^2\sqrt{2}$ ციკლისაგან.

ობიექტები და მათ შორის მანძილები მნიშვნელობით ექვივალენტურია. პიქსელი შეიძლება განისაზღვროს, როგორც ნაწილი გამოსახულების ზედაპირისა, რომლის ზომაც ჰორიზონტალური მიმართულებით ტოლია გამტარი ზოლის ნახევრის ჰორიზონტალური ღერძის მიხედვით, ხოლო ზომა გერტიკალურად ანალოგიურია სიდიდით. ჩვეულებრივად პიქსელის ზომას არჩევენ ისე, რომ ის იყოს ტოლი ობიექტის უმცირესი ზომისა, რომლისგანაც შემდგარია გამოსახულება. ეს არ ნიშნავს, რომ ობიექტი, რომელსაც აქვს პიქსელზე ნაკლები ზომა, არ იქნება გარჩევადი. ამით უფრო ხორციელდება ობიექტის გამოსახულების ზომის მიწოდება, განსაზღვრა, რომლისთვისაც ინახება ინფორმაცია ამპლიტუდის შესახებ. მცირე ობიექტის ამპლიტუდა საშუალოვდება პიქსელის ზომის მიხედვით, ამიტომ ინფორმაცია მის შესახებ იქნება დამახინჯებული. მაგალითად: თუ სისტემას ექნება პიქსელის ზომები, რომელიც შეესაბამება $0,5$ მმ და მისი დახმარებით გამოვიკვლევთ $0,10$ მმ-იან

კოლფრამის მავთულს, მაშინ მავთულის გამოსახულებას ექნება 0,5 მმ დიამეტრი და მას ექნება ნაკლებად მკაფიო კონტრასტი.

სატელევიზიო სისტემის გატარების ზოლის სიგანე Δf გამოისახება

$$\Delta f = \frac{n_h n_v 2\sqrt{2}}{F_h F_v T} \quad (1.2.1)$$

n_h = ობიექტების მაქსიმალური რიცხვი პორიზონტალურ ხაზე;

n_v = ობიექტების მაქსიმალური რიცხვი ვერტიკალურ ხაზე;

F_h = დახარჯული დროის წილი, გამოსახულების პორიზონტალურად სკანირების ფორმირებისას

F_v = დახარჯული დროის წილი გამოსახულების ვერტიკალურად სკანირების ფორმირებისათვის;

T = კადრის სკანირებაზე დახარჯული სრული დრო

მაგალითი 1 .

აშშ-ს სტანდარტულ საკაბელო სატელევიზიო სისტემას აქვს 240 ობიექტი პორიზონტალური და 180 ვერტიკალური მიმართულებით. $F_h = 0.82$, $F_v = 0.92$, $T = 1/30$ წ. გამოთვალეთ გამშვები ზოლის სიგანე

$$\text{პასუხი: } \Delta f = (240)(180)(2)(2)^{\frac{1}{2}} / (0.82)(0.92)(\frac{1}{30}) = 4.85MgH(\text{გვ.3}).$$

თავი 2

13. ბამოსახულების ხმაური

ყველა გამოსახულებას აქვს შეზღუდვები, განსაზღვრული შეფერხებით (ხმაური) და სივრცითი გარჩევისუნარიანობით. თუ გამოსახულებას ცალკეულ ნაწილებად დავშეძით, თანდათანობით შევამცირებთ მის ზომებს, მალევე შევამჩნევთ, რომ გამოსახულებას აქვს მინიმალური ზომის ელემენტი. სხვა სიტყვებით ლინზა ან სკანირების სისტემა გვაძლევს ელემენტების მინიმალურ ზომას, რომელზედაც ჩვენ შეგვიძლია განვალაგოთ გამოსახულება. შემდეგში, ჩვენ შეგვიძლია ვთქვათ, რომ ამ განლაგებულ მცირე ელემენტებზე გამოსახულება “არის“ ან “არ არის.“. “არის“ ან “არ არის“ ასეთი მიდგომა შეიძლება გამოვიყენოთ ვერცხლის მარცვლებისადმი რომლებიც არის ფოტოფირში. ის ასევე გამოყენებადია იმ ელექტრონების კონის განხილვისას, რომლებიც ახდენენ ელექტრულ - სხივური მილაკების ლუმინოფორის დაბომბვას. (ლუმინოფორი წარმოდგება სიტყვებისაგან lumen –სინათლე და phoros — მატარებელი — ნივთიერება, რომელსაც აქვს უნარი მის მიერ შთანთქმული ენერგია გარდაქმნა სინათლის გამოსხივებაში ანუ ლუმინესცირებს). ეს კონა არ ითვლება უწყვეტად, არამედ შედგება დისკრეტული ელემენტებისაგან. ლუმინოფორის ნაწილაკები განსხვავდებიან ზომებით და აქვთ სხვადასხვანაირი დასხივების ალბათობა. დიდი ზომის ელემენტის გამოსახულებას შეიძლება ჰქონდეს ნებისმიერ ამპლიტუდა (ნაცრისფერი ფერის გრადაციები), რომელიც შეიძლება დავახასიათოთ

დისკრეტული ციფრით. ეს კიდევ ერთი შესაძლებლობაა ვაჩვენოთ, რომ გამოსახულება შეიძლება წარმოვადგინოთ როგორც უმცირესი ზომის ელემენტების ნაკრები, რომელთაგან თითოეულს შეიძლება პქონდეს ერთ ერთი ორი მდგომარეობიდან “არის” ან “არ არის”.

თუ თითოეულისათვის, დიდი რაოდენობის კ გამოცდებისაგან, აქვს მცირე p ალბათობა განსაზღვრული ტიპის ხდომილების დადგომისა, მაშინ საშუალო რიცხვი ამ ტიპის ხდომილების განისაზღვრება უბრალოდ როგორც $m=qp$. მაგალითად, თუ $q = \frac{1}{2}$ -ის განმავლობაში ჩვენ ველოდებით მოცემულ განსაზღვრული ფართობის ფარგლებში შემთხვევითი განაწილებით წვიმის წვეთების ჩამოვარდნას, და ამასთან წვიმის წვეთების ჩამოვარდნის ალბათობა ყოველ წამში ტოლია p , მაშინ m ტოლია წვეთების საშუალო რაოდენობისა რომლებიც შევნიშნეთ რამოდენიმე დაკვირვებით, რომელთაგან თითოეულის სანგრძლივობა q წამი იყო. მოცემული K რაოდენობის წვიმის წვეთების ჩამოვარდნის ფარდობითი ალბათობა ერთ განზომილებაში, m საშუალო მნიშვნელობისას, $p(K,m)$ განისაზღვრება პუასონის განაწილების ალბათობის სიმკვრივით:

$$p(K;m) = \frac{e^{-m} m^k}{K!} \quad (1.3.1)$$

ჩვენ შეგვიძლია შევამოწმოთ, რომ ამ განაწილებას მართლაც აქვს საშუალო მნიშვნელობა m :

$$\sum_{k=0}^{\infty} K p(K;m) = m \quad (1.3.2)$$

რა თქმა უნდა ჯამი $p(K,m)$, K -ს ყველა მნიშვნელობისათვის, ნულიდან უსასრულობამდე, ტოლია 1-ის და საბოლოოდ დისპერსია ამ განაწილებისა ტოლია m - ის.

$$\sum_{K=0}^{\infty} (K - m)^2 p(K,m) = m \quad (1.3.3)$$

ამგვარად, საშუალო მნიშვნელობიდან გადახრის საშუალო კვადრატული მნიშვნელობა $- m$ ტოლია \sqrt{m} -ის. თუ გადავხედავთ გაზომვათა თანმიმდევრობას, რომელთაც აქვთ საშუალო შედეგი - 100 ხდომილობა,

მაშინ მოიძებნება ძალიან ცოტა გაზომვები, რომლებშიც იყო დარეგისტრირებული ზუსტად 100 ხდომილობა, ხდომილობების რიცხვი, დარეგისტრირებული თითოეულ კონკრეტულ გაზომვაში, განაწილდება საშუალო მნიშვნელობის გარშემო რომლის სტანდარტული გადახრა არის 10 ხდომილობა.

როგორც წვიმის წვეთებს, რომლებიც ერთმანეთისაგან დამოუკიდებლად ეცემა გარკვეულ ფართობზე, ასევე რენტგენის გამოსხივების ფოტონებს, დეტექტორის პიქსელზე დაცემის დროს, აქვთ ერთნაირი სტატისტიკური თვისებები. თუ ფართობის ერთეულზე დაცემული წვიმის წვეთების საშუალო რიცხვი r - ტოლია 100 ერთეულისა, მაშინ ზუსტად 100 წვეთის აღმოჩენის ალბათობა 0,040-ის ტოლია. თუ გავაკეთებთ მასკანირებელ ვოლტმეტრს, რომელიც იძლევა მნიშვნელობას - N ვოლტი ყოველი N მოვლენისათვის და გამოვიყენებთ მას ცალკეული პიქსელებისაგან, სიგნალის გასაზომად, მაშინ ფლუქტუაციის სიდიდე შეადგენს \sqrt{N} ვოლტს (საშუალო კვადრატული მნიშვნელობა).

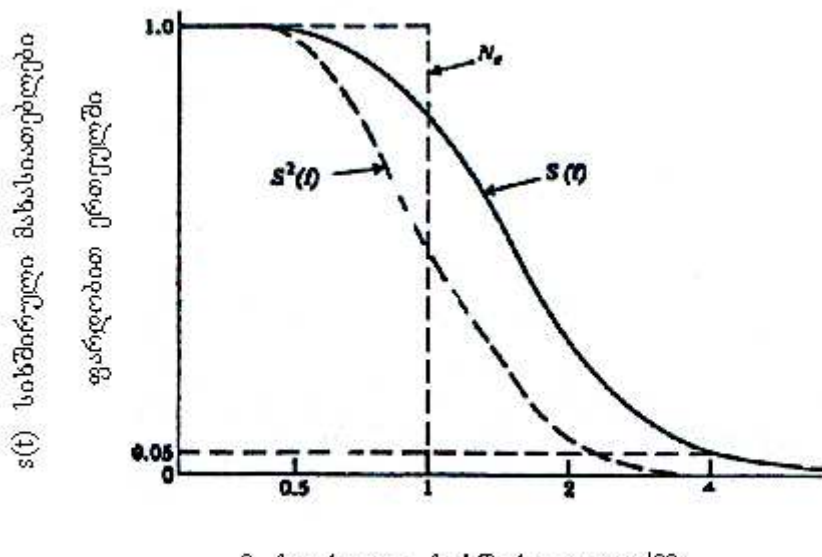
ახლა შევცვალოთ მუდმივი სიგნალი N მოდულირებულ სიგნალზე $N(1 \pm \overline{M})$ სადაც $0 \leq \overline{M} \leq 1$ – მოდულაციის კოეფიციენტია. $N\overline{M}$ – ნაზრდი, რომელიც წარმოადგენს საინფორმაციო სიგნალს - S-ს. სიგნალი აღწევს მაქსიმუმს როდესაც $\overline{M}=1$, ამიტომ სიგნალი/ხმაურის მაქსიმალური ფარდობა შეადგენს $N/\sqrt{N}=\sqrt{N}$. რადგან საშუალოდ 1 პიქსელზე 1 წამში მოდის 100 ხდომილობა, მაშინ მაქსიმალური მნიშვნელობა სიგნალი/ხმაურისა ტოლია 10. თუ უჯრედის ხაზის ზომას 2-ჯერ გავადიდებთ, მაშინ მისი ფართობი გაიზრდება 4-ჯერ. ამიტომ დროის ამ მონაკვეთში რეგისტრირდება 400 ხდომილობა, რომელიც მოდის დიდი ზომის პიქსელებზე და მაქსიმალური ფსხ (ფარდობა სიგნალი/ხმაური) ტოლი იქნება 20-ის. ანალოგიურად, თუ საწყისი ზომის უჯრედის ინტეგრირებას გავადიდებთ 1 წმ-დან 4 წმ-დე, მაშინ 1 პიქსელზე 400 ხდომილობა იგულისხმება და მაქსიმალური ფსხ მაინც იქნება 20 ტოლი. შემთხვევითი სიგნალებისათვის დროის ერთნაირი გასაშუალოებისას დროითი და სივრცითი ინტეგრირება ერთნაირ კვაპტს გამოიწვევს. სხვა სიტყვებით რომ ვთქვათ, გამოსახულების გარჩევისუნარიანობის შემცირება (პიქსელის ფართობის გადიდება) ან ადიდებს ფსხ-ს, ერთიდაიგივე ხმაურის დონეზე, ან ამცირებს მოთხოვნილებას მოვლენების რიცხვზე.

იმ შემთხვევაში, როდესაც \overline{M} არ უდრის 1, სიგნალი ტოლია \overline{MN} , ამასთან ხმაურის დონე ძველებურად განისაზღვრება \sqrt{N} -ით, ასე რომ ფსხ უდრის $\overline{M}\sqrt{N}$. დაბალკონტრასტული სიგნალების რეგისტრაცია ხმაურის ფონზე მოითხოვს საკმაოდ მაღალ ფსხ-ს (ფარდობა სიგნალი/ხმაური) მნიშვნელობას.

1.4. მოდულაციური გადამცემი ჰუნძია

მოდულაციური გადამცემი ფუნქცია (მგფ) არის მოდიფიცირებული ფორმა მოწყობილობის სივრცით-სიხშირული გამოძახილისა, გამოსახულების ან მისი ცალკეული ელემენტების ფორმირებისათვის. ზღვრული გარჩევისუანარიანობა არასაკმარისად სრულად აღწერს მოწყობილობების შესაძლებლობებს, თუმცა გარკვეულწილად ახასიათებს მას, რადგან განსაზღვრავს ობიექტის მინიმალურ ზომას, რომელიც შეიძლება გავარჩიოთ მისი საშუალებით. მაგალითად მოწყობილობას შეუძლია განსაზღვროს მაღალკონტრასტული სპილენბის ბადე 2 უჯრის სტრუქტურით/მმ-ზე, მაგრამ ამ დროს სუსტად კონტრასტული იქნება საშარდე ბუშტის გამოსახულება. მგფ გამოითვლება სიგნალის გამოძახილის (სიგნალის გამოძახილი ტოლია ელექტრონული მილაკის მაშტაბური ბადის ვარტიკალური ზომისა) ამპლიტუდის სივრცითი სიხშირისგან დამოკიდებულების გაზომვის გზით, ამ დროს 100%-ად მიიჩნევა ნულოვანი სიხშირის მნიშვნელობა და ფაზური წანაცვლება არ მიიღება მხედველობაში (სურ 1.4.1). ჩავთვალოთ, რომ ამპლიტუდა ტოლია ნულისა ფაზის პირველი მობრუნების (კროსსოვერი) შემდეგ. მოწყობილობის სრული მგფ (მოდულაციური გადამცემი ფუნქცია) შეიძლება მიღებული იქნას მგფ-ს თითოეული ელემენტის გადამრავლებით მთელ სივრცით სიხშირეზე. მგფ-ს გასაზომად გამოიყენება სინუსოიდური ტესტ-ობიექტი, მხოლოდ შესასვლელი სიგნალის მოდულაცია უნდა მოიცავდეს სიხშირის მთელ ზოლს ნულიდან მაქსიმალურ სიხშირემდე. სინუსოიდური ტესტ-ობიექტის დამზადება საკმაოდ რთულია. ამიტომ იყენებენ სპეციალურ შაბლონს მართკუთხოვანი ზოლის სახით. რენტგენული სისტემებისათვის ასეთი შაბლონი მზადდება ტყვიის ან კოლფრამის შენადნობისაგან. ის შედგება ერთმანეთისაგან ინტერვალებით დაშორებული ზოლების ნაკრებისაგან, მზარდი სიხშირით (ამასთან მცირდება ინტერვალი ზოლებს შორის). ასეთ ტესტ-ობიექტებს ათავსებენ რენტგენის გამოსახულების დატექტორის წინ, რის

შემდეგაც ჩართავენ გამოსხივებას. ამ მეთოდის დახმარებით, შეიძლება მივიღოთ ოპტიკური გამოსახულება ანალოგური ფოტოშაბლონით და ოპტიკური მეთოდით შევამოწმოთ. დეტექტორი შედგება მიკროსკოპისაგან, რომლის ოპტიკური სისტემის ფოკალურ სიბრტყეში არის განთავსებული ვიწრო ხერელი და მის უკან დამაგრებულია ფოტომამრავლი. მიღავიდან გამომავალი სიგნალი მიეწოდება ჩამწერ მოწყობილობას, რომელიც არეგისტრირებს დამოკიდებულებას მართვულთხა ტალღის ამპლიტუდასა და სიხშირეს შორის.



f - სივრცული სიხშირე ციკლი/მმ

სურ 1.4.1

მოდულაციური გადამცემი ფუნქცია $S(f)$, ტიპიური რენტგენული აპარატისათვის. იმისათვის, რომ მივიღოთ N_e – სიხშირის ხმაურის ზოლის ექვივალენტური სიგანე, $S(f)$ აყვანილია კვადრატში და ინტეგრირებულია. ზღვრული გარჩევისუნარიანობა (4 ციკლი/მმ) მოცემულია კონტრასტის 0,05 დონით. აბსცისათა დერძის მნიშვნელობები გამოსახულია ციკლ/მმ-ში (რაც ექვივალენტურია ხაზების წყვილის/მმ-ზე).

მიღებული დამოკიდებულება, პერიოდული მართვულოვანი ფუნქციის საშუალებით, შეიძლება გავაანალიზოთ, თუ გამოვითვლით მის სინუსოიდურ მდგრენელს ფურიეს მწკრივის საშუალებით. ქვემოთ მოცემულია ფორმულა რომელშიც $S(f)$ სინუსოიდური ტალღების ამპლიტუდა, f სიხშირით გამოითვლება $M(f)$ მნიშვნელობის ჩასმის საშუალებით, რომელსაც ზომავენ მართვულთხა ტალღისათვის $f, 3f, 5f$, და ა.შ. სიხშირეებზე.

$$S(f) = \frac{\pi}{4} \left[M(f) + \frac{M(3f)}{3} - \frac{M(5f)}{5} + \frac{M(7f)}{7} - \dots \right] \quad (1..3.1)$$

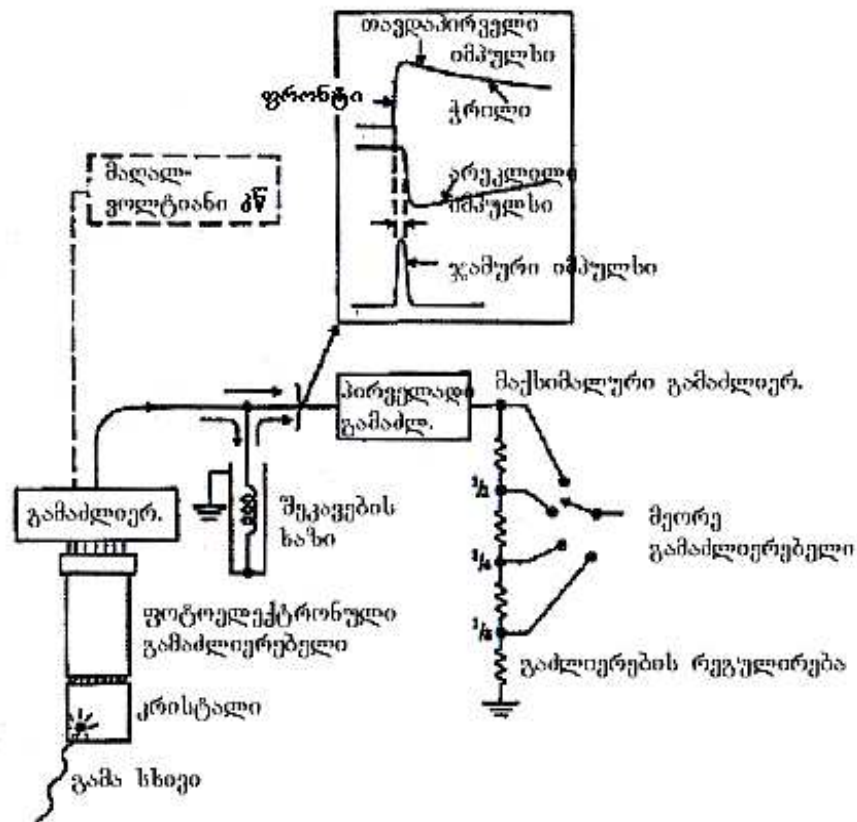
ამ სახით შეიძლება გარდავქმნათ მართკუთხა ტალღების საშუალებით მიღებული მონაცემები მგვ-ს მნიშვნელობის გამოსათვლელად და სინუსოდური ტალღის ამპლიტუდის შესაფასებლად. მგვ (მოდულაციური გადამცემი ფუნქცია) შეიძლება მივიღოთ ასევე იმპულსური მახასიათებლების დახმარებით, თუ გავზომავთ წერტილის ან ხაზის გაფანტვის ფუნქციას.

თუ მიღებულია მგვ მთელი სისტემისათვის ან მისი ცალკეული ელემენტებისათვის, მაშინ მისი დახმარებით შეიძლება გამოითვალოს სხვა საჭირო მახასიათებლები. ცალკეული ელემენტის ან მთელი სისტემის გარჩევისუნარიანობა განისაზღვრება სიხშირეზე, რომელიც აკმაყოფილებს 5%-იან კონტრასტის დონეს. რენტგენულ სისტემებში კონტრასტი დაბალ სიხშირეზე განისაზღვრება მგვ-ს მნიშვნელობით შესაბამისად 0,1 ხწ/მმ-ზე. სიგნალის ამპლიტუდა მთლიანად დამოკიდებულია მოვლენების რაოდენობაზე, რომელიც მოდის 1 პიქსელზე. თუ ავიღებთ ზოლის ეპივალენტურ სიგანეს ან განვახორციელებთ ინტეგრირებას სიხშირის მთელ ზოლზე, ჩვენ შეგვიძლია მივიღოთ ინფორმაციის რაოდენობის გაზომვის ზომა, რომელსაც შეიცავს უჯრა. ჩვენ ვიცით, რომ ფარდობა სიგნალი/ხმაური განსაზღვრება \sqrt{N} -ით, სადაც N არის ხდომილობების რიცხვი პიქსელში. იმისათვის, რომ სხვადასხვა სისტემები ვიზუალურად ერთნაირად ჩაითვალოს, საჭიროა შევადაროთ მათი ამპლიტუდის საშუალო კვადრატული მნიშვნელობა. ეს შეიძლება გავაკეთოთ ამპლიტუდის კვადრატების ინტეგრირების დახმარებით ყველა სიხშირისათვის.

თავი 3

1.5. ბირთვული მედიცინა.

დაავადების დიაგნოზირებისათვის და პაციენტის მდგომარეობის შესაფასებლად ბირთვულ მედიცინაში იყენებენ რადიაქტიურ მასალებს. ვიზუალიზაციის ეს საშუალება იმით განსხვავდება რადიოგრაფიისაგან, რომ გამა გამოსხივების წყარო მდებარეობს ავადმყოფის შიგნით. მეორე უმთავრესი განსხვავება მდგომარეობს იმაში, რომ შეგვიძლია გარდავჭმნათ რადიოაქტიურად ის ნივთიერებები, რომლებიც მონაწილეობენ ბიოქიმიურ რეაქციებში. ამიტომ თვლიან, რომ ბირთვული მედიცინა ასახავს ორგანოს ფუნქციას, რუტინული მორფოლოგიის საპირისპიროდ. ამ შემთხვევაში რადიოაქტიურობის განაწილების გაზომვა, ადამიანის სხეულის შიგნით, წარმოადგენს ორგანოების ვიზუალიზაციის საფუძველს. ეს განაწილებები შეიძლება იყოს სტაციონარული და შეიძლება იცვლებოდეს დროში (Benedetto, 1988).

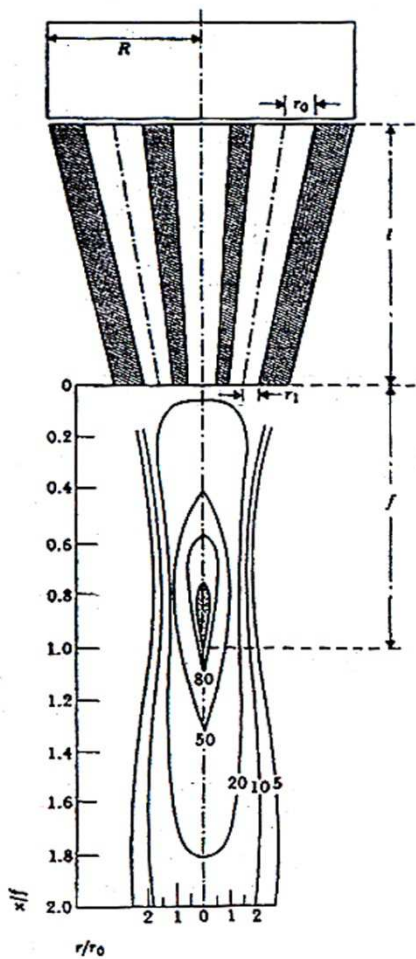


სურ. 1.5.1

სცინტილაციური დეტექტორის პრინციპიალური სქემა NaI (ნატრიუმი იოდი) კრისტალზე. ნაჩვენებია სცინტილატორი, შუქმდრმნობიარე ფოტოელექტრული გამამრავლებელი (შ.ფ.გ) და მართვის ელექტრონული სისტემა. კარგი - კვების წყარო.

ბირთვულ მედიცინაში გამოსახულების მისაღებად გამოყენებულ თითქმის ყველა ხელსაწყოს საერთო მოწყობილობად იყენებენ იოდ-ნატრიუმის დეტექტორს, რომელიც ნაჩვენებია სურ.4.1 –ზე. დეტექტორი შედგება სამი ძირითადი ნაწილისაგან: (1.) კრისტალისაგან, რომელიც სცინტილირებს ფერის ლურჯ სპექტრში, გამა-სხივის მიერ შთანთქმული ენერგიის მიმართ წრფივი დამოკიდებულებით, (2). ფოტოელექტრული გამამრავლებელი. (ფ.ე.გ), რომელიც გარდაქმნის ამ სინათლეს პროპორციულ ელექტრულ სიგნალად. (3.) ელექტრული მოწყობილობები, რომლებიც აძლიერებს და გარდაქმნის ელექტრულ სიგნალს ვიზუალურ ფორმაში. ბირთვულ მედიცინაში ყველაზე უბრალო პროცედურები არ ითვალისწინებენ საერთო ჯამში გამოსახულების მიღებას, არამედ შემოიფარგლებიან პაციენტის კანის ზედაპირთან დეტექტორის განლაგებით და გამა-ქვანტების ნაკადის დათვლით.

პირველი მოწყობილობების მუშაობა, რომლებიც ბირთვული მედიცინის პრინციპს - გამოსახულების ფორმირებას უწყობდა ხელს, იყო დაფუძნებული ოპერატორის სკანირებად მოძრაობაზე, რომელიც იღებდა ხელში დეტექტორს და ამორავებდა პაციენტის მიმართ ურთიერთპერპენდიკულარულად. (ზუსტად ასე ატარებენ აეროფოტოგადაღებებს დედამიწის ზედაპირიდან). ნებისმიერ პროცესს, რომელიც გვთავაზობს დეტექტორის ურთიერთპერპენდიკულარულ მოძრაობას, ეწოდება სკანირება.



სურ. 1.5.2

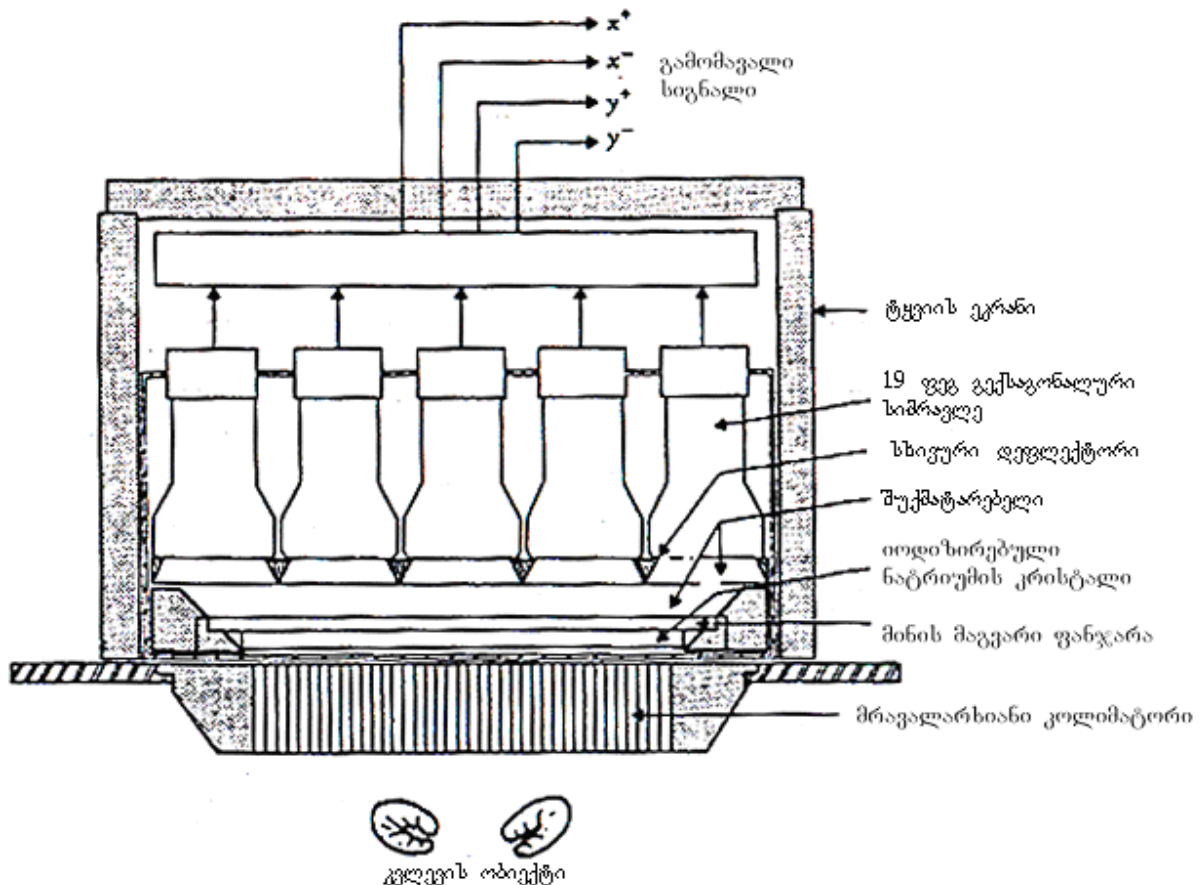
ფოკუსირებული კოლიმატორის განვითარებული, რომელსაც იყენებენ ბირთვულ მედიცინაში მართრკუთხა სკანირების დროს. გამოსხივების წერტილოვან წყაროსთან მდებარე ქვედა კონტურული ხაზები შეესაბამებიან ერთნაირი მგრძნობიარობის იზოხაზებს.

1.5.2 სურათზე ნაჩვენებია რომ სკანირების დროს აუცილებელია იოდნატრიუმის დეტექტორის კოლიმირება, რათა შევზღუდოთ თვალთახედვის არე საპირისპირო და მიმართულ დერძებზე. თვალთახედვის საპირისპირო არე (ზოლი) არის მთავარი განმსაზღვრული ფაქტორი რადიაქტიური სკანირებისას,

გამოსახულების გარჩევისუნარიანობის შესაძლებლობის განსაზღვრისას. თუ ცნობილია წყაროს მიახლოებითი სიძლიერე, მაშინ ჩვენ შეგვიძლია გავაერთიანოთ ეს ინფორმაცია კოლიმატორით განსაზღვრულ გარჩევისუნარიანობის მთავარი ელემენტის ზომასთან, რათა გამოვთვალოთ სკანირების აუცილებელი სიჩქარე, რომელიც გამოსახულების აუცილებელ სტატისტიკურ სისტორეს უზრუნველყოფს.

განვიხილოთ ძვლის რადიოაქტიური სკანირება, რომლის დროსაც გამოიყენება ნივთიერება რომელსაც აქვს მაღალი მეტაბოლიზმი ჩონჩხზე ზემოქმედებისას, რათა გავარკვიოთ ძვლების ადგილმდებარეობა, რომლებიც ჩართული არიან ავთვისებიან პროცესში, (ძვალში მეტასტაზების არსებობისას). ტიპიური დოზა ამ საშუალებისა 15 მგი ($\text{კი} - \text{წარმოადგენს რადიაქტიურობის სტანდარტულ ერთეულს, კიური: } 1 \text{ კი} = 3.7 \times 10^{10} \text{ ბირთვულ დაშლა წამში}). სრული აქტივობა ფართოდ არის განაწილებული მთელ ჩონჩხზე. ეს განაწილება კომბინირებულია გამა-სხივების იზოტროპულ განაწილებასთან, ბევრ მათგანს პაციენტის სხეულშივე შთანთქავს, იგი განაპირობებს გამოსასვლელზე იმპულსების მაქსიმალურ ინტენსივობას სხეულის ზედაპირთან დაახლოებით 1000 იმპ/წმ-ში . ბირთვულ მედიცინაში პიქსელის ტიპიური ზომებია $0.5 \times 0.5 \text{ სმ}$. თუ საჭიროა სტატისტიკური ფლუქტუაცია - პიქსელების 10% (100 იმპ), რომელიც შეესაბამება აღრიცხვის უველაზე მაღალ სიხშირეს, მაშინ სწრაფქმედება ადგილად განისაზღვრება შემდეგნაირად: იმპულსების რიცხვი პიქსელში უდრის = იმპულსების სიხშირეს/ (პორიზონტალური სიხშირე X პიქსელის ვერტიკალური ზომა). პორიზონტალური სიჩქარე ($\text{სმ}/\text{წმ}$) უდრის = იმპულსების სიხშირე/ (იმპულსი/პიქსელი) X პიქსელის ვერტიკალური ზომა):$

$$\frac{1000 \text{ იმპ}}{\text{წმ}} \times \frac{60 \text{ წმ}}{\text{წთ.}} \times \frac{0.25 \text{ სმ}^2}{100 \text{ იმპ.}} \times \frac{1}{0.5 \text{ სმ}} = \frac{300 \text{ სმ}}{\text{წთ.}}$$



სურ. 1.5.3

გამა-კამერის განივი კვეთი. ფეგ - ფოტოელექტრული გამამრავლებელი.

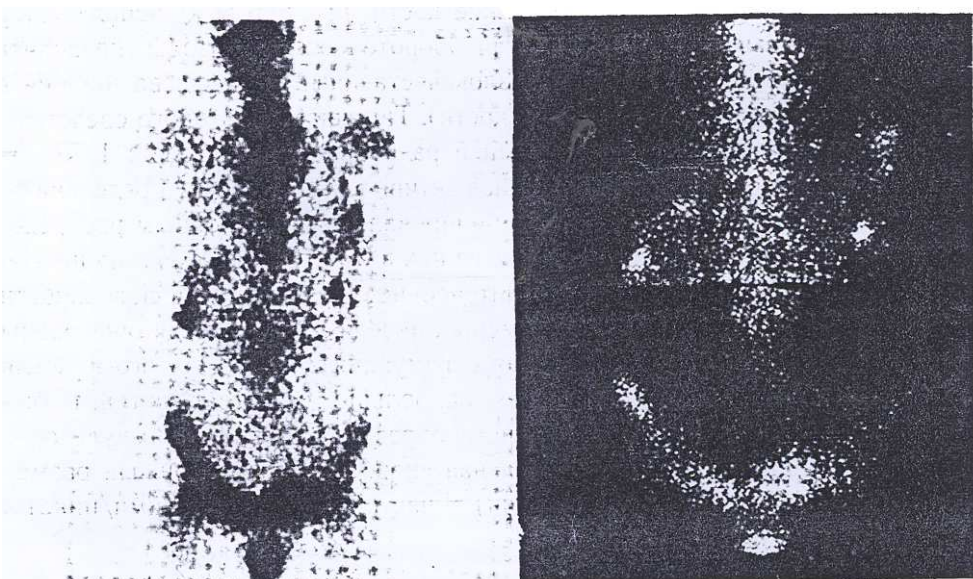
ფუნქციურად-დამთავრებულ რადიოაქტიურ სამედიცინო სკანერს ეწოდება იმპულსების ამპლიტუდური ანალიზატორი, რომელიც ცალკე ითვლის ბირთვულ გარდაქმნებს (ხდომილობებს), რომელსაც აქვს გარკვეული გამა გამოსახულების ენერგია. ეს ხდომილობები გამოიყენება სინათლის წყაროს სიკაშაშის მართვისას, რომელიც ასკანირებს ზემგრძნობიარე ფირის ზედაპირს, იმავე მართკუთხა მეთოდით, რომლითაც დეტექტორი ასკანირებს პაციენტს. ამასთან იმპულსების დეტექტორის სიგნალები ახშობენ ფილტრებს ინტენსიმეტრის ჯაჭვში. ამ ხერხით ფირზე იღებენ გამოსახულებას, რომელიც შეესაბამება პაციენტის სხეულში ბირთვული განშლის ინტენსივობას.

მეორე ხერხით გამოსახულების აგება, რომელშიც ხდომილობები დარეგისტრირებულია იმპულსის ამპლიტუდური ანალიზატორით, გამოსახავენ ციფრული ფორმით, როგორც დეტექტორის პოზიციის ფუნქციას. ამის შემდეგ ითვლიან ორგანზომილებიანი ფუნქციიდან მიღებლ სივრცულ სიხშირეებს და მათემატიკური ანალიზის დახმარებით პოულობენ გამოსახულების ორი-სამ

ელემენტს. საბოლოო გამოსახულების ხილვა კი კომპიუტერის ეკრანზე ან თხცილოვრაგის საშუალებით არის შესაძლებელი. სურ. 1.5.4-ზე მოცემულია ამ ორი მეოთხის საშუალებით მიღებული მართკუთხა სკანირების შედეგები.

ბირთვული მედიცინის ვიზუალიზაციის დანადგარის მეორე ვარიანტი, დაახლოებით ათწლეულით ადრე იქნა შემოღებული ვიდრე მართკუთხა სკანერი. ამის შემდეგ იგი გახდა (ლაბორატორიის მუშა ცხენი). გამა კამერას ხანდახან ანგერის კამერასაც ეძახიან, მისი პირველი შემუშავებლის სახელია (Anger, 1958).

გამა-კამერა – არის ვიზუალიზაციის სტაციონალური სისტემა, რომელიც მგრძნობიარეა ერთდროულად თვალთახედვის ყოველი რადიოაქტიურობის მიმართ. ამასთან საბოლოო სურათის ჩამოყალიბება არ არის დამოკიდებული დეტექტორის მოძრაობაზე.



სურ. 1.5.4

მართკუთხა სკანერით მიღებული პაციენტის ჩონჩხის გამოსახულება. მონიშნული ტენიციურის ფოსფატით პოულობენ არანორმალურად მაღალ ნივთიერებათა ცვლის ადგილებს. მარცხნივ – ჩვეულებრივი ანალოგიური გამოსახულება, მარჯვნივ – ეს გამოსახულება ციფრული დამუშავების შემდეგ.

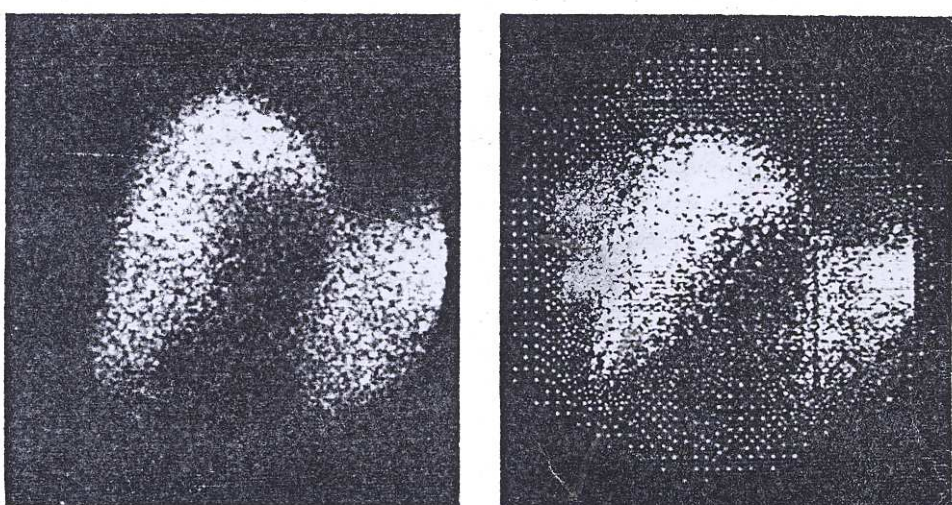
სურათ 1.5.4-ზე ნაჩვენებია ასეთი გამოსახულების ფორმირების სისტემის გამარტივებული საპირისპირო ჭრილი. დეტექტორის როლში გვევლინება ერთი იოდ-ნატრიუმის კრისტალი, 30-40 სმ დიამეტრითა და 1.2 სმ სისქით. ამ დეტექტორზე ერთდროულადაა მიმართული რამდენიმე ფ.გ.გ. ისინი მოთავსებულია დეტექტორის უკანა ნაწილში, ჰექსოგონალურ ანაწყობში. თუ გამა-სხივი აღწევს იოდნატრიუმის კრისტალს, მაშინ წარმოქმნილი

ლუმინესენცია სხვადასხვა მიმართულებით გადის. ასე რომ ყოველი ფ.ე.გ.-ს აღიქვამს საერთო ნაკადის მხოლოდ ნაწილს. ნაკადის ეს ნაწილი დამოკიდებულია გამა-სხივის შეღწევის საწყის წერტილთან ფ.ე.გ.-ს სიახლოვეზე.

გამა-კამერის მუშაობა დაფუძნებულია მთლიანი სხივის წილზე, რომელიც ფ.ე.გ.-ს ნაკრებმა დააფიქსირა და რომელიც საზღვრავს გამა-სხივის საწყისი შესასვლელი წერტილის პოზიციას. ძაბვა, რომელიც შეესაბამება გამა-სხივის X-Y კოორდინატს აღდგება რამდენიმე ფ.ე.გ.-ის სიგნალებიდან თანამედროვე ანალოგური ელექტრონული სქემის საშუალებით. ამ სქემაში გამოიყენება ოპერაციული მაძლიერებლები, რომელთა გაზრდა შეესაბამება ნაკრებში ფ.ე.გ.-ს პოზიციას. განსაზღვრებით იოდნატრიუმის დეტექტორის ცენტრი მდებარეობს $X=0$ და $Y=0$ პოზიციაზე.

ხდომილობებს (სცინტილაციური ე.წ. "ვსპიშკა") რომლებიც აკმაყოფილებენ ენერგეტიკული ამოცანების პირობებს, აღნიშნავენ თსცილოგრაფით და გადააქვთ ფირზე, სადაც ყალიბდება გამოსახულება. ალტერნატიურად სიგნალები შეიძლება ციფრულად დამუშავდეს, რომლის შემდეგ X-Y კოორდინატები გამოიყენება კომპიუტერული მისამართის გასაგებად, სცინტილაციური ე.წ. "ვსპიშკა-ის" კოორდინატის შესაბამისად. ციფრული გამოსახულება იქმნება კომპიუტერულ მისამართში მნიშვნელობების გადიდებით.

1.5.5 სურათზე ნაჩვენებია გამა-გამოსხივება, რომლებიც მიღებულია ამ ორი მეთოდით.

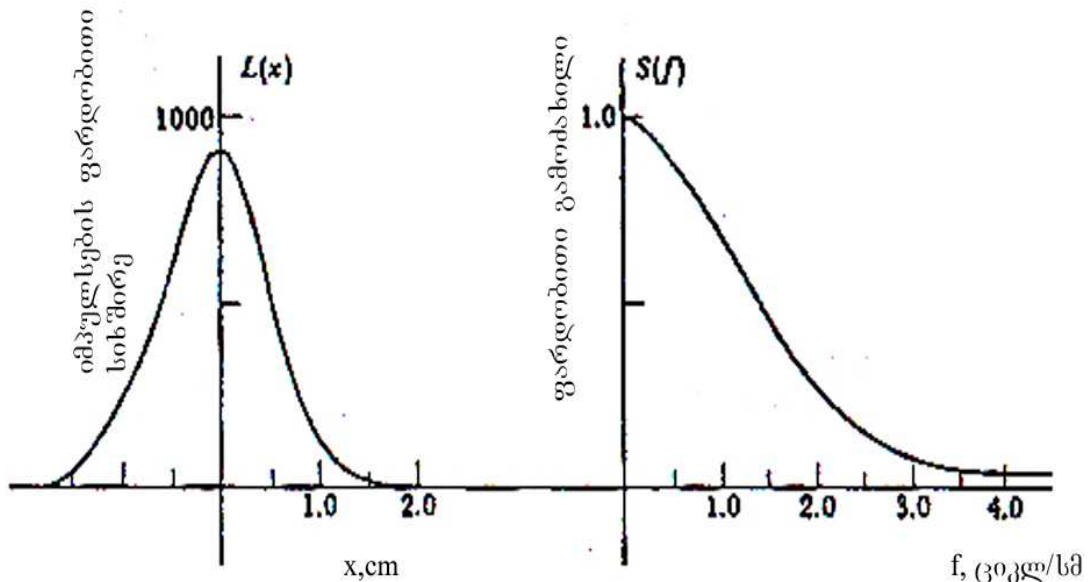


სურ. 1.5.5

პაციენტის ღვიძლის მარჯვენა ნაწილის გამა-გამოსახულება, წინედი. მონიშნული რადიოაქტიური ტენეციუსის კოლოიდი გადაადგილდა სისხლსადინარიდან ღვიძლის ნორმალურ ქსოვილში. მარცხნივ: ჩვეულებრივი ანალოგური გამოსახულება. მარჯვნივ: იმავე ობიექტის გამოსახულება, ციფრული დამუშავების შემდეგ.

მართკუთხა სკანერთან შედარებით გამა-კამერის მთავარ უპირატესობას, რადიოაქტიურობის ცვლილების განსაზღვრის შესაძლებლობა წარმოადგენს. გამა-კამერებს, რომლებიც მიერთებულია კომპიუტერულ სისტემებთან, შეუძლიათ მონაცემების მიღება წამში 30-კადრის სისწრაფით. ფაქტიურად სიჩქარე იქნებოდა მეტი რომ არა უსაფრთხოების სისტემა, რომელიც იცავს ადამიანს დასხივებისაგან.

ასე რომ რადიოლოგიურ გამოსახულებას აქვს ტიპიური გარჩევისუნარიანობა დაახლოებით გამოსახულების ზომის 1%, რომელიც მიღებულია მხოლოდ 10^5 – 10^6 ფოტონით. ისინი მარტივია რაოდენობრივი ანალიზისათვის და გარკვევით გამოსახავენ გამოსახულების აგების მთავარ პრინციპებს,



სურ. 1.5.6

გამა-კამერის სივრცით-წრფივი ფუნქციის გამოძახილი, $L(x)$ კომპიუტერული მართვით და შესაბამისი მოდულაციური გადამცემი ფუნქცია $S(f)$.

1.5.6 სურათი გვიჩვენებს გამოსახულების მახასიათებლებს, რომელიც იქნა მიღებული გამა-კამერით რადიოაქტიურობის წრფივი წყაროდან. წრფივი სივრცითი L(x) გამოძახილი იქნა მიღებული ციფრული გამოსახულების თითო-თითო ზომის რადიოლოგურ კომპიუტერში დაჯამებით. ამ ფუნქციაზე შეასრულეს ფურიეს გარდაქმნა და მიიღეს მოდულაციური გადამცემი ფუნქცია.

12.2 სურათი ადიდებს შეფარდებას გამოსახულების ხარისხსა და ფოტონების რიცხვს შორის. მასზე ნაჩვენებია „ფარისებრი ჯირკვალის ფანტომი”-ს გამოსახულება, საშუალო ზომის გამჭვირვალე ჭურჭელი, რომელიც რადიოაქტიური მასალებით შევსებისას უზრუნველყოფს რადიო ნუკლიდების განაწილებას. ფორმით გვაგონებს ადამიანის მონიშნულ ფარისებრ ჯირკვალს. გარჩევისუნარიანობის დემონსტრირება ხდება საჩვენებელი ნიმუშის დრეჩოს საშუალებით. ყოველი ფანტომური გამოსახულება წარმოდგენილია გაორმაგებული ფოტონების რიცხვით.

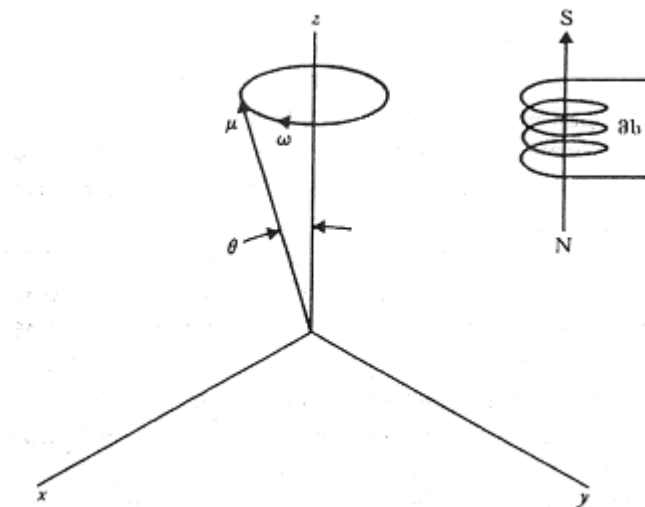
1.6 ვიზუალიზაცია მაგნიტური რეზონანსის მეთოდით

მბრუნავ დამუხტულ ნაწილაკს გააჩნია მაგნიტური მომენტი. ასეთი ნაწილაკი ცდილობს თავისი დერძი, შიდა მაგნიტურ ველში მიმართოს მაგნიტური ინდუქციის გაქტორის პარალელურად. დამუხტული ნაწილაკისათვის ჩვეულებრივი იქნებოდა საკუთარი პოზიციონირება N-დან S-კენ, სადაც N- მისი ჩრდილო პოლუსია, ხოლო S- შიდა ვეილს სამხრეთ პოლუსი. თუმცა ნაწილაკები შეიძლება ორიენტირებულნი იყვნენ N-დან S-მდე. ამასთან უნიშვნელო აღშფოთებას მივყავართ შემობრუნებისაკენ და ხდება გადასვლა დაბალ ენერგეტიკულ მდგომარეობაში N-S, ამას თან სდევს ენერგიის დაბრუნება სისტემისათვის. ეს N-N მდგომარეობა სავსეა ენერგიით და შეესაბამება იონიზირებულ მდგომარეობას.

ნებისმიერ დროს ფიზიკურ სხეულში არსებობს დამუხტული ნაწილაკები, ნორმალურ მდგომარეობაში, უძრაობის და აღგზნებულ მდგომარეობაში ამ ორ მდგომარეობას ეწოდება მდგომარეობა პარალელური და არაპარალელური სპინით. აღგზნებული ნაწილაკებისა და უძრაობის მდგომარეობაში მყოფი ნაწილაკების დამოკიდებულება განისაზღვრება ენერგიებს სხვაობითა და ტემპერატურით. კვანტური ენერგიის სხვაობა არის $E=hV$, სადაც, h- მუდმივი პლანკის და V-სიხშირე. ნორმალური ნაწილაკების

შეფარდება აღგზნებულ ნაწილაკებთან ტოლია $Nn/Ne = e^{hv/kT}$ სადაც K -ბოლცმანის კონსტანტაა და T -ტემპერატურა. პროცესიული სიხშირე შეიძლება ვიპოვოთ ლარმონის ფორმულით $W=yB$. სადაც W -არის პრეცესის კუთრი სიხშირე, B -მაგნიტური ველი, y -ნაწილაკის დახასიათება, რომელსაც პირომაგნიტური დამოკიდებულება ეწოდება. რეზონანსი ანუ ენერგიის შთანთქმა, მაშინ ხდება, როდესაც დასხივების სიხშირე ტოლია ლარმორის სიხშირიშ. ასეთ გამოსხივებას ნაწილაკები აღგზნებულ მდგომარეობაში გადაჰყავს.

რამდენადაც განხილული ნაწილაკები არსებობენ სამგანზომილებიან სივრცეში, დაუშვათ, რომ შიდა მაგნიტური ველი განლაგებულია Z - დერძის მიხედვით. პრეცესია მიმდინარეობს ამავე დერძის ირგვლივ. თუ ამ სისტემისკენ მივმართავთ მაღალსიხშირიან ელექტრომაგნიტურ იმპულსებს (მს). ლარმორის სიხშირით, ხდება ნაწილაკების მიერ ენერგიის აბსორბირება, ამასთან მათი პრეცესის დერძები შემობრუნდება ამ დერძებს შემობრუნება შეუძლიათ 90^0 -იანი, ან 180^0 -იანი კუთხით.



სურ.6.6.1.

იმის გამო, რომ მაღალსიხშირიანი ენერგია და იმპულსის სიდიდე განსაზღვრავენ კუთხურ გადაადგილებას შესაბამის იმპულსებს უწოდებენ, 90^0 ან 180^0 მს. იმპულსებს. იმპულსის მიწოდების შემდეგ ნაწილაკები უბრუნდება წონასწორების მდგომარეობას სიჩქარით, რომელიც განსაზღვრულია სითბური

კავშირით გისოსთან და მაგნიტური ენერგიის გაცვლით აღზნებულ და არააგზნებულ ნაწილაკებს შორის. არსებობს ენერგეტიკული დაშლის ორი სახეობა; „სპინ-გისოსის დაშლა” (დროის კონსტანტით T_1) და „სპინით-სპინის დაშლა” (დროის კონსტანტით T_2) ეს კონსტანტები საკმაოდ დიდია (რამოდენიმე მილიწამიდან რამოდენიმე წამამდე) და დამოკიდებულია ნაწილაკების ტიპზე. T_1 და T_2 შეიძლება განსაზღვროთ დროის ცვლილებით მ.ს. იმპულსებს შორის მათი სიმძლავრე ასევე მიმდები კოჭების ადგილმდებარეობას ცვლილებით. (რომელიც შეესაბამება ბრუნს 90° -ე ან 180° -ზე)

პაციენტის ღერძს უწოდოთ Y ღერძი. პაციენტი თავსდება მუდმივ მაგნიტურ ველში (ღერძი Z) შემდეგ ველი აღიგზნება ღერძის Y გასწვრივ მცირე გრადიენტის პროდუცირებისათვის. ამასთან წინაწარ განსაზღვრული მნიშვნელობის მაგნიტური ველი ყენდება თხელი ჭრილობის საზღვრებში. (ველის გრადიენტის გამო მისი მნიშვნელობა ამ ჭრილის ზემოთ და ქვემოთ იქნება განთავსებული) სწორედ ეს მონაკვეთი არის კვლევის ობიექტი. ამისათვის მ.ს. კოჭას ირგვლივ განლაგებული მაღალსიხშირული ელექტრომაგნიტური იმპულსის ინდუქციური კოჭები პულსირებენ სიხშირეზე, რომელიც შეესაბამება გარკვეული ნაწილაკების ლერმოროიდის სიხშირეს. აქტიურდება, მხოლოდ ნაწილაკები ზემოთ მითითებული ჭრილის განსაზღვრულ არეში. მ.ს. –კოჭების მუშაობის შედეგად, მაგნიტური ველი სწრაფად ვრცელდება პაციენტის განივად X ღერძის გასწვრივ. ამასთან დაშლის რედაქტიური სიხშირე იცვლება ამ ღერძის გასწვრივ, როგორც მაგნიტური ველის ფუნქცია. ამორჩევითი რადიომიმდები გამოჰყოფს სიგნალს ისე, თითქოს ისინი გაშლის სტრიქონია, გრადიენტების ორივე ველის ორთოგონალურად. უფრო სრულყოფილი მიმდები (სპექტრის ანალიზატორი) პროდუცირებს მრავალარხიან სიგნალებს, როგორც ფუნქციას და მიწოდების კომპიუტერს.

როგორც ცნობილია მაგნიტური ველი დენის კოჭების დახმარებით მიიღება. ეს კოჭები ფლობენ ინდუქციას, რომელიც ეწინააღმდეგება მათ მიერ შექმნილ მაგნიტურ ველში ნებისმიერ ცვლილებას.

პაციენტის საკანში ველის შესაცვლელად შეიმუშავეს ორიგინალური მეთოდი შუნგების სახით. მათი მუშაობა მექანიკური ხმაურის თანხლებით მიმდინარეობს. სისტემის შესაძლებლობა შტამბეჭდავია. ის ქმნის ღერძულ მაგნიტურ გრადიენტს ისე, რომ გააქტიუროს (აღაგზნოს) მხოლოდ ერთი

ჭრილი, შემდეგ ქმნის მაგნიტურ გრადიენტს X დერძის გასწვრივ, მიმღების აწყობას ახორციელებს ჭრილის მიხედვით, აბრუნებს გრადიენტულ ველს, დამატებითი სტრიქონების ნაკრების სკანირებისათვის, ამჟავებს სიგნალებს სპექტროანალიზატორში. გარდა ამისა სისტემა იმეორებს პროცესს მრავალჯერ, რომ დასწიოს დაბრკოლებების რაოდენობა.

მბრუნავი მაგნიტური ნაწილაკების როლი, შეიძლება შეასრულოს ცალკეულმა ან შერეულმა ელექტროდებმა. გარდა ამისა ასეთი ნაწილაკები შეიძლება იყოს ატომი, ბირთვი (განსაკუთრებით როგორიცაა პროტონი) აქტიური და არააქტიური ნაწილაკების რიცხვის დამოკიდებულება ბირთვი, აგრეთვე სხვა თვისებები სპეციფიკური ბირთვისა. განსაზღვრავენ ბირთვულ-მაგნიტურ რეზონანსის მეთოდის მგრძნობელობას (პ.მ.რ. მგრძნობელობა). ამ პარამეტრის მიხედვით შეიძლება ვიმსჯელოთ სასრგებლო ინფორმაციის მიღების ხელმისაწვდებაზე ცხრილ 6.6.1-ში მოცემულია პ.მ.რ. სიხშირეების გავრცელებული ბიოლოგიური ელემენტები.

ცხრილი 6.6.1. პ.მ.რ. სიხშირეების მეტად ბიოლოგიური ელემენტები;

ელემენტები	მასა სხეული %	იზოტოპი	მგრძნობელობა	პ.მ.რ. სიხშირე
წყალბადი	10	^1H	1.0	42.57
ნახშირბადი	18	^{13}C	1.6×10^2	10.70
აზოტი	3.4	^{14}N	1.0×10^{-3}	3.08
ნატრიუმი	0.18	^{21}Na	9.3×10^{-2}	11.26
ფოსფორი	1.2	^{31}P	6.6×10^{-2}	17.24

თითოეული ამ ელემენტის ბირთვული მაგნიტური რეზონანსის ეფექტი შეიძლება გაიზომოს, თუ ნიმუშები მოთავსებულია აპარატში ერთგვაროვანი მაგნიტური ველით, ცვალებადი სიხშირით, რომ მივიღოთ პაციენტის განივი ჭრილის გამოსახულება, იყენებენ მაგნიტური ველის გრადიენტს მაგ; თუ მაგნიტური ველი იცვლება დაახლოებით 1.0T , მაშინ სიხშირე წყალბადისა ვარირებს ნიშნულოან 42-57 მ.კ.ც. ქსოვილის დიდი კვეთის შემთხვევაში წყალბადი სხვადასხვა სიმკვრივეშია, ამიტომ მიმღები აფიქსირებს არა მარტო ერთ სიხშირეს, არამედ რეზონანსული სიხშირით მთელ ზოლს. ამ

სიხშირეების ამპლიტუდის განმსაზღვრელად იყენებ ფურიე ანალიზს. ეს სრულდება შემობრუნებული პროექციით (ისევე როგორც კომპიუტერულ ტომოგრაფიაში) კ.ტ. -საგან განსხვავებით მ.ს.-სკანერი არ უნდა ბრუნავდეს პაციენტის ირგვლივ, საკმარისია, რომ ოდნავ შეიცვალოს მაგნიტური გრადიენტის მიმართულება, შემდგომი ციკლის განმეორებით, რომ მივიღოთ მორიგი უკუ პროექცია, უკუ პროექციის სიგნალებს კომპიუტერი აანალიზებს. ჭრილის სისქე მოჩანს ველის შეზღუდვით მ.ს. ანტენით გადაცემული და დაბრუნებული სიგნალებისა. თუ ბ.მ.რ. სიგნალები გამოიყენება გამოსახულების მისაღებად, მოცემულ მედოდიკას მაგნიტურ-რეზონანსული ინტროსკოპია (მ.რ.ნ.) ანუ მაგნიტურ-რეზონანსული ტომოგრაფია (მ.რ.ტ.) ეწოდება.

კ.ტ.-საგან განსხვავებით მ.რ.ტ.-ში არ გამოიყენება იონიზირებელი რადიაცია. შესაბამისად ბ.მ.რ. -ის გამოყენებისას გვერდითი მოვლენები არ აღინიშნება. ამრიგად განმეორებითი კვლევა ან ხანგრძლივობა კვლევის უვნებელია.

ბ.მ.რ.-ის აპარატში მაგნიტური ველი შეიძლება საკმაოდ ძლიერი იყოს (2.0T ან უფრო მაღალი). როდესაც საჭიროა ძლიერი ველი გამოიყენებენ მაღალგამტარიან ინდუქციურ კოჭებს. უფრო დაბალი სიძლიერის მაგნიტური ველს შესაქმნელად (1 E და უფრო დაბლა,) შეიძლებაგამოიყენონ მუდმივი მაგნიტი ან ელექტომაგნიტი, მარალგამტარიანობის გარეშე. უფრო დაბალი მაგნიტური ველი ნიშნავს, რომ ლარმოროის სიხშირე ასევე დაქვეითებულია შესაბამისად გამოსახულებაც გაუარესებულია. თუმცა ასეთ აპარატს იყენებენ დამატებითი კვლევის დროს.

პაციენტის პოზიციონირება მ.რ.ტ.-ის აპარატის ტრავერსზე იდენტურია კომპიუტერული ტომოგრაფიისა- (ანუ ერთიან მდგომარეობაში არიან პაციენტები) მ.რ.ტ.-ის ტრავერსი უფრო ღრმაა, რადგან გამოიყენება დიდი მაგნიტები, რომლებიც ველს ერთგვაროვნებას უზრუნველყოფს, ასევე უზრუნველყოფს რადიოსიხშირეების ეკრანირებას.

ბ.მ.რ.-სკანირება გრძელდება რამდენიმე წუთი სურ.12.17. აჩვენებს, რომ მ.რ.ტ.-ის სურათები ტომოგრაფიული ჭრილის მაგვარია, როდესაც კ.ტ. მეთოდით ვიღებთ. ორივე აპარატს შეუძლია გააკეტოს ჭრილი, რომ განსაზღვროს ანატომური ობიექტი ან ანომალია. უფრო და სრული ინფორმაციის მისაღებად ექიმს შეუძლია შეისწავლოს ფირები, რომლებიც კომპიტერული ტომოგრაფიით და მ.რ.ტ.-ის მანქანებით არის მიღებული.

თავი 2

დიაბენსტირების რენტგენული სისტემები

2.1.შესავალი

რადიოგრაფიის დახმარებით შექმნილი იქნა ორგანიზმის შინაგანი ორგანოების პირველი სამედიცინო გამოსახულებები. რენტგენულ ფოტონებს გააჩნიათ იგივე ელექტრო - მაგნიტური ბუნება, რაც სინათლის ფოტონებს თუმცა, სინათლის ფოტონებს გააჩნიათ 2-დან 4-ევ-მდე ენერგია, ხოლო რენტგენულ ფოტონებს კი 20-დან 150 კეგ-მდე ენერგია, რაც დაახლოებით 10^4 -ჯერ მეტია. ეს მეტად მაღალი ენერგია განაპირობებს რენტგენული ფოტონების შეღწევადობის გაძლიერებას. რენტგენული ფოტონების ნაკადს შეუძლიათ ნივთიერებათა ატომების იონიზირება (მაიონიზირებელი რადიაცია) რენტგენის სხივების მაგნე ზეგავლენა ორგანიზმისთვის, დასხივების ოდენობისა და ინტენსივობის პროპორციულია.

რენტგენული სხივები აღმოჩენილი იქნა 1895წ ვილგელმ რენტგენის მიერ, ამ აღმოჩენისთვის მან ისტორიაში პირველმა ნობელის პრემია დაიმსახურა.

ერთ რენტგენში (რ) ჰაერში იონიზაციის ხარისხი განისაზღვრება როგორც $2,58 \times 10^{-4}$ კ/კგ (კულონი კილოგრამში), თუმცა ეს განსაზღვრება არ ითვალისწინებს ტემპერატურისა და წნევის ცვალებადობის ზეგავლენას. შთანთქმული დოზის საწყისი ერთეული (რადი), განსაზღვრულია როგორც 10^{-2} კ/კგ სიდიდის ენერგიის შთანთქმა. იმდენად, რამდენადაც მშრალ ჰაერში ერთი იონური წყვილის ჩამოყალიბებისათვის აუცილებელია დაახლოებით 33,7 კვ, მაშინ 1 რენტგენი (რ) ექვივალენტურია 0,87 რადისა. სხვადასხვა ენერგიის ფოტონები სხვადასხვაგვარ ზემოქმედებას ახდენს პაციენტზე: დიდი ენერგიის მქონე ფოტონთა კონა ქსოვილების უფრო მეტ დაზიანებას იწვევს, ვიდრე გაზომილი გამოსხივების იგივე დოზა. რათა ავსნათ სხვადასხვაგვარი ბიოლოგიური ქმედება, შთანთქმული დოზა რადებში მრავლდება ბიოლოგიური ზემოქმედების კოეფიციენტზე - დაახლოებით 1.0 დაბალენერგეტიკული დიაპაზონისათვის (150 კეგ /ფოტონ-მდე) და დაახლოებით 4.0 მაღალენერგეტიკული გამოსხივებისათვის (4 მევ-მდე) ასე, რომ საბოლოოდ შთანთქმული დოზა გამოისახება რენტგენის ბიოლოგიურ ექვივალენტში. (რბე).

გამოსხივების გაზომვის თანამედროვე ერთეული, რადის ნაცვლად არის გრეი (Gy=გრ), რომელიც განისაზღვრება მშრალ ჰაერში როგორც $1\text{J}/\text{კგ}$.

ექსპოზიციის თანამედროვე გაზომვის ერთეულია ზივერტი (Sv=ზ) ტოლია გამოსხივების რაოდენობა (გრ) გამრავლებული ბიოლოგიური ზემოქმედების კოეფიციენტები. ორივე ერთეული 100 - ჯერ მეტია, ვიდრე მათი წინამორბედი ექვივალენტები – რადი და ბერი.

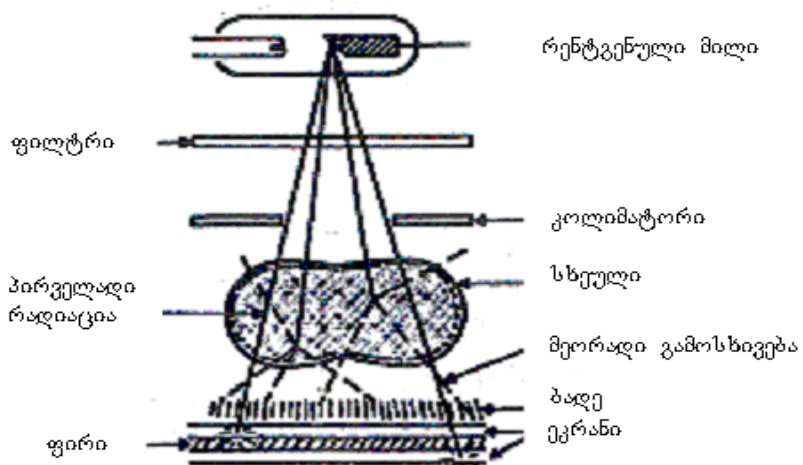
ჩვენ ვცხოვრობთ ფონური რადიაციის სამყაროში, კოსმოსური გამოსხივების და დედამიწის ბუნებრივი რადიოაქტიური გმოსხივების სამყაროში, რომელიც გამოწვეულია მძიმე ელემენტების დაშლით. ამ დაშლის პროდუქტს—რადონს შეუძლია გააღწიოს ქვის ნაკეთობებში და შეიჭრას ჩვენი სახლების ქვედა სართულებში. რადონის დაშლის პროდუქტებს შეუძლიათ შთანთქონ მტვრის ნაწილაკები და კვამლი. სამედიცინო და სტომატოლოგიური რენტგენული დანადგარების გამოსხივებას შეუძლია ზემოქმედება იქონიოს ფონურ რადიაციაზე, როგორც ქლორი წყალში, ასევე ძალიან მცირე რაოდენობით გამოსხივება არ არის მავნე, მეტიც ასეთი გამოსხივება შესაძლოა იყოს სასარგებლოც (მზეზე გარუჯვა). დიდი დოზით რადიაციას შეუძლია დააზიანოს ქსოვილები, რასაც იყენებენ ავთვისებიანი სიმსივნის არჩევითი განადგურების დროს.

ბუნებრივი ფონური რადიაცია მერყეობს 5×10^{-3} დან 2×10^{-2} ზვ/წელიწ. პლანეტაზე არის რაიონები, სადაც ბუნებრივი ფონი მეტია $10\text{-}100$. თუმცა სტატისტიკური მატება სიმსივნით გარდაცვლილთა სიაში არ აღინიშნება. გამოსხივების პირობებში მომუშავე პირთათვის უსაფრთხო დოზა პროფესიული გამოსხივებისა შეზღუდულია და შეადგენს 5×10^{-2} ზვ/წელიწადში. ჩვეულებრივ მოქალაქეთათვის ეს ზღვარი შეადგენს 5×10^{-3} ზვ/წელიწადს, რაც ფონურ დონეზე ოდნავ მეტია. მაშინ, როცა მაიონიზირებელი რადიაცია აზიანებს ქსოვილებს, ფონური ექსპოზიციის ნელი სიჩქარე ორგანიზმს აღდგენის საშუალებას აძლევს. ერთჯერადი გამოსხივება სიდიდით 6 ზვ/წელიწად. წარმოადგენს საშუალო სასიკვდილო დოზას (ს.ს.დ.) ეს კი ნიშნავს, რომ ადამიანთა ნახევარი, ვინც მიიღებს ასეთ დოზას, მოკვდება 1 თვის განმავლობაში. ასევე 10 ზვ/წ ეს არის დოზა რომელსაც ადამიანი მოელი ცხოვრების მანძილზე იღებს და არის სავსებით უსაფრთხო. მაიონიზირებელი რადიაციის შედეგების მიმართ ყველა ქსოვილი არ არის ერთნაირად მგრძნობიარე. განსაკუთრებით მგრძნობიარეა ნაყოფი (ჩანასახი), ასევე თვალის ბროლი, ძვლის ტვინი, სარძევე ჯირკვლები და ფილტვის ქსოვილი. რადიაციის დამაზიანებელი ზემოქმედების

გათვალისწინებით იქნა შემუშავებული რენტგენოგრამები მინიმალური ექსპოზიციები პრინციპით „გონიოგრული მინიმუმი”.

2.2. რენტგენული სხივების გენერაცია

ჩვეულებრივი რენტგენული სისტემა შედგება მაღალი ძაბვის გენერატორის, რენტგენული მილის, კოლიმატორის, ობიექტის (ანუ პაციენტის) გამაძლიერებელი ეკრანის და ფოტოფირისაგან (სურ.2.1.1.) უბრალო რენტგენულ გენერატორს აქვს სინათლის კვების შემწყვეტი, რეგულირებადი ავტოტრანსფორმატორი, ექსპოზიმეტრი და კონტაქტორი, ამწევი ტრანსფორმატორი და გამმართველი.



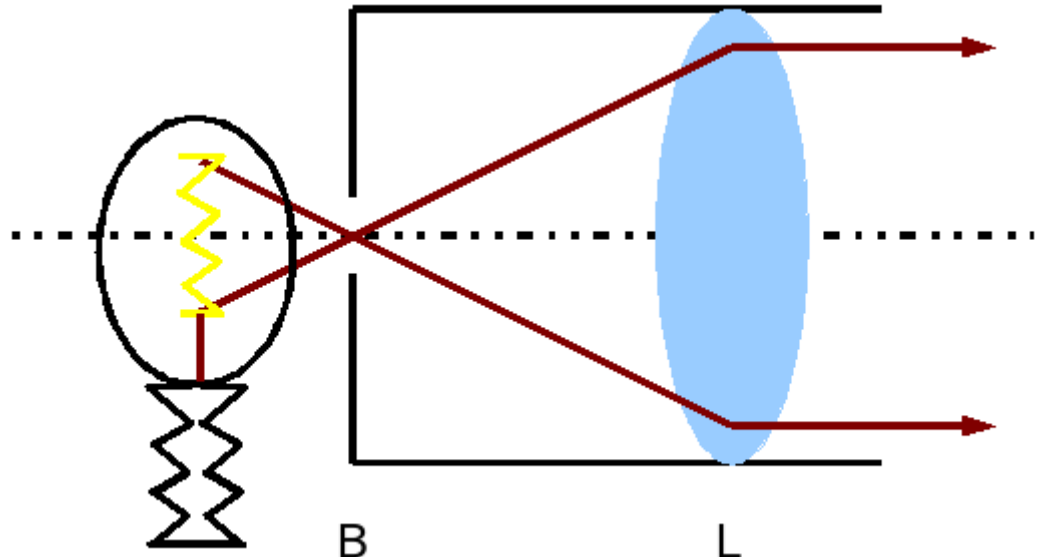
სურ. 2.2.1

რენტგენული მილი გამოიმუშავებს სხივებს, რომელიც შეზღუდულია აპარატურით კოლიმატორში. ალუმინის ფილტრი აკავებს დაბალ ენერგეტიკულ რენტგენულ სხივებს, რომელიც სხეულში არ გაივლიან. გაფანტულ მეორად გამოსხივებას აკავებს ბადე, ხოლო პირველადი გამოსხივება ბომბაგს ლუმინოფორულ ეკრანს. ინდუცირებული სინათლე მოქმედებს ფოტოფირზე.

კოლიმატორი (ცოლლიმო – ლათინური სიტყვიდან - მივმართავ პირდაპირი საზით) – ეს არის მოწყობილობა, რომელიც იძლევა საშუალებას მივიღოთ პარალელურ სხივთა კონა ან მათნიზირებელი გამოსხივება.

ოპტიკური კოლიმატორი (სურ. 2.2.2, 2.2.3.) შედგება ობიექტივის ან ჩაზნექილი სარკისაგან, რომლის ფოკალურ სიბრტყეში თავსდება

განათებული საგანი. ყველაზე ხშირად ასეთ საგანს წარმოადგენს გაუმჭვირვალე დიაფრაგმა, მაგ. მუდმივი ან ცვლადი სიგანის მქონე წვრილი ჭვრიტე. ობიექტივის და საგანის ფარდობითი განლაგება ფიქსირდება მათი კორპუსში დამაგრებით (ჩვეულებრივ მიღისმსგავსი ფორმა). კორპუსის შიგა დამუქებული კედლები შთანთქავენ სხივებს, რომელთა მიმართულება არ ემთხვევა მოთხოვნილ მიმართულებას.



სურ.2.2.2

სხივების პარალელურობა, რომლებიც გამოდიან კოლიმატორიდან მიახლოებითია, რადგან სხივები, რომლებიც გამოსხივდება საგანის ერთი წერტილიდან, არ შეიძლება იყოს ზუსტად პარალელური ერთმანეთის მიმართ (სურ. 2.2.3 ნაწილაკების კოლიმატორი (უმარტივესი)), ობიექტივის დიფრაქციის და აბერაციის გამო. საგანის ზომების სასრულობა განაპირობებს სხივების კონის დაცილებას ერთმანეთისაგან, რომლებიც გამოდიან მისი სხვადასხვა წერტილიდან.



სურ.2.2.3

სამედიცინო რენტგენული აპარატები მუშაობენ 80 კვ ძაბვაზე (ამპლიტუდური მნიშვნელობა), მოიხმარენ 300 მა დენს, ექსპოზიციის ხანგრძლივობა 0,1 წმ. გამოსხივების სიმძლავრე აღწევს 100 კვტ-ს.

რენტგენული მილაკი არის თერმოელექტრონული დიოდი. რენტგენული მილაკის ემისიური დენსის დონე რამდენადმე დაბალია დონეზე, რომელიც განისაზღვრება რიჩარდსონ - დუშმანის ტოლობით:

$$J_1 = AT^2 e^{-u/kT} \quad (2.2.1)$$

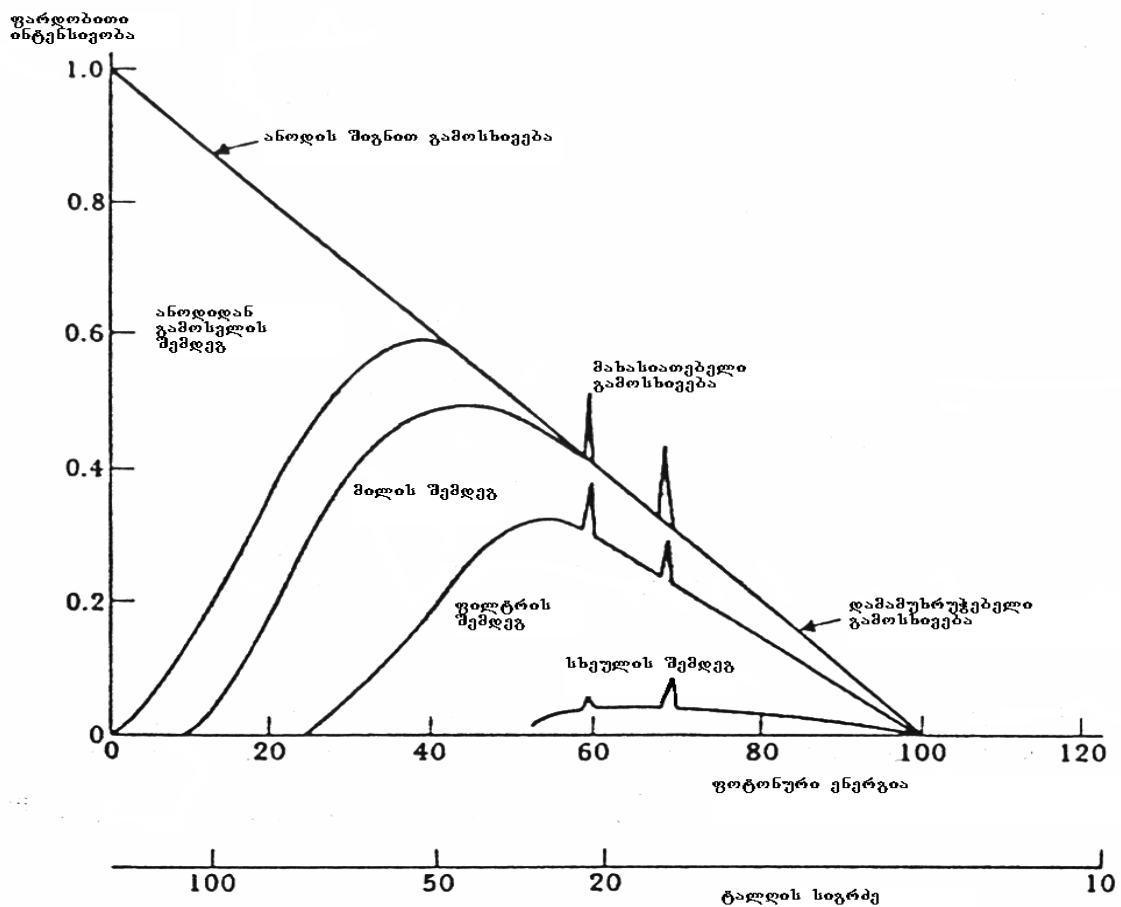
ასევე ლენგმიურის ტოლობით:

$$J_2 = BV^{3/2} \quad (2.2.2)$$

სადაც J - დენსის სიმკვრივეა, T - არხის ვარგარების ძაფის ტემპერატურა, u - არხის გამოსასვლელი ვარგარების ძაფის მუშაობა, k - ბოლცმანის კონსტანტა, A და B კონსტანტებია, განისაზღვრება ჩვეულებრივ ექსპერიმენტებით, V - ანოდურ-კათოდური ძაბვა. იმის გამო, რომ ვარგარების ძაფი ცივდება გამოსხივებით, ვარგარების ძაფის სიმძლავრე უტოლდება სითბოს რადიაციულ გაფანტვას.

$$\sigma T^4 = I^2 R \quad (2.2.3)$$

სადაც σ - სტეფან-ბოლცმანის მუდმივაა, I და R - დენსის ძალა და ვარგარების ძაფის წინადობაა. ამდენად ელ.სხივის დენი იმართება არხის ვარგარების ძაფის დენით, ანოდური დენის უკუკავშირით მისი სტაბილიზაციისათვის. ამასთან ანოდური დენის გრადაცია, რომელიც საჭიროა გამოკვლევების სხვადასხვა რეჟიმისათვის, მხოლოდ რამდენიმე დონითაა მეტი, ვიდრე ვარგარების ძაფის დენით მართული ანოდური დენის სტაბილიზაციის სიზუსტე.



სურ. 2.2.4

რენტგენული გამოსხივების სპექტრი. ყველაზე დაბალი ენერგეტიკული რენტგენული სხივები შთაინთქმება ანოდური მეტალით და მიღის მინის ზედაპირით. შემდგომ ალუმინირებული ფილტრი აჩერებს დაბალ ენერგეტიკულ რენტგენულ სხივებს, რომლებიც სხეულში არ გადის და მხოლოდ უშედეგოდ ზრდიან გამოსხივების დოზას. მხოლოდ შედარებით მაღალ ენერგეტიკულ რენტგენულ სხივებს შეუძლიათ შეაღწიონ სხეულის გავლით და დაამუქონ ფირი (ანუ მოახდინონ გამოსახულების ფორმირება). ფოტონის საშუალო ენერგია იზრდება ფილტრიდან ფილტრამდე (მრუდები ერთდებიან მარჯვნივ).

კონის ელექტრონები ეცემიან ანოდს და იწვევენ რენტგენულ გამოსხივებას ორი მექანიზმის საშუალებით. პირველ რიგში ეს არის – სამუხრუჭები გამოსხივება, რომელიც გამომუშავდება ანოდის ატომთა დადებითად დამუხტული ბირთვების ელექტრონების შენელების მეშვეობით. მეორე მექანიზმს წარმოადგენს – მახასიათებელი გამოსხივება, რომელიც

წარმოიქმნება რადგან ბომბარდირებული ელექტრონები ირჩევენ თავის თანამომეუბს დაბალი ატომური ორბიტებიდან, ამის შემდეგ მასში “ყვინთავენ” ელექტრონები ზემო გარსიდან ქვანტი გამოსხივების გამოყოფით. იმის გამო რომ შეკავება პროპორციულია ბირთვის პროტონების სიმკვრივისა, რომელიც თავის მხრივ პროპორციულია Z ანოდური მასალის ატომთა რიცხვისა, რენტგენული დანადგარის ეფექტურობა პროპორციულია ZV სიდიდის. რადგან დასხივებული ფოტონების ენერგია იქნება პროპორციული V-სი, მაშინ გამოსხივების სრული ენერგია იქნება პროპორციული ZV^2 .

სურ.2.2.4-ზე მოცემულია რენტგენის სხივების (ფოტონების) “ბედი”, რომლებიც გენერირდება რენტგენის მიღწი ფიქსირებული ანოდური ძაბვის V-ს პირობებში. ამ ფოტონებს აქვთ სხვადასხვა ენერგია. მკვრივ ნივთიერებაში რენტგენის სხივების განვლადობა პროპორციულია E^2 -ის, სადაც E - არის რენტგენის ფოტონების ენერგია. ასე, რომ დაბალი ენერგიის ფოტონებს აქვთ მცირე შანსი გაიარონ ანოდში ან მინისებური მილის გარსში. 100 კევ ენერგიის ელექტრონებისათვის რომლებიც ეხლებიან ვოლფრამულ ანოდს და k გარსიდან ელექტრონებს გამოდევნიან, რენტგენული ფოტონების გაშვების სპექტრს ორი მახასიათებელი პიკი გააჩნია 58 და 68 კევ. ამასთან 68 კევ წარმოადგენს გამოშვებული ელექტრონების ენერგიას, რომელიც მდებარეობს 1-ლი გარსის ზემოთ k გარსში, ხოლო 58 კევ შეესაბამება 1-ლი გარსის ელექტრონების გაცემულ ენერგიას k გარსზე ჩაშვებისას. გარდა ამისა სპექტრზე მოქმედებს, მეტალის ანოდით დაწყებული, ელექტრონების დამამუხრუჭებელი გამოსხივება და ყველა ფილტრში დაბალი ენერგიის ფოტონების შთანთქმა.

2.3 რენტგენის სხივების დახშობა

რენტგენის სხივების კონა თეთრი სინათლის მსგავსად, მოიცავს ენერგიის ფართო სპექტრს, რომელიც წარმოადგენს მრავალ ფერთა ერთობლიობას. მონოქრომატული რენტგენული ფოტონების (ანუ ტოლი ენერგიის ფოტონების) დახშობა ხდება იმავე წესით, როგორითაც ზღვის წყალში ახშობენ მონოქრომატულ სინათლეს:

$$I = I_0 e^{-\mu x} \quad (2.3.1)$$

აქ I -კონის საბოლოო ინტენსივობაა, I₀ - კონის საწყისი ინტენსივობა, μ -დახშობის კოეფიციენტი, x - ჩამაქრობლის სისქე ან ქსოვილის ფენაა. დახშობის კოეფიციენტი დამოკიდებულია ფოტონების ენერგიაზე, ელემენტთა შემადგენლობასა და ქსოვილოვანი შრის სიმკვრივეზე. რენტგენოგრამაზე აღინიშნება სხეულის ქსოვილების, ძვლების, კუნთებისა და სითხის შემადგენლობასა და სიმკვრივეს შორის განსხვავება. რენტგენული კონის საშ. ენერგიის ერთ-ერთი შემფასებელია - ნახევრად შესუსტების შრე - ნშშ, იგი ალუმინის ფირფიტის სისქის ტოლია, რომელიც აუცილებელია კონის ინტენსივობის ორჯერ შესამცირებლად. კონის ინტენსივობის გასაზომად იყენებენ იონიზაციურ კამერას, ხოლო ალუმინის ფირფიტის სისქე არ შეიძლება შეიცვალოს უსასრულოდ, იღებენ ორ ფირფიტას, რომელთა სისქეები ყველაზე ახლოსაა ნშშ -სთან, რის შემდეგაც ითვლიან დახშობის საშულო კოეფიციენტის მნიშვნელობას და კონის ინტენსივობის ნშშ -ს. სამედიცინო რენტგენის დანადგარის ნახევარად შთანთქმის შრე მუშაობს 80 კვ ძაბვაზე და დაახლოებით 3,0 მმ-ის (AI) ტოლია.

2.4. რენტგენის სხივების დეტექტირება

პაციენტები მიმართული რენტგენის სხივები შთაინთქმება ან აირეკლება მეორადი გამოსხივების სახით, ამიტომ მხოლოდ მათი პირველადი გამოსხივების მცირე ნაწილი (1-4%) აღწევს დეტექტორს. უმეტეს შემთხვევაში პირველადი და მეორადი ფოტონების გარჩევისათვის, რომლებიც მიფრინავენ სხვადასხვა მიმართულებით, რენტგენული სხივების დეტექტორის წინ ათავსებენ თხელი ტყვიის ფირისაგან შემდგარ ბადეს, რომელიც წააგავს მინიატურული ზომის ფანჯრის ჟალუზის. ამ ტყვიის ფირების სიმეტრიის მოკლე დერძი მიმართულია რენტგენის მიღის ფოკუსური ლაქისაკენ, ისე, რომ ფირებს შორის გაიაროს პირველადმა გამოსხივებამ, ხოლო მეორადი გამოსხივება შეფერხდეს.

ბადის გავლის შემდეგ გამოსხივება დეტექტირდება. ფირფიტა შესაძლოა გამოყენებული იქნას როგორც დეტექტორი, მაგრამ ფირფიტის დაბალი Z - ის (ატომური რიცხვი) და ემულსიის თხელი ფენის გამო, ფირფიტა ნაწილობრივ მაინც განვლადია. რენტგენული ფოტონების აღმოჩენის ალბათობის მომატებისათვის გამოიყენება მაძლიერებელი ეკრანები. ეს ეკრანები წარმოადგენენ პლასტმასის ფურცლებს, რომლებიც გაჯერებული ან დაფარულია ლუმინესცენტური ფხვნილით მაღალი Z-ით (მაგალითად CaWO_4) რომლებსაც ათავსებენ ორმაგი ემულსიური შრით დაფარული უოველი ფირფიტის ზედაპირის პირისპირ. რენტგენოგრაფიის მეთოდების მაძლიერებელი ეკრანით გამოყენება ზრდის მგრძნობელობას და ამცირებს ექსპოზიციას 20-100-ჯერ იმის მიხედვით, თუ რომელ ეკრანს გამოვიყენებთ. ორ ნახევარი სისქის ეკრანს გააჩნიათ უფრო მაღალი გარჩევისუნარიანობა, ვიდრე ერთ სქელ ეკრანს.

როგორც ცნობილია, არსებობს რენტგენის ქვანტის რიცხვის მინიმალური მნიშვნელობა, რომელიც საჭიროა მოცემული გარჩევისუნარიანობისას გამოსახულების მისაღებად. ამოცანა მდგომარეობს დეტექტორის არჩევაში, რომელსაც გააჩნია საჭირო გარჩევისუნარიანობა.

კვადრატულ მიღიმეტრში აღმოჩენილი ფოტონების რაოდენობა N , აუცილებელია რომ მხოლოდ დავინახოთ d ზომისა და C კონტრასტის თხელი ობიექტი. ფოტონების რაოდენობა გამოითვლება ფორმულით:

$$N = A \left[\frac{7.2}{d(C - 0.05)} \right]^2 \quad (2.4.1)$$

სადაც A ველის ფართობია. ჩვენ ვვარაუდობთ რომ ტიპიური დასხივების 1 რ (რენტგენი), დაახლოებით ექვივალენტურია 3×10^8 ფ/მმ²-ის, სადაც ფ/მმ²-ს ქელ ფენაში რენტგენული კონის ფილტრაციამდე, კვადრატულ მილიმეტრზე რენტგენული ფოტონების რაოდენობაა. მაშინ გამოსხივება რომელიც საჭიროა გამოსახულების მისაღებად, გამოითვლება შემდეგი ფორმულით:

$$\text{სბძ/კადრი} = \frac{2 \times 10^{-7}}{(\text{დჯმ})(\text{რძ})d^2(C - 0.05)} \quad (2.4.2)$$

სადაც დჯმ – დეტექტიორების ქვანტური მგრძნობელობა (რენტგენ - ფოტონების აღმოსაჩენად) და რძ – რენტგენოგამჭვირვალეობა (რენტგენ-ფოტონების საშუალო წილი, რომლებიც გამოდიან ობიექტიდან ან პაციენტიდან, გამოსახულების ფორმირების მიზნით) ამ ფორმულით შეფასებული რენტგენული ექსპოზიციის დაბალი მაჩვნებლისას მიღებული გამოსახულება უხარისხოა, ხოლო მაღალი მაჩვნებლის შემთხვევაში მუშაობისას მიიღება მეტად ხარისხიანი გამოსახულება – პაციენტის ზედმეტად დასხივების ხარჯზე.

„რენტგენის სურათი-ეკრანი“ კომბინაციის შერჩევისას, უნდა ავირჩიოთ ის ეკრანი, რომელიც მოგვცემს აუცილებელ გარჩევისუნარიანობას და ის ფირი, რომელსაც აქვს შესაბამისი სიმკვრივე, რათა მივიღოთ სასურველი დოზის დასხივება. თუ არჩეული ფირი მეტად მგრძნობიარეა, ის აღწევს მაქსიმალურ სიმკვრივეს უფრო ადრე, ვიდრე მასში გაივლის ფოტონთა საჭირო რაოდენობა (“გამჟღავნდება”). ასეთ ფირზე სწორი ექსპოზიციის დროსაც კი გამოსახულება არ მიიღება ხარვეზების გარეშე. უკეთესია ავირჩიოთ უფრო დაბალი მგრძნობელობის ფირი, რომელიც საშუალებას გვაძლევს დასხივების დოზა გავზარდოთ. მაშინ სტატისტიკური მოთხოვნები იზრდება, ხოლო ფირის ხმაური დაბალი რჩება სწორი შეკავებისას.

მეტად მგრძნობიარე ეკრანები უფრო სქელია, ვიდრე ნაკლებმგრძნობიარე. ეკრანის სისქე მერყეობს, 300-მმ-დან და ზევით მაღალი მგრძნობელობის და დაბალი გარჩევისუნარიანობის ეკრანებისათვის და 70-მმ-დე მაღალი გარჩევისუნარიანობის დეტალიზირებული ეკრანებისათვის.

დეტალიზირებული ეკრანებისა და მაღალიგარჩევისუნარიანობის ფირის გამოყენებას, დაბალი გარჩევისუნარიანობის ობიექტების დათვალიერებისას, მივყავართ პაციენტის მეტისმეტ ექსპოზიციამდე. მაღალ გარჩევისუნარიანობის კომბინაცია „ეკრანი-ფირი“ აუცილებელია ზოგიერთი ფორმის

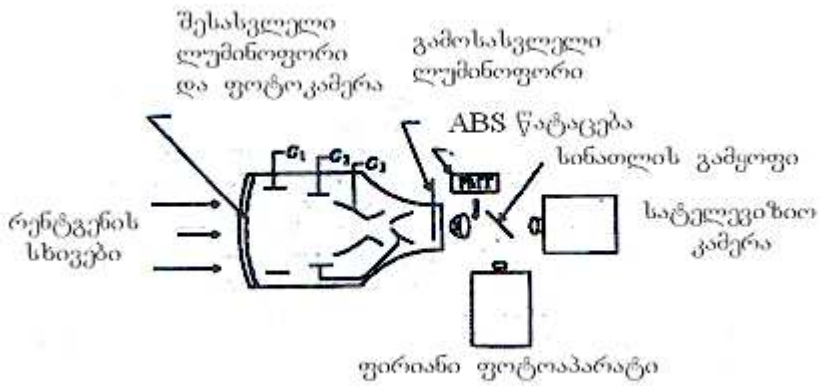
არტერიოგრაფიისათვის, რომლის დროსაც უნდა გავარჩიოთ წვრილი სისხლძარღვები, მაგრამ ის ზედმეტია, მაგალითად არამკვეთრი საზღვრების მქონე ფილტვის ფართო დაზიანების აღმოჩენის დროს. მაღალი გარჩევისუნარიანობა არ უნდა იყოს მთავარი მიზანი სამედიცინო რენტგენული სისტემის პროექტირებისას.

უფრო სქელ მაღალმგრძნობიარე ეკრანს აქვს დაშმ =10%, ხოლო უფრო თხელ დეტალიზებულ ეკრანს აქვს დაშმ < 2%. მამოგრაფიისათვის გამოიყენება თხელი ეკრანები, მაგრამ ამ პროცედურების შესრულება საჭიროებს კონის დაბალ ენერგიას, ამიტომ ასეთი ენერგიისას ეკრანებს აქვთ დაშმ რომელიც დახლოებით უდრის =30%-ს.

ეკრანის არჩევა წარმოადგენს კომპრომისს „თხელი ეკრანი + მაღალი გარჩევისუნარიანობა + დაბალი დაშმ და „თხელი ეკრანი + დაბალი გარჩევისუნარიანობა + მაღალი დაშმ. იოდიდი ცეზიუმის (ნატრიუმით ლეგირებული) ეკრანს აქვს უჩვეულო სტრუქტურა (ბოჭკოვანი ოპტიკის მსგავსი) და შეიძლება განვათავსოთ სქელ ფენად, რომლის დაშმ 50-80%-ს აღწევს, თანაც ხასიათდება მაღალი გარჩევისუნარიანობით მცირე გვერდითი შუქბაბნევით. სამწუხაროდ, ისინი წყალს აბსორბირებენ, იშლებიან ჰაერში და არ შეიძლება მათი ფირთან ერთად გამოყენება, თუმცა კარგად მუშაობენ გაკუუმში სიმკვეთრის გაძლიერების მიზნით.

2.5. ბამოსახულების მაძლიერებლები

რენტგენული გამოსახულების მაძლიერებლები გამოიყენება ფლუოროსკოპულ სისტემებში და უკვე შეცვალეს მოძველებული ეკრანები ფლუოროსკოპიისათვის. ფლუოროსკოპის ეკრანის ერთ-ერთ ნაკლს წარმოადგენდა ის, რომ რენტგენოლოგის თვალი უნდა შეჩვეოდა სიბნელეს, რომ გაერჩია სუსტად კონტრასტული ობიექტები. სხვა ნაკლოვანებები კი უკავშირდებოდა გამოსახულების ფოტოგრაფირებასთან დაკავშირებულ სიძნელეებს, განსაკუთრებით როდესაც ერთდროულად ხდებოდა დათვალიერებაც და უურნალის შედგენა.



სურ. 2.5.1

გამოსახულების გაძლიერების მიზნით რენტგენული სხივები ბომბარდირებულ შესასვლელ ლუმინისცენტრულ ეკრანს და გენერირებულ სინათლეს. სინათლე აიძულებს ფოტოგათოდს ელექტრონები გამოყოს. ელექტრონები ჩქარდებიან 25 კვ - მაბვაზე და ფოკუსირდებიან ელექტრული ველით. გამოსახულების ფორმირებისათვის ბომბარდირებულ გამოსასვლელ ლუმინისცენტრულ ეკრანს, რომელიც უმცირესია ზომით, მაგრამ უფრო ნათელია ვიდრე შესასვლელ ლუმინოფორში მიღებული გამოსახულება. სიკაშკაშის გაძლიერება გაძლიერების გეომეტრიის და ასევე ელექტრონების დაჩქარების შედეგია.

გამოსახულების რენტგენული მაძლიერებელი აერთებს რენტგენული დეტექტორისა და სიმკვეთრის მაძლიერებლების ფუნქციებს მინის კორპუსში. რენტგენის სხივები ბომბავენ შემავალ ეკრანს (ეს არის ცენტრული მინიჭებული), რომელიც ახდენს რენტგენის გამოსხივების ინტენსივობის პროპორციულ ფლუროსცირებას. შემავალი ლუმინოფორი მდებარეობს მაქსიმალურად ახლოს ფოტოგათოდთან ისე, რომ სინათლე ასტიმულირებს ელექტრონების გამოსროლას. ეს ელექტრონები აჩქარებენ მაბვას 25 კვ-მდე და ფოკუსირდება ელექტრული ველით. ისინი ბომბავენ გამოსავალ ლუმინოფორს, რომლებიც ახდენენ გამოსახულების ფორმირებას, რომელიც არის ზომით ნაკლები, მაგრამ მეტად მკვეთრი, ვიდრე მიღებული შესასვლელ ლუმინოფორში. გამოსახულების სიმკვეთრის დამოკიდებულებას, რომელიც მიიღება ორი ლუმინოფორით, ეწოდება მაძლიერებლის მიღის სიმკვეთრის გაძლიერება. სიმკვეთრის გაძლიერება ტოლია, გეომეტრიული (შესასვლელი და გამოსასვლელი ლუმინოფორის ფართობების დამოკიდებულება) და

ელექტრული სიმკვეთრეების წარმოებულისა (შესასვლელი და მინეცენტული გვექტურობის წარმოებული, ფოტოკათოდის ეფექტურობა, და მინოფორის შესასვლელ გამოსასვლელსა და გამოსასვლელ და მინეცენტობის გვექტურობას შორის პოტენციალთა სხვაობა).

გამოსახულების მაძლიერებელზე დამონტაჟებული ლინზა გამოსასვლელი გამოსახულების კოლიმირებას ან ფოკუსირებას ახდენს უსასრულობაზე. ლინზას, რომელიც გამოიყენება, როგორც კოლიმატორი, გააჩნია მაქსიმალური შემკრები უნარი, იმ ლინზებთან შედარებით, რომელიც გამოიყენება, როგორც კვლავწარმოების ელემენტი. ობიექტივის ყოველი კამერის ლინზები კრებენ სინათლეს კოლიმირების მეშვეობით, ხოლო შემდგომ აფოკუსირებენ მას ფირის სიბრტყეზე. ორმაგი ოპტიკური სისტემის უპირატესობა მდგომარეობს იმაში, რომ ამ სისტემაში შესაძლებელი ხდება გამოვიყენოთ სინათლის გამყოფი სარკე, რომ მივმართოთ სხივი ორ სამიზნეზე კონის სიმძლავრის პროპორციული გაყოფით.

მაგალითად, რენტგენოსკოპიის დროს მთელი სინათლე შესაძლოა იყოს მიმართული სატელევიზიო კამერისაკენ. რენტგენოკინომატოგრაფიის წარმოებისას ერთეული კინოკადრები საჭიროებენ უფრო მკვეთრ გამოსახულებას, ვიდრე ეს საჭიროა სატელევიზიო კამერაში, ამიტომ სინათლისგამყოფი ისეა პოზიცირებული, რომ სინთლის 90% მიმართოს კინოკამერისაკენ, ხოლო 10% სატელევიზიო კამერაში. ამის შედეგად, რენტგენოლოგს შეუძლია დააკვირდეს გამოსახულებას უშუალოდ ფილმის გადაღების დროს.

2.6. გამოსახულების ხმაური (შეფერხება)

თუ გამოვიყენებთ დამიზნებითი ფლუოროსკოპიის მეთოდს ობიექტივის ლინზის ფართოდ გახსნილი აპერტურით, მაშინ ფირი გამუქდება. ოპერატორს შეუძლია შეამციროს რენტგენის გამოსხივების დოზა, რომ მიაღწიოს ლენტის ჩამუქებას, მაგრამ ეს იქნებოდა შეცდომა, რადგან გამოსახულების ხარისხი იქნება ლიმიტირებული ფოტოკათოდზე შემთხვევითი პროცესებით. სწორი მეთოდიკით საჭიროა გამოსხივების დოზა შეირჩეს ისე, რომ მივიღოთ დამაკმაყოფილებელი ხარისხის გამოსახულება, ხოლო შემდეგ მოვახდინოთ კამერის ლინზის დიაფრაგმირება, რომ მივაღწიოთ ფირის ჩამუქებას.

რადიოგრაფიული ფლუოროსკოპიული სისტემა შედგება რენტგენის მაგიდისაგან რენტგენის მიღით რომელზეც დამიზნებითი რენტგენოგრაფის აპარატი მექანიკურადაა მიერთებული. დამიზნებითი რენტგენოგრაფის აპარატი იკავებს ფირიან კასეტას და მაძლიერებელ ეკრანებს (დამაგრებული სახით), გამტარის ეკრანირებულ გარსში. რენტგენოსკოპისას რადიოლოგი აკვირდება სატელევიზიო სურათს რენტგენის გამოსახულების მაძლიერებლის გამოსასვლელიდან. ობიექტის აღმოჩენისას ძრავა გადაადგილებს კასეტას გამოსახულების მაძლიერებლის წინ, რის შედეგადაც ხორციელდება რენტგენოსკოპული ექსპოზიცია. შემდეგ ძრავი აბრუნებს ფირს საწყის მდგომარეობაში და სისტემა უბრუნდება ფლუოროსკოპის რეჟიმს.

ტომოგრაფიული სისტემები განლაგებულია ისე, რომ ექსპოზიციის დროს მაგენერირებელი მიღი და კასეტა თავსდება ბრუნვის ცენტრის ან დერძის ახლოს. შედეგად უნდა წაიშალოს ობიექტის გამოსახულება, რომელიც დევს დერძის სიბრტყის მიღმა. ეს პროცედურა გვაძლევს საშულებას აღმოვაჩინოთ მცირე ზომის სიმსივნეები ფილტვსა და თირკმელში. არსებობს

ტომოგრაფიული აპარატები, რომლებიც გადაადგილდებიან მიღსა და კასეტის წრიულ სპირალურ და ჰიპეროციკლოიდური ტრაექტორიით ისეთი სიზუსტით, რომ ადვილია მივიღოთ შიგნითა ყურის ძვლების გამოსახულება.

2.7. პაციენტის დასხივება რენტგენული სხივებით

როგორც ზემოთ იქნა აღწერილი რადიაციას გააჩნია რიგითობა 10^{-2} ზვ/წელი. ჩვეულებრივი გულმკერდის ორგანოების რენტგენოგრაფი პაციენტს ასხივებს 4×10^{-4} ზვ, რაც ექვივალენტურია ფონური რადიაციის 25 დღისა. სხვა დიაგნოსტიკური რენტგენული პროცედურები დამყარებულია ერთჯერად დასხივებაზე 10^{-4} ზვ (თითები)-დან, 10^{-1} ზვ (თავი)-მდე და ითვლება შედარებით უსაფრთხოდ. კადრების მოჭარბებულმა რაოდენობამ ან გლუკოსკოპიამ შესაძლოა პაციენტი დაასხივოს ზედმეტად, ამიტომ საჭიროა ყოველი ასეთი პროცედურის რისკისა და სარგებლის შედარება. რენტგენოკინემატოგრაფია ან თანდათანობითი ელექტრონული რადიოგრაფია (სადაც გამოიყენება ვიდეომაგნიტოფონი) არეგისტრირებს გამოსახულებათა თანმიმდვრობას, მათგან ყოველი კი ცალკეული რენტგენოგრამაა. გულის გაფართოებულმა გამოკვლევამ შესაძლოა მიგვიყვანოს პაციენტის დიდი დოზით რადიაციამდე, ცნობილია, რომ მთელი სხეულის ერთჯერადი დასხივების საშუალო

სასიკვდილო დოზა 6 ზვ-ის ტოლია. შეზღუდული რეგიონების ექსპოზიცია, აძლევს ორგანოს აღდგენის საშუალებას, მაგრამ ზრდის სიმსივნით დაავადების შანსს.

ინგაზიური რენტგენოსკოპია საშუალებას გვაძლევს აღვადგინოთ ან სახეშევუცვალოთ სისხლძარღვებს და ორგანოებს ქირურგიული ჩარევის გარეშე. სისხლძარღვშიდა კანულის (პატარა მილი) საშუალებით ბალონური დილატაციისას სისხლძარღვოვან სისტემაში, სისხლძარღვის დეფაქტურ უბანში შეყავთ ერთარხიანი ტალღშემყვანი, რის შემდეგაც ბალონს ბერავენ, ამით აფართოვებენ შევიწროებული სისხლძარღვის საშუალო დიამეტრს. ამგვარი პრინციპით ფლუროსკოპული კონტროლით სისხლძარღვში აყენებენ სტენტს (ბრუნვადი მეტალის გამაფართოვებელი, რომელსაც ატარებენ გამტარში კანულის გავლით) რომ დაიცვან სისხლძარღვი კვლავ შევიწროვებისაგან. საუბედუროდ ზოგიერთი რენტგენული პროცედურები მეტად გახანგრძლივებულია და პაციენტის კანის ექსპოზიციამ შესაძლოა 1-ზვ-ს გადააჭარბოს, რაც იწვევს კანის სიწითლეს (ერითემას) და თმის ცვენას. უფრო მაღალმა დოზამ კი შესაძლოა გამოიწვიოს კანის დაწყლულება, რაც ძნელად შეხორცებადია და კანის გადანერგვის გარეშე არ ინკურნება.

თავი 3

ულტრასონომრაჟია

3.1. შესავალი

ჩვენ ვიცით, რომ ბგერითი ტალღის იმპულსები გამოიყენება წყალქვეშა ნავების აღმოჩენისათვის. რამდენადაც ტალღის სიგრძე λ , სიხშირე f და სიჩქარე u დაკავშირებულია ერთმანეთთან მარტივი დამოკიდებულებით $u = f\lambda$, მარტივია იმის ჩვენება, რომ ტალღის სიგრძე მოსასმენი ბგერითი სიხშირის სპექტრში შეადგენს წყალქვეშა ნავის სიგრძის მხოლოდ მცირე ნაწილს. ნავის კოორდინატების განსაზღვრის ცდომილება ბგერითი ტალღების სიგრძის ტოლია. თუ მივიღებთ წყალში ბგერის მისაღებ სიჩქარეს 1480 მ/წმ და ჰიდროლოგატორის შესარჩევ სიხშირეს $f = 1$ კგკ, მივიღებთ $\lambda = 1.48 \text{ მ}$. ეს სიზუსტე სრულიად საკმარისია საზღვაო საქმეში, მაგრამ დაუშვებელია, ადამიანის ნაყოფის ვიზუალიზაციისათვის. იმისათვის რომ მივიღოთ სიზუსტე 1.48 მმ-ი (ანუ გავაუმჯობესოთ 1000 -ჯერ), ლოკატორს უნდა ჰქონდეს სიხშირე 1.0 მგკ, ე.ი. უნდა მუშაობდეს ულტრაბგერით დიაპაზონში.

ბგერა და ულტრაბგერა ექვემდებარება გავრცელების და არეკვლის იგივე კანონებს რომელსაც ელექტრონული სიგნალები. შესაბამისად, გადასაცემი ბგერითი არხების ბოლოს დატვირთვა იმპედანსით უნდა იყოს განსაზღვრული, წინააღმდეგ შემთხვევაში ხდება ბგერის არეკვლა არხის ბოლოდან და არამხოლოდ გამოსაკვლევი ობიექტიდან. აკუსტიკური წინააღმდეგობა Z არის მატერიის თვისება, რომელიც განისაზღვრება მისი ρ სიმკვრივით და მასში ბგერითი ტალღის გავრცელების სიჩქარით $u: Z = \rho u$. ენერგიის წილი R , რომელიც აირეკლება ორი სხვადასხვა ტიპის ქსოვილის გაყოფისას, გამოითვლება ფორმულით.

$$R = \left[\frac{(Z_2 - Z_1)}{(Z_2 + Z_1)} \right]^2 \quad (3.1.1.)$$

სადაც იმპედანსები შეესაბამებიან ქსოვილებს, რომლებიც მდებარეობენ დაყოფის ზედაპირის ორივე მხარეს.

ცხრილი 3.1.1. 1.0 მგპ სისშირეზე ზოგიერთი ქსოვილების აკუსტიკური თვისებები

სოვილი	u, მ/წმ	Z, r/(სმ ² .წმ)	ნშფ, სმ	R გაყოფის ზედაპირზე
ჭყალი	1496	1.49x10 ⁵	4100	ჰაერი/წყალი
ჩხიმი	1476	1.37 x10 ⁵	3.8	წყალი/ცხიმი
კუნთები	1568	1.66 x10 ⁵	2.5	წყალი/კუნთი
თვინი	1521	1.58 x10 ⁵	2.5	წყალი/ტვინი
ძვალი	3360	6.20 x10 ⁵	0.23	წყალი/ძვალი
ჰაერი	331	4.13	1.1	ქსოვილი/ჰაერი

აკუსტიკური სიგნალების შესუსტება (ჩაქრობა) დამოკიდებულია მანძილზე, გეომეტრიაზე და ჩახშობაზე. ეს სიგნალები თავისუფალ სივრცეში მცირდებიან მანძილის კვადრატის უკუპროპორციულად, იმიტომ რომ ენერგია, რომელიც მოდის ფართობის ერთეულზე არის უცვლელი ენერგიის წილი, რომელიც ნაწილდება თანაბრად რ რადიუსიანი სფეროს მთელ ფართობზე და რომელიც ტოლია მანძილისა წყაროდან. სიგნალები მცირდება და შედეგად სუსტდება გარემო. თუ α არის შესუსტების კოეფიციენტი, ხოლო I₀ - ბგერის ინტენსივობა წყაროსთან ახლოს, მაშინ ბგერის ინტენსივობა წყაროდან განისაზღვრება ფორმულით:

$$I = \frac{I_0 e^{-\alpha r}}{r^2} \quad (3.1.2.)$$

თუ α არის მეტი რ-თან შედარებით, ექსპონენციალური წევრი თამაშობს ძირითად როლს. ამ შემთხვევაში მიზანშეწონილია განისაზღვროს სხეულის სისქე, რომლის დროსაც გარემოს შესუსტებით ნახვებდება სიგნალები გეომეტრიულ ეფექტებისგან დამოუკიდებლად. 3.1.1. ცხრილში ჩამოთვლილია ნშფ (ნახვერად შესუსტების ფენა) წყლის და სხვადასხვა ქსოვილების მნიშვნელობები. მივაქციოთ ყურადღება იმას, რომ წყალი საკმაოდ კარგი გამჭოლია ბგერის – მასში სიგნალი მცირდება 50 %-ით მხოლოდ 41 მ-ზე. 50% -ით ბგერითი სიგნალის შემცირებისას წარმოებს მისი გავლა 2.5 სმ ფენის კუნთებში. ბიოლოგიური ქსოვილების უმრავლესობას

აქვს შესუსტების მაღალი კოეფიციენტი და, შესაბამისად დაბალი სიდიდე ნშფ. შესუსტება ასევე ძლიერდება სიხშირესთან ერთად.

ულტრაბგერის გენერაციისათვის გამოიყენება ულტრა ბგერითი გარდამქმნელი (უბგ), რომლის მუშაობაც დაფუძნებულია კერამიკის „პიეზოელექტრულ“ თვისებებზე, როგორიცაა ბარიუმის ტიტანატი ან მისი მსგავსი მასალები. ამ მასალების შეკუმშვისას წარმოიქმნება პოტენციალური სხვაობა ელექტროდებზე, რომლებიც მიერთებულია მათთან შესაბამისი კრისტალური წახნაგებით. ამის მსგავსად, იგივე წახნაგებზე დამატებითი ზეწოლა გამოიწვევს კრისტალის დეფორმაციას. თუ შესაბამისი იმპულსი მოკლეა, მაშინ კერამიკის ელემენტები „რეგავს“ მასზე მექანიკური რეზონანსული სიხშირით. შესაბამისი ელექტრონული სქემით მუშაობისას, კერამიკული ელემენტი შეიძლება თავიდან გამოსცემდეს იმპულსებს, როგორც მინიატურული ხმამაღალი მოლაპარაკე, რომელიც გადასცემს ულტრაბგერითი ენერგიის მოკლე იმპულსს, ხოლო შემდეგ გადაირთვება, რათა იმუშაოს როგორც სიგნალების მისაღებმა მიკროფონმა, რომელიც აირეკლება სხვადასხვა ტიპის ქსოვილების ნაწილების ზედაპირიდან. მიმღების სიმძლავე იმპულსებს შორის შეიძლება შეიცვალოს როგორც დროის ფუნქცია, რათა მოხდეს ძლიერ მოდუნებული იმპულსების კომპენსაცია ქსოვილის მხრიდან. ამ ენერგიის ულტრაბგერა, რომელიც ახასიათებს ვიზუალური მედიცინის აპარატურას, ქსოვილის დაზიანებისას არ არსებობს, რაც ნათლად განასხვავებს ულტრაბგერით მეთოდებს რენტგენული გამოკვლეულებისაგან, რომელიც თან ახლავს იონიზირებულ რადიაციას.



სურ. 3.1.1.

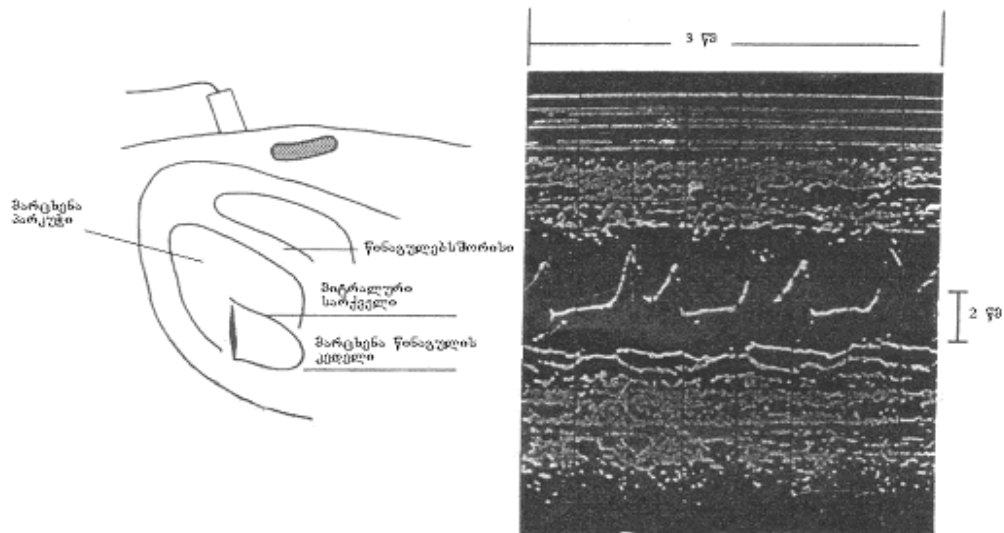
A-რეგიმში ტვინის სფინჯს შუახაზის სკანირება

ზონდირებულ იმპულსებსა და არეპლილს (ექოს) შორის დაგვიანება განსაზღვრავს მანძილს, განაყოფი ქსოვილის ნაწილის ზედაპირამდე ქსოვილების ულტრასტრუქტურა (სისხლძარღვები, კუნთოვანი გარსი, შემაერთებელი ქსოვილები) იძლევა დამატებით ეხოს „ერთგვაროვანი“ სტრუქტურის ქსოვილის საზღვრებში. ასეთი სახით, ქსოვილის სტრუქტურის ყოველ ცვლილებას შეაქვს წვლილი ექოს ფორმაში. სურ. 3.1.1. გვიჩვენებს თუ როგორ წარმოიშობა დაზიანებული სტრუქტურის ზედაპირის ნაწილიდან ექოს სიგნალები, რომელიც აღმოაჩენს მის განლაგებას. ასეთი ტიპის ულტრაბგერითი სკანერი – ეს არის A რეჟიმში მომუშავე მოწყობილობა. ეს მოწყობილობები გავრცელებული იყო ძველ დროში, როცა მათ იყენებდნენ თავის ტვინის შუა ხაზის წანაცვლების გასაზომად. A რეჟიმში მომუშავე ეს მოწყობილობები გვიჩვენებს ექოსიგნალების ინტენსივობას ორგანზომილებიანი გრაფიკის სახით X-Y კოორდინატებში. უბგ თავსდებოდა თავის ქალის მოპირდაპირედ და დისპლეიზე მოიცემოდა თავის ტვინის შუა ხაზის ექო – დრო (პროპორციულია სიღრმის). შემდეგ უბგ გადაადგილდებოდა თავის ქალის სხვა მხარეს, და პროცედურა მეორდებოდა. ნორმალურ მდგომარეობაში გამოსახულება სიმეტრიულია, ისე რომ თავის ტვინის შუა ხაზი ჩნდება იგივე პოზიციაში ორივე პროექციის დროს. სიმსივნემ ან დიდი ზომის შესქელებულმა სისხლმა შეიძლება წანაცვლოს თავის ტვინის ნახევარსფეროები, შუა ხაზის წანაცვლებით. ეს მარტივი მოწყობილობა ამჟამად გამოიყენება იშვიათად. ასე რომ ის შეიცვალა ისეთი სისტემებით, რომლებიც აჩვენებენ თავის ტვინის გაცილებით უფრო მცირე ზომის სტრუქტურებს, ვიდრე მისი შუა ხაზია.

თუ ოსცილოგრაფს მივაწოდებთ ექოს სგნალის შემოსვლის პროპორციულ სიგნალს (Y დერძი), რისთვისაც ნულოვანი ხაზი დაყენდება ეკრანის ყველაზე ზედა ნაწილში, მაშინ ყველაზე მარტივ შემთხვევაში უძრავი ზედაპირის ნაწილზე ჩვენ დავინახავთ პორიზონტალურ ხაზს, სხივების ჩვეულებრივი მობრუნების დროს (მარცხნიდან მარჯვნივ). თუ ზედაპირის ნაწილი მოძრაობს, ჩვენ დავინახავთ ამ ხაზის პერიოდულ შერევას ზემოთ და ქვემოთ. თუ ექოლოგატორის „მხედველობის“ გელში ხვდება დაყოფის რამოდენიმე ზედაპირი, მაშინ ეკრანზე ჩნდება რამოდენიმე პორიზონტალური ხაზი. ამას მოხდევს ექოს ამპლიტუდის სხივის სიკაშკაშის

მოდულაცია და თანმხლები სიგნალების დამახსოვრება, რათა მივიღოთ მოწყობილობა (ეხოგარდიოგრაფი), რომელიც ნაჩვენებია სურ. 3.1.2.-ზე ვიზუალიზაციის ასეთ რეჟიმს ეწოდება დინამიური სკანირება DC (time-motion, TM) ანუ ეხოგარდიოგრაფია, რომელსაც იყენებენ კარდიოლოგიაში.

3.1.2. სურათზე ნაჩვენებია გულის სარქველის მოძრაობა სამ კარდიალურ ციკლში, ვიზუალიზაციის მოცემული მეთოდებით.

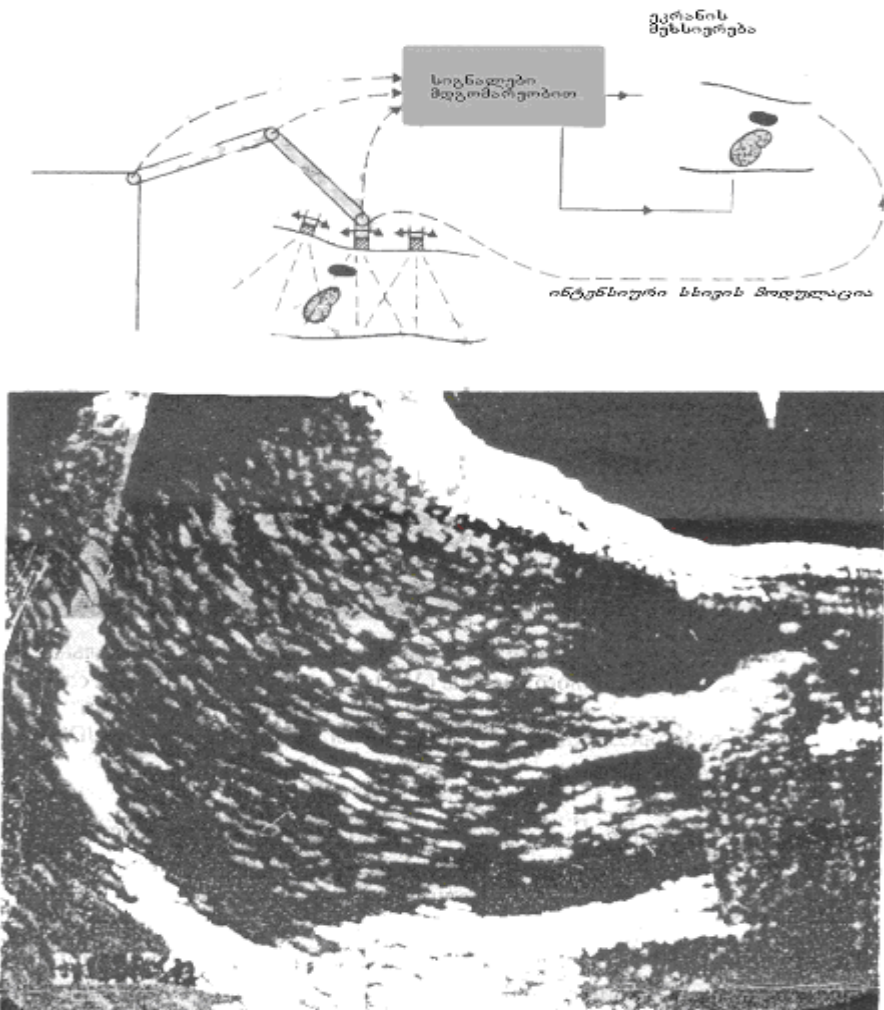


სურ. 3.1.2.

გულის მიტრალური სარქველის ექოგარდიოგრამა.

მონიტორის გამოსახულების სიკაშკაშის მოდულირება მეხსიერებით ან ელექტრო სხივური მილით - ესმ განათების შემდეგ შეიძლება უბგ-ს გადაადგილებასთან დამოკიდებულებით. ამით შესაძლებელია მივიღოთ ობიექტის ორგანზომილებიანი კონტური. ძველ სისტემებში ინფორმაცია კოორდინატებში და უბგ სხივის მიმართულება გადაეცემოდა დისპლეიზე ბლოკური სისტემისა და პოტენციომეტრების დახმარებით. ახალ სისტემებში გამოიყენება მექანიკური დაყოფა ან ჩარჩოს ფაზირებული ანტენები (კონსტრუქციულად განლაგებული უბგ-ს ბლოკში). ასე რომ შესაძლებელი იქნება მივიღოთ ორგანზომილებიანი გამოსახულება უბგ-ს მოძრაობის გარეშეც. კომპიუტერი ინახავს არეკლილ სიგნალებს დისპლეიზე სექტორების სახით. ზოგიერთი გაუმჯობესებული სისტემები აერთიანებს რამდენიმე სექტორულ გამოსახულებებს, რომლებიც მიღებულია სხვადასხვა

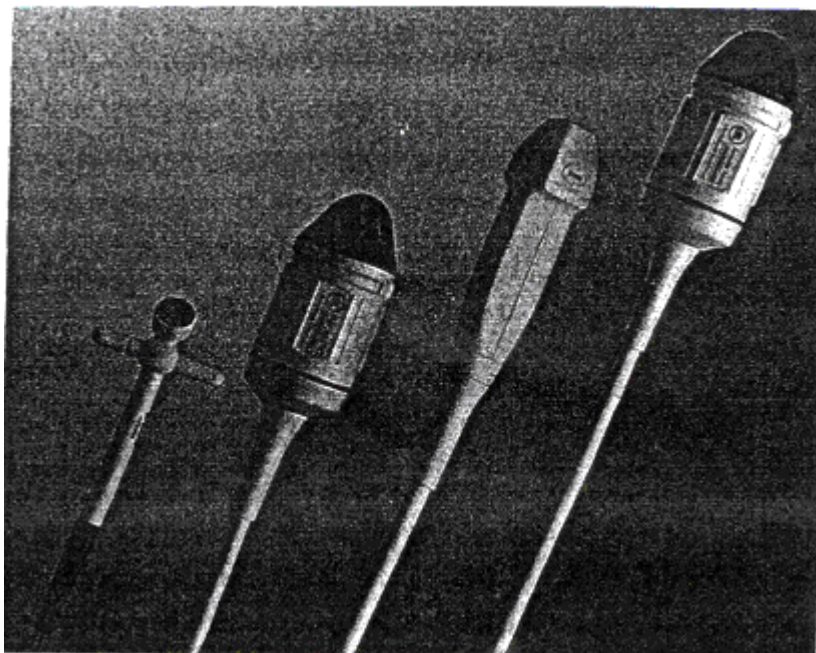
მიმართულებით. შედეგად მიიღება ჯამური გამოსახულება, რომელიც ბევრად უფრო უკეთესი ხარისხისაა, ვიდრე ერთი მიმართულებით გადაღებული გამოსახულება. სექტორულ გამოსახულებას და აგრეთვე ორგანზომილებიანი გამოსახულებების უმრავლესობას ეწოდება B რეჟიმის გამოსახულება. (სურ.3.1.1.).



სურ. 3.1.3.

- ა) გვიჩვენებს ორგანზომილებიან კონტურებს და გამოსახულების საზღვრებს რა დროსაც იყენებს რამოდენიმე მიმართულების სკანირებას. ბ) B-რეჟიმში ულტრაბგერითი გამოსახულება რომელიც შეესაბამება ა) - სქემას და გვიჩვენებს მუცლის კანს (მარჯვნივ ზემოთ); ღვიძლს (მარცხნივ ცენტრში); ნაღვლის ბუშს (მარჯვნივ და ცენტრის მაღლა) და თირკმელებს (მარჯვნივ დაცენტრის ქვემოთ). თირკმელების პროექციის საზღვრებში ნათელი მონაკვეთი შეესაბამება შემაგროვებელ მიღებს.

უფრო ხშირად სამედიცინო ულტრასონოგრაფიაში გამოიყენება სიხშირე 1-დან 15 მგპ-მდე. მუშა სიხშირე შეირჩევა ისეთი სახით, რომ მივიღოთ ობიექტის უკეთესი გამოსახულება. უფრო მაღალ სიხშირეზე უმჯობესდება გარჩევისუნარიანობა, მაგრამ თანმხლები მცირე ნშვ ზღუდავს შეღწევის სიდრმეს. და მაინც სპეციალური მიზნებისათვის მუშა სიხშირე შეიძლება გაიზარდოს 15 მგპ-მდე და მაღლა. მაგალითად, მაღალი სიხშირე გამოიყენება ახალშობილის ორგანოს ვიზუალიზაციისათვის და ოფთალმოლოგიაში, სადაც ობიექტის ზომები არც თუ ისე დიდია. ამით მაღალი გარჩევისუნარიანობა გამოიყენება ძალიან პატარა სტრუქტურების ან ანომალიების შესასწავლად.

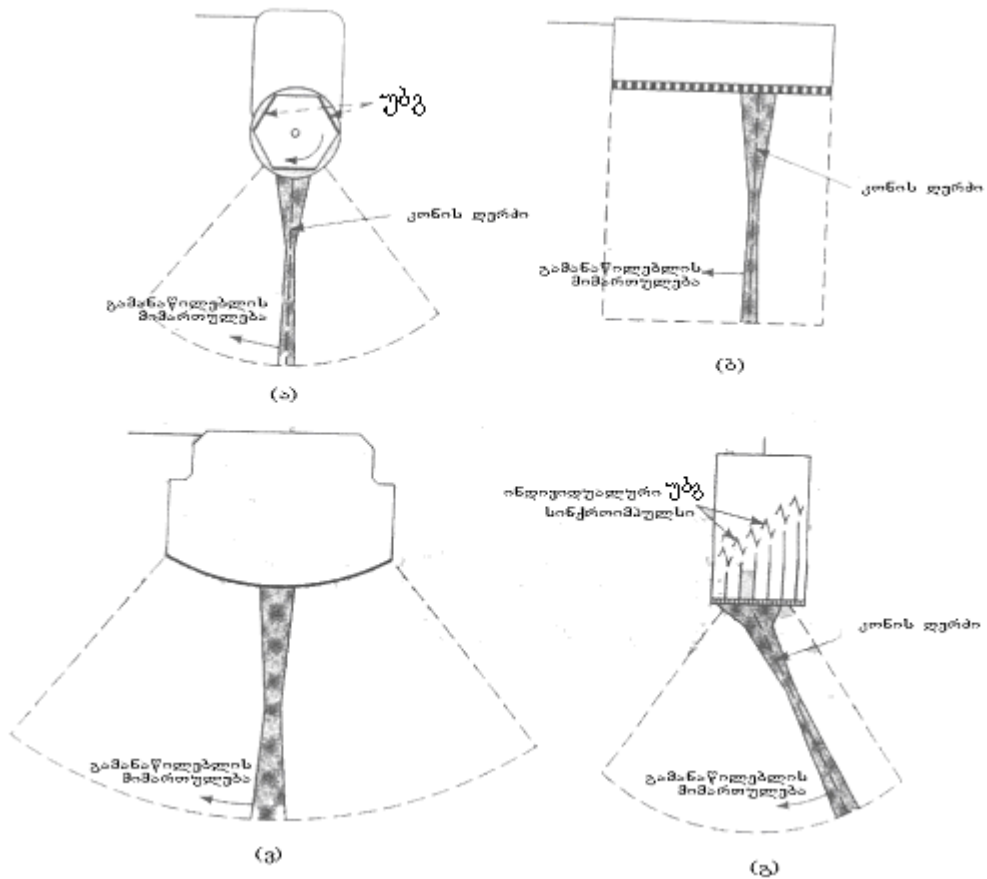


სურ. 3.14.

ულტრაბგერითი სენსორების სხვადასხვა ტიპები 12 მგპ-იანი მუშა სიხშირიდან ოფთალმოლოგიური მიმღებების 4 მგპ-მდე სენსორებისათვის, მბრუნავ თავაკიანი მოწყობილობით.

3.14. სურათზე ნაჩვენებია ოთხი ტიპის ულტრაბგერითი სენსორები. ორი დიდი მოწყობილობისათვის გამოიყენება სამი უბგ, რომელიც ბრუნავს სითხით სავსე გარსში (სურ. 3.15. ა). საშუალო ზომის სენსორებში და მცირე ოფთალმოლოგიურ მიმღებებში გამოიყენება ფაზიორებული ანტენის ჩარჩოები, რომლებითაც რეგულირდება იმპულსების გაგზავნის დრო რამოდენიმე კერამიკული გამომსხვებლიდან. თუ უბგ -ს ყველა ელემენტი არეგულირებს იმპულსებს ერთდროულად, მაშინ ულტრაბგერითი ენერგია გამოსხვდება

პირდაპირი მიმართულებით (3.15. ბ). თუ მარცხენა მხარის ელემენტი აღიგზნება დროის დაყოვნებით მარჯვენა გამომსხივებელთან შეფარდებით, მაშინ ჯამური ენერგია გამოსხივდება მარჯვენა კუთხეში, დროის დაყოვნების პროპორციულად (სურ. 3.15. გ). დაყოვნების დროის ცვლილებისას, შეიძლება მივმართოთ ულტრაბგერითი სხივების კონა ერთიდან მეორე მხარეს. თუ მოვათავსებოთ კანზე მბრუნავ უბგ-ს ან უძრავ უბგ-ს, დამაგროვებელი ფაზირებული გამომსხივებლებით, მივიღებოთ სექტორულ გამოსახულებას. უბგ ფაზირებული ჩარჩოს ანტენით შეიძლება იყოს საკმაოდ მცირე ზომის, ასე რომ შეიძლება მათი დაყენება ზონდის ბოლოზე, რომელიც შედის სხეულში – მაგალითად, სწორ ნაწლავში პროსტატის, ნაყოფის გამოსახულებისათვის ან რეპროდუქციული ორგანოების მდგომარეობის შეფასებისთვის.

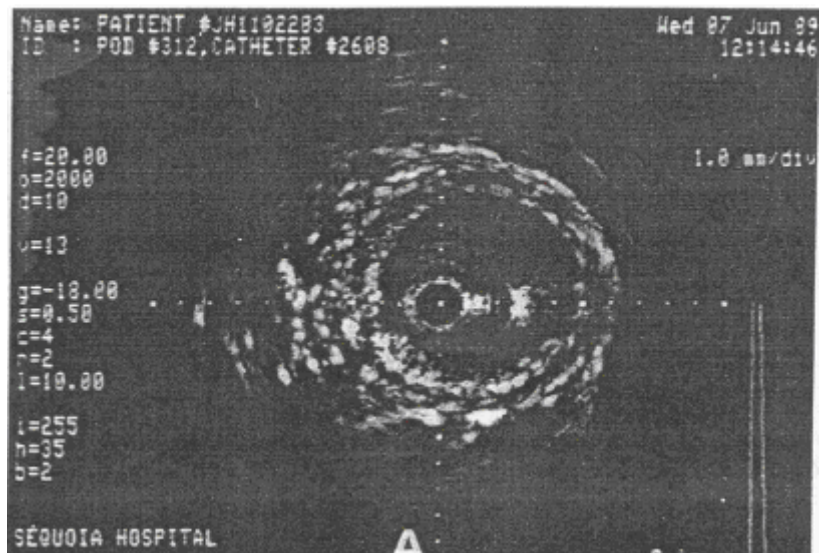


სურ. 3.15.

ულტრაბგერითი სკანირების თავაკები. (ა) მექანიკური მოწყობილების მბრუნავი. (ბ) სწორხაზოვანი ფაზირებული ანტენის ჩარჩო, რომელიც ასკანირებს ისეთივე სიგრძის ნაწილს, როგორც სკანირების თავაკი. (გ) ამოზნექილი ულტრაბგერითი გარდამსახებით (უბგ) შეიძლება სექტორის სკანირება. (გ) უბგ-ს ფაზირებული ნაკრების აღგზნება შეიძლება შევცვალოთ კონის (ნაკრების) მიმართულება. ამიტომ რამდენიმე მცირე უბგ-თი ხდება

დიდი ნაწილის სკანირება და ერთი ძლიერი უბგ-ს ექვივალერნტური ხდება, რომელიც მექანიკურად ბრუნავს სხვადასხვა მიმართულებით.

უფრო მცირე ზომის გარდამსახები იყო შექმნილი მაღალხარისხიანი ულტრაბგერისათვის. მათ დგამენ კათეტერის ბოლოში და გამოიყენება ანგიოპლასტიკის წინა მოსამზადებელი პერიოდის დროს სისხლძარღვების გამოკვლევისათვის. სურ. 3.1.6. ნაჩვენებია ნორმალური არტერიის გარეგნული სახე, რომელიც მიღება უბგ-ს დახმარებით და მოთავსებულია კათეტერის ბოლოში. ანგიოპლასტიკის დროს (პლასტიკური ოპერაციები სისხლძარღვებზე) ბალონი შეეყვანება იშემიზირებულ ან ხშირად ჩაკეტილ სისხლძარღში და ჩაიბერება, რათა გაიჭიმოს სისხლძარღვის კედელი და გადიდდეს მასში სანათური (დიამეტრი). შედეგად გაიზრდება რეგიონალური სისხლდენა და გაუმჯობესდება ორგანოს მომარაგება ჟანგბადით. თუ სისხლძარღვის კედელი სუსტია, მაშინ ზონდირების საშუალებით მიღებული გამოსახულება გვიჩვენებს, რომ ანგიოპლასტიკამ შეიძლება საფრთხეში ჩააგდოს პაციენტის სიცოცხლე. ბალონის ჩაბერვის შემდეგ, ზონდი შეიძლება გამოვქანოთ უკან, რათა განვსაზღვროთ დაჭიმული კედლის ზომა და შევამოწმოთ სისხლძარღვის მთლიანობა.



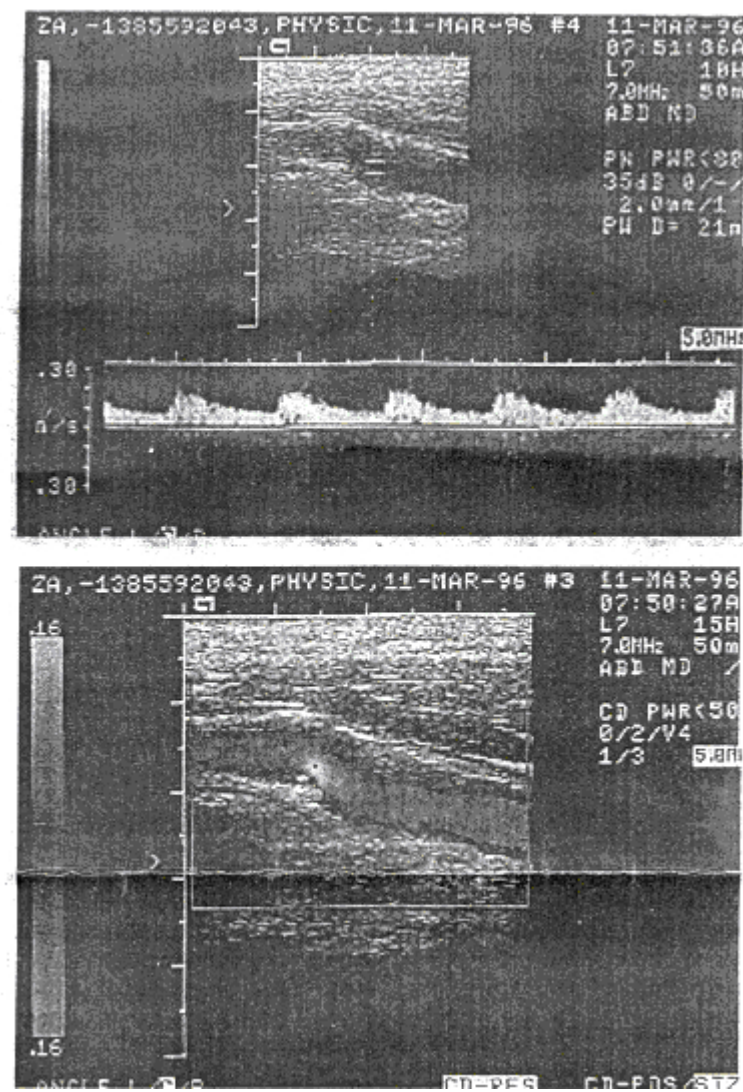
სურ. 3.1.6.

შიდასისხლძარღვების ულტრაბგერით გამოსახულებას გვიჩვენებს ნორმალური არტერიის სამფენიანი კვეთა. „ციფერბლატის 7 საათზე“ ჩანს ლაქა, რომელიც აირეკლება არტერიის მკვდარი კალცინოზიდან.

3.2. ღუალეშური სპანერები

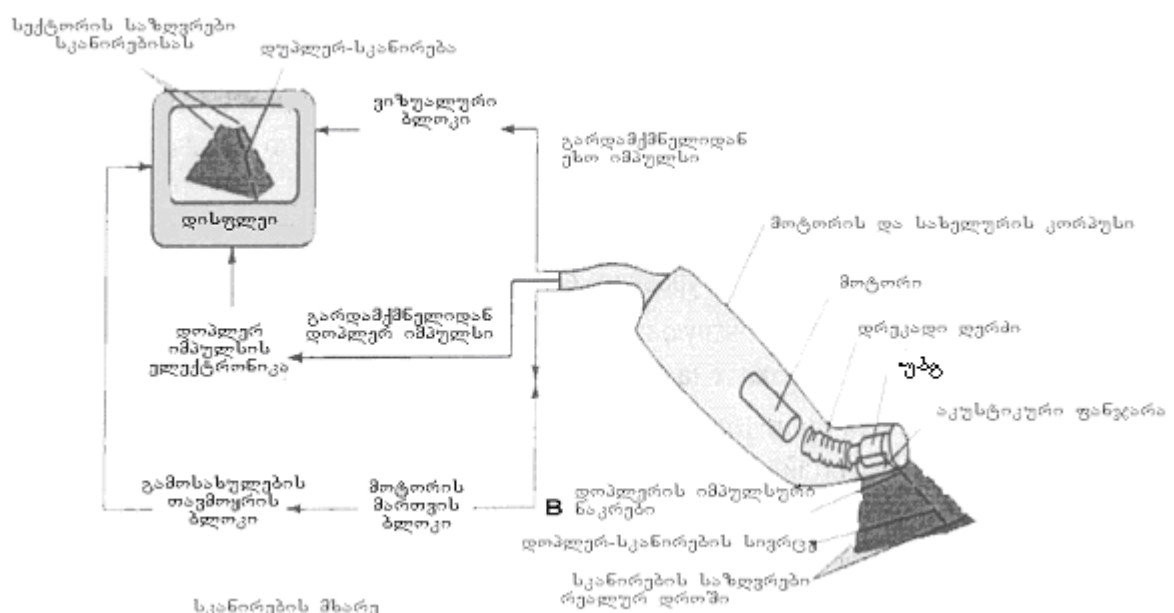
სტატიაში აღწერილია ჟლტრაბგერითი ფაზირებული ანტენის ჩარჩოიანი დუპლექსური სკანერის კონსტრუქცია. ამ სკანერით ერთდროულად ხდება დროის რეალური მასშტაბიანი ორგანზომილებიანი გამოსახულების მიღება და ატრამვატული იმპულსური დოპლერის მეთოდით ხდება სისხლის მიმართული მოძრაობის სიჩქარის განსაზღვრა. სურ. 3.5. (გ) გვიჩვენებს, თუ როგორ გენერირებს მექანიკური სკანერი მარაოსებურ კონას დროის რეალურ მასშტაბში. სურ. 3.2.2 წარმოდგენილია ხელსაწყოს სტრუქტურა. დუპლექსური სკანერის ფერადი დისპლეი გვიჩვენებს სისხლის მოძრაობის მიმართულებას მაყურებლისკენ წითელი ფერით, ხოლო მისგან – ცისფერით, ამასთან, ფერის ინტენსივობა შეესაბამება სისხლის მოძრაობის სიჩქარეს. ამ მეთოდს ეწოდება სისხლის მოძრაობის ფერადი ტომოგრაფია.

დუპლექსური სკანერით შეიძლება განვასხვაოთ შერეული სისხლი მუდმივი რბილი ლაქისგან, რომელიც გამოიყენება კაროდიტული არტერიის პათოლოგიის დიაგნოსტიკისათვის. იმპულსური დუპლექსური მეთოდი ფართოდ გამოიყენება გულის პათოლოგიური ნაკადის მიმართულებისა და ხარისხის ლოკალიზაციისა და აღმოჩენისათვის, სარქველების დაფექტების, დაზიანების შუნტირების, ასევე კუჭსა და გულში ტიხარების დაფაქტებისას.



სურ. 32.1.

(ა) დუპლექსური სკანირება B-რეჟიმში



სურ. 3.2.2.

დუპლექსური სკანერი - შეიცავს მექანიკურ სექტორულ განაწილებას, მუშაობს დროის რეალურ მასშტაბში, რომლითაც ხდება მარაოსმსგავსი ორგანზომილებიანი გამოსახულების ექო-იმპულსის გენერირება. იმისათვის რომ განვსაზღვროთ სისხლის სიჩქარე, განსაზღვრული სიხშირის და მიმართულების სიგნალები დამუშავებულია სპუციალური ელექტრონული მოწყობილობით.

თავი 4

კომპიუტერული ტომოგრაფია – CT

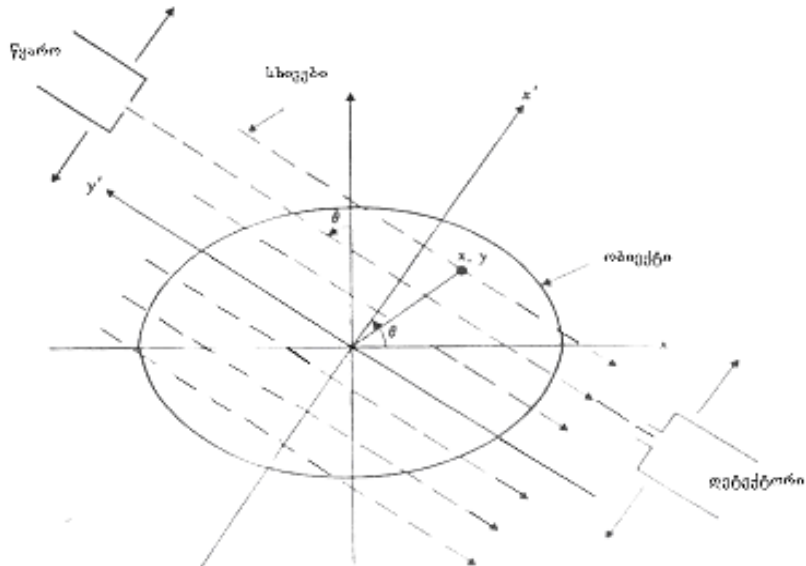
ჩვეულებრივი რენტგენული გამოსახულება შეზღუდულია, რადგან ის არის რენტგენული სხივების ჯერ ობიექტზე მოხვედრის და შემდეგ ლენტზე პროექციის შედეგი. თუ არსებობს სხივის ერთი და იგივე ნაწილში ელექტრონების სიმკვრივის დიდი და მცირე გარიაციები, მაშინ მცირე გარიაციების გამოვლინება არ ხდება. ამის მაგალითია ჩვეულებრივი გულმკერდის რენტგენოგრამა, რომელზეც ძვლის მჭიდრო სტრუქტურები ართულებს უფრო ნაკლებად მჭიდრო, ფილტვების სტრუქტურების შესახებ ინფორმაციის მიღებას.

ერთ-ერთი საშუალება ასეთი სახის შეფერხების მინიმიზაციისა არის სურათზე სხვადასხვა მიმართულების რამდენიმე პროექციის შექმნა, მაგრამ პრაქტიკულად ეს შეუძლებელია. შედარებით არც ისე დიდი ხნის წინ გამოჩნდა ახალი გზა დაწვრილებითი ინფორმაციის მიღებისა და დამუშავდა დიაგნოსტირების ახალი მეთოდი და შესაბამისი რთული აპარატები კომპიუტერული ტომოგრაფები..

კომპიუტერული ტომოგრაფია პტ – ეწოდება გამოსახულების დიაგნოსტირების პროცედურას, რომელზეც ანატომიური ინფორმაცია ციფრული ფორმით აღდგენილია გადაცემის რენტგენული არხიდან, რომელიც მიღებულია რაღაც გარკვეული არის სკანირებით მრავალი მიმართულებით, ერთი და იგივე სიბრტყეში, რათა განხორციელდეს, მოხდეს ამ სიბრტყის შესახებ ინფორმაციის ვიზუალიზაცია. იდეა პირველად შემუშავდა თავის ტვინის გამოსახულების შესაქმნელად. ცნობილია, რომ ტვინში სიმკვრივის დინამიური დიაპაზონი შეადგენს მხოლოდ რამდენიმე პროცენტს. ამასთან, ტვინი გარშემორტყმულია თავის ქალით რომელიც იმდენად მკვრივია, რომ აფერხებს და შთანთქავს რენტგენული სხივების უმეტესობას. კომპიუტერული ტომოგრაფია დაფუძნებულია განტოლებათა სისტემის ამოსნაზე რომელშიც ჩაბმულია მიღევის ათასობით კოეფიციენტი, ს. ე. ყოველი i_j ელემენტისათვის მრავალნაირი მიმართულებით (პროექციით). მოცემული მიმართულებით სრული მიღევა დაკავშირებულია ინდივიდუალური მიღევის კოეფიციენტის ჯამთან.

ერთეულოვანი ელემენტისთვის გვაქვს $I=I_0e^{-\mu x}$ ან $\ln(I/I_0)=-\mu x$ ფორმულა. ერთი სისქის ელემენტების რიგისათვის გვაქვს:

$\ln \frac{I}{I_0} = -\Delta x e^{-Dx} (\mu_1 + \mu_2 + \mu_3 + \dots)$, აქ I – გამოსასვლელი კონის ინტენსივობაა, I_0 – კონის საწყისი ინტენსივობაა, x - შრის სისქე, Δx - მუდმივი სიდიდის ელემენტის სისქე, μ – მიღვის კოეფიციენტი, μ_i – შთანთქმის კოეფიციენტი.



სურ.3.3.1.

კომპიუტერული ტომოგრაფიის გეომეტრია და კოორდინატთა სისტემა ობიექტს ასხივებენ ზე კუთხით. შემდგომ წყარო და დეტექტორი ერთდროულად ბრუნდებიან მცირე კუთხით და პროცედურა მეორდება. გაზომვები გრძელდება სრულ 180^0 მობრუნებამდე.

გამოსახულია „პირველი თაობის“ კომპიუტერული ტომოგრაფების სკანირების პროცესის პრინციპიალური სქემა. რენტგენული სხივების კოლიმირებულ კონას ატარებენ პაციენტის თავის გავლით, გასწვრივი (მიმართული) დერძის საწინააღმდეგო მიმართულებით. პაციენტის მოპირდაპირე მხარეზე სხივების კონის ნაკადის გამოჩენა მუდმივად კონტროლდება სცინტილაციურ მიმღებში. რენტგენული წყარო და დეტექტორი გადაადგილდება ერთდროულად (კონის გადაადგილების პერპენდიკულარულად). სკანირების გზაზე ხორციელდება რენტგენული კონის სრული მიღევის 160 -მდე ცალკეული გაზომვა, თანაბრად განაწილებულ წერტილებში. რენტგენული წყაროსა და დეტექტორისგან შემდგარი ანწყობი ბრუნდება პატარა კუთხით (ჩვეულებრივ 1^0 -ით), რის შემდეგაც პროცედურა მეორდება. სკანირების პროცედურა, რომელსაც თან

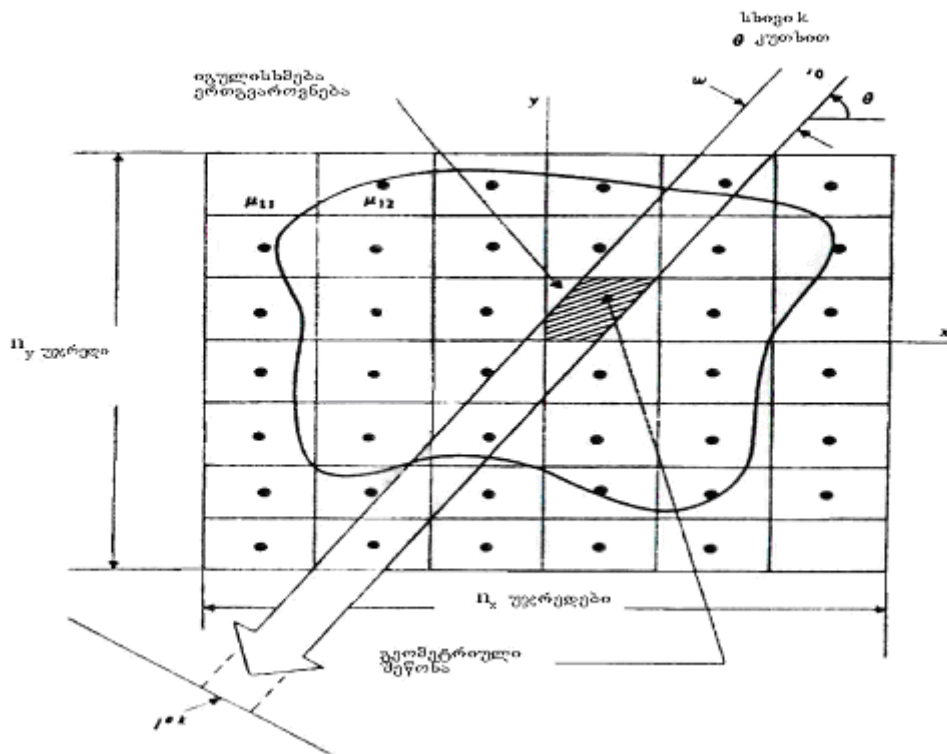
სდევს ინფორმაციის შეგროვება, გრძელდება სანამ არ შესრულდება სრული პრეზიტ.

აღწერილ პროცედურას ეწოდება ტომოგრაფია. საბოლოოდ მიიღება ინფორმაცია მხოლოდ იმ სტრუქტურის ვიწრო ანატომიურ ჭრილზე, რომელიც გადაკვეთა სხივმა. კომპიუტერული ტომოგრაფია დაფუძნებულია მათემატიკურ გამოგონებაზე, რომ ორგანზომილებიანი ფუნქცია განისაზღვრება პროექციით ყველა მიმართულებით. თუ კონის აბსორბაცია იზომება 1 სკანირების 60 სხვადასხვა წერტილში, კუთხის 1^o-იანი მატებით, ვდებულობთ დაახლოებით 29 000 რენტგენული სხივის შთანთქმის რიცხვს. მათ იყენებნ იმისათვის, რომ მოახდინონ რენტგენული შთანთქმის ორგანზომილებიანი გამოსახულების, როგორც კოორდინაციის ფუნქციის რეკონსტრუირება, რომელიც წარმოდგენილია როგორც 160x160 ერთგვაროვან კვადრატული ელემენტების მატრიცის სახით.

გამოსახულების რეკონსტრუქცია სკანირების მონაცემებზე დაყრდნობით ხორციელდება პატარა კომპიუტერის საშუალებით. სამუშაო ძალიან სწრაფად სრულდება მათემატიკური ალგორითმების მეშვეობით.

მათემატიკური ალგორითმები ორ დიდ საერთო კლასად იყოფა: იტერაციული (განმეორებითი) და ანალიტიკური. რეალურ და ჰიპოთეტურ მონაცემებს ადარებენ და იდებენს განსხვავებას, რომელსაც იყენებენ იტერაციული ალგორითმის შემდეგი მიახლოების მისაღებად.

სურათი 3.3.2.-ზე გამოსახულია ობიექტის გაშუქების სქემა, რომლითაც მიიღება პროექციის მატრიცა. ამ პროექციებს ადარებენ საწყის სავარაუდო სიდიდეებს, თეორიულ და ექსპერიმენტულ მონაცემებს შორის სხვაობას იყენებენ ალგორითმის ბიჯის გამეორებისას რათა მიიღონ შემდეგი მიახლოება. თითოეული ელემენტის გამოსახულება წარმოდგენილია მილევის საშუალო კოეფიციენტით မატრიცაზე. ამ სიდიდე ინდექსი i და j განსაზღვრავს ელემენტის პოზიციას გამოსახულების საბოლოო ორგანზომილებიან სურათში. k სხივის ენერგიის ფარდობითი შთანთქმა, რომელიც მიმართულია სკანირების θ კუთხით, ობიექტის jk ელემენტად წარმოდგენილია ოთხინდექსიანი W_{ij}^k მატრიცა. ეს სიდიდე განისაზღვრება რენტგენული კონის გეომეტრიული გადაფარვით, საბოლოო სიგანით სკანირების tk პოზიციაში და გამოსახულების კვადრატული ij ელემენტით.



სურ.3.3.2.

პროექციებით გამოსახულების კომპიუტერული აღდგენის ძირითადი პარამეტრები. ნაჩვენებია μ_{ij} ელემენტის გამოსახულება, ტიპიური პროექციის სხივი $1^{\theta k}$ და მათი გეომეტრიული გადაფარვა $W^{\theta k}_{ij} \propto n_x = n_y$.

ცხადია, რომ $W^{\theta k}_{ij}$ -ის 8×10^8 სიდიდეების უმეტესობა არის ნულოვანი, რადგან უმეტეს შემთხვევაში სხივი θk არ გაივლის ij ელემენტს. მოდელური მასივი μ_{ij} აღწერს თითოეულ ინტერაციაში პროექციას, შემდეგი ფორმულის თანახმად:

$$I^{\theta K} = I_0 \exp(-\sum_{ij} W^{\theta K}_{ij} \mu_{ij}) \quad (3.3.1.)$$

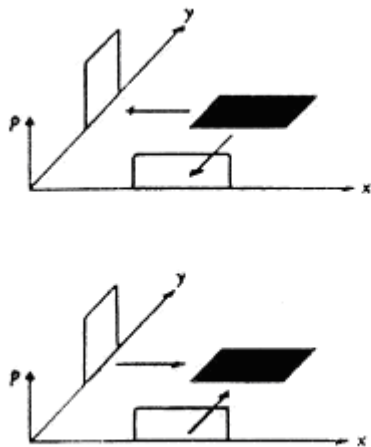
$$P^{\theta K} = \ln(I_0/I^{\theta K}) = \sum_{ij} W^{\theta K}_{ij} \mu_{ij} \quad (3.3.2.)$$

აქ I_0 – შესასვლელი კონის მუდმივი ინტენსივობაა, $1^{\theta k} - k$ მდგომარეობიდან θ კუთხით გამოგზავნილი გამოსასვლელი სხივის ინტენსივობაა. $P^{\theta K}$ – ს ტრადიციულად ეწოდება პროექციის კოეფიციენტი. μ_{ij} უცნობი სიდიდეების წრფივი კომბინაცია.

პრაქტიკაში მკვლევარები იყენებდნენ იტერაციული ალგორითმის სველაზე განსხვავებულ ვარიანტებს, რომ აქმაღლებინათ მისი ევექტურობა.

ანალიტიკური მეთოდები არსებითად განსხვავდება იტერაციულისაგან.

ამ მეთოდებში გამოსახულება იქმნება უშუალოდ პროექციულ მონაცემებზე დაყრდნობით, ნებისმიერი რეალური და მოდელური მონაცემების შედარების გარეშე. ანალიტიკური მეთოდის საფუძველს წარმოადგენს უკუპროექციის კონცეფცია.



სურ.3.3.3.

უკუპროექცია. (ა) მიღებულია ობიექტის პროექცია X და Y ორი პერპენდიკულარული მიმართულებით; (ბ) $P^{\theta K}$ პროექციის მნიშვნელობებს იყენებენ ელემენტის ობიექტის უკუპროექციის საშუალებით რეკონსტრუქციისათვის გამოსახულების სიბრტყეში. კვეთის არეში ინტენსივობები იკრიბება. უეჭველია რომ უკუპროექციები პირველივე მიახლოებისას გვაძლევენ ექსპონირებული ობიექტის გამოსახულებას.

სურათი 3.3.3. ილუსტრირებას უკეთებს უკუპროექციას, ურთიერთპერპენდიკულარული პროექციის შემთხვევაში, უკუპროეცირებულ გამოსახულებას დებულობენ სკანირების პარამეტრები $P^{\theta K}$ პროეცირებით უკან, გამოსახულების სიბრტყეზე.

ჯამური უკუპროეცირებადი გამოსახულება მიიღება სკანირების ყველა ზე კუთხის მონაცემთა აჯამვით. ასეთი აჯამვა ხდება იმავე გეომეტრიული სასწორით, რასაც იყენებდნენ წინა პარაგრაფში. ზუსტი ურთიერთდამოკიდებულების გამოსათვლელად უკუპროეცირებად გამოსახულებასა და მიღევის კოეფიციენტების მასივს შორის რომელიც შეიძლება გამოვითვალოთ იქნას ფურიეს ანალიზით ეს უკუპროეცირებადი

გამოსახულება გარდაიქმნება სიხშირულ გამოსახულებაში და იფილტრება სივრცითი სიხშირის პროპორციულად, განსაზღვრული სიხშირის სიდიდემდე ამის შემდეგ სრულდება ფურიეს უკუგარდაქმნა და მიიღება გამოსახულება დეპარტის კორდინატებში.

ფურიეს ანალიზის დახმარებით შესაძლებელია იმის ჩვენება, რომ შედეგები ზუსტად ისეთივე იქნება, თუ პროეციულ მონაცემებს თავიდანვე გავფილტრავთ. პირველი თაობის კომპიუტერულ ტომოგრაფებში იყენებდნენ მხოლოდ ერთეულ, მახვილი კუთხით დახრილ კონას და ერთეულ დეტექტორს., რითაც ხორციელდებოდა სვლად-ბრუნვადი სკანირება. თითოეულ ტრანსლაციას სჭირდებოდა 5 წამი ციკლური მოძრაობისათვის, შემდეგ მანქანის მუშაობა ფერხდებოდა 1 წამით, ვიბრაციის შესამცირებლად. 180° გრადუსიანი სრული ბრუნვა მოიცავდა დაახლოებით 20 წუთს.

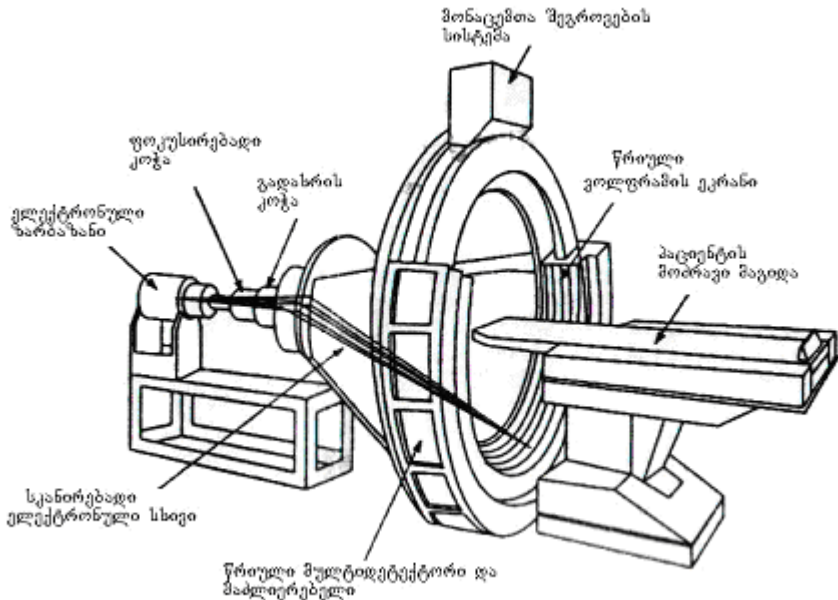
მეორე თაობა კომპიუტერული ტომოგრაფებისა იყენებდა 100 ან უფრო მეტი დეტექტორის მასივს, რომლებიც განლაგებული იყო ყოველ 5 მმ-ში და რენტგენული მილისაგან, რომლის გამოსასვლელზე მიიღებოდა, მარაოსებური ფორმის კონა. დეტექტორები და რენტგენული მილი მოძრაობდნენ ერთად. მულტიდეტექტორმა სკანირების დრო შეამცირა 100-ჯერ და უფრო მეტად. ინფორმაციის შეკრების დრო 10 წამზე უფრო შემცირდა. შესაძლებელი გახდა შექმნილიყო გულმკერდის კომპიუტერული ტომოგრაფი, რადგან შესაძლებელია სუნთქვის 10 წამით შეკავება.

შემდეგ მთავარი შემაფერხებელი ფაქტორი გახდა გულის მოძრაობა (მუშა პროცესში).

მესამე თაობის ტომოგრაფებში დამაგრებულია რამოდენიმე ასეული უძრავი დეტექტორი და მოძრავი რენტგენული მილი. კომპიუტერის გაუმჯობესებამ და რენტგენული მილის სიმძლავრის გაზრდამ გამოიწვია სკანირების დროის შემცირება 2 წამიდან უფრო ნაკლებ დრომდე, ასევე შეამცირეს ჭრილის სისქე 2-მმ-მდე. იმისათვის რომ განახორციელონ ექსპოზიცია “კაბელებს”- სადენებს აერთებენ ბრუნვად მილში კვების ბლოკთან ერთად, ისე რომ სკანირების სერია შედგებოდეს რიგი გადახვევა-განხვევისაგან (გადატრიალება-გადმოტრიალებისაგან).

შემდგომი თაობის ტომოგრაფები ხასიათდება პაციენტის მაგიდის და რენტგენული მილის მუდმივი მოძრაობით. ეს ხვეული ან სპირალური მეთოდი იძლევა ვიდეო ინფორმაციას უფრო მეტი სიჩქარით, ვიდრე 5 გამოსახულებაა წამში. შემდეგი გაუმჯობესება მდგომარეობს – შეწყვილებულ დეტექტორებში,

რომელიც მოითხოვს ერთმანეთისაგან 1 სმ-ით დაცილებული ორი ჭრის ანათვალის ერთდროულ სკანირებას. გამოსახულების მიღების სწრაფი სისტემები გულის ტომოგრამის – გულის ანგიოგრაფიის შესრულების საშუალებას იძლევა.



სურ.3.3.4.

ელექტრო-სხივური კომპიუტერული ტომოგრაფი-სისტემა IMATRON.

ნაჩვენებია აპარატი, რომელშიც პრაქტიკული პრობლემა – მძიმე რენტგენული მიღის დაჩქარება და კვების ბლოკი, აგებულია რენტგენული მიღის “ანაწყობ” ფორმასთან. მოცემულ შემთხვევაში ელექტროული სხივი მოქმედებს თითქმის ორი მეტრის დიამეტრის მქონე წრიულ ანოდზე, რომლის შიგნით იმყოფება პაციენტი. დეტექტორის რგოლი ისეთივეა, როგორც მეოთხე თაობის მანქანებში. ასეთი მანქანები კომპიუტერული ტომოგრაფიის -ანგიოგრაფიას ქმნიან უფრო მეტი სიჩქარით, ვიდრე 30 გამოსახულებაა წამში.

მესამე და მეოთხე თაობის მანქანების ბრუნვა შეიძლება გაიზარდოს 512x512 პიკსელამდე. ზოგ შემთხვევაში, რომლისათვისაც მაღალი ბრუნვა არ არის საჭირო, ოპერატორს შეუძლია შეამციროს მისი მნიშვნელობა.

ძველი აპარატები იყენებდნენ სცინტილაციურ მიმღებებს, რომლებიც დაფუძნებული იყო გამოსახულების ტექნოლოგიაზე, რომელიც მიღებულია ბირთვულ მედიცინაში. შეიქმნა ახალი დეტექტორები. იმისათვის რომ მცირე მანძილზე განელაგებინათ რაც შეიძლება მეტი დეტექტორი გამოიყენეს სხვადასხვა ხეხები. ამ ამოცანის ერთ-ერთი ამონასნი იყო დაფუძნებული

„კვერცხების ჩასაწყობის” მაგალითზე, რომლებშიც განლაგებულია პერმეტული ცილინდრული იონიზირებული კამერები ქსენონით. თითოეული მათგანი დაკავშირებულია შესაბამის მაძლიერებელთან.

თითოეული ცილინდრის ზომა და აირის წნევა ისეთია, რომ ქსენონის აირის მასის რენტგენული შთანთქმა ცილინდრის სიგრძის გასწვრივ საკმარისია, რათა განხორციელდეს დეტექტორება კადრების სიხშირის მისაღები სიხშირით.

დეტექტორის გაუმჯობესებამ შესაძლებელი გახადა მცირე სცინტილატორების მიერთება მასიურ ფოტოდიოდებთან. თანამედროვე დეტექტორები ახდენენ უშუალო რენტგენული განათების კონვერსიას ელექტრულ სიგნალად, რომლებიც მიემართება ინტეგრალურ სქემებზე აგებულ მაძლიერებლებისაკენ.

პაციენტის კანში რენტგენული კონის მიღევის წრფივი კოეფიციენტი შეიძლება გამოისახოს დბ/სმ-ში. თუმცა ეს პარამეტრი დამოკიდებულია სხივის ენერგიაზე და არ არის რეკომენდებული მისი ხშირი გამოყენება. დიაგნოსტიკურებისათვის უფრო საინტერესოა სხივის ენერგიის და სხვა ეფექტების შემცირება და მათზე დამოკიდებულებების კორექტირება.

სურ.12.15-ზე (3.3.5. და 3.3.6.) კომპიუტერული ტომოგრაფიის მართვის პულტია განლაგებული. ოპერატორი მართავს ფანჯრის სისქეს და დონეს, ასევე სინათლეს და კონტრასტს. ეკრანზე ჩანს გამოსახულება, პაციენტის შესახებ ინფორმაციის თაობაზე და მანქანის აწყობის პარამეტრების შესახებ. იმისთვის რომ შევაფასოთ ობიექტის ფორმა, ექიმი შეიძლება დააკვირდეს მის შინაგან სახეს, მდგომარეობას და რამდენიმე სხვადასხვა ქსოვილს. მაგალითად: თავის ქალის ძელების გამოსახულება შეიძლება დამუშავებული იყოს თავის ქალის სამგანზომილებიანი გამოსახულების შექმნის მიზნით. თითოეული მონიტორი მოქმედებს ფოტოპაპარატთან ერთად, რათა მოხდეს კომპიუტერული ტომოგრაფიის ფოტოგრაფირება სხვადასხვა ქსოვილისა სხვადასხვა განათებაში და კონტრასტში. რამდენიმე გამოსახულების ფოტოგრაფირება წარმოებს დაავადების ისტორიისათვის. ექიმები იყენებს კომპიუტერული ტომოგრაფიულ კვლევას იმდენად ხშირად, რამდენადაც სხვა სახის ვიზუალიზაციის საშუალებებს, რადგან ობიექტები ერთ სახის ვიზუალიზაციის საშუალების გამოყენებით ბურუსითაა მოცული, სხვა მეთოდით შეიძლება მკვეთრად განსხვავებული შედეგი მივიღოთ.

3.4. პომპიუტერული ტომოგრაფის პომპონეტები და მათი ზუნძციები

შესავალი

ეს თავი დაგვეხმარება გავიგოთ დამოკიდებულება, რომელიც არსებობს კომპიუტერული ტომოგრაფის კომპონენტებს შორის. ჩვენ შეისწავლით კომპიუტერული ტომოგრაფის ნაწილების სახელებს და მათი ერთობლივი მუშაობის პროცესს.

კომპიუტერული ტომოგრაფი შედგება ასობით ნაწილისაგან. ჩვენ შევისწავლით ოთხ მთავარ მოწყობილობას, რომელიც მოიცავს კტ-ის უკელა კომპონენტები.

მთავარი მოწყობილობები:

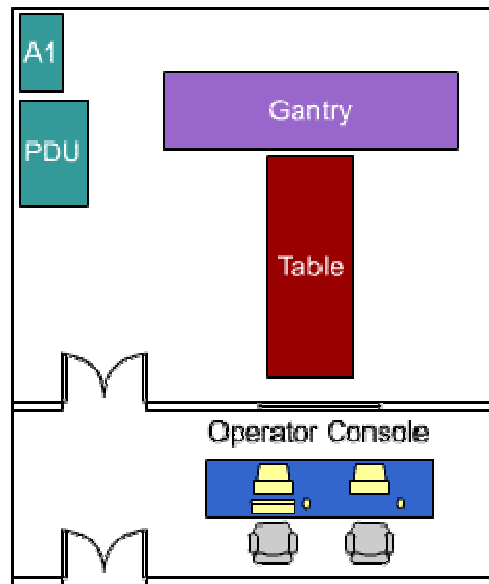
კტ-ის სისტემა საჭიროებს ოთხ შემდეგ მთავარ მოწყობილობას:

- კების განაწილების ერთეული
- ოპერატორის კონსოლი
- პაციენტის მაგიდა
- გენტრი

კომპიუტერული ტომოგრაფის ბარემო

ძირითად შემთხვევაში კომპიუტერული ტომოგრაფი გაშლილია ორ ოთახზე.

- სკანირების ოთახი, სადაც პაციენტის მაგიდა და გენტრი არის მოთავსებული
 - ოპერატორის ოთახი, საიდანაც ხდება სკანირების კონტროლი
- ოპერატორის ოთახს და სკანირების ოთახს შორის მოთავსებულია ტეგის ფანჯარა.



სურ.3.4.1.

კვების განაწილების ერთეული

კბე (PDU) აწვდის ენერგიას კომპიუტერული ტომოგრაფის სხვადასხვა კომპონენტებს. ძირითადად ეს ძაბვა არის სამფაზიანი 480 V.



სურ. 3.4.2.

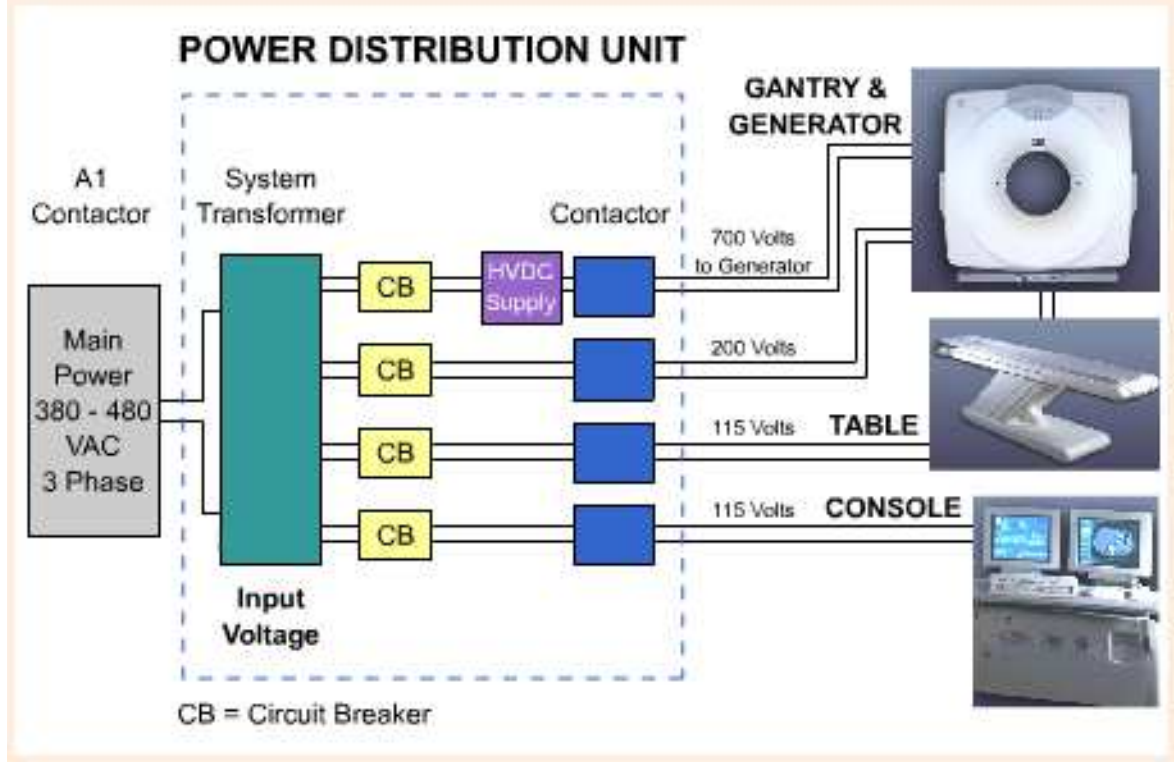
PDU – ეს არის ცალკე კაბინეტი კომპიუტერული ტომოგრაფის გარემოში. ის შეიძლება იდგას სკანირების ოთახში, ოპერატორის ოთახში ან სკანირების ოთახთან მეზობლად განლაგებულ ცალკე ოთახშიც კი.

მახასიათებელი ძაბვები

პვება მიეწოდება ოთახს A1 კონტაქტორზე, იგი შეიძლება იყოს 380 – 480 V სამფაზიანი ძაბვა. A1 კონტაქტორი შედგება ხაზის დამცველი მცველებით და აგრეთვე ჩართვა გამორთვის გადამრთველისაგან. სისტემის ტრანსფორმატორი კონვერტირებას უკეთებს ძაბვის იმ რაოდენობებს, რომელიც საჭიროა თითოეული ძირითადი კომპონენტისათვის. ეს ძაბვები განსხვავდება მწარმოებლის მიხედვით.

სისტემის ტრანსფორმატორსა და მოწყობილობის კონტაქტორს შორის არსებული გადამრთველი გვაძლევს საშუალებას გამოვრთოთ თითოეული მოწყობილობა დამოუკიდებლად. მიუხედავად იმისა, რომ თითქმის ყველა მოწყობილობას აქვს თავისი გამომრთველი, ძირითად სერვის პროცედურების ჩატარების წინ ჩვენ უნდა გამოვრთოთ სისტემა A1 კონტაქტორიდან.

Typical Voltages



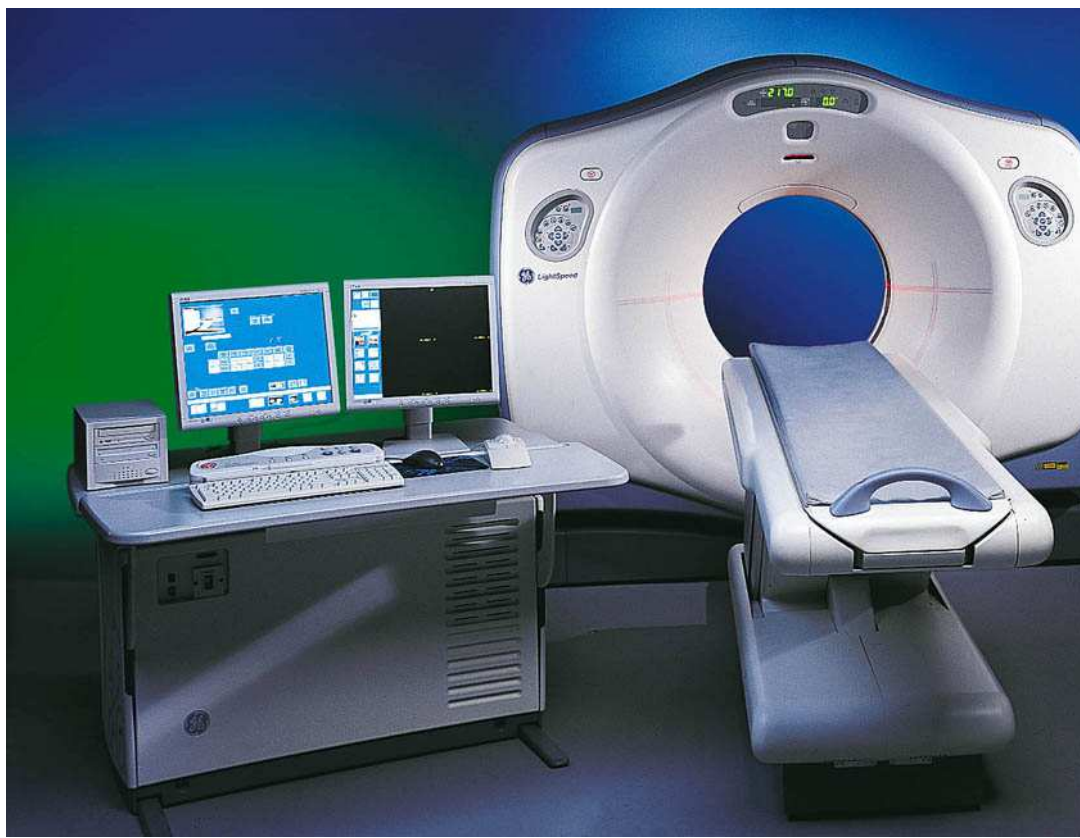
სურ.3.4.3.

ოპერატორის კონსოლი

ოპერატორის კონსოლი არის სამუშაო ადგილი, რომელიც მოიცავს კომპიუტერს, ეკრანს, შენახვის და შეყვანის მოწყობილობებს.

ოპერატორის კონსოლი აძლევს ოპერატორს საშუალებას:

- შეიყვანოს და გააგზავნოს სკანირების კონტროლის მონაცემები პაცინგტის მაგიდაზე და გენტრიზე
- გააკონტროლოს სკანირება
- კომუნიკაცია მოახდინოს პაციენტთან
- ეკრანზე გამოიტანოს, დაარქივოს და მართოს მიღებული სურათები
- მოახდინოს შიდა ქსელში კვლევების გადაგზავნა სხვა კომპიუტერებზე



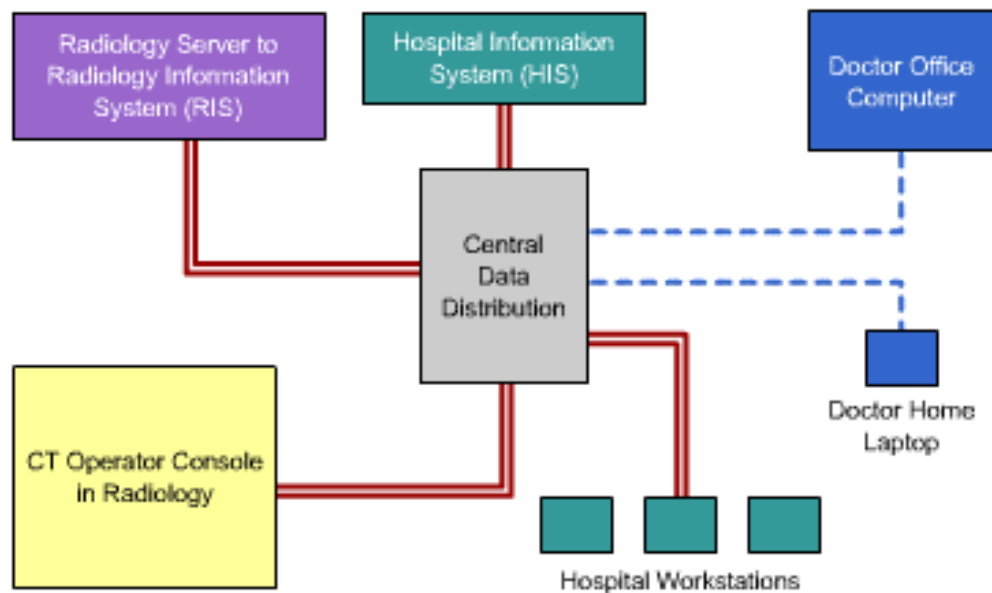
სურ.3.4.4.

მონაცემთა კომუნიკაცია

კომპიუტერული ტომოგრაფის ოპერატორის კონსოლის კომპიუტერი შეიძლება დაკავშირებული იყოს რადიოლოგიის საინფორმაციო სისტემასთან (RIS) ან ჰოსპიტალის საინფორმაციო სისტემასთან (HIS). ეს კავშირი აძლევს საშუალოებას კომპიუტერული ტომოგრაფის კომპიუტერს რათა მიიღოს პაციენტზე ისეთი ინფორმაცია, როგორიცაა მისი სახელი, გვარი, პაციენტის საიდენტიფიკაციო კოდი და მისი მკურნალი ექიმის სახელი.

ატ-ის სისტემაში არის სურათის აპლიკაცია, რადგან მის მეხსიერებაში ინახება სურათის ციფრული და რიცხვითი რეპრეზენტაციები. კომპიუტერის საშუალებით შესაძლებელია სურათების ჩატვირთვა სხვადასხვა სამუშაო ადგილებზე. აგრეთვე ქსელის არსებობის შემთხვევაში შესაძლებელია სურათების გაგზავნა ექიმთან სახლში ან ოფისში, თუ მას საჭიროება მოითხოვს.

DATA COMMUNICATION



სურ.3.4.5.

პაციენტის მაგიდა

პვლევის დროს მაგიდა გამოიყენება პაციენტის დასაწვენად. პაციენტის მაგიდა შედგება ფუძისაგან, საყრდენისა და აკვანისაგან. მაგიდის ფუძე დამაგრებულია იატაკზე. საყრდენი მოძრაობს ვერტიკალურად რაც წევს მაგიდას ზევით ან ქვევით. აკვანი ძირითად შემთხვევაში შედგება ნარევი კომპონენტებისაგან და იგი სრიალებს ლიანდაგზე, შედის და გამოდის გენტრის შიგნით და გარეთ. მწარმოებლები გვაწვდიან კიდევ დამატებით საშუალებებს პაციენტის დასაფიქსირებლად და მათი უსაფრთხოებისათვის.



სურ.3.4.6.

გენტრი

გენტრი არის კომპიუტერული ტომოგრაფის ყველაზე დიდი შემადგენელი კომპონენტი. ის შედგება ორი ჩარჩოსაგან:

- ბრუნვადი
- სტაციონარული

სცაიონარული მხარე, ანუ გენტრის ფუძე ძირითადად დამაგრებულია იატაპზე. ფუძე დახმარებას უწევს გენტრის როცა იგი იხრება. ბრუნვადი ჩარჩო შედგება რენტგენის მილისგან და იმ მოწყობილობებისაგან, რომელიც საჭიროა რენტგენის სხივის შესაქმნელად, მისოვის ფორმის მისაცემად, სიგნალის დასაჭერად და მონაცემების დასათვლელად.



სურ.3.4.7.

გენტრის ექსტერიერი

გენტრი გარედან შედგება:

- ოპერატორის კონოლისაგან, რათა ვამოძრაოთ მაგიდა და აკვანი

- აგარიული დილაკისაგან, რათა გავაჩეროთ სკანირება
- ეკრანის პანელისაგან, რაზეც გამოისახება მაგიდის სიმაღლე, სიგრძითი პოზიცია და გენტრის გადახრის კუთხე
- გასწორების ფანჯრისაგან, საიდანაც ხდება გამასწორებელი შუქის (ლაზერის) დამიზნება პაციენტზე

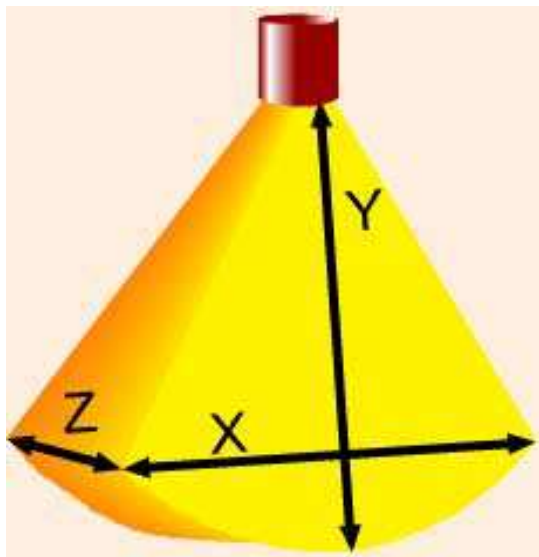
გენტრის დია ნაწილს წარმოადგენს ხვრელი. აკვანს შეყვავს პაციენტი ხვრელში სკანირების დროს. რენტგენის მილიდან ვიწრო რენტგენის სხივის ნაკადი მიემართება ხვრელის მიმართულებით. დეტექტორი მდებარეობს რენტგენის მილის მოპირდაპირე მხარეს.



სურ.3.4.8.

გეომეტრია

გენტრის კომპონენტების შესწავლასთან ერთად ჩვენ გავაცნობიერებთ X, Y და Z დერმებსაც.



სურ.3.4.9

- X ღერძი – არის რენტგენის სხივის სიგანე პაციენტზე და დეტექტორზე.
- Y ღერძი – რენტგენის სხივის სიმაღლე, რომელიც გამოისახება რენტგენის მილისა და დეტექტორს შორის არსებული მანძილით.
- Z ღერძი – იმ ჭრილის სისქე, რომელიც კონტროლირდება რენტგენის სხივით.

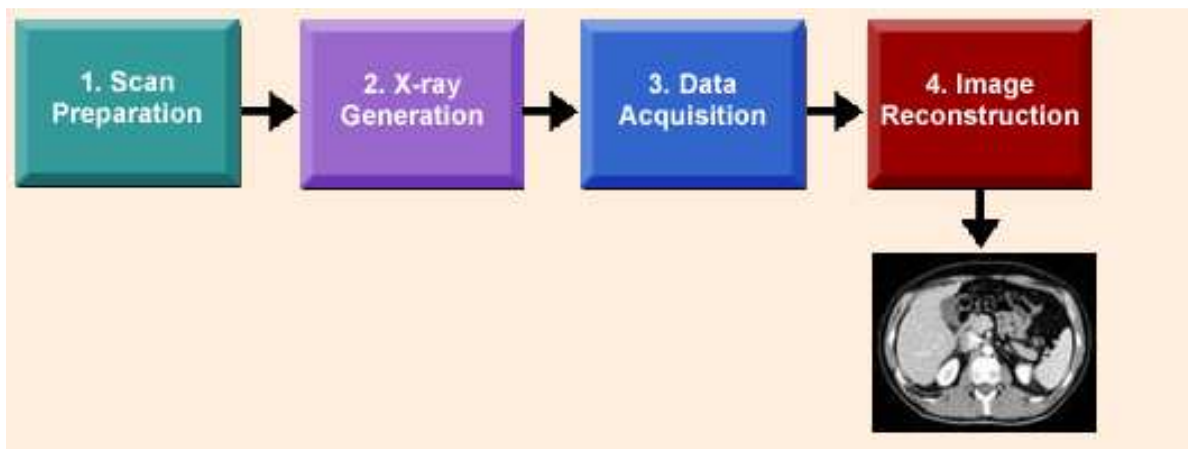
კომპიუტერული ფომობრავის სკანირების პროცესი

კტ-ს სკანირების მიზანს წარმოადგენს ანატომიის სურათის შექმნა. ეს პროცესი შედგება ოთხი საფეხურისაგან.

1. სკანირების მომზადება
2. რენტგენის სხივის გამომუშავება
3. მონაცემთა მიღება/შეგროვება
4. სურათის რეკონსტრუქცია

ამ თავის შესწავლის შედეგად, ჩვენ შევძლებთ ჩამოვთვალოთ კტ სკანირების პროცესები და მის ყოველ ფაზასთან დაკავშირებული მოწყობილობები.

პტ სკანირების ოთხი საზენზრი



სურ.3.4.10.

ზემოთ მოყვანილ სურათზე გამოსახულია კომპიუტერული ტომოგრაფის სკანირების ოთხი საფეხური. განვიხილოთ ისინი სათითაოდ.

სკანირების მომზადება

მიზანი: დავაწვინოთ პაციენტი მაგიდაზე და შევარჩიოთ სკანირების პროტოკოლი. პროტოკოლი შეიცავს სპეციფიური კვლევის წინასწარ შერჩეულ მახასიათებლებს, როგორიცაა თავი, მკერდი ან მუცელი.

დაკაგშირებული მოწყობილობები: ოპერატორის კონსოლი, მაგიდა და გენტრი. სისტემა აგზავნის პროტოკოლის მახასიათებლებს პროცესორებზე, რათა მოხდეს ქვემოთ მოყვანილი სკანირების ცვლადების კონტროლირება კვლევის დროს:

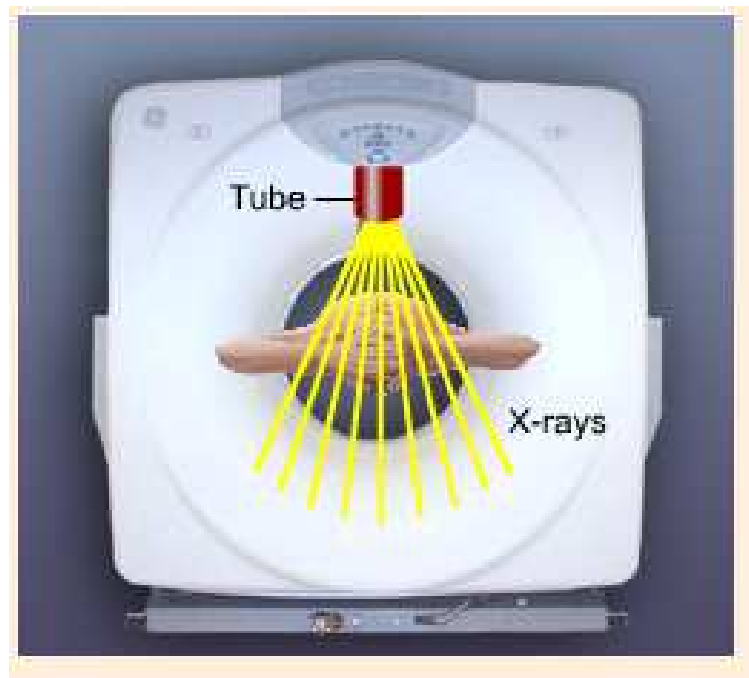
- რადიაციის რაოდენობა
- გენტრის ბრუნვის სისწრაფე
- რადიაციის გამოსხივების დრო
- სკანირების ჭრილის სისქე
- მაგიდის და გენტრის მოძრაობა
- ჭრილების რაოდენობა

რენტგენის სხივის გენერირება

მიზანი: ვაწარმოოთ რენტგენის სხივის ის რაოდენობა რომელიც განსაზღვრულია სკანირების პროტოკოლის მიერ.

დაკაგშირებული მოწყობილობები: გენტრი და ოპერატორის კონსოლი.

ოპერატორი რთავს რენტგენის სხივის გენერატორს გენტრიში, რათა მან შექმნას მაღალი ძაბვა და დენი სწორი რენტგენის სხივის გაშუქებისათვის. ძაბვა და დენი გადის რენტგენის მილში რათა მოხდეს რენტგენის სხივის გამომუშავება, რომელიც შემდეგ ტარდება პაციენტის სხეულში. სკანირების პროცესოდი აგროვე აკონტროლებს პაციენტის მაგიდის მოძრაობას მბრუნავი გენტრის შიგნით. როგორც კი მაგიდა დადგება განსაზღვრულ პოზიციაში, რენტგენის მილი გენტრიში უშვებს რენტგენის სხივებს.



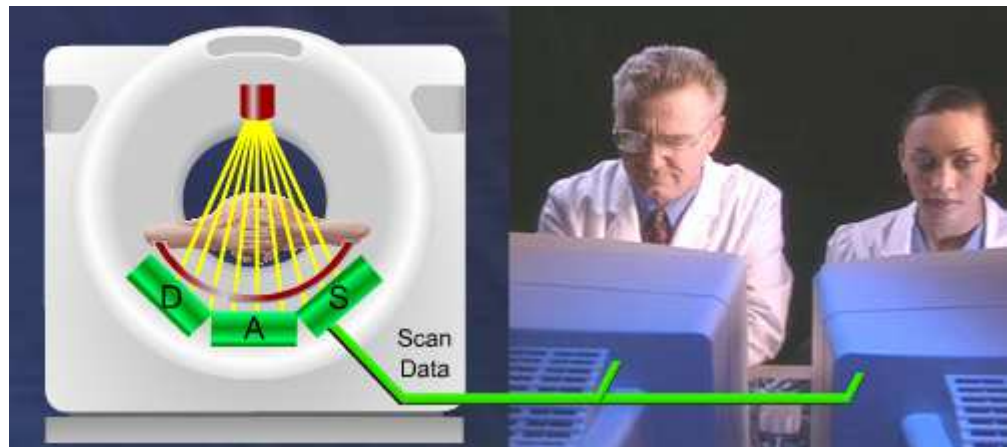
სურ.3.4.11.

მონაცემთა მიზება, შეგროვება და გადაცემა

მიზანი: შეგქმნათ ციფრული ფაილი დეტექტორიდან მიღებული მონაცემებისაგან.

დაკავშირებული მოწყობილობები : გენტრი და ოპერატორის კონსოლი

დეტექტორი დებულობს გატარებული რენტგენის სხივის რადიაციას და გენერირებას უკეთებას შესაბამისი დონის შუქს. დეტექტორს გადაყავს შუქი დენში. მონაცემთა მიღების სისტემა (DAS) გენტრიში, ქმნის ნედლი მონაცემების ციფრულ მატრიცას და აგზავნის მას კომპიუტერზე რათა მოხდეს სურათის წარმოება.



სურ.3.4.12

სურათის რეპრონსტრუმენტია

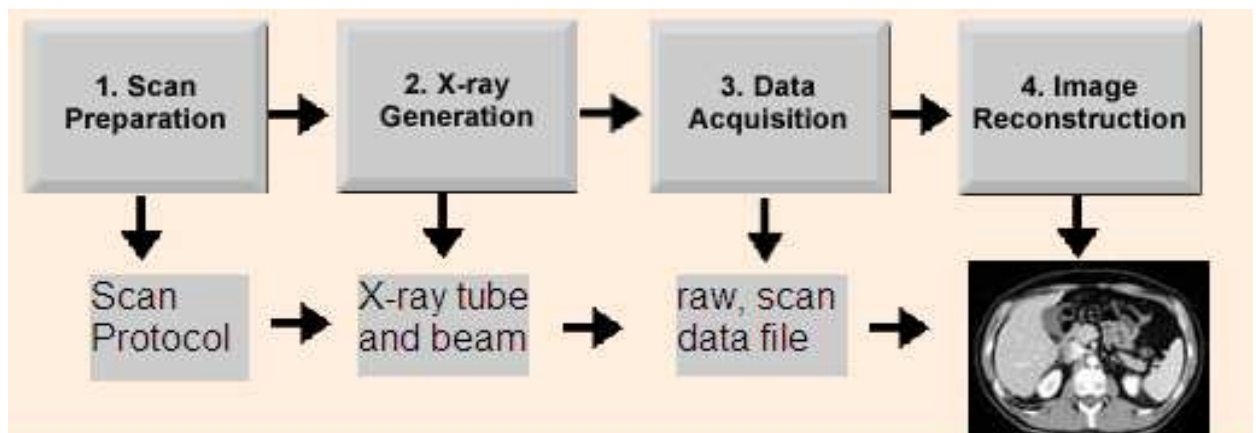
მიზანი : შევქმნათ პაციენტის ანატომიის სურათი

დაკაგურებული მოწყობილობები : ოპერატორის კონსოლი

კომპიუტერი იყენებს სპეციალიზირებულ პროცესორებს და კომპლექსურ მათემატიკურ ალგორითმებს რათა მოხდეს რეკონსტრუქცია, ან შექმნას სურათის მონაცემები ნედლი ან სკანირების მონაცემებიდან. როდესაც მოხდება მისი შექმნა, კომპიუტერი ინახავს სურათის მონაცემებს. სურათი შეიძლება გამოტანილი იქნას ეკრანზე, მოხდეს მისი დაბეჭდვა, გადაგზავნა, დაარქივება

კროცენტის შედეგი

კომპიუტერული ტომოგრაფის სკანირების პროცესში, სისტემა ატარებს პაციენტის სხეულში რენტგენის სხივს, იღებს სიგნალის მონაცემებს რათა აწარმოოს სურათი.



სურ.3.4.13.

დასკვნა

კომპიუტერული ტომოგრაფიის სკანირების პროცესი მოითხოვს შემდეგ პუნქტებს სურათის შესაქმნელად.

- სკანირების პროტოკოლს
- რენტგენის სხივი
- ნედლი, სკანირების მონაცემთა ფაილი
- რეკონსტრუქციის მათემატიკურ კომპლექსურ ალგორითმს

ოპერატორის კონსოლში არსებული კომპიუტერები დებულობენ ძირითად მონაწილეობას სკანირების მთლიანი პროცესის დროს. გენტრი გამოიყენება რენტგენის სხივების გამოსამუშავებლად და მონაცემების მიღებისათვის.

6.7. ერთფოტონიანი ემისიური კომპიუტერული ტომოგრაფია.

ერთფოტონიანი ემისიური კომპიუტერული ტომოგრაფიის მეთოდი დაფუძნებულია გაბმულ ლუმინესცენტურ გამოსხივებაზე, რომელიც პაციენტის ირგვლივ ბრუნავს. ბევრი იზოტოპი, რომლებიც გამოიყენება ბირთვულ მედიცინაში, უშვებს ერთეულ ფოტონს ან გამა-სხივს ენერგიის სასარგებლო დიაპაზონში. პარალელური სხივები, რომ შეკრიბონ იყენებენ კოლიმატორს. შეგროვილ სიგნალებს იყენებენ გამოსახულების აღსაღენად. ანალოგიური მეთოდი გამოიყენება კომპიუტერულ ტომოგრაფიაში. ეს მრავალი ჭრილი შესაძლებლობას გვაძლევს მივიღოთ დიდი გამოსახულება, რამდენიმე განივი სახეობისა, დამატებითი ფრონტალურისა და ზედაპირულისა ანუ ჩვეულებრივი ბირთვული კამერით. ამის გარდა ერთფოტონიან ემისიურ კომპიუტერულ ტომოგრაფიას აქვს ჟაკეთესი გარჩევისნარიანობა ვიდრე გამა-კამერას. ე.გ.კ.ტ.-ის სისტემაში აუცილებელია სიგნალის შემასუსტებელი მერყეობის კომპენსაცია სხვადასხვა პაციენტებთან. შესაბამისად ამ სისტემებს არ იყენებენ დინამიკური გამოკვლევებისათვის. მათ იყენებენ მხოლოდ კვაზისტიკური სტრუქტურების გამოსახულებისათვის. მაგ; სიმსივნეების ან ოსტეოპოროსის დროს, ძვლოვან სტრუქტურებში. აქ შესაძლებელია სამმაგი ინფორმაციის მიღების შედეგად, ნათლად დავინახოთ ის რაც არ ჩანს ჩვეულებრივ რედგენის სურათზე.

6.8. კოზიტორონული ემისიური ტომოგრაფია

ზოგიერთი იზოტოპი დაშლის დროს გამოყოფს პოზიტრონებს, რომლებიც ელექტროდებთან ანიგილირდებიან, გზავნიან რა საწინააღმდეგო მიმართულებით. ორ ფოტონს 511 კევ ენერგიით თითოეული. პოზიტრონული ემისიური ტომოგრაფია იყენებს ამ ფიზიკურ ეფექტს გამოსხივების წყაროს განსაზღვრისათვის. იზოტოპები, რომლებიც პ.ე.ტ.-ში გამოიყენება, აქვთ დაშლის ორი ხერხი, თითოეული მათგანი მთავრდება პოზიტრონ-ელექტრონის ანიგილაციით. ერთ შემთხვევაში ბირთვი ჯერ მოიცავს ორბიტალურ ელექტრონს, ხოლო მეორე შემთხვევაში ბირთვი უშვებს პოზიტრონს, რომელიც მოკლე მანძილზე გადაადგილდება, სანამ შემთხვევით ელექტრონს არ შეხვდება. ანიგილაციის შედეგად ნადგურდება ურთიერთსაწინააღმდეგო მუხტი და ორივე ნაწილაკების მასა, მაგრამ რჩებიან ფოტონები, რომლებიც შეჯახების ადგილიდან საწინააღმდეგო მიმართულებით გადაიტანენ ენერგიას.

პოზიტრონებს, რომლებსაც ბირთვი უშვებს, აქვთ განსაზღვრული კინეტიკური ენერგია, ასე რომ ისინი ასწრებენ გადაადგილდნენ რამდენიმე მილიმეტრზე, სანამ ელექტრონს შეხვდებიან. შედეგად გვაქს შეცდომა პოზიტრონების წყაროს მდგომარეობის განსაზღვრაში.

თვისება ერთდროულად გამოუშვას ორი გამა-სხივი საწინააღმდეგო მიმართულებებით პ.ე.ტ.-ს მეთოდს წყაროს ლოკალიზების საშუალებას აძლევს. ა. კოლიმატორთან ერთად პ.ე.ტ.-ს აპარატში გამოიყენებენ ორ დეტექტორს, რომელსაც შეუძლია X-y კოორდინატების განსაზღვრა. თითოეული X-y კოორდინატის წყვილი გამოითვლება ლუმინესცენციის ორი ნათების დამთხვევის შედეგად, რომელთაც ენერგეტიკული დონე აქვთ და რომელიც მათემატიკური ლოდინის 511 კევ –ს ახლოსაა.

ცხრილი 6.8.1. ხუთი იზოტოპის დახასიათება, რომელიც პ.ე.ტ.-ში გამოიყენება.

Iზოტოპი	მაქსიმალური ინეტიკური	ნახევრად დაშლა	გაფართოება
¹⁰ F	640 გ.კ.გ.	110 წთ	1.1 გვ
¹¹ C	960 გ.კ.გ.	20.4 წთ	1.9 გვ
¹³ N	1.2 გ.კ.გ.	10.0 წთ	3.0 გვ
⁶⁰ Ga	1.9 გ.კ.გ.	62.3 წთ	5.9 გვ

⁸² Rb	3.4 გ.კ.გ.	1.3 წთ	13.2 ₈₈
------------------	------------	--------	--------------------

ყველაზე უბრალო პ.ე.ტ.-ის კამერაში, ორი მოდიფიცირებული გამა-კამერა განლაგებულია პაციენტის საპირისპირო მხარეს (სურ 12.24 ა) მოდიფიკაცია ნიშნავს კოლიმატორის მოცილებას და დამატებას, დამთხვევას სქემასა და გამოთვლითი მოწყობილობისა. კოლიმატორის მოცილება ზრდის ინფორმაციის სეგროვების კუთხებს, ამცირებს დროს, რაც ერთფოტონიანი ემისიური კომპიუტერული ტომოგრაფიის მეთოდზე უფრო მეტ უპირატესობას ფლობს. კამერა ნელა ბრუნავს პაციენტის ირგვლივ, იღებს ახალ-ახალ ჭრილებს გამოსახულების გასაუმჯობესებლად. წყვილი დეტაქტორების დამატების შემთხვევაში გამოსახულებას უფრო სწრაფად მივიღებთ.

სურათი 12.24(ბ) აჩვენებს დეტაქტორული კამერის სამ წევილს გეგსაგონალურ-წრიულ ნაკრებში. საფეხურისებრი გვერდული გადაადგილება და მოსახვევები აუმჯობესებენ გამოსახულებას. საკმაოდ უზადო აპარატის შექმნა შეიძლება რგოლების გამოყენებით, რომელიც უამრავი დეტაქტორებისაგან შედგება (12.24.ბ) ამავე დროს წრიულ დეტაქტორი უმოძრაოა, ხოლო გამოსახულებას უზრუნველყოფს კომპიუტერული სიგნალი. ისე როგორც ყველა რადიონუკლიდურ ბლოკებში სამედიცინო ვიზუალიზაციაში, რადიოაქტიურ დონეს განსაზღვრავს ხმაური, რომელიც ზღუდავს გამოსახულებას.

თავი 5

დოკუმენტური დიაპროცესის სისტემები

სისხლის დინების და სისხლის მოცულობის გაზომვა შესავალი

ერთი უმთავრესი გაზომვა რომელიც სურს განახორციელოს ექიმმა, პაციენტის გამოკვლევის დროს მდგომარეობს იმაში რომ მიიღოს ინფორმაცია უანგბადის და სხვა შემადგენელი ნივთიერებების შესახებ, რომელსაც შეიცავს უჯრედი. ასეთი გაზომვები შეიძლება მივაკუთვნოთ პირველ საფეხურს. ნორმალურ პირობებში ასეთი სიდიდის გაზომვები ძალიან რთულია, რაც აიძულებს ექიმს სცადოს გაზომვების განხორციელება მეორე საფეხურით – გაზომოს სისხლის დინება და გაზომოს სისხლის მოცულობა, რომელიც ჩვეულებრივ კორელირებენ უჯრედებში მკვებავ ნივთიერებებთან. თუ სისხლის დინება ასევე ძნელად იზომება მაშინ ექიმს შეუძლია გამოიყენოს მესამე საფეხურის გაზომვები ე.ო. გაზომოს არტერიული წნევა, რომელიც ჩვეულებრივ ადექვატურად კორელირებს სისხლის დინების სიდიდესთან. თუ შეუძლებელია სისხლის დინების წნევის გაზომვაც მაშინ ექიმს შეუძლია დაიხიოს ერთი ნაბიჯით უკან და განახორციელოს მეოთხე საფეხური – მაგალითად დაარეგისტროს პაციენტის ეპგ რომელიც ჩვეულებრივ ადექვატურად კორელირებს არტერიული წნევის სიდიდესთან.

4.1. სისხლის დინების სიჩქარის გაზომვა

სისხლის დინების გაზომვა, წარმოადგენს გაზომვას რომელიც უველავე ახლო დგას ბაზურ გაზომვებთან – უჯრედებში უანგბადის კონცენტრაციის გაზომვასთან. ერთისმხრივ სისხლის დინების გაზომვის განხორციელება ჩვეულებრივ პირობებში საკმაოდ რთულია, რადგანაც ეს პროცედურა მოითხოვს ცოცხალ ორგანიზმში შეჭრას - “მეტად ინგაზიურია”, ვიდრე წნევის გაზომვა ან კარდიოგრამის გადაღება.

სისხლის დინების გაზომვისათვის არ გამოიყენება სითხის დინების სიჩქარის გამზომები რასაც წარმოებაში იყენებენ, ისეთი როგორიცაა დიაფრაგმული ან ტურბინული ხარჯმზომები, რადგანაც ასეთი ტიპის ხარჯმზომები ითხოვს სისხლძარღვის გაჭრას, რამაც შემდგომში შეიძლება

გამოიწვიოს თრომბის განვითარება. სისხლის დინების სიჩქარის გასაზომად გამოიყენება სხვა მეთოდები რომლებსაც განვიხილავთ. ამ თავში მოყვანილი ინდიკატორის გახსნის მეთოდი არ იძლევა საშუალებას გავზომოთ მომენტალური საპულსო სისხლის დინების მნიშვნელობა, მაგრამ ის იძლევა საშუალებას გავზომოთ გასაშუალოებული რამდენიმე გულის ციკლის სისხლის დინების მოცულობითი სიჩქარის მნიშვნელობა.

თუ მოცემულ m ინდიკატორის რაოდენობას გავხსნით V სითხის მოცულობაში, მიღებულ ხსნარში ინდიკატორის კონცენტრაცია C იქნება $C = \frac{m_0}{V}$. თუ ახლა ამ ხსნარში გავხსნით დამატებით ინდიკატორის რაოდენობა m -ს მაშინ მისი კონცენტრაცია გაიზრდება $\Delta C = \frac{m}{V}$ სიდიდით. დაგუშვათ რომ სითხე განუწყვეტლივ გადის გამოსაკვლევი მოცულობიდან და იცვლება ახალი ხსნარით, ისევე როგორც ეს მიმდინარეობს სითხის დინებისას. ამ შემთხვევაში იმისათვის რომ გაიზარდოს ინდიკატორის კონცენტრაცია ყოველ მომდევნო დინების ერთიდაიმავე სიდიდის სითხის პორცია მოცემულ მოცულობაში, აუცილებელია ყოველთვის დაგამატოთ განსაზღვრული რაოდენობის ინდიკატორი. კონცენტრაციის გაზრდა იქნება ასახული ამ

$$\text{ტოლობაში} \quad \Delta C = \frac{\left(\frac{dm}{dt} \right)}{\left(\frac{dv}{dt} \right)} \quad \text{აქედან შეიძლება გამოვიყვანოთ}$$

სითხის მოცულობითი ხარჯვის ფორმულა F

$$F = \frac{dv}{dt} = \frac{dm/dt}{\Delta C} \quad (4.2.1.)$$

მაგ. 1. გამოვიყვანოთ ეს ფორმულა მასის გადატანის პრინციპის გამოყენებით. პასუხი: სიჩქარე რომლითაც ინდიკატორი მიეწოდება სითხეს გამოსაკვლევ სისხლძარღვში, უდრის ინდიკატორის კონცენტრაციის წარმოებულს სისხლძარღვის შესასვლელ C_i -ზე და სითხის დინების მოცულობით სიჩქარეს F -ს. სიჩქარე რომლითაც ინდიკატორი შეიყვანება სისხლძარღვში სითხის მოცულობა უდრის ინდიკატორის რაოდენობას, რომელიც მიეწოდება დროის ერთეულ dm/dt -ში. სისხლძარღვიდან ინდიკატორის გამოდევნის სიჩქარე უდრის ინდიკატორის კონცენტრაციის წარმოებულს სისხლძარღვის

გამოსასვლელ Co-თან და სითხის მოცულობითი ხარჯვა – F-ის ტოლია. სტაციონალური რეჟიმისათვის გამოყენება შემდეგი შესაბამისობა საიდანაც გამომდინარეობს

$$F = \left(\frac{dm}{dt} \right) (C_0 - C_i) \quad (4.2.2.)$$

ფიგის მეთოდი. (4.2.2.) ფორმულა შეიძლება იყოს გამოყენებული სისხლის მიმოქცევის წუთიერი მოცულობის განსასაზღვრავად. (ერთ წუთში გულიდან გამოდენილი სისხლის რაოდენობა) შემდეგნაირად

$$F = \frac{\frac{dm}{dt}}{C_a - C_v} \quad (4.2.3.)$$

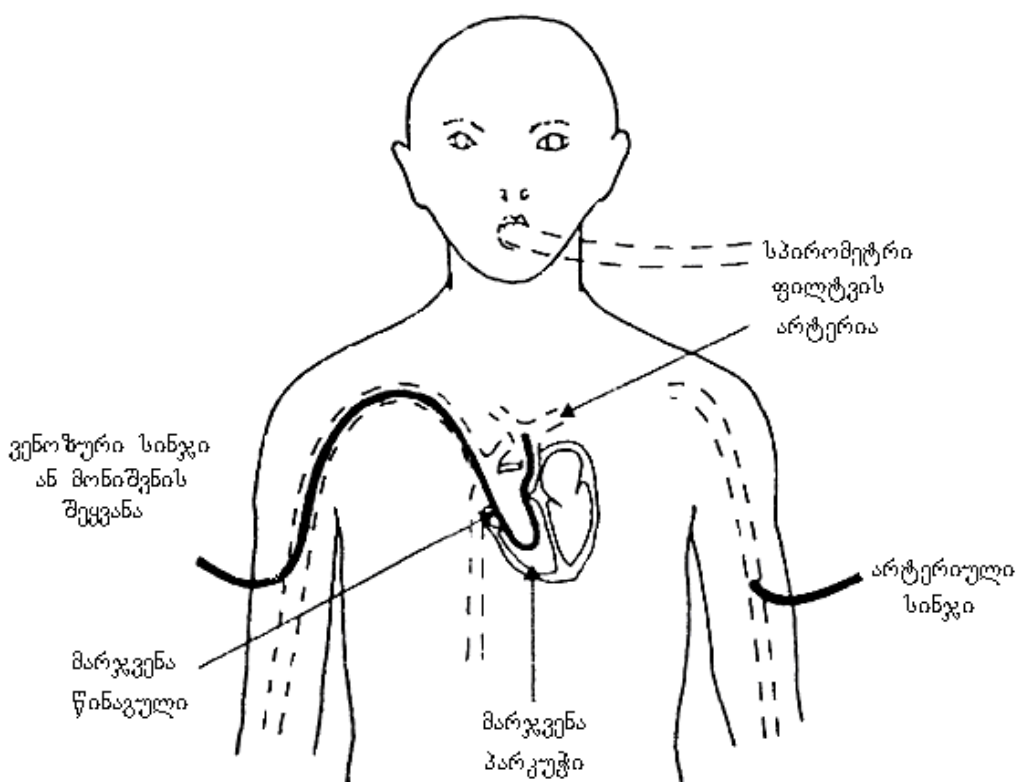
სადაც

F = სისხლის დინება (სისხლის მოცულობითი ხარჯი), ლ/წთ

$\frac{dm}{dt}$ = ჟანგბადის გამოყენების სიჩქარე, ლ/წთ

C_a = ჟანგბადის კონცენტრაცია არტერიულ სისხლში, ლ/ლ

C_v = ჟანგბადის კონცენტრაცია ვენურ სისხლში, ლ/ლ



სურ.4.2.1.

სისხლმიმოქცევის წუთიერი მოცულობის გაზომვების მეთოდი. ფიკის მეთოდში ინდიკატორი ჟანგბადია, რომლის გამოყენება იზომება სპირომეტრის დახმარებით, ხოლო ჟანგბადის კონცენტრაციის სხვაობა არტერიალურ და ვენურ სისხლში განისაზღვრება სისხლის სინჯებში, რომელსაც იდებენ დიდი წრის რომელიმე მოზრდილი არტერიოდან და ფილტვების არტერიიდან. საღებავის შერევის მეთოდში, ფილტვების არტერიებში შეყვათ საღებავი, მისი შემცველობა ერთეულოვან მოცულობაში იზომება სისხლის სინჯში, რომელსაც იდებენ სისხლმიმოქცევის დიდი წრის რომელიმე მოზრდილი არტერიიდან. თერმომოდულაციის მეთოდის გამოყენებისას მარილსნარი მარჯვენა წინაგულში შეყვათ, ამასთან ზომავენ სისხლის ტემპერატურას ფილტვის არტერიაში.

სურ. 4.2.1.-ზე არის რეალიზებული ფიკის მეთოდი. ტანის ზედა ნახევარში, გულში მიმდინარე სისხლში ჟანგბადის კონცენტრაცია განსხვავდება სისხლში ჟანგბადის კონცენტრაციისაგან, რომელიც მოედინება ქვედა ტანის ნახევრიდან. მათი სიდიდეები იმითაა დაკავშირებული, რომ ჟანგბადის ექსტრაქცია ტვინის უჯრედების არტერიალური სისხლიდან განსხვავდება თირკმელების, კუნთების და სხვა ორგანოების ჟანგბადის ექსტრაქციისაგან. ეს მდგომარეობა არ გვაძლევს საშუალებას ზუსტად განვსაზღვროთ კონცენტრაცია C_n , თუ მას გავზომავთ მარჯვენა წინაგულში. ვენურ სისხლში ჟანგბადის კონცენტრაციის ზუსტი განსაზღვრისათვის, ის უნდა გაიზომოს ფილტვის არტერიაში, მას შემდეგ რაც სისხლი, რომელიც მოედინება სხვადასხვა ორგანოებიდან, იქნება შერეული მარჯვენა გულის პარკუჭის შეკუმშვისას. სასინჯი სისხლის აღება ექიმს შეუძლია ფილტვის არტერიიდან ორარხიანი კათეტერის საშუალებით, რომელიც გადაიტანება სისხლის დინებით “ბალონის” მეშვეობით. გაძერილი “ბალონი” კათეტერის ბოლოშია მოთავსებული. მეორე კათეტერის არხი გამოიყენება სისხლის სინჯის გამოსატანად.

ფილტვების კაპილარების გავლისას სისხლი მდიდრდება ჟანგბადით (რომელიც ამ მეთოდში გამოიყენება როგორც ინდიკატორი). გამოსაკვლევი ობიექტი სუნთქვს სუფთა ჟანგბადით რომელიც მიეწოდება სპირომეტრიდან. ამონასუნთქი ნახშირორჟანგი შთაინთქმება სილიკატური ფილტრით. ამ გზით ჟანგბადის მოხმარება განისაზღვრება სუნთქვისას მიწოდებული ჯამური გაზის სიდიდეების შეჯამებით. სუნთქვის დროს იმისათვის რომ

განვსაზღვროთ ჟანგბადის კონცენტრაცია C_a ოქსიგენურ არტერიალურ სისხლში, შეიძლება ავილოთ სისხლის სინჯი ნებისმიერი დიდი არტერიიდან. საქმე იმაშია რომ სისხლი გამდიდრებულია ჟანგბადით ფილტვების კაპილარებში კარგად შეერევა მარცხენა პარკუჭში, ხოლო ჟანგბადის მოხმარება დიდ არტერიებში უმნიშვნელოდ მცირეა. გამოკვლევებით დადგინდა, რომ ჟანგბადის კონცენტრაცია ყველა დიდ არტერიაში პრაქტიკულად ერთი და იგივეა. სასინჯი არტერიული სისხლის ასაღებად გამოიყენება ხელის ან ფეხის მაგისტრალური არტერია.

მაგ. გამოითვალიერ სისხლის მიმოქცევის მოცულობა შემდეგი მონაცემების გამოყენებით: სპირომეტრში გამოყენებული ჟანგბადის რაოდენობა შეადგენს 250 მლ/წთ.

არტერიულ სისხლში ჟანგბადის შემცველობა 0.20 მლ/წთ, ხოლო ვენურ სისხლში 0.15 მლ/წთ.

პასუხი:

$$F = \frac{dm}{dt} (C_a - C_v) = \frac{0.25}{(10.20\text{ლ}) - (0.15\text{ლ}/\text{ლ})} = 5\text{ლ}/\text{წთ} \quad (4.2.4)$$

ჟანგბადის კონცენტრაციის სიდიდე გვიჩვენებს, რომელი სიდიდის ჟანგბადი შეიძლება იქნეს გამოყენებული სისხლის მოცულობის ერთეულში. ჟანგბადის კონცენტრაცია დიდია სისხლში რადგანაც ჟანგბადის უმეტეს ნაწილს სისხლი შეიცავს, დაკავშირებულია პემოგლობინთან. იმ შემთხვევაში თუ სისხლძარღვებში სისხლის მაგივრად წყალი გაედინებოდა ჟანგბადის კონცენტრაცია მასში იქნებოდა მნიშვნელოვნად მცირე, ვიდრე სისხლის დინების დროს იმ შემთხვევაშიც კი თუ ჟანგბადის ძაბვა Po_2 ორივე შემთხვევაში იყო ერთნაირი. ფიკის მეთოდი სრულიად არატოქსიკურია რამდენადაც ინდიკატორის სახით გამოყენებული ჟანგბადი არის ნივთიერება, რომელსაც ორგანიზმის უჯრედები ნორმალურად იყენებენ. იმისათვის რომ მკვლევარმა შეძლოს მიიღოს ჟანგბადის გამოყენების მრუდის გადახრა, სისხლიმოქცევის წუთიერი მოცულობა უნდა იმყოფებოდეს მუდმივ მდგომარეობაში რამდენიმე წუთის განმავლობაში. არტერიაში შეყვანილი კათეტერები იწვევენ სისხლმიმოქცევის წუთიერი მოცულობის უმნიშვნელოდ მცირე ცვლილებებს.

ბოლუსის ინდიკატორის გახსნის მეთოდი

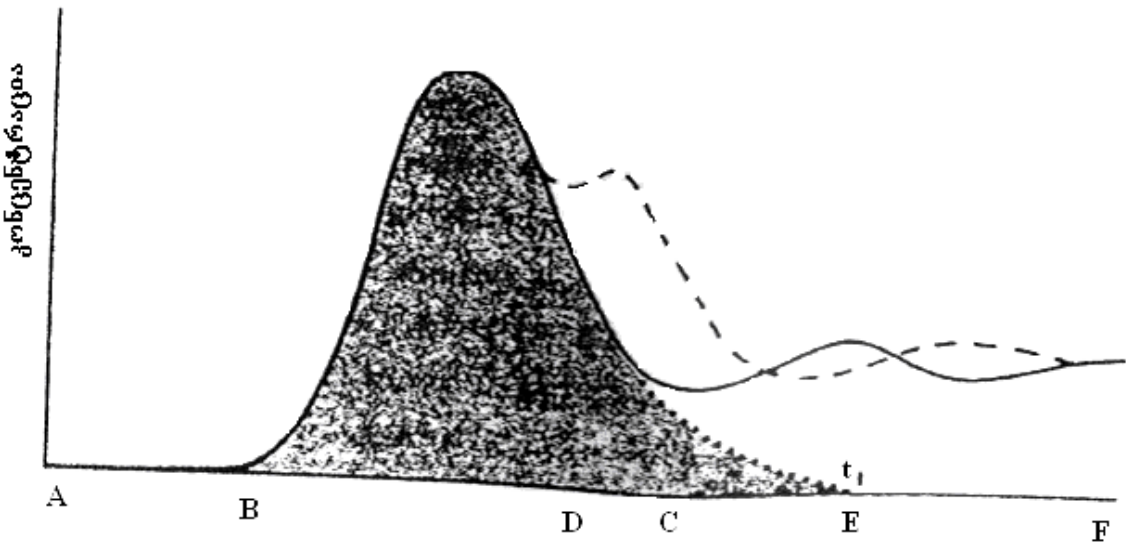
განტოლება

მაღლა განხილული ინდიკატორის გახსნის მეთოდის რეალიზაცია, როცა ინდიკატორი შეიყვანება განუწყვეტლივ, გამოიყენება იშვიათად. პრაქტიკულად ყველგან მას ცვლის სხვა, უფრო მოხერხებული ამ მეთოდის მოდიფიკაცია, რომლის შემთხვევაში აწარმოებენ მოკლე და ჩქარ ინდიკატორების შეყვანას. ბოლუსი ჩქარა შეიყვანება სისხლძარღვში დინებით და მოგვიანებით არეგისტრირებენ გამდინარე ინდიკატორის კონცენტრაციის ცვლილებას, რომელიც არის გამოწვეული ბოლუსის გავლით, ინდიკატორის კონცენტრაციის ცვლილებას, რომელსაც არეგისტრირებენ ბოლუსის ჩქარი შეყვანის დროს, სურათზე გამოსახულია უწყვეტი ხაზით. წერტილებით გამოსახულია ექსპონენციალური დაშლის მრუდი; ინდიკატორის კონცენტრაციის ასეთი ცვლილება შეიძლება გვეხილა სისხლის რეცირკულაციის არქონისას. ასეთი შემთხვევის დროს შეიძლება მოვიხმაროთ განტოლება და გამოვთვალოთ სისხლის დინება სისხლძარღვებში.

სისხლის პატარა მოცულობა dV გადის ჭრილით, სადაც ზომავენ ინდიკატორის კონცენტრაციას dt დროის განმავლობაში. ინდიკატორის რაოდენობა dm , რომელიც არის dV მოცულობაში უდრის, ინდიკატორის კონცენტრაცია $C(t)$ გამრავლებული dV მოცულობაზე. შესაბამისად $dm=C(t)dV$. თუ ამ განტოლების ორივე მხარეს გავყოფთ dt -ზე მივიღებთ $dm/dt=C(t)dV/dt$. მაგრამ $dV/dt=F_i$, სადაც F_i - არის სისხლის დინების მოცულობის სიჩქარის წამიერი მნიშვნელობა ე.ო. $dm=F_iC(t)dt$. ამ განტოლების ინტეგრირებისას ნულიდან დროის t_1 მომენტამდე, როცა ბოლუსი რეცირკულაციის არარსებობისას მთლიანად გაივლიდა გაზომვის ადგილს, მივიღებთ:

$$m = \int_0^{t_1} F_i C(t) dt \quad (4.2.5.)$$

ამასთან t_1 დრო შეესაბამება E წერტილს (სურ 4.2.2.) F_i – სისხლის დინების მყისიერი მცირე რხევები, რომელიც გამოწვეულია გულის შეკუმშვით გლუკოვება რადგან ბოლუსის ინდიკატორი ერევა სისხლს გულის საკნებში და და ფილტვებში. აქედან გამომდინარე შეიძლება მივიღოთ საშუალო სისხლის დინების F ფორმულა.



სურ.4.2.2.

ბოლუსის ინდიკატორის გახსნის დინამიკა

ბოლუსის ინდიკატორი შეჰვავთ დროის A მომენტში, AB დროის ინტერვალი წარმოადგენს ტრანსპორტულ შეკავებას – დრო ინდიკატორის შევანის მომენტიდან, მისი წერტილი B -ში გაჩენის მომენტამდე, რომელიც განთავსებულია „დინების ქვეთი”. გაზომვის წერტილში ინდიკატორის კონცენტრაცია აღწევს პიკს, რის შემდეგ იწყება მისი ექსპონენციალური შემცირება, რომელიც მიმდინარეობს CD დროის მონაკვეთში. რეცირკულაცია რომ გამოვრიცხოთ ეს შემცირება გაგრძელდებოდა წერტილებით გამოსახულ ხაზამდე დროის t_1 მომენტამდე. მაგრამ რადგან ადგილი აქვს სისხლის რეცირკულაციას ამიტომ E წერტილში წარმოიქმნება კონცენტრაციის მეორე პიკი. წყვეტილი ხაზით აღნიშნულია რეცირკულაციის სწრაფი შემთხვევა, რომელიც ხდება მარჯვენა და მარცხენა გულებს შორის ნახვრეტის შემთხვევაში.

$$F = \frac{m}{\int_0^{t_1} C(t) dt} \quad (4.2.6)$$

სურათზე დაშტრიხული არის ფართობს ინტეგრალის საშუალებით ვითვლით. ერთეულოვანი კვადრატების დათვლით, რომლებიც ქმნიან ამ არეს და

პლანიმეტრის საშუალებით. ამის გარდა იქმნება პატარა სპეც. კოპიუტერები რომლებიც რეალურ დროის მაშტაბში ექსტრაპოლირებენ ექსპერიმენტალურ მრუდს და თვლიან სისხლის მოცულობით ხარჯს.

თუ სისხლში ინდიკატორის საწყისი კონცენტრაცია ნულისაგან განსხვავდება, რომელსაც შეიძლება ჰქონდეს ადგილი იმ შემთხვევაში თუ ინდიკატორის გარკვეული რაოდენობა რჩება სისხლში, ის აგრძელებს იქცირკულირებას და ფორმულა იღებს სახეს

$$F = \frac{m}{\int_0^{t_1} [\Delta C(t)] dt} \quad (4.2.7.)$$

4.2. საღებავების გახსნა

კლინიკებში ფართოდ გავრცელებული სისხლმიმოქცევის წუთმოცულობის გაზომვების მეთოდი წარმოადგენს ფერადი საღებავის ინდოციანინის მწვანის (კარდიოგრინის) გამოყენების მეთოდს. ეს საღებავი აკმაყოფილებს ყველა მოთხოვნას, რომელიც მოეთხოვება ინდიკატორს 1. ის ინერტულია, 2. უსაფრთხოა, 3. ეკონომიურია, 4. არ ტოვებს სისხლძარღვის კალაპოტს, 5. მისი კონცენტრაციის გაზომვა სისხლში ადგილია. ამის გარდა მისი ოპტიმალური შთანთქმის პიკი 805 ნმ ტალღის სიგრძეს ემთხვევა; ამ ტალღის სიგრძეზე, სისხლის ოპტიკური შთანთქმის კოეფიციენტი არ არის დამოკიდებული მისი ოქსიგენაციის ხარისხზე. ამ საღებავს უშვებენ სითხის სახით, რომელსაც ხსნიან იზოტონურ ხსნარში და შეყავთ კათეტერით, წვეულებრივ ფილტვების არტერიაში. შეყვანილი საღებავის დაახლოებით 50% გამოიდევნება თირკმელებით პირველი 10 წუთის განმავლობაში რაც გვაძლევს საშუალებას განვახორციელოთ განმეორებითი გაზომვა. სისხლში საღებავის კონცენტრაციის დროზე დამოკიდებულების მრუდს იღებენ მუდმივი ხარჯის ტუმბოს საშუალებით. უზრუნველყოფს კათეტერიდან სისხლის ამოტუმბებას, რომელიც შეყავთ ბარძაყიდან ან მკლავის არტერიიდან. არტერიიდან ამოქაჩული სისხლი გაიშვება კოლორიმეტრულ კიუვეტაში, სადაც აბსორბციული ფოტომეტრიის პრინციპის საფუძველზე განუწყვეტლივ იზომება საღებავის კონცენტრაცია. საღებავის გახსნის მრუდის მოსახსნელად იყენებენ 805 ნმ-ზე დაყენებულ ორარხიან ჰემოქსიმეტრს. ექიმმა წინასწარ უნდა დააკალიბროს კოლორიმეტრი, სისხლი – რომელშიც არის შერეული ცნობილი საღებავის რაოდენობა, გაატაროს კიუვეტაში.

ფორმა რომელიც არის მიღებული ინდიკატორის მრუდით გვაძლევს საშუალებას მივიღოთ დამატებითი ინფორმაცია რომელსაც აქვს დიაგნოსტიკური ფასეულობა. პუნქტირის მრუდი სურ.4.2.2. აირეკლავს გამოთვლის შედეგს, რომელიც შეესაბამება მარჯვენა და მარცხენა გულის შეაში არსებულ შუნტს (გულის მარჯვენა და მარცხენა ნაწილებს შორის ხვრელი). ამასთან სისხლის რეცირკულაცია მიმდინარეობს უფრო სწრაფად ვიდრე ნორმაა, რაც უზრუნველყოფს ადრეული რეცირკულაციური პიკის გაჩენას. ამის გარდა შუნტის არსებობისას მარჯვენა და მარცხენა გულის შეაში ტრანსპორტული შეკავება არანორმალურად მოკლეა, რადგანაც საღებავის რაღაც რაოდენობა პატარა სისხლმიმოქცევის წრის გვერდის ავლით ხვდება რეგისტრაციის ადგილზე.

თერმომოდულაცია

სისხლმიმოქცევის წუთიერი გაზომვის მეთოდი დაფუძნებულია ბოლუსის ინდიკატორის სახით, ცივი ფიზიოლოგიური ხსნარის გამოყენებაზე. თერმოდილუციის მეთოდის რეალიზაციისათვის გამოიყენება სპეციალური ოთხარხიანი კათეტერი სისხლის შერეული დინებით. ეს კათეტერი შეიყვანება მხრის ვენიდან ფილტვების არტერიაში შპრიცის მეშვეობით. კათეტერის არხში ჩაიტვირთება აირი, რომელიც ბერავს კათეტერის ბოლოებზე პატარა “ბალონს”, რომელსაც აქვს მრგვალი ფორმა. მოძრავი სისხლი იზიდავს ამ “ბალონს” გადაადგილებს კათეტერის ბოლოს ფილტვის არტერიაში. ინდიკატორის მაგივრად გამოყენებული ცივი ფიზიოლოგიური ხსნარი შეჰყავთ მარჯვენა წინაგულში მეორე არხით ამ კათეტერის ინდიკატორი კარგად შეერევა სისხლს მარჯვენა გულის პარკუჭში, რომელიც იწვევს სისხლის ტემპერატურის დაცემას. კათეტერის მესამე არხის თავაკის ახლოს, რომელიც ფილტვების არტერიაშია, განთავსებულია თერმისტორი, რომელიც ზომავს სისხლის ტემპერატურას; ელექტრული სადენი რომელიც მოდის თერმისტორიდან გამოდის გარეთ კათეტერის მესამე არხით. ასეთი გაზომვები არ შეიძლება ჩავატაროთ საღებავი ინდიკატორის გამოვიყენოთ.

თერმომოდულაციის მეთოდისათვის შეგვიძლია გამოვიყენოთ შემდეგი განტოლება:

$$F = \frac{Q}{\rho_b c_b \int_0^1 \Delta T_b(t) dt} \left(\frac{\partial^3}{\nabla \partial} \right) \quad (4.4.1.)$$

სადაც $Q_b = \text{შეყვანილ } \text{ ხსნარში } \text{ სითბოს } \text{ რაოდენობა, } \text{ ჯოული}$

$$\rho_b = \text{სისხლის } \text{ სიმკვრივე, } \text{ კგ/მ}^3$$

$$c_b = \text{სისხლის } \text{ კუთრი } \text{ თბომოცულობა, } \text{ ჯ/(კგ·მ)}$$

თერმომოდულაციის მეთოდის გამოყენებით მკვლევარი შეიძლება წააწყდეს ბევრ პრობლემას, რომელმაც შეიძლება შეცდომაში შეიყვანოს გაზომვების დროს. ამ პრობლემებს მიეკუთვნებებიან:

1. ცივი ხსნარის სისხლთან ცუდათ შერევა ან რეგისტრაცია,
2. სითბოცვლა, სისხლისა და გულის არხების კედლებთან; თბოცვლა კათეტერის კედლებთან ინდიკატორის შეყვანამდე, შეყვანის დროს დროს ან შეყვანის შემდეგ. თუმცა, ხელსაწყო შეიძლება დავაკალიბროთ, თუ ხსნარის შერევის მეთოდს ერთდროულად გამოვიყენებოთ, რაც საშუალებას მოგვცემს ვიპოვოთ კორექტორებადი კოეფიციენტები და შემდგომ გაზომვის შედეგების კორექტირებასაც შევძლებოთ.

თავი 5

ელექტრომაგნიტური ხარჯმზომები

5.1 შესაგადი

სისხლის ელექტრომაგნიტური ხარჯმზომები გვაძლევს საშუალებას რომ გავზომოთ საპულსო სისხლის დინების წამიერი სიჩქარე. მათ გააჩნია უფრო დიდი შესაძლებლობები ვიდრე ინდიკატორის გახსნის მეთოდს, რომელიც გვაძლევს საშუალებას გამოვითვალოთ მხოლოდ საშუალო სისხლის დინება. ელექტრომაგნიტურ ხარჯმზომებს შეუძლიათ იმუშაონ მხოლოდ გამდინარე სითხეებთან ერთად, როგორიც არის სისხლი და ფიზიოლოგიური ხსნარი.

მუშაობის პრინციპი

ავტომობილის გენერატორში ელექტრული დაძაბულობა წარმოიქმნება ელექტრომაგნიტური ინდუქციის მოვლენის საფუძველზე. სპილენძის სადენები მოძრაობენ მაგნიტურ ველში, კვეთენ ამ ველის ძალურ ხაზებს, რაც წარმოქმნის ემპ (ელექტრო მამოძრავებელი ძალა). ამავე პრინციპზეა დამყარებული, ფართოდ გავრცელებული, სისხლის დინების ელექტრომაგნიტური სისხლის ხარჯმზომის მუშაობა. ხარჯმზომის სქემა მოცემულია 5.1.1. სურათზე. აქ სადენის მაგივრად მაგნიტურ ველში მოძრაობს სისხლი, რომელიც როგორც მარილსნარი წარმოადგენს გამტარ სითხეს. გაჩენილი ელექტრო მაგნიტური ძალისათვის ფორმულა მოიცემა ფარადეის ინდუქციის კანონით:

$$e = \int_0^L (uxB) dL$$

სადაც B = მაგნიტური ნაკადის სიმკვრივე (მაგნიტური ველის ინდუქცია), ტლ

L = ელექტროდებს შორის მანძილი, მ,

u = სისხლის დინების წამიერი მნიშვნელობა მ/წმ,

თან ელექტრული ველის დაძაბულობის ვექტორი პერპენდიკულარულია მაგნიტური ინდუქციის და სიჩქარის ვექტორის.

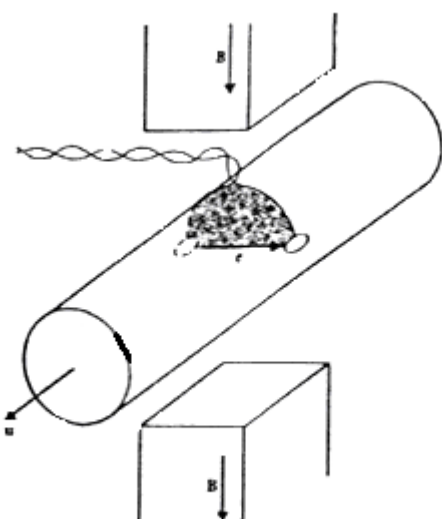
ერთგვაროვანი B ინდუქციის მქონე მაგნიტური ველის, ერთგვაროვანი სისხლის სიჩქარის ა განაწილებით, წარმოქმნილი ელექტრომამოძრავებელი ძალა ტოლია

$$e=BLu$$

(5.1.1.)

სადაც სამივე ვექტორი (ელექტრული ველი და ძაბულობის, მაგნიტური ინდუქციის და სისხლის დინების სიჩქარე) ურთიერთპენდიკულარულია. განვიხილოთ რეალური ხარჯმზომები. უმეტესობა განსხვავდება იდეალურისაგან. ელექტროდებს აქვთ პატარა ზომა, ამიტომ ელექტროდების ახლოს მდებარე სითხის ფენების სიჩქარეს, ხარჯმზომის სიგნალის ჩამოყალიბებაში შეაქვს წვლილი, ვიდრე უფრო მოშორებულ ფენების სიჩქარეს. სურ. 5.1.2.-ზე ნაჩვენებია წრიული კვეთის სისხლძარღვისათვის ფუნქციის ზოგიერთი მნიშვნელობა, რომელიც ახასიათებს ამ ეფექტს. თუ ელექტროდებს მოვათავსებოთ სისხლძარღვის შიგნითა კედლებზე მაშინ პრობლემა არც თუ ისე სერიოზული ხდება.

მოწყობილობა სწორად ზომავს სისხლის დინებას სიჩქარის პრტყელი პროფილის შემთხვევაში. თუ სიჩქარის პროფილები არ არის თანაბარი და არის ასიმეტრიული (მაგალითად ასეთია პარაბოლური პროფილი ან ცილინდრულ მილში სითხის ლამინარული დინება), ხარჯმზომი სწორად ზომავს საშუალო დინების სიჩქარეს უ. რამდენადაც სისხლძარღვის განვი კვეთის ფართობი A ცნობილია, ადგილია სითხის მოცულობითი ხარჯი F გამოთვლა, თუ უ-ს A -ზე გავამრავლებთ. სისხლძარღვთა სისტემის ბევრ მონაკვეთზე, მაგალითად აორტის რკალი ან სისხლძარღვების განტოტვების ადგილის ახლოს, სიჩქარეების პროფილები არ არის ასიმეტრიული, რამაც გაზომვისას შეიძლება შეცდომები გამოიწვიოს.



სურ.5.1.1.

ელექტრომაგნიტური ხარჯმზომი. თუ სისხლს რომელიც მიედინება სისხლძარღვში აქვს სიჩქარე უ და მოძრაობს მაგნიტურ ველში B ინდუქციით, ჩნდება ელექტრო მამოძრავებელი ძალა – ემპ, რომელიც იზომება სურათზე

ნაჩვენები ელექტროდებით, თუ ხარჯმზომი მუშაობს ცვლად მაგნიტურ ველში, მაშინ დამუქებული კონტურის ამ ველის ინდუქციის წირებით გადაკვეთისას, ჩნდება მაგნიტური “ნავოდკა” ჩვენება.

მიუთითეთ ასევე სხვა ფაქტორები რომლებიც შეიძლება იყოს შეცდომების წყარო:

1. მაღალი სიჩქარის სისხლის დინების არე ქმნის დიდ ელექტრომამოძრავებულ ძალას, სისხლის დინების დაბალი სიჩქარის არესთან შედარებით.
2. სისხლძარღვის კედლის ელექტრული გატარების შეფასება სისხლის გატარებასთან, რაც არის დამოკიდებული სისხლის პემატოკრიტის მნიშვნელობაზე.
3. სისხლძარღვის კედლის გარე მხრიდან სითხეს ახასიათებს უფრო მაღალი გამტარიანობა, ვიდრე თვითონ კედელს. რასაც მივყავართ ხარჯვის სიგნალის დაშუნტებამდე.
4. მაგნიტური დინების სიმკვრივე არაერთგვაროვანია ასევე აქსიალური მიმართულებით რაც იწვევს სისხლძარღვის დერძის გასწვრივ დენის ცირკულირების წარმოქმნას.

იმისათვის რომ შევამციროთ ეს შეცდომები საჭიროა გამოვიყენოთ ცხოველების სისხლი და სადაც შესაძლებელია ცხოველების სისხლძარღვები. ამ შემთხვევაში პირდაპირი ხარჯის გაზომვა ხდება დაგრადუირებულ ცილინდრში სადაც აგროვებენ სისხლძარღვებში გადინებულ სისხლს და წამზომის საშუალებით ნიშნავენ დროს, თუ რა დროის განმავლობაში გამოედინება მოცემული რაოდენობის სისხლი.

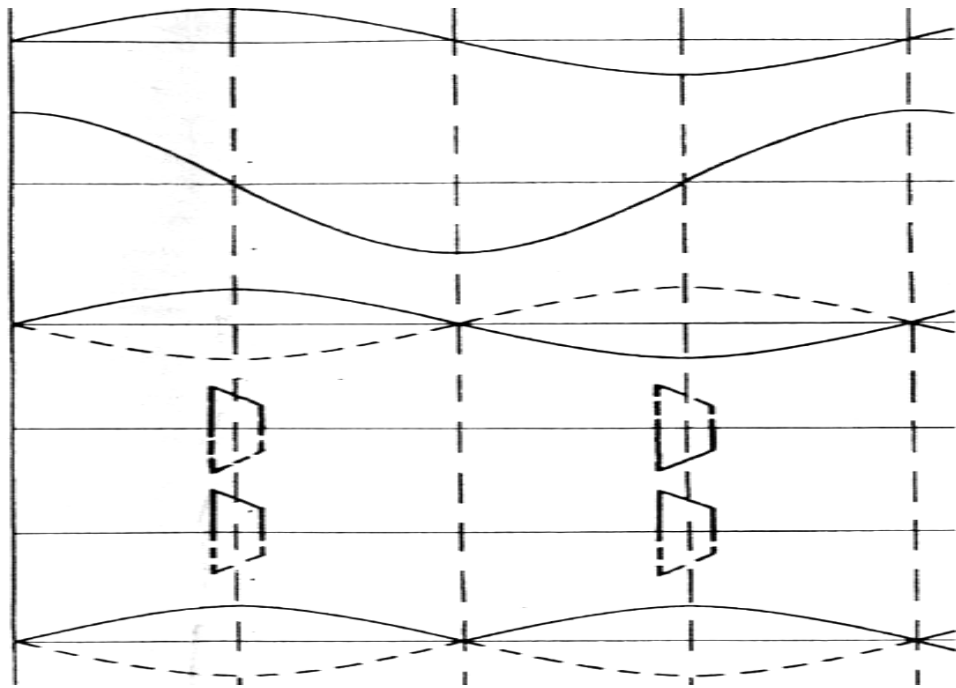
სურ.5.1.1.-ზე მუდმივ მაგნიტურ ველიანი ხარჯმზომია გამოსახული. მასში გამოიყენება მუდმივი მაგნიტური ველი, რომელშიც გამოსახვლელი ძაბვა დროის ნებისმიერ მომენტში გამოსახავს სისხლის დინების სიდიდეს სისხლძარღვებში. პირველი ხარჯმზომები ზუსტად ასეთები იყო, მაგრამ ნაკლებად გამოსადეგი შემდეგი მიზეზების გამო: პირველ რიგში ხარჯმზომის სიგნალი წარმოადგენს პოლარიზაციის დაძაბულობის ჯამს რომელიც წარმოიქმნება მეტალის ელექტროდსა და სითხესთან საზღვარზე, დაძაბულობა დაკავშირებული სითხის დინებასთან პოლარიზაციის დაძაბულობა მნიშვნელოვნად დიდია დაძაბულობაზე. დაკავშირებული ასეთ სითხესთან და მაშინაც კი როცა გამოიყენება არაპოლარიზებადი

ელექტროდები, შემთხვევითი გადახრა დაძაბულობისა პოლარიზაციისაკენ ექნება იგივე სიდიდე როგორიც სისხლის დინების სიგნალს. სიგნალის სიდიდის გამოყოფა ამ ეტაპზე პირველად შეუძლებელია. მეორე მხრივ ელექტრო კარდიოგრამის სიგნალის ფორმა ემთხვევა ამ თვისებებით სისხლის დინების სიგნალს, მიუხედავად იმისა რომ ელექტროკარდიოგრამის სიგნალი უფრო დიდი ფორმისაა ვიდრე სისხლის დინების სიგნალი. ამიტომ სისხლის ხარჯვის გაზომვა სიხლძარღვებში, რომლებიც განლაგებულნი არიან გულარის ახლოს, გამოუვალი ხარვეზები რომელიც იქმნება ელექტრო კარდიოგრამის სიგნალით, ყველაზე დიდი მიღებული მნიშვნელობა სისხლის დინების სიხშირის გაზომვისას, რომელიც არის განთავსებული 0-დან 30-ჰერცამდე დიაპაზონში, საკმაოდ დიდია გაძლიერების ხმაური, რასაც მივყავართ ძალიან ცუდ შეფარდებასთან სიგნალი – ხმაური.

ცვლადი მაგნიტური გელიანი ხარჯმზომები

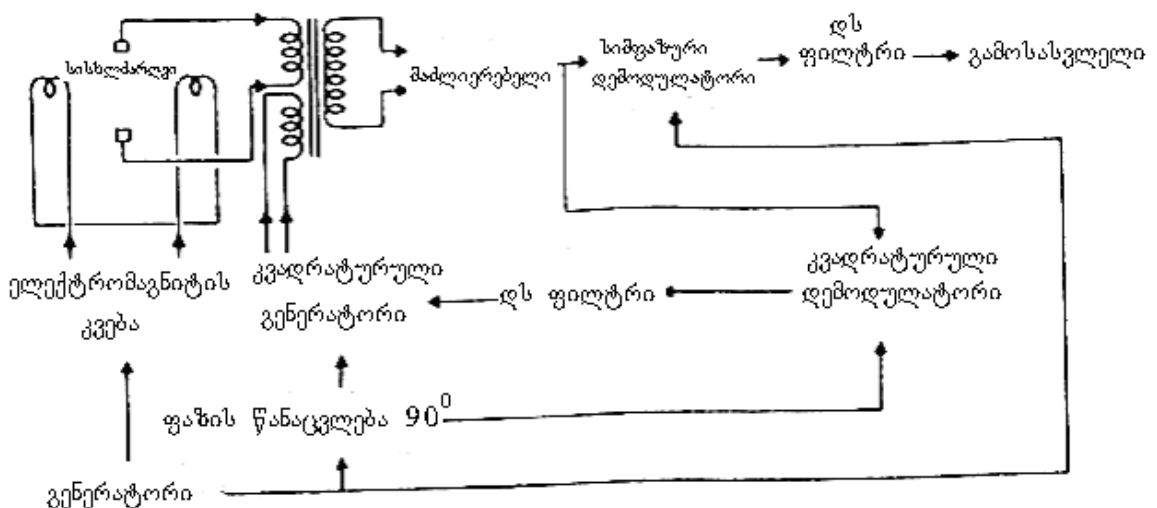
დაბრკოლებები რომლებიც გამოწვეულია ხარჯმზომების მუშაობისას მუდმივი მაგნიტური გელის დროს შეიძლება იყოს უგულვებელყოფილი თუ მაგნიტურ გელს გავხდით ცვლადს, ცვლად სიხშირეს 100 ჰერცის ფარგლებში. უფრო დაბალი სიხშირეები ითხოვს გამოყენების ხოლო უფრო მაღალი სიხშირეების დროს შესამჩნევად იწყებს მოქმედებას პარაზიტული მოცულობა.

სურ.5.12. არის ილუსტრირებული სისტემის მუშაობა რომელშიც მაგნიტი არის ჩართული ცვლადი დენის ჯაჭვში. ცვლად მაგნიტურ გელში მუდმივ ერთ მხრივ მიმარტულ სითხის დენს შესაბამება ცვლადი სიგნალი ხარჯმზომის გამოსვლაზე თუ დინება იცვლის მიმართულებას საწინააღმდეგო მიმართულებით, გამოსასვლელი ძაბვა ფაზით გადაიწევს 180 გრადუსით შესაბამისად გამოსასვლელი სიგნალის მისაღებად, რომელიც ითვლის წინებს სითხის მოძრაობის მიმართულებას, აუცილებელია გამოიყენო ფაზა მგრძნობარე დემოდულატორი. თუმცა ცვლადი მაგნიტური გელიანი ხარჯმზომები მუშაობს უფრო კარგად ვიდრე, მუდმივი მაგნიტური გელიანი ხარჯმზომები, მაინც ამ შემთხვევაში გვიწევს შეჯახება პრობლემასთან რომელიც გამოიწვია მაგნიტურმა მინიშნებამ, რომელიც ამ შემთხვევაში არის ტრანსპორტული ძაბვა.



სურ.5.12.

სინქრონული ხარჯმზომი სიგნალების ფორმა ტრანსფორმატორების ძაბვა წანაცვლებულია ფაზით, ელექტრო მაგნიტური დენის შეფარდებით 900-ით, ყველა სხვა სიგნალები არის ნაჩვენები უწყვეტი ხაზებით, სითხის დადებითი მიმართულების დინებისათვის და პუნქტირული ხაზებისათვის – სითხის უკუდინებისათვის.



სურ.5.13.

ტრანსპორმატორის ძაბვის კომპენსაციისათვის სიგნალი მოიხსნება მაძღვანებლის გამოსასვლელიდან და კვადრატული გენერატორიდან მიეწოდება სიმეტრიული შესასვლელი ტრანსფორმატორის გულას.

არსებობს რამოდენიმე ხერხი პრობლემის ასახსნელად: ტრანსფორმატორის ძაბვამ შეიძლება მიაღწიოს ნულს, ფანცომური ელექტროდის შეკვანით. ამისათვის ერთადერთ ელექტროდს ჰყოფენ ორად რომელსაც ანაზილებენ დერძის მიმართულებით. შეურები რომლებიც მოდიან ელექტროდებიდან პატენციომეტრის უკიდურეს კონტაქტებს ამ პატენციომეტრის ძრავის ძაბვა წარმოადგენს ფატომური ელექტროდის სიგნალს, რომელიც მოძრაობს დერძის მიმართულებით. ძარავის გადაადგილებისას ჩაბნელებული (5.1.1.) მარყუჟი იხრება წინ ან უკან, რაც გვაძლევს იმის საშუალებას რომ ის იყოს პარალელური მაგნიტური ველის ინდუქციის გეგეტორის B-სი.

როგორც ჩანს სურ. 5.1.3. ყოველი ველის ციკლის ცვლილებისას არის ისეთი მომენტი როცა ტრანსფორმატორის ძაბვა უდრის ნულს. ამ დროს ძაბვა რომელიც განისაზღვრება სითხის დინებით არის მაქსიმალური. თუ დავარეგისტრირებთ სიგნალს მაშინ გამოსასვლელი ძაბვა ასეთი სინქრონული ხარჯმზომის იქნება პროპორციული სითხის მოცულობის ხარჯვისა ტრანსფორმატული ძაბვის დამატების გარეშე.

უგელაზე უკეთესი ხერხი ტრანსფორმატორის ძაბვის დასაკლებად გამოიყენება კვადრატული ბლოკის ზოგიერთი ზარჯმზომი მაგნიტური ველის სინუსოидური ცვლილების მაგივრად მაგნიტური ველის აღგზებისათვის გამოიყენება მართკუთხა დენით.

მაჩვენებლის მოწყობილობა

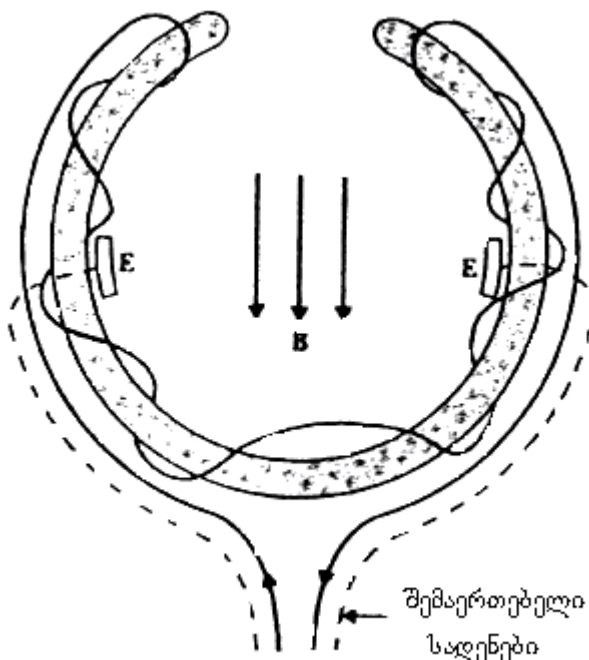
სისხლის დინების გასაზომად გამოიყენება სხვადასხვა მაჩვენებლები, ყველაზე უკეთეს გამოთვლის შედეგებს ღებულობენ პლაცინური ელექტროდების გამოიყენებით. ამ დროს მიიღწევა დაბალი იმპედანსური ელექტროდის მნიშვნელობა. რადგან ასეთი ელექტროდები აღწევენ კარკას რაც უფლებას აძლევს პარაზიტული წერტილების მინიმუმამდე დაყვანას.

ზოგიერთი მაჩვენებლისათვის ელექტრომაგნიტური ველი იქმნება გრაგნილზე რომელსაც არა აქვს გულარი. ტიპიური პერევასკულარული მაჩვენებლის ელექტრო მაგნიტური ველი ხარჯმზომების არის ნაჩვენები სურ.5.14. ამ მაჩვენებელზე არის ორი გრაგნილი რომლებიც არიან დახვეული ერთმანეთის მიმართულებით მრავალფენიანი ტოროიდალურ გულარზე. ამ დროს შექმნილი ელექტრო მაგნიტური ველი თითქმის ბოლომდე არის

კონცენტრირებული მაჩვენებლის შიგნით მაჩვენებელს ავსებენ კომპაუნდით, კომპაუნდი კარგათ უძლებს მარილიან წყალს.

ჭრილი რომელიც არის მაჩვენებლის ერთ მხარეს გვაძლევს საშუალებას რომ სისხლძარღვს წამოვაცვათ მაჩვენებელი ძარღვის გაჭრის გარეშე. მაჩვენებლის ზომა უნდა შეესაბამებოდეს სისხლძარღვის ზომას დიასტოლის დროს ეს არის საჭირო იმისათვის რომ ელექტროდების და სისხლძარღვის კედელს შორის იყოს კარგი კონტაქტი. რამდენადაც ცისტოლურის დროს იზრდება დაახლოებით 7%-ით.

არსებობს ისეთი მაჩვენებლების კომპლექტი რომლებიც შეიძლება შევურჩიოთ ნებისმიერი კალიბრის არტერიას, მაგრამ ამ კომპლექტის ყიდვა ძალიან ძვირი ჯდება. მაჩვენებლებით არ არის რეკომენდირებული გავზომოთ სისხლის დინება ვენებში.



სურ.5.1.4.

5.2. ულტრაბბერითი ხარჯმზომები

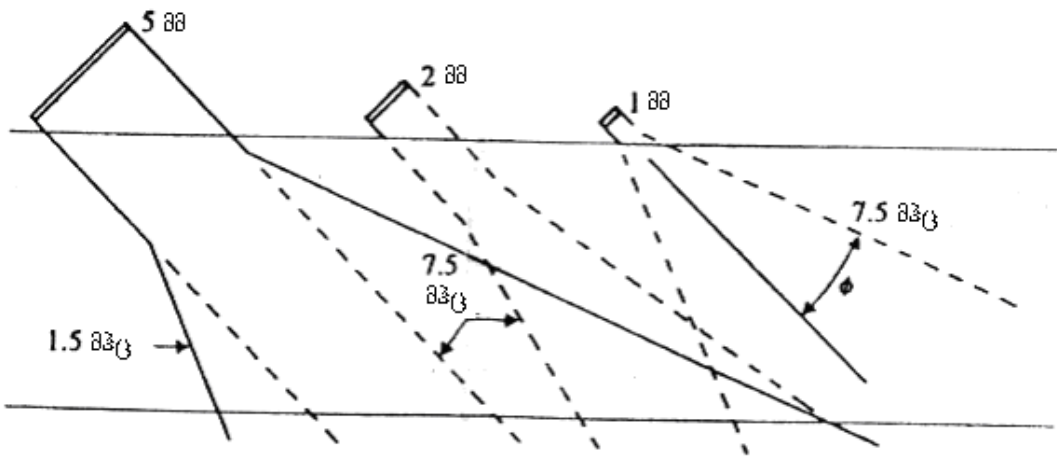
ისევე როგორც ელექტრომაგნიტური ხარჯმზომები, ულტრაბბერითი ხარჯმზომებიც საშუალებას იძლევა მომენტალურად განისაზღვროს სისხლის დინების მოცულობითი სიჩქარის მნიშვნელობა. რადგანაც ულტრაბბერა

აღწევს კანზი, ამიტომ ულტრაბგერითი სარჯმზომები საშუალებას იძლევა სისხლის დინება განისაზღვროს კანგავლით. თანამედროვე ულტრაბგერითი სარჯმზომები საშუალებას იძლევა ასევე განისაზღვროს ნაკადის სიჩქარის პროფილი. ყველა ჩამოთვლილი უპირატესობა ხელს უწყობს ულტრაბგერითი სარჯმზომის სწრაფ განვითარებას. ამ შემთხვევაში ჩვენ განვიხილავთ ულტრაბგერითი სარჯმზომების ფუნქციონირების ზოგიერთ ასპექტს.

ულტრაბგერითი გარდამშმნელები (უბბ)

ულტრაბგერითი სარჯმზომების შესაქმნელად ჩვეულებრივ არჩევენ პიეზოელექტრულ მასალებს, რომლებიც საშუალებას იძლევიან ელექტრული ენერგია გარდაქმნილ იქნას აკუსტიკურში, ანუ ელექტრობგერითი ტალღების ენერგიაში (Christensen, 1988). ულტრაბგერითი გარდამქნელებს შორის საუკეთესო გარდამქმნელი თვისებები აქვს ტყვიის ცირკონატ-ტიტანატს, რომელსაც სასურველ ფორმატს აძლევენ გამდნარ მდგომარეობაში. შემდგომი გაცივებისას, როდესაც ნიმუში გაივლის წერტილს მას ათავსებენ ძლიერ ელექტრულ ველში, რაც მასალის პოლარიზების საშუალებას იძლევა. ჩვეულებრივ ულტრაბგერის წყაროებს (დამასხივლებლებს) აძლევენ დისკის ფორმას, რომლის საწინააღმდეგო მხარეებს საკონტაქტო ზედაპირების შექმნის მიზნით ფარავენ ლითონით, რომელსაც, თავის მხრივ, უერთებენ ელექტრული გენერატორის გამოსავალს. ელექტრული ველი კრისტალში იწვევს მის მექანიკურ (ზომების შემცირებას) შეკუმშვას. დგუშის მოძრაობა ქმნის სიგრძივი მიმარტულების ტალღებს, რომლებიც ვრცელდებიან ქსოვილში. მაქსიმალური ეფექტურობის მისაღწევად, კრისტალის სისქე უნდა უდრიდეს ტალღის სიგრძის ნახევარს. კრისტალსა და ქსოვილს შორის სიცარიელე ამოგსებულ უნდა იქნას წყლით ან თხევადი გელით. ეს აუცილებელია იმისათვის, რომ ტავიდან აცილებულ იქნას გაზსა და ხსნარს შორის საზღვარზე ძლიერი არეავლა.

რადგანაც ულტრაბგერით დამასხივებელს აქვს საბოლოო ფორმა, ის ქმნის დიფრაქციულ სურათს, იმის მსგავს, რომელსაც ოპტიკაში ქმნის აპარტურული დიაფრაგმა.



სურ5.2.1.

ნაჩვენებია სხვადასხვა ზომის უბვს მიერ შექმნილი სიგნალების გავრცელების საზღვრები სხვადასხვა სიხშირისას. ა ხ ლ ო ვ ე ლ შ ი ტალღები პრაქტიკულად არ გადაიხრებიან და ვრცელდებიან რომელიდაცა პირობითი ცილინდრის შიგნით. მაგრამ ამ დროს ტალღის ინტენსივობა არაერთგვაროვანია: ამ უბანში მრავლად არსებობს ინტენსივული განპირობებული ინტენსიონების მაქსიმუმები და მინიმუმები. ახლო ვეილს სიგრძე შეიძლება შეფარდებულ იქნას ფორმულის საშუალებით:

$$d_{nf} = \frac{D^2}{4\lambda} \quad (5.2.1)$$

სადაც D და r აღნიშნულია დამასხივებლის დიამეტრი და ტალღის სიგრძე, შესაბამისად. შემთხვევაში იწყება ტალღის გადახრა, იმგვარად რომ მისი ინტენსიონი დამასხივებლიდან დაშორების კვადრატის უკუპროპორციულად ეცემა. ტალღის გადახრის კუთხე a , რომელიც მოცემულია სურ5.2.1.-ზე, განისაზღვრება ფორმულით:

$$\sin \varphi = \frac{1.2\lambda}{D} \quad (5.2.2)$$

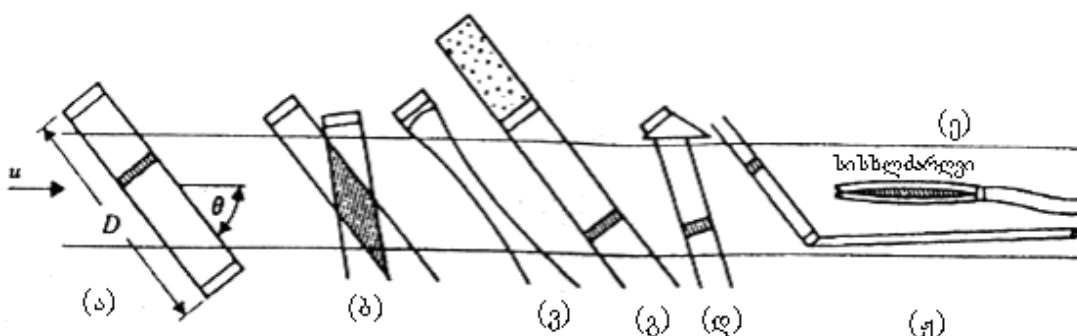
როგორც სურ5.2.1.-დან ჩანს, თავი უნდა ავარიდოთ შორეულ ველში მუშაობს, რადგანაც ის ხასიათდება ნაკლები სიგრცული დაშვებისუნარიანობით. იმისათვის, რომ შესაძლებელი იყოს ახალო ველში

მუშაობა, აუცილებელია უფრო მეტი სიხშირეებისა და დიდი დიამეტრიც მქონე და მასხივებლების გამოყენება.

სურ. 5.2.1. სხვადასხვა დიამეტრიც მქონე დამასხივებლების ახლო და შორეულ ველები სხვადასხვა სიხშირეზე მუშაობისას. ტალღები გამოსახულია ჭურჭლის დიამეტრით (10მმ) განპირობებულ მასშტაბში, რომელშიც გადის სიგნალი. დამასხივებლების ზომებია 5,2 და 1მმ. უწყვეტი ხაზები მიეკუთვნება სიგნალს, რომლის სიხშირეა 1.5მჟკ, ხოლო პუნქტირული 7.5მჟკ სიხშირის სიგნალს.

სამუშაო სიხშირის შერჩევისას აუცილებელია რამოდენიმე ფაქტორის განხილვა. არაგადახრილი ტალღის სიმძლავრე (რომელსაც განივი ჭრილის მუდმივი ფართობი აქვს) ქსოვილების მიერ ენერგიის შთანთქმის შედეგად ექსპოტენციალურად დაიკლებს. შთანთქმის კოეფიციენტი დაახლოებით სიხშირის პროპორციულია და თუ ამ მოსაზრებიდან გამოვალთ სამუშაოდ დაბალი სიხშირეები უნდა შევარჩიოთ, თუმცა ულტრაბგერითი ხარჯმზომების უმრავლესობის მიერ რეგისტრირდება სიგნალი, რომელსაც განაპნევენ (ირეკლავენ) მოძრავი ერითროციტები. რადგანაც უკან არეკლილი სიგნალის სიმძლავრე სიხშირის მე-4 ხარისხის პროპორციულია, ამიტომ უპრიანია მაღალი სამუშაო სიხშირის შერჩევა. ამ თრ მოსაზრებას შორის კომპრომის იწვევს 2-დან 10მგჸ-მდე დიაპაზონის სამუშაო სიხშირის შერჩევას.

5.3. პროცემეტრული ხარჯმზომები



სურ.5.3.1.

გამოსახულია ულტრაბგერითი ქრონომეტრული ხარჯმზომის უბგ-ს (დამასხივებელი და აღმქმელი) განლაგება, რომელიც იყენებს სიგნალის გასვლის დროის დაფიქსირების პრინციპს (trowsit-time flowmeter. Christensen 1988) მოძრავ არეში (სიხსლი) გავრცელებული ბგერის სიჩქარე, ტოლია უძრავ

არეში ბგერის სიჩქარის C და U სიჩქარის ალგებრული ჯამისა, რომელიც წარმოადგენს ულტრაბგერითი სიგნალის გასვლის მთელ გზაზე სისხლდენის გასაშუალოებულ სიჩქარეს. ლამინარულ დენისათვის $U=1,33XU$, ხოლო ტურბულენტური დენისათვის $U=1.07XU$, სადაც U არის სისხლძარღვში სისხლდენის საშუალო სიჩქარე კვეთის მიხედვით. სიჩქარე U განსხვავდება კვეთის მიხედვით საშუალო U სიჩქარისაგან. ეს დაკავშირებული იმასთან, რომ სიგნალის გასვლის დრო განისაზღვრება ულტრაბგერის მხოლოდ იმ ნაწილით, რომელიც გადის სისხლდენის ყველაზე სწრაფი ხაზის გასწვრივ. დრო რომლის განმავლობაშიც სიგნალი გადის დენის მიმართულებიტ (+) და დენის საწინააღმდეგოდ (-) განისაზღვრება ფორმულით:

სისხლდენის მიმართულებასთან მიმართებაში გასვლის დროებს შორის სხვაობა, რომელსაც სიგნალი უნდება დენის მიმართულებით და დენის საწინააღმდეგოდ შეადგენს

$$\Delta t = \frac{2D\hat{u} \cos \theta}{(c^2 - \hat{u}^2 \cos^2 \theta)} \cong \frac{2D\hat{u} \cos \theta}{c^2} \quad (5.3.1)$$

გამომდინარე აქედან, სისხლის დენის საშუალო სიჩქარე U პროპორციულია სიდიდისა. ამ ხარჯმზომში მოკლე ულტრაბგერითი სიგნალი კრცელდება დენის მიმართულებით და მის საწინააღმდეგოდ, ამასთან იმპულსის გასვლის დროებს შორის განსხვავება ასახავს სისხლდენის სიჩქარეს. სამწუხაროდ t -ს სიდიდე სულ რამოდენიმე წამს შეადგენს და საკმაოდ სტაბილური შედეგების მისაღწევად აუცილებელი ხდება რთული ელექტრონული აპარატურის გამოყენება. ხარჯმზომებს, რომლებიც ეფუძნებიან სიგნალის გასვლის დროების გაზომვას, ასევე ანალოგიურ ხარჯზომებს, რომლებიც იყენებენ ფაზების გადანაცვლების პრინციპს, შეუძლიათ ელექტრომაგნიტური ხაჯზომების მსგავსად გაზომონ დენის სიჩქარე, როგორც სისხლია ასევე მარილესნარის, რადგანაც ისინი არ საჭიროებენ სითხის ნაწილაკებზე სიგნალის გბნევის პრინციპის გამოყენებას. თუმცა მათი გამოყენებით გაზომვები ინვანზიურია, რადგანაც ამ ხარჯმზომების გამოყენება შესაძლებელია მხოლოდ შიშველ სისხლძარღვში.

სურ.5.3.1. ულტრაბგერითი ხარჯმზომებში უბგ-ს (დამახასიათებელი და მიმღები) განლაგება. ა) სიგნალის გასვლის დროის გაზომვის პრინციპზე

დაფუძნებულ ქრონომეტრულ ხარჯზომებში სიგნალის დამასხივებელი და
მიმღები განლაგებულია სისხლძარღვის სხვადასხვა მხარეზე
ერთმანეტისაგან D მანძილის დაშორებით. წრფე რომელიც აერთებს ამ უბგ-ს
შორის. ბ) კანის გავლით ხარჯის გაზომვისას ორივე უბგ თავსდება კანის
ზედაპირზე სისხლძარღვის ერთ მხარეზე. შტრიხით ნაჩვენებია ტალღების
გადაკვეთის ადგილი. გ) ნებისმიერ დამახასიათებელი შეიძლება აღჭურვილი
იქნას პლასმასის ლინზით, რომელიც ავიწროვებს და აფოკუსირებს ტალღას.
დ) იმპულსურ რეჟიმში მუშაობისას დამასხივებლის უკანა/ზურგის მხარეს
აეკრანირებენ ვოლფრანის ფხვნილით, რომელიც დაფიქსირებულია
ეპოქსიდური ფისიო. ეს იწვევს ენერგიის დანაკარგების ზრდას და
პარაზიტული გამოსხივების Q -ს შემცირებას. დაშტრიხული უბანი აჩვენებს
აგუსტიკურ იმპულს. ე) დაშტრიხული უბანი აჩვენებს ლუციტს, რომელიც
გარდატეხს ულტრაბგერას. ვ) კათეტერის ბოლოში მოთავსებული უბგ
ულტრაბგერას ასხივებს სისხლძარღვის გასწვრივ. ზ) იმპულსურ რეჟიმში
სამუშაოდ დამსხივებულს ასხივებენ კუთხით.

5.4. უფავეტი მოქმედების დოკლერული ხარჯმზომი

თუ რომელიმე ობიექტი დაშორდება ბგერის უძრავ წყაროს, მაშინ ბგერითი სიგნალის სიხშირე, რომელსაც ეს ობიექტი აღიქვამს იქნება უფრო დაბალი იმ ბგერის სიხშირეზე, რომელსაც ასხივებს წყარო. სიხშირის ამ გადანაცვლებას უწოდებენ დოპლერის ეფექტს. სიხშირეთა მეორე გადანაცვლებისათვის სიხშირის ცვლილებისა და საწყისი სიგნალის სიხშირის შორის თანაფარდობა აიწერება ფორმულით:

$$\frac{f_d}{f_0} = \frac{u}{c} \quad (5.4.1)$$

აქ

td = სიხშირის დოპლერული გადანაცვლება.

to = წყაროს მიერ გამოსხივებული ბგერის სიხშირე.

U = ობიექტის მოძრაობის სიჩქარე.

e = მოცემულ არეში ბგერის სიჩქარე.

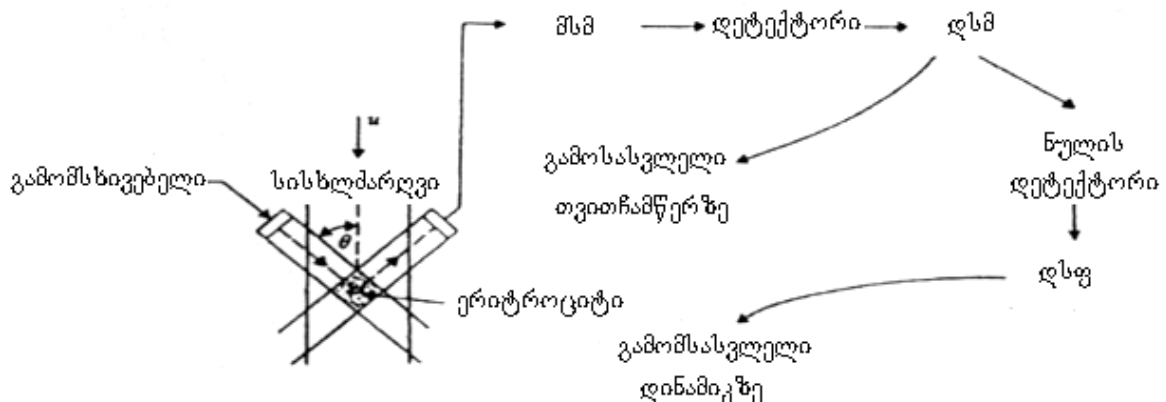
დოპლერის ეფექტზე მომუშავე ხარჯმზომის სქემა მოცემულია სურ.5.4.1.-ზე ასეთ ხარჯმზომს შეუძლია მხოლოდ ისეთი სითხეების სიჩქარის გაზომვა, რომელშიც არსებულ ნაწილაკებს შეუძლიათ მათზე მოხვედრილი სიჩქარის არეკვლა; კერძოდ სისხლისა, რომელშიც ულტრაბგერითი გაბნევის უნარი აქვთ ნოთროციტებს. ასეთ ხარჯმზომში ულტრაბგერითი სიგნალის სიხშირე ორჯერ იკლებს. სიხშირის პირველი გადანაცვლება ხდება სიგნალის მსვლელობისას ულტრაბგერის წყაროდან მის განბმნევ ნაწილაკამდე. მეორეჯერ ამავე სიდიდით სიგნალს იკლებს მოძრავი ნაწილაკიდან არეკლილი სიგნალისნ უკან მიმღების მიერ აღქმისას. ამრიგად

$$\frac{f_d}{f_o} = \frac{2u}{(c+u)} \approx \frac{2u}{c} \quad (5.4.2)$$

ამ ფორმულაში გაკეთებული დაახლოებითიბა სამართლიანია, რადგანაც სითხეში ბგერის სიჩქარეა $e=1500\text{მ}/\text{წ}$, ხოლო არტერიებში ერთოროციტების მოძრაობის მაქსიმალური სიჩქარე $U=1.5\text{მ}/\text{წ}$. რდაგანაც განბმნევი ნაწილაკების სიჩქარე არ არის ერთ წრფეზე მიმართული, რომელიც პარალელურად იქნებოდა ულტრაბგერის გავრცელებისა, ფორმულაში (5.4.2) აუცილებელია კუთხეური მამრავლის შეყვანა.

$$f_d = \frac{2f_0 u \cos \vartheta}{c} \quad (5.4.3)$$

სადაც Q არის კუთხე ულტრაბგერის ტალღის მიმართულებასა და სისხლძარღვის დერძს შორის, როგორც ეს ნაჩვენებია სურ. 5.4.1.-ზე თუ კაპილარში სისხლის დენა არ ხდება დერძიე გასწვრივ ან ულტრაბგერის წყარო და მიღები განლაგებულია სხვადასხვა კუთხით კაპილარის დერძის მიმართ, როგორც ეს ნაჩვენებია სურ.5.3.1. (ბ)-ზე, მაშინ აუცილებელია ფორმულაში დამატებითი ტრიგონომეტრიული კოეფიციენტების შეყვანა. სურ. 5.4.1-ზე მოყვანილია სისხლის უმარტივესი ულტრაბგერითი დოპლერული ხარჯმზომის ბლოკ-სქემა. ოსცილატორის გამოსავალი წინადობა საკმარისა მცირე უნდა იყოს იმისათვის, რომ მას ჰქონდეს დაბალი იმპედანსის მქონე კრისტალის აღზნების უნარი. თუმცა სიხშირეების უმრავლესობისათვის კრისტალური მიმღების იმპენდანსი საკმაოდ მაღალია, მიმღები მუშაობს მექანიკური რეზონანსის სიხშირეებზე. ასეთი სიხშირეების დროს ასეთი იმპედანსი ეცემა 100 ობამდე. გავრცელებისას ულტრაბგერითი სიგნალი აღწევს მოძრავ უჯრედამდე, რომლისაგანაც ის ირეკლება გადანაცვლებული სიხშირით (დოპლერის ეფექტის ფორმულის შესაბალისად) და არეკლილი სიგნალი უბრუნდება მიმღებს, რომლის კრისტალი ულტრაბგერითი და მასხივებლის კრისტალის იდენტურია. გაძლიერებული რადიოტალღური სიგნალი, რომელსაც აქვს (5.4.3.) ფორმულის შესაბამისი სიხშირე.



სურ.5.4.1.

სისხლის დოპლერული ულტრაბგერითი ხარჯმზომი აპარატის უმარტივეს გარიანტში ულტრაბგერა გადის სისხლძარღვის კედელში, განიბნევა ერთორციტებზე, და არეკლილი სიგნალი აღიქმება პიეზოლექტრული კრისტალის მიერ. დაბალი და მაღალი სიხშირეების გამაძლიერებლები და

ფილტერი აღნიშნულია მსგ (მსმ – მაღალსიხშირული მაძლიერებელი), დსმ დსმ-დაბალსიხშირული მაძლიერებელი), დსფ (დსფ-დაბალსიხშირული ფილტრი).

დინამიკით გახმოვანებული ასეთი სიგნალის მოსმენა მრავალ სასარგებლო და ხარისხიან ინფორმაციას იძლევა, ხოლო სიხშირის ძაბვად გარდაქმნილი უმარტივესი მოწყობილობა რეგისტრატორზე რაოდენობრივი ინფორმაციის (გამომსვლელი სიგნალი) გამოყვანის საშუალებას გვაძლევს. ყოველთვის როდესაც ბგერითი სიგნალი გაივლის ნულოვან დონეს, ნულის გადაკვეთის დეტექტორი ფიქსირებული ხანგრძლივობის იმპულს გამოსცემს. ეს იმპულსები დაბალი სიხშირის ფილტრის გავლის შემდეგ ახდენენ გამომავალი სიგნალის ფორმირებას, რომელიც ერითროციტების მოძრაობის პროპორციულია.

ზემოთ აღნიშნულია, რომ ელექტრომაგნიტურ ხარჯმზომებს შეუძლიათ სისხლდენის სიჩქარე გაზომონ ორივე მიმართულებით (წინ და უკან). ამავე დროს ულტრაბგერითი ხარჯმზომები, რომლებიც იყენებენ გამოსვლაზე ორნახევარპერიოდიან გამართვას, ვერ ზომავენ სისხლდენის სიჩქარეს სისხლის მოძრაბის მიმართულების გათვალისწინებით. ეს დაკავშირებულია იმასთან, რომ ასეთი ხარჯმზომები ზომავენ მხოლოდ სიხშირეების დოპლერული გადანაცვლების აბსოლუტურ მნიშვნელობებს. სურ5.4.1.-ზე მოყვანილი სქემის შესწავლისას შეიძლება დავასკვნათ, რომ ტალღის მიმღებზე ხვდება დოპლერის ეფექტის შესაბამისად გადანაცვლებული სიხშირის მქონე მხოლოდ გაბნეული სიგნალი, თუმცა რეალობაში მასზე მატარებელი სიხშირის სიგნალიც ხვდება, ამა სთან მისი ინტენსივობა გაცილებით მაღალია, ვიდრე გადანაცვლებული სიხშირის მქონე სიგნალისა. მატარებელი სიხშირის სიგნალი მიმღებზე სხვადასხვა გზებით ხვდება . პირველ რიგში ის ხდება გამოსხივების წყაროს მიერ შექმნილი ელექტრული ველის ხარჯზე. მეორეს მხრივ, დამასხივებლის ნახვრეტებში გვერდითი ფურცლების არსებობის გამო დამასხივებლის სიგნალის გარკვეული ნაწილი უშუალოდ ხვდება მიმღებზე. ბოლოს მატარებელი სიხშირის სიგნალი მიმღებზე შეიძლება მოხვდეს უძრავი სტრუქტურებიდან ერთი ან რამოდენიმეჯერ არეკვლის შემდეგ. შედეგად გამოსხივების მიმღებზე ხვდება მატარებელი სიხშირის მაღალპლიტუდური სიგნალი და გადანაცვლებული სიხშირის მქონე ძალიან სუსტი (ამპლიტუდით, რომელიც ძირითადი სიგნალის ამპლიტუდის დაახლოებით 0.1%-ია) სიგნალი.

დოპლერის ეფექტით განპირობებული სიხშირის გადანაცვლება წარმოადგენს არა ერთ სიდიდეს, რომელიც (5.4.3.) ფორმულით განისაზღვრება, არამედ წარმოადგენს სიხშირეების სპექტრს. ის დაკავშირებულია რიგ მიზეზებთან:

1. სიჩქარეების პროფილი თითქმის არასდროს არ არის ბრტყელი, ჩვეულებრივ ერთორციტების სიჩქარე სისხლძარღვის დერძიდან სხვადასხვა დაშორებაზე სხვადასხვაა და ეს განსხვავებული სიჩქარეები საწყისი სიგნალის სიხშირის სხვადასხვა გადანაცვლებებს იწვევს.

2. ყოველი გამბნევი უჯრედი მასზე დაცემული სიგნალის ზონაში ძალიან მცირე დრო რჩება. ამის შედეგად სიხშირის გადანაცვლება, რომელიც განპირობებულია გაბნევით კონკრეტულ უჯრედზე, იმყოფება დროის რომელიდაცა მასტრობირებული ფუნქციის გავლენის ქვეშ, რაც დასარეგულირებელ სიგნალში სიხშირეების ზოლის გაჩენას იწვევს.

3. აკუსტიკური ენერგიის ნაწილი, რომელიც ძირითად ტალღებთან ერთად გაიცემა, ამ ტალღის დერძის მიმართ გარკვეული კუთხით ვრცელდება. ამის გარდა ენერგიის ნაწილი ობიექტზე ხვდება მიმღების გვერდითი ფურცლებიდან. ყველაფერი ეს იწვევს იმას, რომ ტალღა განმბნევ ობიექტზე ხვდება სხვადასხვა Q კუთხით, რაც თავის მხრივ სიხშირეთა სხვადასხვა გადანაცვლებას იწვევს.

4. უჯრედების ბრუნვა და ადგილობრივი ნაკადები, რომლებიც დაკავშირებულია ტურბელენტობასთან, ასევე იწვევენ სიხშირეების დოპლერული გადანაცვლების სხვადასხვა მნიშვნელობების წარმოქმნას.

ყველა ეს ფაქტორი განაპირობებს მოძრავი უჯრედებიდან არეკლილი სიგნალის სიხშირეების ზოლის არსებობს. ამ დროს წარმოქმნილი სპექტრი ელუქტური ხმაურის მსგავსია, რომელსაც შეზღუდული ზოლი აქვს. სწორედ ამ ხმაურიდან უნდა იქნას ამოღებული სისხლძარღვში სისხლდენის შესახებ ინფორმაცია.

იმისათვის, რომ გაზრდილი იქნას გადანაცვლებული დოპლერული სიხშირის მქონე დაბალამპლიტუდური სიგნალი, აუცილებელია გაძლიერდეს მაღალი კოეფიციენტის მქონე მაღალი სიხშირის გამაძლიერებელი (მსგ). თუმცა, მტარებელი ტალღის ამპლიტუდა საკმაოდ მაღალია, ამიტომ გაძლიერების კოეფიციენტი არ შეიძლება იყოს ასევე ძალიან მაღალი, რადგან ის გამოიწვევს მსგ-ს გაჯერებას. არ არის აუცილებელი სიხშირეების ფართო ზოლის მქონე მსგ-ს ზონა, რადგან გადახრა მატარებელი სიხშირიდან

(სიხშირის გადანაცვლება) შეადგენს მატარებელი ტალღის სიხშირის 0,001-ს. თუმცა სიხშირების ამ ზოლს ზოგჯერ უფრო ფართეს აკუთხებნ, ვიდრე საჭიროა, რაც საშუალებას იძლევა ერთიდაიგივე გამაძლიერებელი გამოყენებულ იქნას სხვადასხვა მიმღებებისათვის.

დეტექტორად შეიძლება გამოყენებული იქნას კვადრატული მახასიათებლების მქონე ნებისმიერი მოწყობილობა, ისეთი მაგალითად როგორიცაა დიოდი. გამომავალი სიგნალის სპექტრი შეიცავს ხმოვან დიაპაზონში მყოფ დოპლერული გადანაცვლების სიხშირებს, ზოგიერთ (გაზომვისათვის არაა საჭირო) თანმდევ სიხშირეებსაც.

მაგალითი 8.3 გამოიანგარიშეთ სისხლის დოპლერული ხარჯმზომის მაქსიმალირი ბგერითი სიხშირე, რომელიც მუშაობს 7 მგჰ ტოლ მატარებელ სიხშირეზე, თუ მიმღები განლაგებულია 45 გრადუსიანი კუთხით კაპილარის დერძისადმი, სისხლის დენის სიჩქარეა 150 სმ/წთ ხოლო არეში ბგერის სიჩქარეა 1500/წთ.

პასუხი: თუ მონაცემებს ჩავსვავთ ფორმულაში (5.4.3.).

მივიღებთ:

$$f_d = \frac{2(7 \times 10^6 \text{Hz})(1.5 \text{m/s}) \cos 45^\circ}{1500 \text{m/s}} \cong 10 \text{kHz} \quad (5.4.4)$$

შემადგენელი მუდმივა გამორიცხულ უნდა იქნას მაღალი სიხშირის მაძლიერებლის მაღალ სიხშირული ფილტრის (მსფ) საშუალებით. იმისათვის რომ გაიფილტროს სისხლძარღვის კედლის მოძრაობით განპირობებული მაღალამპლიტუდური დოპლერული სიგნალი, ფილტრის ამპლიტუდურ-სიხშირული მახასიათებლის მოჭრის სიხშირე უნდა იყოს 100ჰც. სამწუხაროდ, ასეთი მსფ-ს გამოყენება, არ იძლევა საშუალებას გაიზომოს კაპილარში დაბალი სიჩქარით მოძრავი (1.5მ/წთ-ზე ნაკლები) ნაწილაკების სიჩქარე, რომელიც შეინიშნება კაპილარის კედელთან. დაბალი სიხშირეების ფილტრი (დსფ), აშორებს მაღალსიხშირულ სიგნალებსა და ხმაურს. ასეთი ფილტრის მოჭრის სიხშირე დაახლოებით შეადგენს 15ჰც, რაც საშუალებას იძლევა დარეგისტრირდეს სიხშირეების ყველა დოპლერული გადანაცვლება, რომელიც წარმოიქმნება სისხლის უჯრედებზე გაბნევისას, ასევე იძლევა სპექტრის გაფართოების საშუალებასაც.

ამ ტიპის უმარტივეს ხარჯმზომებში ბგერითი სიხშირის მაძლიერებლის გამოსავალზე სიგნალმა უნდა აღაგზნოს დინამიკის ან თავზე დასამაგრებელი

ტელეფონების მემბრანა. გამომავალი სიგნალი წარმოადგენს სიხშირეების ზოლს, ასე რომ სტაციონალური ნაკადისას ყურმილებში ისმის სიგნალი, რომელიც პგავს სტვენის ხმას, ან ფლუპატუციურ ხმაურს. ვენუს სისხლდენის გაზომვისას ისმის დაბალსიხშირული ხმა, რომელიც ზოგჯერ მოდულირებულია პაციენტის სუნთქვასთან. რადგან არტერიულ სისხლდენას აქვს პულსირების სახე, გულის ციკლის განმავლობაში ერთჯერ ისმის მაღალი სიხშირის სიგნალი, რომელსაც თან სდევს ერთი ან რამოდენიმე სუსტი, თუმცა მკვეთრი ხმოვანი ტალღა, რომელიც ასახავს არტერიებში სისხლდენის დემპფირება. ამრიგად ასეთი მარტივი ხელსაწყო შეიძლება გამოყენებული იქნას ისეთ სისხლძარღვებში სისხლდენის თვისობრივად შესაფასებლად, რომლებიც ფეხების, ხელების და კისრის კანქვეშ იმყოფებიან არაუმეტეს 1სმ სიღრმეზე. სისხლძარღვებში სისხლდენის შესახებ უფრო ზუსტი რაოდენობრივი ინფორმაციის მისაღებად, ასევე შეიძლება გამოთვლილ იქნას ბგერითი სიგნალის სპექტრი, როგორც დროის ფუნქციისა.

როგორც ზემოთ აღინიშნა ნულის გადაკვეთის დეტექტორი ბგერითი სიგნალის სიხშირეს გარდაქმნის მის პროპორციულ ძაბვად. ამისათვის დეტექტორმა შემომავალი სიგნალის მიერ ნულის ყოველი გადაკვეთისას უნდა გამოსცეს სტანდარტული იმპულსი. რეალობაში ნულის ყოველი გადაკვეთა არ გამოიყენება სისხლდენის განსასაზღვრად. მართლაც, რეალურ სიგნალს გააჩნია ხმაურის შემადგენელი, ასე რომ იდეალური სინოსოვნის ნულის „სწორ“ გადაკვეთასთან ერთად, ადგილი აქვს რამოდენიმე პარაზიტულ გადაკვეთასაც. პარაზიტული გადაკვეთებია ამ უფექტს ბლოკავს შმიდტის ტრივერი, რომელიც რეაგირებს სინოსოვნის მიერ ნულის გადაკვეთის ფაქტზე, არამედ ნულიდა მის საკმაოდ დაშორებით წასვლაზე საწინააღმდეგო შხარეს. ამ სხვაობას ტრივერის ამუშავების დონესა და ნულს შორის ეწოდება შმიდტის ტრივერის ჰისრეზისი. სინუსოიდის ამპლიტუდის ფართობს ჰისრეზისთან ეწოდება თანაფარდობა სიგნალი/ჰისრეზოსი (თსპ). კარგად ითვლება 7 ტოლი თსპ სიდიდე, რადგან თსპ-ს ასეთი მნიშვნელობისას გამომავალი სიგნალი პრაქტიკულად არ არის დამოკიდებული სიგნალის ჰისრეზისთან თანაფარდობის მცირე ცვლილებებზე. თსპ-ს ასეთი სიდიდის შესანარჩუნებლად სისტემაში გამოიყენება გაძლიერების ავტომატური რეგულირება (გარ). თსპ-ს ძალიან მაღალი მნიშვნელობები არ არის სასურველი, რადგან ასეთ შემთხვევაში ხმაურის იმპულსებმა შმიდტის ტრივერის ამუშავების დაბალი დონის გამო, შეიძლება გამოიწვიოს

კომპარტორის ამჟავება. ასეთ პირობებში გამომავალი სიგნალი გაიზრდება და შემცირდება დროში ახლოსმდგომი სისშირების მქონე შემომავალი სიგნალის შემადგენლების პულსაციის გამო. მეორეს მხრივ თხპ-ს ძალიან დაბალი მნიშვნელობები გამოიწვევს იმას, რომ ნულის ზოგიერთი ჭეშმარიტი გადაკვეთები არ მოახდენენ ტრივერის ამჟავებას, რაც თავის მხრივ გამოიწვევს შეცდომებს. ამრიგად აუცილებელია თხპ-ს სიდიდის შერჩევისას დიდი სიფრთხილე.

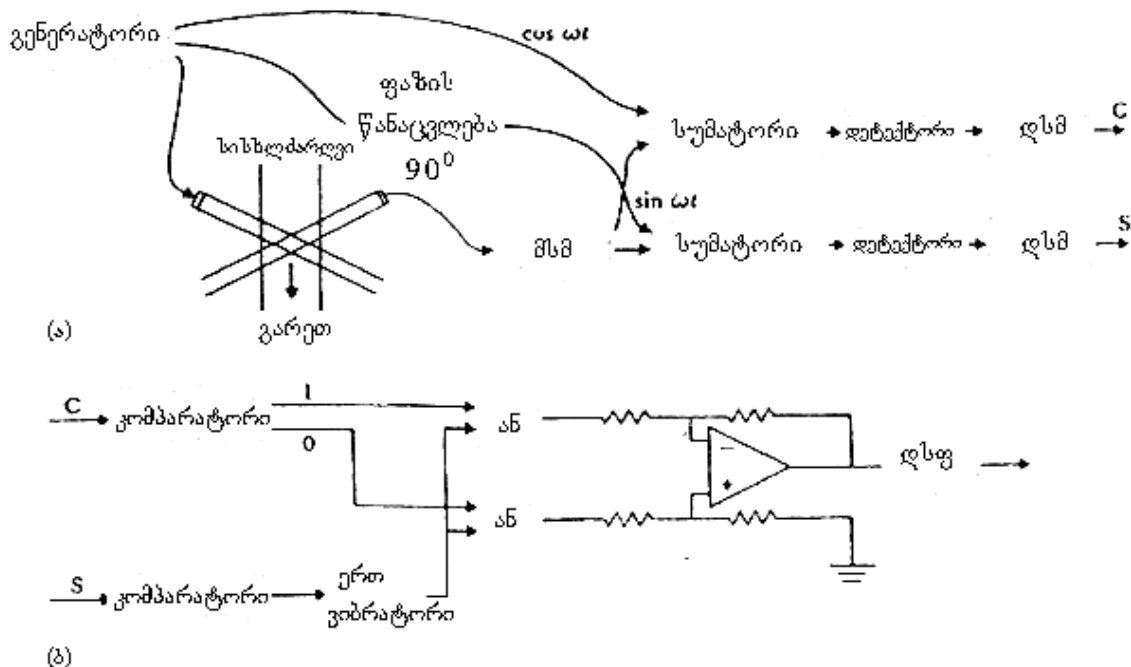
ნულის გადაკვეთის დეტექტორის გამომავალი სიგნალი წარმოადგენს იმპულსების თანმიმდევრობას. იმისათვის, რომ მოცილებულ იქნას ამ სიგნალის მაღალსისშირული შემადგენელი, მას ატარებენ დაბალსიშირულ ფილტრში. ასეთი ფილტრის გატარების ზოლი უნდა იყოს 0-დან 25ჰ-მდე, რომელიც ატარებს სისხლდენის პულსაციის რეკუნსრუქციისათვის მნიშვნელოვან ყველა სისშირეს. ამასთან გასათვალისწინებელია რომ სიგნალს აქვს შეზღუდული ზოლის მქონე ფლუქტუაციური ხმაურის სახე. ამის შედეგად, თუნდაც სისხლდენის მუდმივი სიჩქარისას, იმპულსები არ მოსდევენ ერთმანეთს ერთნაირი დროითი ინტერვალებით. მათი თანმიმდევრობა ყველაზე მეტად პგავს პუასონის პროცესს. ეს ნიშნავს იმას, რომ გამომავალ სიგნალში არის არასასურველი ხმაური. ამის გამო დაბალი სისშირეების გამომავალი ფილტრის მახასიათებლებს არჩევენ შემდეგი კომპრომისის საფუძველზე: ერთის მხრივ მას უნდა პქონდეს ტეხვის საკმაოდ დიდი სისშირე, რათა რეკონსტრუირებულ იქნას სისხლდენის სიჩქარისათვის ყველა მნიშვნელოვანი სისშირეები, მეორე მხრივ – ტეხვის სისშირე უნდა იყოს საკმარისად დაბალი, რათა მაქსიმალურად შეამციროს ხმაური.

ასეთ უმარტივეს ხარჯმზომებში გამოყენებული დეტექტორების უმთავრესი მდგომარეობს იმაში, რომ ისინი არ იძლევიან სისხლის დენის მიმართულების განსაზღვრის საშუალებას. გამომავალი სიგნალის ჩანაწერი გამოიყენება ისე, რომ თითქოს სისხლდენის გამომავალმა სიგნალმა განიცადა ორი ნახევარპერიოდიანი გამართვა. ეს არის მნიშვნელოვანი ნაკლი, მაგალითად ელექტრო მაგნიტურ ხარჯმზომთან შედარებით, რადგან მრავალ სისხლძარღვში ადგილი აქვს სისხლის უკუდენის ფაზებს. შეიძლება მოგვეჩენოს, რომ ამ წინააღმდეგობის დაძლევა შესაძლებელია, თუ სისშირეების დოპლერულ გადანაცვლებას განვიხილავთ არა ნულის მიმართ, არამედ 20ჰ-ც სისშირის მიმართ. მაშინ სისხლის დენა „წინ“ იქნებოდა მაგალითად 30 ჰ-ც სისშირის შესაბამისი, ხოლო დენა „უკან“ – 10 ჰ-ც-ის.

მაგრამ ასეთი მიღება დაკავშირებულია ძალიან სერიოზულ წინააღმდეგობის დაძლევასთან, რომელიც განპირობებულია 20ქვ-ის ტოლ მატარებელ სიხშირეზე მაღალამპიტუდურ სიგნალის არსებობასთან. დოპლერულ სიგნალის ამპლიტუდა ძალიან დაბალია, ამიტომ საჭირო გახდებოდა მნიშვნელოვანი ძალისხმევა სიხშირის ძაბვაში ისეთი გარდამქნელის შესაქმნელად, რომელიც დათრგუნავდა მაღალამლიტუდურ სიგნალს 20 ქვ სიხშირეზე და ამავე დროს არ შეეხებოდა დაბალამპლიტუდურ სიგნალებს ახლოსმყოფ სიხშირეებზე.

გაცილებით უფრო წარმატებული მიღება ნასესხები იქნა რადარული ტექნოლოგიების სფეროდან, რომელიც საშუალებას იძლევა განისაზღვროს არა მხოლოდ თვითმფრინავის სიჩქარე, არამედ მისი მიმართულებაც ეს მიღება მდგომარეობს კვადრატულ-ფაზური დეტექტორის გამოყენებაში.

კვადრატულ-ფაზური დეტექტორის ანალოგიური ნაწილი გამოსახულია სურ5.4.2.ა (mcleon 1967). ფაზის გადანაცვლების ჯაჭვი მატარებელ სიგნალს შლის ორ კომპონენტად, რომლებიც ფაზასთან მიმართებაში 90 გრადუსიან კუთხეს ქმნიან. სინუსის და კოსინუსის ეს რეფერენტული სიგნალები ამპლიტუდით რამოდენიმეჯერ უფრო დიდი უნდა იყოს, ვიდრე მსგ-დან გამომავალი (სურ5.4.3.ა). ისინი მსგ-დან გამომავალ სიგნალთან ხაზოვნად იკრიბებიან, რაც ქმნის რადიოსიგნალის რკალს, რომელიც ნაჩვენებია სურ5.4.3..ბ). დროებით ჩავთვალოთ, რომ მსგ-დან გამომავალი სიგნალი არ შეიცავს მატარებელ სიხშირეს.

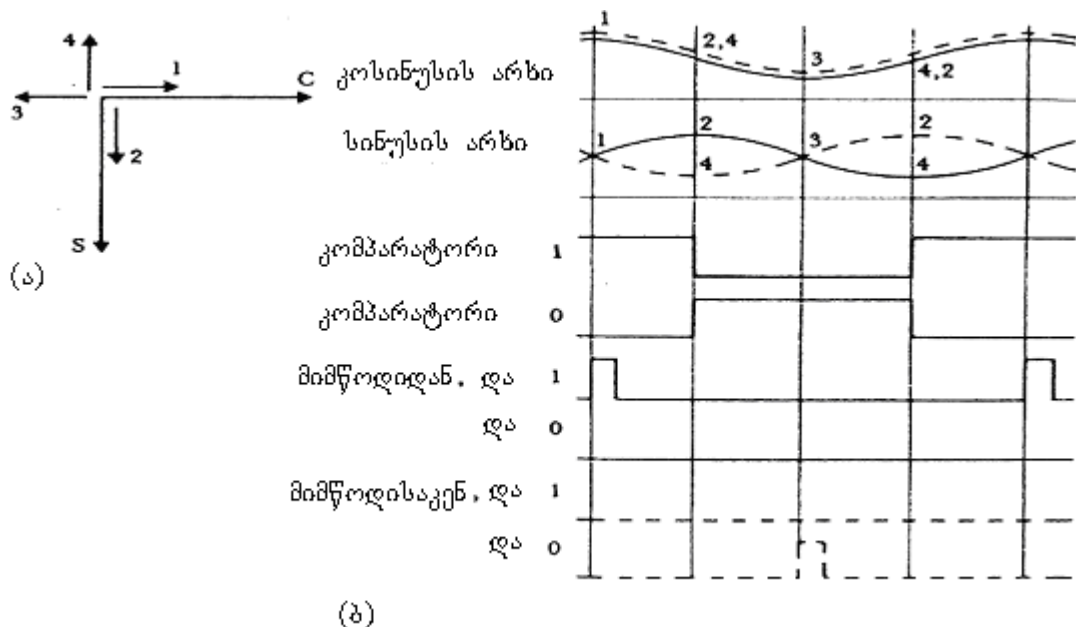


სურ.5.4.2.

დოპლერული ხარჯმზომის ბლოკ-სქემა, რომელიც საშუალებას იძლევა განისაზღოვოს დენის მიმართულება. ა) კვადრატული დეტექტორი. დეტექტორების წინ მატარებელი სისტორის სინუსისა და კოსინუსის სიგნალები სუმირდება სიგნალთან, რომელიც გამოდის მაღალი სისტორის გამაძლიერებლიდან (მსგ) C არხში (კოსინუსის არხი) გამომავალი სიგნალი ფაზის მიხედვით უსწრებს S არხიდან (სინუსის არხი) გამომავალ სიგნალს თუ სისხლი მოედინება მიმღებიდან და პირიქით, ჩამორჩება, თუ სისხლი მოედინება მიმღებისკენ. ბ) იმპულსის გასვლის ლოგიკური ჯაჭვი. ვიბრატორის იმპულსები გადიან ზედა U არხით, თუ სისხლი მოედინება მიმღებიდან, და ქვედა U არხიდან, სისხლი მიედინება მიმღებისკენ. დეფერენციალური გამაძლიერებელი იძლევა ორპოლარულ გამომავალ სიგნალს, რომელიც შემდგომ დაბალი სისტორების ფილტრით (დსფ) იფილტრება. დსგ – დაბალი სისტორების გამაძლიერებელი.

თუ სისხლი მიედინება იგივე მიმართულებით, რომელშიც ვრცელდება ულტრაბერითი სიგნალი, მაშინ უნდა ვისაუბროთ, რომ სისხლი მიედინება ხარჯმზომიდან, როგორც ამას ადგილი აქვს სურ.5.4.2. (ა). დენის ასეთი მიმართულებისათვის, დოპლერული გადანაცვლება ამცირებს არეკლილი სიგნალის სისტორებს (სისტორე მატარებელი ტალღის სისტორეზე დაბალი

ხდება). ამ დროს ფაზის მიხედვით დოპლერული სიგნალი ჩამორჩება რეფერენცულ მატარებელ ტალღას და დოპლერული ვექტორი ბრუნავს საათის ისრის მიმართულებით (სურ.5.4.3.ა.). განვიხილოთ სურ.5.4.3. (ბ). დროს მომენტში 1 მატარებელი და დოპლერული ტალღები იკრიბება, რაც ქმნის სუმარული სიგნალის დიდ მნიშვნელობას კოსინუსის არხზე; სინუსის არხი ამ დროს არ იცვლება. დროის მომენტში 2 (დოპლერული სიგნალის საათის ისრის იმართულებით 90 გრადუსით შემობრუნებისას) მატარებელი და დოპლერული ტალღები იკრიბება სინუსის არხზე, რაც ამ არხზე დიდი მნიშვნელობის სიგნალს ქმნის. ანალოგიურად შეიძლება განვიხილოთ ტალღების მოქმედება დროის მომენტ 3 და 4-ში. საყურადღებოა, რომ სონუსის არხი ამ დროს ჩამორჩება კოსინუსის არხს ფაზის მიხედვით.



სურ.5.4.3.

სურ.5.4.3. სიგნალების ფორმები დენის მიმართულებისადმი მგრძნობიარე დოპლერულ ხარჯმზომში. ა) ვექტორული დიაგრამა. მატარებელ სისმირეზე ფაზის მიხედვით სინუსის ტალღა 90 გრადუსისთ ჩამორჩება კოსინუსის ტალღას. თუ სისხლი მოედინება მიმღებიდან, დოპლერული სიგნალის სისმირე უფრო დაბალია მატარებელი ტალღის სისმირეზე. მოკლე ვექტორი გამოსახავს დოპლერულ სიგნალს. ესნ ვექტორი ბრუნავს საათის ისრის მიმართულებით და ორი ზედა ტალღა წარმოადგენს დოპლერულ ტალღასთან ერთად შემომვლელი მატარებელი ტალღის ერთ ფაზას ისე როგორც ისინი გამოიყურება დატექტორში შესვლამდე. კამპარტორების გამოსავლები პასუხს

აგებენ დეტექტორების შემდეგ კოსინუსის არხში წარმოქმნილ ბგეროვან სიგნალზე. ერთეულოვანი იმპულსი გენერირდება სინუსის არხში და გადის შესაბამის ლოგიკურ ელემენტ U-ში, რომელიც დგას კომპარტორების გამოსავალზე. პუნქტირით აღნიშნულია შემთხვევა, როდესაც სისხლი მიმღების მიმართულებით მოედინება.

თუ სისხლი მოედინება მიმღებისკენ, დოპლერული სიხშირე უფრო მაღალი აღმოჩნდება ვიდრე მატარებელი სიხშირე და დოპლერულ სიხშირის გექტორი ბრუნვას იწყებს საათის ისრის საწინააღმდეგოდ. ეს სიტუაცია გამოსახულია სურ.5.4.3.(ბ) პუნქტირით. ამ შემთხვევაში სინუსისა და კოსინუსის არხებიტ ფაზებს შორის თანაფარდობა იმის საწინააღმდეგო აღმოჩნდება, ვიდრე ის იყო როცა სისხლი მოედინებოდა მიმღებიდან. ამრიგად სისხლის დენის მიმართულების დადგენა შესაძლებელი ხდება ფაზური გადანაცვლების ნიშნის გარკვევით. დეტექტორები გამოყოფს ბგეროვანი სიხშირის სიგნალს, რომელსაც იგივე ფორმა აქვს, რაც სიგნალის შემომვლელ რადიოსიხშირებს. ლოგიკური სქემა, რომელიც ადგენს ფაზური გადანაცვლების ნიშანს, წარმოდგენილია სურ.5.4.2.(ბ). კოსინუსის არხის სიგნალი რთავს კომპარატორს, რომლის სურ.5.4.3.(ბ)-ზე ნაჩვენები გამოსავალი, არ იცვლება სისხლის დენის მიმართულების ცვლილებისას. სიგნალი რომელიც მოდის სინუსის არხიდან, რთავს მოკლე ერთეული იმპულსის მოწოდებას. სისხლის დენის მიმართულებიდან გამომდინარე, ეს იმპულსი მოწოდება პერიოდის ან დასაწყისში, ან შუაში როგორც ეს ნაჩვენებია სურ.5.4.3.(ბ). შემდგომ ლოგიკური ელემენტი U (ლოგიკური გამრავლების ელემენტი) აგზავნის სიგნალს დიფერენიალური გამაძლიერებლის ან ზედა, ან ქვედა შესასვლელზე, რაც განაპირობებს ისეთი გამომავალი სიგნალის წარმოქმნას, რომელიც ითვალისწინებს სისხლის დენის მიმართულებას.

ზემოთ აღნიშნული სამართლიანია იმ შემთხვევაში, თუ რადიოსიგნალი სინუსოდალური ბუნებისაა. თუმცა ცნობილია რომ ასეთ ხარმზომებში რადიოსიგნალი წარმოადგენს ფლექტუაციურ ხმაურს შეზღუდული ზოლით. ეს იწვევს სურ.5.4.3.(ბ)-ზე ნაჩვენებ თანაფარდობაში ზოგიერთი დროითი გადანაცვლებების წარმოქმნას. ამის გარდა არსებობს მატარებელი სიხშირის სიგნალის დიდი შემადგენელი, რომელიც იწვევს სურ.5.4.3.-ზე ნაჩვენები მდგომარეობიდან დოპლერული სიგნალის გადანაცვლებას. რამდენადაც სინუსისა და კოსინუსის რეფერენტული სიგნალები ამპლიტუდის მიხედვით

ორჯერ და უფრო მეთად აღემატება გამომავალ რადიოსიგნალს, წარმართველი იმპულსები დროითი გადანაცვლებები არ არის ძალიან დიდი და არ წარმოადგენს პრობლემას ხარჯმზომის პრაქტიკული გამოყენებისას.

გამომავალი იმპულსების მისაღებად, ნულის როგორც დადებითი, ისე უარყოფითი გადაკვეთებისას, სქემაში შესაძლებელია მოკლე იმპულსების კიდევ ერთ წყაროსა და რამოდენიმე ლოგიკური ბლოკის დამატება. ეს გამოიწვევს იმპულსების მიმდევრობის სიხშირის გაორმაგებას და გამომავალი სიგნალის ფლუქტუაციის შემცირებას 0.707-მდე, მათ საწყის მნიშვნელობასთან შედარებით.

5.5. იმაულსური დოკუმენტი ხარჯზომები

უწყვეტი დოკლერული ხარჯზომები პრაქტიკულად არანაირ ინფორმაციას არ იძლევიან დენის სიჩქარის პროფილზე. ამ ამოცანის გადასაწყვეტათ შექმნილი იქნა რამოდენიმე ხელსაწყო (Christensen 1988), რომლებიც იგივე პრინციპებს იყენებენ, რასაც რადარები. ამ ხელსაწყოებში გამოსხივების წყარო აგზავნის იმპულსების მოკლე წყებას. გამოსხივებული ტალღა ვრცელდება ერთიანი ტალღური პაკეტის სახით, ხოლო გამოსხივების წყაროს ერთდროულად შეუძლია არეკლილი სიგნალის მიღების როლიც შეასრულოს. ეს შესაძლებელია რადგან არეკლილი სიგნალი მიმღებზე მოდის დროში გადანაცვლებული უკვე მას შემდეგ, რაც უკვე დამთავრებულია ტალღური პაკეტის გამოსხივება. ე.ო. გამოსხივებასა და არეკლილი სიგნალის მიღებს შორის შეკავების დრო განისაზღვრება მანძილით დამასხივებელსა და ამრეკლ ობიექტს შორის. შესაბამისად არეკლილი სიგნალის სიხშირის დოკლერული გადანაცვლები დამოკიდებულებიდან მის მიმღებზე მოსვლის დროზე შესაძლებელია ზუსტი წარმოდგენის შექმნა სისხლძარღვში სიჩქარეების პროფილზე.

ამისათვის რომ მიღწეულ იქნას დაშორების მიხედვით ეფექტს, იდეალში გამოსხივებული სიგნალის პაკეტის ხანგრძლივობა უნდა იყოს ძალიან მიკლე. მეორეს მხრივ, იმისათვის რომ მივიღოთ სიგნალი/ხმაური თანაფარდობა (სხო) და სიჩქარის მიხედვით კარგი ეფექტი, ეს პაკეტი უნდა იყოს საკმაოდ გრძელი.. კომპრომისული სიდიდეების თვალსაზრისით ჩვეულებრივ არჩევენ სიგნალის სიხშირეს, რომელიც ტოლია 8მგჰ, ამასტან იმპულსების პაკეტის ხანგრძლივობა შეადგენს 10/წმ-ს ამრიგად იმპულსების გავრცელებადი პაკეტის სიგრძე დაახლოებით შეადგენს 1.5მმ-ს როგორც ეს ნაჩვენებია სურ.№8.9(გ). მიმღებზე მოსული სიგნალი წარმოადგენა ამ ტალღური პაკეტის ინტენსოვობებისა და სიჩქარეების ლოკალური პროფილის ერთობლიობას. ამისათვის, რომ მიღებულ იქნას სიჩქარის პროფილი, გამომავალ სიგნალს უქვემდებარებენ მათემათიკურ ოპერაციებს, რომელიც ამ ერთობლიობის უკუსიდიდეა გამომდინარე იქიდან, რომ ტალღური პაკეტი ეცემა გარკვეული კუთხით, სისხლძარღვის კედლის ადგილმდებარეობა ისაზღვრება არამკვეთრად.

სიხშირე, რომლითაც ერთმანეთს მოსდევენ ტალღური პაკეტები fr განისაზღვრება ორი შეზღუდვით: 1. იმისათვის, რომ თავიდან იქნეს

აცილებული სივრცული არაერთგვაროვნება, არეკლილი სიგნალი უნდა განალიზდეს მანამდე, სანამ გამოსხივებული იქნება მეორე პაკეტი აქედან გამომდინარეობს:

$$f_r < \frac{c}{2R_m} \quad (5.5.1.)$$

სადაც R_m არის გამოყენებული მაქსიმალური დაშორება (ანალიზისათვის გამოყენებული ყველაზე შორეული ამრეკლი ობიექტისა და გამოსხივების წყაროს შორის მანძილი) მეორეს მხრივ სიგნალების ურთიერთმიყოლების სიხშირე უნდა აკმაყოფილებდეს თეორემის დისკრეტული წარმოდგენის შესახებ (კოტელნიკოვის თეორემა), რომელიც მოითხოვს, რომ შესრულდეს შემდეგი პირობა

$$f_t > 2f_d \quad (5.5.2.)$$

თუ მოვახდენთ (8.17) და (8.18) ფორმულების კომბინირებას და გამოვიყენებთ (8.15) ფორმულას, მივიღებთ:

$$u_m(\cos \theta) R_{\max} < \frac{c^2}{8f_0} \quad (5.5.3.)$$

ეს თანაფარდობა გვიჩვენებს რომ მიმღების დერძის გასწვრივ მაქსიმალური სიჩქარისა და დაშორების წარმოებული შეზღუდულია. პრაქტიკაში, გაზომვების მოქმედების უფრო ძლიერი შეზღუდვებიც, ვიდრე ისინი, რომლებიც გამომდინარეობს (8.19)-დან. ეს დაკავშირებულია ჯერ ერთი, სპექტრის დაგასეოებასთან, რომლის შედეგად სიგნალში ჩნდება უფრო მაღალი სიხშირეები და მეორეს მხრივ მახასიათებლების არასრულყოფილებით, რომლებიც განაპირობებენ სექტორების ურთიერთდადების (სიგნალის დამუშავებისას ფიქტიური სიხშირეების გენერაცია) გამოსარიცხად გამოყენებული დაბალ სიხშირეების ფილტრის ჭრის სიხშირეს.

რადგანაც, არც ისე მარტივია ერთი მ/წმ-ის ხანგრძლივობის იმპულსების პაკეტის გამასხივებელი გენერატორის ჩართვა და გაჩერება, მისი პირველი კასკადი მუშაობს უწყვეტ რეჟიმში. გამიმდინარე იქიდან, რომ სიგნალის დამასხივებელიც და მიმღებიც იყენებენ საერთო პიეზოელექტრულ სენსორს, აუცილებელია ელექტრონული გასაღების გამოყენება, რომელიც

საშუალებას იძლევა გაითიშოს გენერატორის სიგნალი იმ მომენტში, როდესაც მიმდინარეობს არეკლილი სიგნალის მიღება. აღმოჩნდა, რომ ერთსაფეხურიანი გასაღების გამოყენება არასაკმარისია იმისათვის, რომ ერთმანეთისაგან გამოცალკევებულ იქნას გამოსხივებული გადაღ ამპლიტუდური სიგნალი და მიმღებამდე მოსული დაბალამპლიტუდური არეკლილი სიგნალი. ამიტომ, გამოსხივებული სიგნალის გამოსართვად იყენებენ ერთმანეთის მიმდევრობით განლაგებული ორი გასაღებს. იდეალურ შემთხვევაში გამოსხივებული სიგნალი უნდა წარმოადგენდეს იმპულსურად მოდელირებული სინუსოიდურ მატარებელ ტალღას. ასეთი სიგნალის ელექტრულად შექმნა როგორი არ არის, მაგრამ სირთულეები ჩნდება ამავე პაკეტური ელექტრონული სიგნალის ანალოგიური ბგერით სიგნალში ტრანსფორმაციისას. ეს განპირობებულია იმით, რომ სენსორის კრისტალს გააჩნია Q-ს (გატარების ვიწრო ზოლი) მაღალი მაჩვენებელი, რის გამოც ის აგრძელებს რეზონანსულ სიხშირეზე „რეკვას“ მასზე ელექტრული სიგნალის მოწოდების დამთავრების შემდეგაც. ამ მიზეზის გამო სენსორს სახეს უცვლიან ისე, რომ შეამცირონ მისი Q (გატარების ზოლს აკეტებენ უფრო ფართეს. ამ მიზნით მას უმატებენ უფრო ფართეს). ამ მიზნით მას უმატებენ რომელიმე მასას უკანა მხარეს (სურ.№8.9, გ) ან წინიდან (სურ. 8.9, დ). Q-ს არ ამცირებენ სასურველ დონემდე, რომელიც მდებარეობს დიაპაზონში 2-5, რადგანაც ეს გამოიწვევდა დამასხივებლის ეფექტურობასა და მიმღების მგრძნობელობის შემცირებას, ამიტომ Q-ს დობე იყენებენ დიაპაზინში 5-15, ამრიგად გარკვეული „რეკვა“ რეზონსულ სიხშირეზე მაინც ნარჩუნდება.

სინუსოიდური იმპულსების მოკლე პაკეტის გენერირებისას არ შეიძლება საუბარი იმაზე, რომ არსებობს რომელიც ერთადერთი სიხშირე უფრო უპრიანია საუბარი იმასთან დაკავშირებით, რომ განმეორებადი იმპულსების მიმდევრობა იწვევს გვერდითი ზოლების გაჩენას სიხშირეების შესაბამის უბანში. ეს სპეციური აღაგზებს სენსორს, ქმნის უფრო სრულ ველს იმასთან შედარებით, რომელიც წარმოიქმნება სენსორის უწყვეტი აღზნებისას. ასეთი სიტუაცია იწვევს სენსორის მიერ მიღებული სიგნალის სპეციურის გაფართოებას.

5.6. სისხლის ლაზერული დოკლერული ხარჯმზომი

სისხლის ლაზერულ დოპლერული ხარჯმზომში გამოიყენება პელიუმ-ნეონური ლაზერი, რომელიც მუშაობს 632,878 ტალღის სიგრძეზე და 5მგზ სიმძლავრეზე. ლაზერის სინათლე კანის ზედაპირამდე მიყავთ ოპტიკური ბოჭკოს საშუალებით (HOLLOWAY, 1988). კანის სისხლძარღვში მოძრავი ერითროციტები იწვევენ ლაზერული გამოსხივების სიხშირის გადანაცვლებას სიგნალის სპექტრის გაფართოებით. არეკლილი სინათლე ოპტიკური ბოჭკოს საშუალებით გადაეცემა დოტოდიოდს. სიგნალის დამუშავებისას ხორციელდება მისი ფილტრაცია, წონით კოეფიციენტზე გამრავლება, კვადრატში აყვანა და გაყოფა. ამ ხელსაწყოს საშუალებით ზომავენ კანისა და სხვა ორგანოების კაპელარულ სისხლდენას.

5.7. სიჩარის საზომი თერმოკონვექტული სენსორები

მუშაობის პრიცესი

თერმოდილუციის მეთოდი დამოკიდებულია სისხლის მთელ ნაკადში თერმული ნიშნის არეგაზე. მისგან განსხვავებით, სითბური სენსორების საშუალებით სიცქარის გაზომვის ქვემოთ განხილული მეთოდი დამოკიდებულია გახურებული სენსორის კონვექციულ გაცივებაზე და ამრიგად საშუალებას იძლევა გაზომოს სისხლდენის სიჩქარე ძალიან მცირე მოცულობაში სენსორის ახლოს.

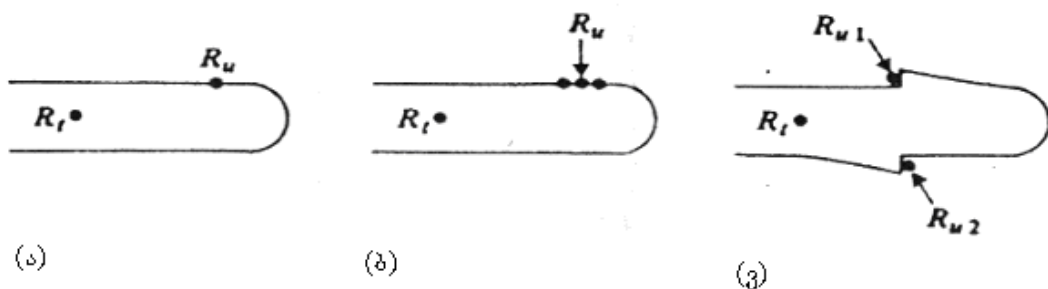
უმარტივესი სენსორი მოცემულია სურ. 5.7.1.-ზე Ru თერმოსტურს აცხელებენ ტემპერატურამდე, რომელიც ΔT -ით მეტია სისხლის ტემპერატურაზე. Ru წინაღობაში დენის გასვლისას განიბნევა W სიმძლავრე. როგორც მოწმობენ ექსპერიმენტული მონაცემები (Grahn et al, 1969), ეს სიდიდეები სისხლის დენის სიჩქარესთან დაკავშირებული არიან შემდეგი თანაფარდობით.

$$\frac{W}{\Delta T} = a + b \lg u \quad (5.7.1)$$

სადაც Q და b-კონტაქტებია. თანაფარდობა 5.7.1-დან ჩანს, რომ ეს მეთოდი არ არის წრფივი: მას ახასიათებს მაღალი მგრძნობელობა სისხლის დენის დაბალი სიჩქარეებისას და დაბალი მგრძნობელობა – მაღალი სიჩქარეებისას.

5.8. სენსორები

თერმოკონვექციულ გაზომვებისათვის კათეტერების ბოლოებზე ამაგრებენ ორი ტიპის სენსორებს (Cobbold, 1974). სურ. 5.8.1.-ზე ნაჩვენებ პირველი ტიპის სენსორებში იყენებენ თერმოსტორებს, რომელთაც ახასიათებთ წინაღობის შესაბამისი მაჩვენებლის მქონე მაღალი მგრძნობელობა. რადგანაც სურ. 5.8.1.(ა)-ს შესაბამისად განლაგებული თერმოსტორი ერთნაირად ცივდება სისხლის ორივე მიმართულებით დენისას, ამ ხელსაწყოს გამოსავალზე ჩნდება სისხლის დენის ლოკალური სიჩქარის ჭეშმარიტი მნიშვნელობის გამართული სიგნალი. იმისათვის რომ დაძლეული იქნას ეს წინააღმდეგობა, სურ. 5.8.1.(ბ)-ზე მოცემულ სენსორში გამოიყენება ორი დამატებითი თერმისტორი, რომლების თერმისტორი Ru-დან ზევით და ქვევით (სისხლის დენის მიხედვით) განლაგებულია მილიმეტრების მეათედში. სისხლის დენის მიმართულებიდან გამომდინარე, ამ ორი თერმოსტორიდან ერთერთი გაცხელდება იმ სითბოს ხარჯზე, რომელიც სისხლის ნაკადს მოაქვს თერმოსტორი Ru-დან ამ ორ დამატებით თერმოსტორს რთავენ ხიდუვან სქემაში და ამ ხიდს აბალანსებენ სისხლდენის ნულოვანი სიჩქარის პირობებში. შედარების ელემენტი განსაზღვრავს ხიდის განბალანსებას და ახდენს გამომავალი სიგნალის პოლარობის გადართვას. სურ. 5.8.1. (გ)-ზე მოცემულია სიჩქარის ორი სენსორი, რომლებიც იმდაგვარადაა განლაგებული რომ ერთი მათგანი იმყოფება უშუალოდ სისხლის ნაკადში, ხოლო მეორე დაცულია მომღების კონსტრუქციით სისხლთან კონტაქტისაგან.



სურ. 5.8.1.

სურ.5.8.1. სისხლის დინების სიჩქარის სითბური სენსორები. (ა) სიჩქარისადმი მგრძნობიარე თერმოსტორი Ru თავსდება სისხლის ნაკადში ტემპერატურის ცვლილებაზე კომპენსირებული თერმისტორი Rt, მოთავსებულია მიმღების შიგნით. თერმისტორი განლაგებულია Ru თერმისტორის ზევით და ქვევით, სისხლის დენის მიმართულების მიხედვით ერთერთი მათგანი ცხელდება იმ სითბოს ხარჯზე, რომელიც მოაქვს სისხლის ნაკადს თერმოსტორი Ru-დან, რაც საშუალებას იძლევა განისაზღვროს სისხლის დენის მიმართულება. (გ) თერმისტორები, რომელთაგან ერთი იმყოფება უშუალოდ სისხლის ნაკადში, ხოლო მეორე დაცულია (ასეთი მოწყობილობა საშუალებას იძლევა განისაზღვროს არა მხოლოდ სისხლდენის სიჩქარე, არამედ მიმართულებაც).

გე-2 ტიპის სენსორები (პლატინით დაფარული) წარმოადგენენ შუშის ბურთულებს. რომელთა ზედაპირზე თხელი ფენით დაფარულია პლატინა. თხევად მდგომარეობაში მყოფი პლატინა შეიძლება დატანილმ იქნას ბურთულების ზედაპირზე, რის შემდეგაც მათ გამოწვავენ ღუმელში, ბურთულების მეთალიზირება შეიძლება ვაკუუმში ელექტრული განმუხტების საშუალებით მათზე პლატინის დატანითაც. პლატინით დაფერილი სენსორების უარყოფითი მხარეა დაბალი წინაღობა (რამოდენიმე ორი) და დაბალი მგრძნობელობა.

ასეთი სენსორების გამოყენებისას ისმის ბუნებრივი კითხვა: უშუალოდ რას ზომავენ ისინი? სისხლძარღვის სანათურში კათეტერის შეყვანისას, მისი წვერი შეიძლება მოხვდეს როგორც სისხლძარღვის ღერძზე (მაშინ ის გაზომავს სისხლდენის მაქსიმალურ სიჩქარეს), ასევე სისხლძარღვის კედლის ახლოს (ამ შემთხვევაში ის გაზომავს კედლის მახლობელ სასაზღვრო დაბალ სიჩქარეს). ერთერთი მეთოდი იმაში დასარწმუნებლად, რომ კათეტერი არ მიებჯინა სისხლძარღვის კედელს, არის მისი მიბრუნებ მობრუნება ისეთი მდგომარეობის მოძებნის მიზნით, რომლის დროსაც გამომავალი სიგნალი იქნება მაქსიმალური. სენსორებს ასევე შეუძლიათ აღიქვან სისხლის რადიალური დენა, ისევე როგორც კათეტერის რადიალური რხევები. ამრიგად, სისხლის დენის სიჩქარის გაზომვისას დაშვებული შეცდომების პარალელურად, შეიძლება გაჩნდეს შეცდომები, რომლებიც დაკავშირებულია სისხლძარღვში კათეტერის მდებარეობის შესახებ ინფორმაციის სიმწირით. თუ სენსორების (მათი ტიპის მიუხედავად) ზომები საკმარისად მცირეა, მაშინ შესაძლებელია ის მოთავსდეს კანქვეში ინიციებისათვის შპრიცის ნემსის

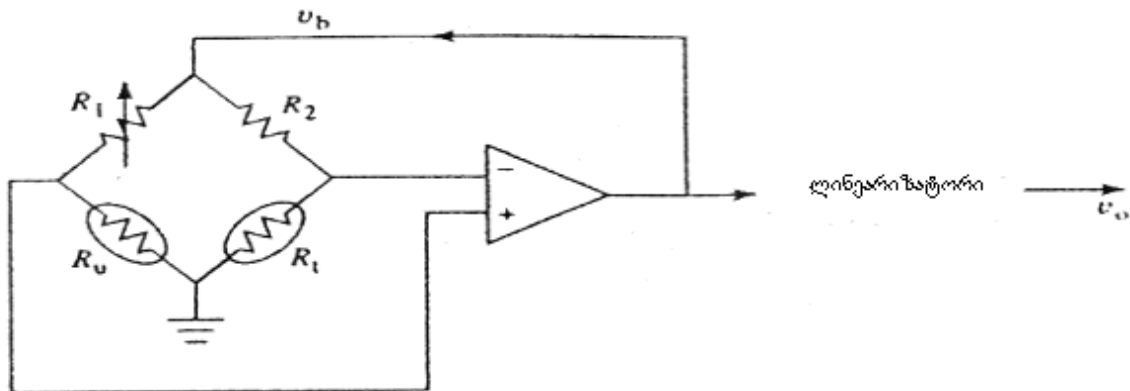
წვერზე და სისხლძარღვში შეყვანილ იქნას მისი დერძის პენაუნდიკულარულად, რაც საშუალებას იძლევა ნემსის გადაადგილების სისხლძარღვის განივი მიმართულების გაიზომოს სისხლდენის პროფილი.

ელექტრული სქემა

მუდმივი დენის წყარო გამოყენება სენსორების კვებისათვის არ არის შესაძლებელი შემდეგი მიზეზების გამო. პირველი, სენსორის დროითი მუდმივა შეადგენს წამის რამოდენიმე მეტედს, რაც ძალიან ბევრია იმისათვის, რომ მიღებულ იქნას პასუხის სასურველი სიხშირე, რომელიც უნდა იმყოფებოდეს დიაპაზონში 0-დან 25°C-მდე. მეორე, მაღალ სიჩქარისას სენსორის საკმარისი მგრძნობელობის მიღწევის მიზნით, მისი კვების დენი ისეთი მაღალი უნდა იყოს, რომ სისხლდენის განხერებისას, სენსორის კონვექტური გაცივების არსებობის პერიოდში, მისი ტემპერატურა სისხლის ტემპერატურას გაზრდის 50 გრადუს ცელსიუსამდე მეტად, რაც გამოიწვევს ფიბრონის დალექვას სენსორის ზედაპირზე.

ორიგი ეს ნაკლი აღმოიფხვრება სურ.5.8.2.-ზე გამოსახული ჯაჭვის გამოყენებით, რომელიც განაპირობებს სენსორის მუდმივ ტემპერატურას. ამ ჯაჭვს თავიდან განაბალანსებენ R1 სიდიდის შესაბამისი შერჩევის გზით. განბალანსების სიგნალი ძლიერდება ოპერატიული გამაძლიერებლით, რომელსაც გაძლიერების დიდი კოეფიციენტი გააჩნია, და გამაძლიერებლის გამოსვლიდან სიგნალი გადაეცემა წინადობების ხიდზე. გავერკვეთ, როგორ მუშაობს მოცემული სქემა. ვივარაუდოთ, რომ თვითგაცხელების შედეგად Ru თერმისტორის ტემპერატურა სისხლის ტემპერატურას აღემატება 50 გრადუსი ცელსიუსით. სისხლდენის სიჩქარის გაძლიერებასთან ერთად თერმისტორი Ru დაიწყებს გაცივებასსითბოს კონფექციური გაცემის ხარჯზე, ხოლო მისი წინადობა, შესაბამისად გაიზრდება. ამ დროს გამაძლიერებლის არამაინვენტირებელ შესავალზე მიწოდებას დაიწყება დიდი დადებითი მუხტი, რაც გამოიწვევს vB სიგნალის გაძლიერებას. ეს თავის მხრივ გამოიწვევს იმ სიმძლავრის გაზრდას, რომელიც განიბნევა ხიდოვან სქემაში და შესაბამისად თერმისტორი Ru-ს ტემპერატურა გაიზრდება. ამრიგად თერმისტორის გაცივება უკუკავშირის მარყუების წყალობით, გამოიწვევს ამ თერმისტორის გაცხელებას, რაც საშუალებას იძლევა მისი ტემპერატურა შენარჩუნდეს პრაქტიკულად ერთიდაიგივე დონეზე. ცხადია რომ ასეთი სისტემა რომელიც იყენებს მაღალი კოეფიციენტის მქონე მარყუებანი გაძიერებას ანუ კავშირს, მუდმივად

ინარჩუნებს ხიდის ბალანს და უზრუნველყოფს თერმისტორი Ru-ს ტემპერატურის მუდმივობას.



სურ.5.8.2.

სიჩქარის სითბური სენსორის ჩართვის ელექტრული სქემა.

სისხლდენის სიჩქარის გაზრდა აცივებს სიჩქარის მზომ თერმისტორ Ru-ს ოპერატიული გამაძლიერებლის არამაინვენტირებელ შესავალზე ძაბვის გაზრდა იწვევს Vp ხიდის დიაგონალში ძაბვის ზრდას, რაც განაპირობებს Ru თერმისტორის გაცხელებას. წინადობა Rt უზრუნველყოფს ტემპერატურულ კომპესანციას.

უკუკავშირის ასეთი ჯაჭვის გამოყენება მნიშვნელოვნად აუმჯობესებს სენსორის მიზნულ მახასიათებლებს, რადგანაც ასეთ სქემაში სენსორის დროითი მუდმივა იმდენჯერ კლებულობს, რაც ტოლია მარყუჟოვანი გაძლიერებლის კოეფიციენტის. თუ სენსორის ტემპერატურა რამდენადმე კლებულობს, მაშინ ოპერატიული გამაძლიერებელი უზრუნველყოფს სქემაში დიდი სიმძლავრის გაბნევას, რაც განაპირობებს სენსორის სწრაფ გაცხელებას. აბრუნებს რა მის ტემპერატურას სასურველ დონემდე.

ასეთი სქემა დამაკმაყოფილებლად მუშაობს ერთი Ru სენსორით, თუ სისხლის ტემპერატურა უცვლელია. იმ პირობებისათვის როდესაც ტემპერატურა სისხლისა შეიძლება შეიცვალოს, სქემაში დამატებულია კომპენსაციური Rt თერმისტორი, რომელიც უზრუნველყოფს ხიდის ბალანსის შენარჩუნებას. სადაც Rt თერმისტორის ტემპერატურული ცვლილებები ძალიან მცირეა, მას უნდა ჰქონდეს Ru თერმისტორზე მნიშვნელოვნად უფრო დაბალი წინადობის ტემპერატურული კოეფიციენტი (წმ). ეს პირობები აუცილებლად

უნდა შესრულდეს იმისათვის, რომ თერმისტორი Rt იყოს ტემპერატურის სენსორი და არა სიჩქარის. Rt წინაღობის წერტილში შეიძლება შემცირდეს ან მისი ზიმების გაზრდის ხარჯზე, ან მისი მოთავსების სენსორულ მოწყობილობაში ისე, რომ უზრუნველყოფილი იქნას დიდი გამაცივებელი ზედაპირი. ამ პრობლემის გადაწყვეტის მეორე გზა მდგომარეობს R2 და Rt წინაღობების გაზრდაში, რაც უზრუნველყოფს მათზე გაბნეული სიმძლავრის შემცირებას.

სქემაში ჩართული ლინეარიზატორი საჭიროა (8.20) ტოლობის „ამოხსნისათვის“. სიმძლავრე W-ს სიდიდის მისაღებად შესაძლებელი ძაბვა Vp-ს კვადრატული აყვანა. სიდიდე Vo-ს მისაღებად გამოიყენება ანტილოგარითმული გარდამქმნელი. სურ.№8.17(ბ)-ზე გამოსახული სენსორით მუშაობისას, რომელიც იძლევა საშუალებას განისაზღვროს სისხლდენის მიმართულება, აუცილებელია გაძლიერების ერთეულოვანი კოეფიციენტის მქონე გამაძლიერებლისა და გასარების გამოყენება. ასეთი სენსორების დაკალიბრება შესაძლებელია სინუსოდალური ნაკადის ნურმომქმნელი ტუმბოს გამოყენებით, რომელიც ბრუნავს საბრუნებელ მაგიდაზე.

სითბური სენსორების გამოყენების ძირითადი სფეროა ცხოველების მსხვილ სისხლძარღვებში სისხლდენის სიჩქარის განსაზღვრა და სიჩქარეების პროფილზე მონაცემების მიღება. თუმცა ამ სენსორებს ასევე რეგულარულად იყენებენ დიაგნოსტიკური კათეტერიზაციისას პაციენტების აორტის რკალში სისხლის სიჩქარისა და აჩქარების განსასაზღვრავად (Roberts, 1972). ამავე პრინციპს იყენებენ ფილტვებში ჰაერის სიჩქარის გასაზომად, რისთვისაც სასუნთქ მიღები შევავთ გაცხელებული პლატინის მავთული.

თავი 6

პლეტიზმოგრაფია

6.1.შესავალი

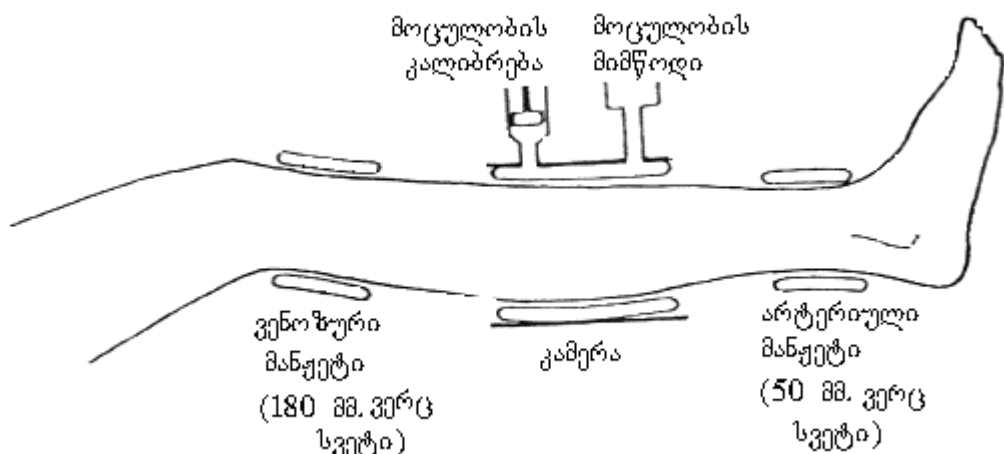
პლეტიზმოგრაფი წარმოადგენს მოწყობილობას, რომელიც გამოიყენება მოცულობების ცვლილებების რეგისტრაციისათვის. დღესდღეობით პლეტიზმოგრაფია არის კიდურებში სისხლის მოცულობების ცვლილებების გაზომვის ერთადერთი არაინვაზიური და ზუსტი მეთოდი. V მოცულობის დროზე დამოკიდებულების რეგისტრირებით და ფორმულის $F=dV/dt$ გამოყენებით შესაძლებელია კიდურებში სისხლდენა F-ის განსაზღვრა. ასეთი გაზომვისას უნდა გამოირიცხოს სისხლის ვენოზური უპედენა, რაც მიიღწევა ოკლუზიური (გადამჭერი) მანქების დადებით. ამ მეთოდს უწოდეს ვენოზური ოკლუზიური პლეტიზმოგრაფია (Seagar et al, 1984).

მოწყობილობა

მოწყობილობა, რომელიც გამოიყენება გენოზური ოკლუზიური პლეტიზმოგრაფიისათვის ნაჩვენებია სურ. 8.15 პლეტიზმოგრაფიის კამერა წარმოადგენს ხისტ ცილინდრულკონტინერს, რომელიც ჩამოეცმევა წვივზე. წვივის მოცულობის გაზრდისას ის კუმშავს კამერაში მოთავსებულ ელასტიურ ბალობს (ბუშტს) რაც იწვევს მისი მოცულობის შემცირებას. თუ ეს ბალონი გავსებულია წყლით, მაშინ მას უერთებენ დაკალიბრებულ კერტიკალურ მილს და მასში წყლის დონის აწევით საზღვრავენ მოცულობის ცვლილებას. რეგისტრაციის გასაადვილებლად ამ ბალონში შეეავთ ჰაერის გარკვეული რაოდენობა და საზღვრავენ ჰაერის წნევის ცვლილებას. ტემპერატურული დრეიფის გამოსარიცხად წყლის პლეტიზმოგრაფში უზრუნველყოფენ ტემპერატურის მუდმივობას. ჰიდროსტატიკურმა წნევამ შეიძლება გამოიწვიოს სისხლძარღვების შევიწროება და ამით მოახდინოს არასასურველი ფიზიოლოგიური ცვლილებები.

ბალონის გასავსებად ნულის ნაცვლად შეიძლება ჰაერის გამოყენებაც, რომლის კედურის მოცულობის ცვლილებით გამოწვეული მოცულობის ცვლილება, რეგისტრირდება უშუალოდ. ზოგიერთ პლეტიზმოგრაფში ბალონებს არ იყენებენ და ცდილობენ ჰერმეტულად დახურონ პლეტიზმოგრაფიული კამერის ის ადგილები, რომლებიდანაც მასში შედის ფეხი. ასეთ სისტემაში ნულის ან ჰაერის დანაკარგი, რომელიც

განპირობებულია კამერის განკერმეტიზაციით, ქმნის სერიოზულ პრობლემას. ზოგირთ ხელსაწყოში პნევმოტაქომეტრის საშუალებით ზომავენ ჰაერის ნაკადს კამერიდან და კამერაში. ამ ნაკადების ინტეგრირებით შესაძლებელია მოცულობის ცვლილების სიდიდის გაზომვა. პლეტიზმოგრაფიული კამერა ზომებით უნდა შეესაბამებოდეს საკვლევი კიდურის ზომებს. შესაძლებელია ასევე ერთი კამერის გამოყენება კიდურებისათვისაც. ასეთი კამერები აღჭურვილია ირისის დიაფრაგმებით, რომელთა დახურვით უზრუნველყოფენ კამერის დიაფრაგმების კიდურებთან მჭიდრო კონტაქტს.



სურ.6.1.1.

სურ.6.1.1-ზე წვივი მოთავსებულია პლეტიზმოგრაფიულ კამერაში. ვეზოზურ ოკლუზიურ მანქეტს ბერავენ ვერცხლის წყლის სვეტის 50მმ (6,7კპა) წნევამდე, რაც გამორიცხავს სისხლის უკუსვლას ვენებით. სისხლის არტერიული ნაკადი იწვევს კამერაში მოთავსებული კიდურის მოცულობის გაზრდას, რომელიც იზომება სენსორით. არტერიული ოკლუზიური მანქეტის ფუნქცია ახსნილია ტექსტში.

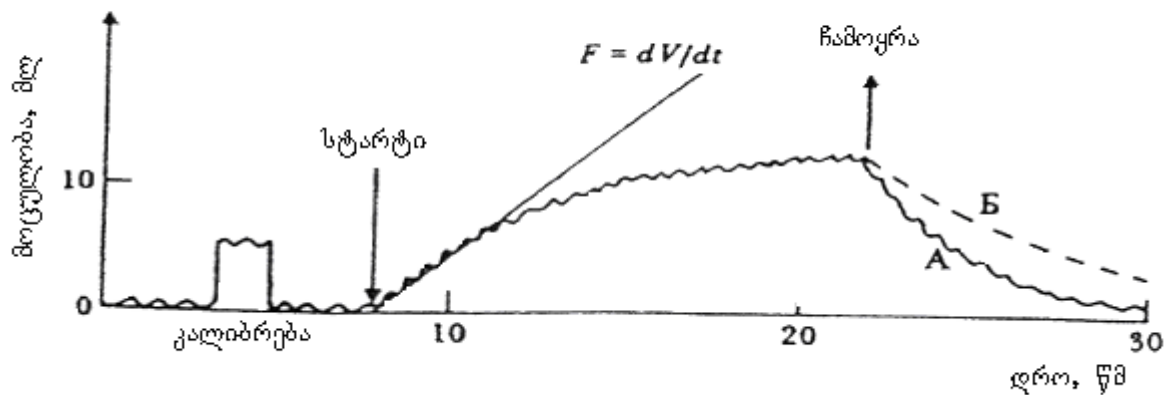
მათოდი

სურ. 6.1.1-ზე ნაჩვენებია მოვლენების თანმიმდევრობა, რომელიც საშუალებას იძლევა გაიზომოს სისხლდენის მოცულობა. (Raines, Darling, 1976). ჩანაწერზე აღნიშნული დაკალიბრება შეიძლება განხორციელდეს კამერაში, მაგალითად დაკალიბრებული შპრიცით სითხის ცნობილი მოცულობის შეუვანით. შემდგომ კიდურას ადებენ ვეზოზურ ოკლუზიურ მანქეტს და ბერავენ მას 6,7კპა წნევამდე. ეს წნევა გამორიცხავს სისხლის ვეზოზურ უკუდენას. რადგანაც ასეთი წნევა მანქეტში ვერ ზღუდავს არტერიულ

სისხლდენას, კიდურის მოცულობის ცვლილება დროის ერთეულში სისხლის არტერიული დენის ტოლია. თუ კამერაში მოთავსებულია მთელი კიდური, მაშინ იზომება მთელ კიდურში არტერიული სისხლდენა. ხოლო თუ კამერაში მოთავსებულია კიდურის მხოლოდ სიგმენტი, როგორც ეს ნაჩვენებია სურ. №8.15-ზე, მაშინ კამერის დისტალურ მხარეზე უნდა დაიდოს არტერიული მანქეტი, რომელშიც ქმნიან 24კპა წნევას. ეს მანქეტი გამორიცხავს არტერიული სისხლის დენას კიდურის იმ სეგმენტში, რომელიც არ არის ჩართული კამერაში და საშუალებას იძლევა გაიზომოს სისხლდენის მოცულობა კიდურის მხოლოდ იმსეგმენტში, რომელიც მოთავსებულია კამერაში.

ვენოზური ოკლუზიური მანქეტის დაშვებიდან რამოდენიმე წამში ვენებში წნევა იწევს 6,7კპა-ს. ამ დროს აღდგება სისხლის ვენოზური უკუ დენა, რასაც თან სდევს მოცულობის დროზე დამოკიდებულების მრუდის პლატოზე გასვლა. როდესაც ექსპერიმენტორი დააგდებს წნევას ვენოზური ოკლუზიური მანქეტში, კიდურის შესასწავლ მანქეტში სისხლის მოცულობა სწრაფად უბრუნდება საწყის დონეს (A მრუდი სურ.6.12.-ზე). თუ ადგილი აქვს ვენოზურ თრომბს, რომელიც ხელს უშლის სისხლის ვენოზურ უკუდენას, მაშინ სისხლის მოცულობა კიდურის სიგმენტში ნორმას უბრუნდება გაცილებიტ ნელა (მრუდი B სურ. 6.12.-ზე) ამრიგად, ეს მეოთოდი სასარგებლოა არა ინგაზური ტესტის სახით თრომბოზების გამოსავლენად.

Semmlow(1988) აღნიშნა, რომ ერექცია (სასქესო ასოს გადიდება) არის ერთადერთი ფიზიოლოგიური რეაქცია რომელიც საშუალებას იძლევა მამაკაცის სქესობრივი აღზნება საიმედოდ დიფერენცირების სხვა ემოციური მდგომარეობებისაგან. ადრე, ერექციის დონის განსაზღვრისათვის იყენებდნენ წყლით ან ჰაერით გავსებულ პლეტიზმოგრაფიულ კამერებს. ეხლა ამ მიზნით იყენებენ უფრო მცირე ზომის მრგვალ მეტალის ლენტებს ან დეფორმაციის ჭიმვად სენსორებს.



სურ.6.12.

მოცულობის დროზე დამოკიდებულების მრუდის დახრა, რომელიც იზომება გენოზური თკლუზიური მანქეტის გაბერვისთანავე (სტარტი), არტერიული სისხლდენის გაზომვის საშუალებას იძლევა. კიდურის კამერაში მოთავსებული სიგმენტის მოცულობა სწრაფად უბრუნდება საწყის დონეს მანქეტში წნევის დაგდებისთანავე (A). ვენოზური სისხლძარღვების თრომბოზის დროს, რომელიც ხელს უშლის სისხლის უკუდენას, მოცულობის ნორმალური მნიშვნელობის აღდგენა ნელა ხდება (B).

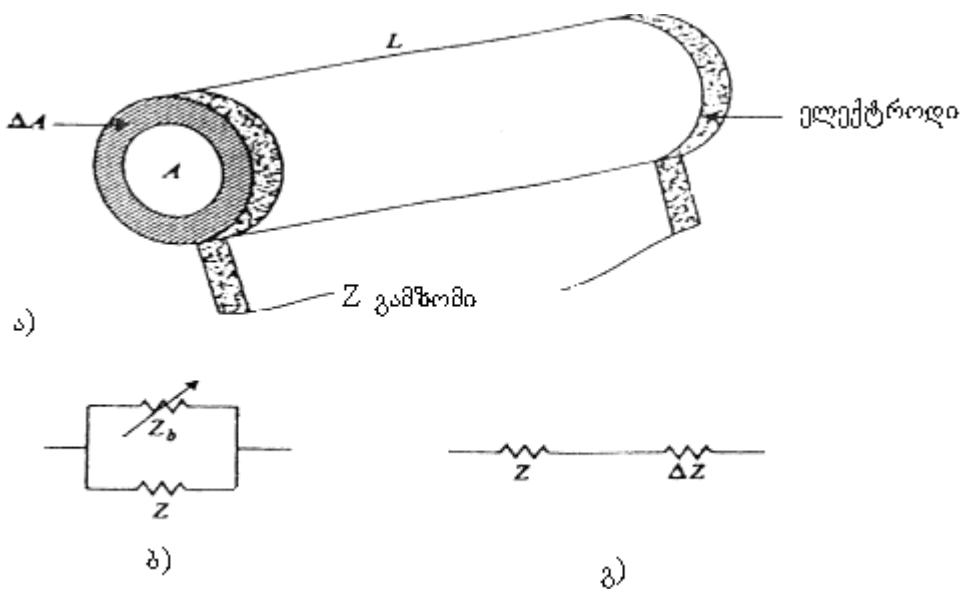
6.2. იმპენდაციის პლატიზმოგრაფია

დიდ პრობლემას არ წარმოადგენს ქსოვილის სეგმენტისათვის ელექტროდების მიერთება და მისი იმპენდანსის გაზომვა. რადგანაც ქსოვილის მოცულობა იცვლება მასში სისხლდინების საპულსო ტალღის გავლისას (რასაც ადგილი აქვს კიდურებში), ხოლო ქსოვილის ხვედრითი წინაღობა იცვლება მასში არსებული ჰარის შემცველობის ცვლისას (რასაც ადგილი აქვს ფილტვებში), ამიტომ ამ პროცესებისას ქსოვილის იმპენდასიც უნდა იცვლებოდეს (Anderson,1988).

იმპენდასურ პლეტიზმოგრაფიას იყენებენ მრავალ სხვადასხვა სიდიდის გასაზომად, უმრავლეს შემთხვევაში ამ მეთოდის სიზუსტე ძალიან მაღალია, ან საერთოდ არ არის ცნობილი.

გუშაობის პრინციპი

1950 წლების დასაწყისში Nyboer (1970) შეადგინა განტოლება, რომელიც გამოიყენება იმპენდასურ პლეტიზმოგრაფიაში. თუმცა ჩვენ ამ ფორმულას გამოვიყვანთ Swanson (1976) მიხედვით, რაც უფო მარტივია როგორც კონცეპტუალურად, ისე მათემათიკურადაც. სურ.№8.17 გამოსახულია Swanson-ის მიერ შემოთავაზებული კიდურის ცილინდრული მოდელი. იმისათვის რომ გამოყვანილ იქნას ამ მოდელის აღმწერი ფორმულა, აუცილებელია 3 დაშვების გაკეთება. (1) არტერიის გაფართოება ერთგვაროვნად უნდა ჩაითვალოს (მთელ სიგრძეზე ერთნაირი). შესაძლოა ის დაშვება სამართლიანი იყოს ნორმალური სისხლძარღვებისათვის, მაგრამ ის აშკარად არასამართლიანია პათოლოგიური ცვლილებების მქონე სისხლძარღვებისათვის. (2) სისხლის ხვედრითი წინაღობა Pb უნდა ჩაითვალოს მუდმივ სიდიდედ. საერთოდ სისხლის ხვედრითი წინაღობა მცირდება სისხლდენის შემცირებისას იმის გამო, რომ დაბალი სისხლდენის დროს ერთორციტები გადანაცვლდებიან სისხლძარღვის ღებისაკენ და ლაგდებიან დენის ხაზის გასწვრივ. ამის გარდა მაღალ სიხშირეზე Pb-ს აქვს არა მხოლოდ აქტიური (ნამდვილი) არამედ პასიური შემადგენელიც. (3) უნდა ჩაითვალოს, რომ ელექტრული დენი მოედინება არტერიების პარალელურად, ეს დაშვება როგორც ჩანს სამართლიანია კიდურების სეგმენტების უმრავლესობისათვის, მაგრამ მუხლისათვის ასეთი დაშვების გაკეთება შეცდომაა.



სურ. 6.2.1.

იმპენდასური პლეტიზმოგრაფია. (ა) მონაცემების მაინტეპრეტირებელი მოდელი. ცილინდრულ კიდურს აქვს L სიგრძე და განივავეთის A ფართობი. წნევის ყოველი პულსაციისას A იზრდება ΔA სიდიდით (დაშტრიხულია). (ბ) იმისათვის რომ გათვალისწინებულ იქნას სისხლის ეს დამატებითი მოცულობა. აუცილებელია ცვლადი Z_p იმპენდასის Z იმპენდასისათვის პარალელური მიერთება. (გ) ჩვეულებრივ Z_b იმპენდასის გაზომვის ნაცვლად ზომავენ იმპენდანსის ცვლილებას ΔZ -ს.

შუნტირებელი Z_b იმპენდანსი თავისი წარმოშობით დაკავშირებულია სისხლის დამატებით ΔV მოცულობასთან, რომელიც შეესაბამება განივავეთის ფართობის გაზრდას ΔA სიდიდით:

$$Z_b = \frac{\rho_b L}{\Delta A} \quad (6.2.1)$$

და

$$\Delta V = L \Delta A = \frac{\rho_b L^2}{Z_b} \quad (6.2.2)$$

თუმცა საჭიროა სურ.6.2.1(ბ)-ზე გამოსახული Z_b იმპენდანსის შეცვლა $\Delta Z = [(Z_b/Z) - 1]$ იმპენდასით, რომელიც იზომება ჩვეულებრივ და მოცემულია სურ.6.2.1.(გ)-ზე.

ამრიგად,

$$\Delta Z = \frac{Z Z_b}{Z + Z_b} - Z = \frac{-Z^2}{Z + Z_b} \quad (6.2.3)$$

იმის გათვალისწინების, რომ $Z \ll Z_b$ მივიღებთ:

$$\frac{1}{Z_b} \equiv \frac{-\Delta Z}{Z^2} \quad (6.2.4)$$

თუ (8.24) ჩავსვამთ (8.22)-ში მივიღებთ

$$\Delta V = \frac{-\rho_b L^2 \Delta Z}{Z^2} \quad (6.2.5.)$$

თუ გაკეთებული დაშვებები სამართლიანია, მაშინ ფორმულა (6.2.5) საშუალებას გვაძლევს გამოვითვალოთ სიდიდე ΔV .

მიუხედავად იმისა რომ თანაფარდობა (8.25) სამართლიანია ნებისმიერ სიხშირეზე, არსებობს რამდენიმე მოსაზრება, რის გამოც გაზომვები ხდება 100პუ სიხშირეზე.

სასურველია, რომ გასაზომი დენი 1მა-ზე მეტი იყოს, რომელიც საშუალებას იძლევა მიღწეულ იქნას სიგნალი/ხმაური თანაფარდობის (სხო) კარგი მნიშვნელობა. დაბალ სიხშირეებზე ასეთი ძალის დენი იწვევს ელექტრული დარტყმის არასასიამოვნო შეგრძნებას. თუმცა არასასიამოვნო შეგრძნებები, რომლებიც დაკავშირებულია ელექტრული დენის გავლენასთან, დენის სიხშირის მატებასთან ერთად კლებულობს. ამრიგად, არასასიამოვნო შეგრძნებების თავიდან ასაცილებლად სიხშირე უნდა იყოს 20პუ-ზე მეტი.

სიხშირეების დაბალი მნიშვნელობიდან 100პუ-მდე გაზრდისას, იმპენდანსი საზღვარზე კანი-ელექტროდი იკლებს დაახლოებით 100 ჯერ. ამიტომ აზრი აქვს საკმაოდ მაღალი სიხშირის სიგნალის გამოყენებას იმისათვის, რომ პირველი შემცირდეს იმპენდანსი საზღვარზე კანი-ელექტროდი, და მეორე, შემცირდეს ამ იმპენდანსის არასასურველი ცვლილებები, რომელიც თან სდევს პაციენტების მოძრაობას.

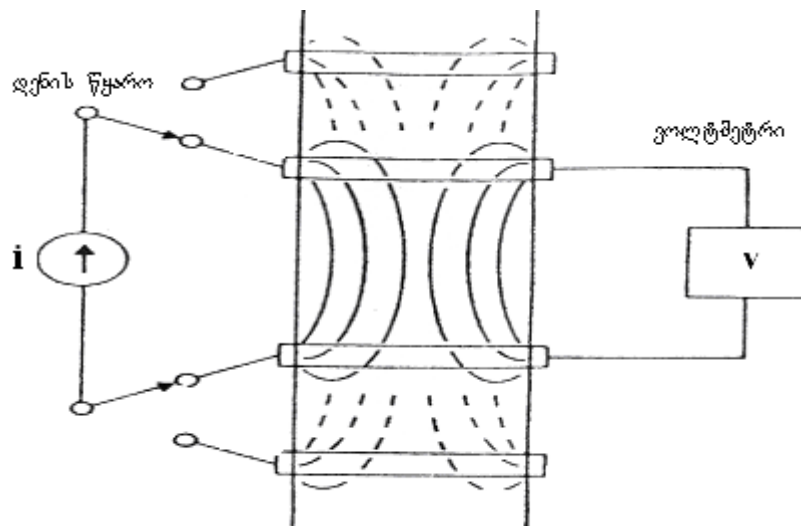
თუ გამოყენებულ იქნება ისეთი სიხშირეები, რომლებიც მნიშვნელოვნად აღემატება 100პუ-ს, მაშინ პარაზიტულო მოცულობების დაბალი იმპენდანსი ძლიერ გაართულებს მოწყობილობის კონსტრუირებას.

6.3. გიაოლარული და ტეტრაკოლარული კლეტიზმობრავია

ზოგიერთ იმპენდანსურ პლეტიზმოგრაფიაში ეკონომიურობისა და გამოყენების სიმარტივის მოსაზრებიდან გამომდინარე, იყენებენ მხოლოდ 2 ელექტროდს, როგორც ეს ნაჩვენებია სურ.6.3.1.-ზე. იმპენდანსურ პლეტიზმოგრაფიის ასეთი რეალიზაციისას (რომელსაც ბიპოლარულს უწოდებენ), დენი i მიეწოდება იმავე ელექტროდებით, რომლებიც გამოიყენება V ძაბვის საზომად. ასეთი მოწყობილობის გამოყენება დაკავშირებულია რამდენიმე პრობლემასთან: დენის სიმკვრივე ელექტროდებთან ახლოს უფრო

მაღალია, ვიდრე ქსოვილის სხვა უბნებში. აქედან გამომდინარე, გაზომილი იმპენდანსი $Z=V/I$ მეტწილად განპირობებულია ქსოვილების თავისებურებებით, რომლებიც განლაგებულია უშუალოდ ელექტროდების სიახლოვეს, ვიდრე დაშორებული ქსოვილების უბნებით. ქსოვილში სისხლის მოცულობის პულსაცია, ჩვენთვის საინტერესო ქსოვილის იმპენდანსის ცვლილების გარდა, იწვევს ასევე იმპენდანსის ცვლილებას საზღვარზე კანი-ელექტროდი. ამ ორი იმპენდანსის გაყოფა შეუძლებელია და შედეგად შეუძლებელია ქსოვილის იმპენდანსის ცვლილების ჭეშმარიტი მაჩვენებლის განსაზღვრა. რამდენადაც ჩვენთვის საინტერესო უბანში დენის სიმკვრივე არაერთგვაროვანია, შეუძლებელია (6.2.5) თანაფარდობის გამოყენება.

ამ პრობლემების დაძლევის მიზნით, ექიმები იყენებენ ტეტრაპოლარულ (ოთხელექტროდიან) პლეტიზმოგრაფიას, რომლის სქემა მოცემულია სურ.6.3.1-ზე. ხოლო ძაბვის აღქმა ხდება ორი შიდა ელექტროდის საშუალებით. ასეთი სქემის დროს, დენის სიმკვრივე ორ შიდა ელექტროდს შორის ბევრად უფრო ერთგვაროვანია, ხოლო იმპენდანსის ცვლილება საზღვარზე კანი-ელექტროდი იწვევს მხოლოდ მე-2 რიგის სიმცირის შეცდომებს.



სურ 6.3.1.

მოყვანილ სქემაზე გადამრთველები იმყოფებიან ისეთ ადგილებში, რაც შეესაბამება ბიპოლარულ პლეტიზმოგრაფიას. პლეტიზმოგრაფიის ასეთი ვარიანტი იწვევს ძაბვის გამზომი ელექტროდების ახლოს დენის უფრო მეტ სიმკვრივეს (უწყვეტი ზოლები). თუ გადამრთველებს გადავანაცვლებო ტეტრაპოლარული იმპენდანსური პლატიზმოგრაფის შესაბამის ადგილებში,

მაშინ გამზომ ელექტროდებს შორის დენის სიმკვრივე (უწყვეტი ხაზები) გახდება უფრო ერთგვაროვანი.

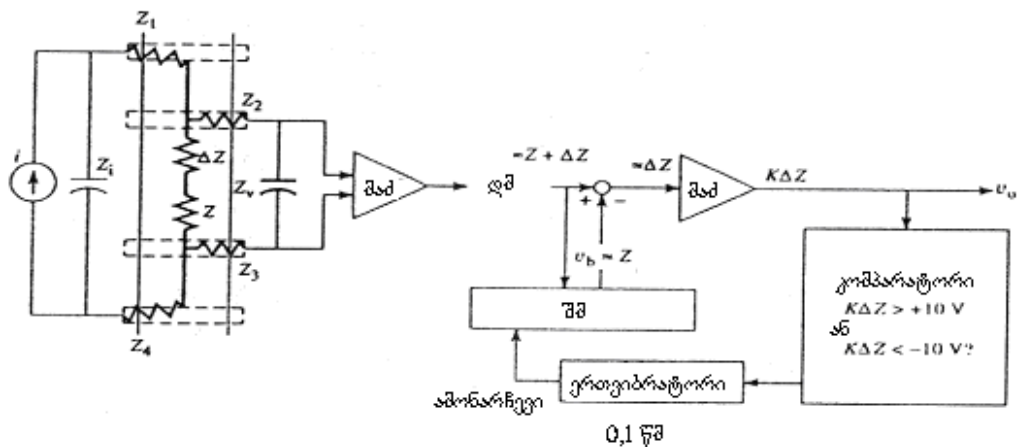
გუდივი დენის გენერატორი

სურ. 6.3.1.-ზე ტეტრაპოლარული იმპენდანსური პლეტიზმოგრაფის ელექტრული შეერთების სქემა. იდეალში, i დენის გენერატორმა უნდა უზრუნველყოს Z ქსოვილის იმპენდანსში მუდმივი დენი, ამ იმპენდანსის ცვლილების ან სხვა იმპენდანსებისაგან დამოუკიდებლად. თუმცა, რეალურ სისტემაში, არსებობს Z_i მაშუნტირებელი იმპენსდანსი, რომელიც წაროქმნილია პარაზიტული მოცულობის ან კაბელის მოცულობის წყალობით. 100 კჰ Ω სიხშირისას, 15 μF ტოლი მოცულობა შეესაბამება 100 კომი რიგის იმპენდანსს. წყაროდან გამოსული მუდმივი დენი იყოფა Z და Z_i იმპენდანსებს შორის და რადგანაც Z_i , ΔZ და Z_4 ის მნიშვნელობები იცვლება, ამიტომაც ფარდობაც, რომელშიც დენი იყოფა Z და Z_i -ს შორის არ არის მუდმივი. ეს არის სერიოზული პრობლემა მეთოდის პრაქტიკული გამოყენებისას, რადგანაც Z_i , ΔZ და Z_4 იმპენდანსების ცვლილება ძალიან მცირეა, ხოლო იმპენდანსი Z კარგად შემუშავებულ ხელსაწყოებში საკმაოდ მაღალია. ამის გარდა, Z და Z_i იმპენდანსები ფაზის მიხედვით გადანაცვლებულია თითქმის 90°-ით, რაც ასევევ ამარტივებს აღნიშნულ პრობლემას. ხშირად დამიწების პარაზიტულ კონტურთან დაკავშირებული პრობლემის აღმოსაფხვრელად, მუდმივ დენს აწოდებენ მაიზოლირებელი მოწყობილების გაცვლით (ტრანსფორმატორი, თუ დენის ხანგრძლივობა არ არის დიდი), რომელსაც გააჩნია გასვლის მცირე მოცულობა (მოცულობა ტრანსფორმატორის ხვიებს შორის).

ძაბვის გამაპლიერებადი

როგორც სურ.6.3.2-დან ჩანს, ძაბვის რეგისტრაციისათვის გამოიყენება Z_2 და Z_3 ელექტროდები. იდეალში ძაბვის მაძლიერებელს უნდა ჰქონდეს საკმაოდ დიდი შემეგალი წინაღობა, იმისათვის, რომ დენი Z_2 და Z_3 წინაღობებში პრაქტიკულად გაუტოლდეს 0-ს. რერალურად კი არსებობს მაშუნტირებელი Z_v იმპენდანსი, რომელიც განპირობებულია პარაზიტული

მოცულობით, ასევე კაბელისა და გამაძლიერებლის მოცულობებით. ამასთან გასაზომი ძაბვა (ძაბვცა რომელიც გამოდის $Z + \Delta Z$ იმპენდანსებიდან) იცვლება Z_2 და Z_3 იმპენდანსების ცვლილებიდან გამომდინარე. ეს საერთოდ არ წარმოადგენს სერიოზულ პრობლემას, რადგან Z_2 და Z_3 იმპენდანსების ცვლილება ძალიან მცირეა, ხოლო იმპენდანსი Z კარგად კონსტრუირებულ ხელსაწყოებში მაღალია. ამის გარდა Z_2 და Z_3 იმპენდანსები, ფაზის მიხედვით Z_i იმპენდანსის მიმართ თითქმის 90° –ით არის გადანაცვლებული, რაც ასევე ამარტივებს პრობლემას. სურ 8.18-ზე არ არის ნაჩვენები სინფაზური მპენდანსები გამაძლიერებლის ყველა შესევალსა და მინას შორის. თუ ხელსაწყო ცუდად არის დაპროექტებული, ამ იმპენდანსებს შორის ბალანსირება იწვევს გაზომვისას შეცდომებს. უმრავლეს შემთხვევაში ძაბვის მიწოდება ხდება მცირე ტევადობის ტრანსფორმატორით, რაც საშუალებას იძლევა გაწყვეტილ იქნას დამიწების პარაზიტული კონტური. განხილული გამაძლიერებლის გაძლიერების კოეფიციენტი შეიძლება არც ისე მაღალი იყოს, რადგან ჩვეულებრივ რეგისტრირებადი ძაბვა ტოლია $V = iZ \approx 0,004 \times 4 = 0,16 \text{ В}$



სურ.6.32.

ტეტრაპოლარულ იმპენდანსურ პლეტიზმოგრაფში დენი მოძრაობს ორ გარეთა ელექტროდს შორის, ხოლო ძაბვის აღქმა ხდება ორი შიდა ელექტროდით. გაძლიერებისა და დემოდულაციის შემდეგ მიიღება სიგნალი, რომლის სიდიდე $(Z + \Delta Z)$ -ის პროპორციულია, სისტემის ნორმალური მუშაობისას ΔZ -ის საძიებელ სიდიდეს დებულობენ დამაბალანსირებელი V_b ძაბვის მიწოდებით. V_0 სიდიდისგაჯერებაზე გასვლისას ირთვება ჩამოყრის ავტომატური სისტემა.

კომპარატორი სიგნალს აწოდებს გამორჩევა-შენახვის მოწყობილობაზე, რომელიც იმასსოვრებს Vibe ძაბვას, რომელიც თავის მხრივ შეესაბამება $(Z+\Delta Z)$ -ის მნიშვნელობას. ამ დროს ხდება საბოლოო V_0 გამაძლიერებლის გამოსავლის 0-ზე დავარდნა. ΔZ -ის მნიშვნელობის შემდგომი ცვლილებები იწვევს V_0 სიდიდის გაზომვას გამაძლიერებლის გაჯერებაზე გასვლის გარეშე.

დემოდულაცია

გამაძლიერებელის გამოსავალზე აღგილი აქვს მაღალსიხშირული სიგნალების არსებობას, დაახლოებით 100 ჰეც, რომლის ამპლიტუდა მოდულირებულია: ΔZ -ის სუსტი სიგნალით. ამ სიგნალის დემოდულაცია შესაძლებელია ამპლიტუდურ-მოდულირებული სიგნალის ნებისმიერი დეტექტორით. ამ მხრივ საუკეთესოა ფაზამგრძნობიარე დეტექტორი, რადგანაც ის არ განიცდის ქსელური ძაბვის სიხშირეზე ხმაურის გავლენას.

ბალანსირების მეთოდი

დემოდულაციის გამოსავალზე სიგნალი შეესაბამება იმპენდანსების $(Z+\Delta Z)$ -ის ჯამს. უფრო ხშირად სასარგებლო ინფორმაციას შეიცავს ΔZ , თუმცა მისი გამოყოფა საკმაოდ ძნელია, რადგანაც შესაძლებელია ის შეადგენდეს Z -ის მეათასედს. ΔZ -ის გამოყოფის ერთ-ერთი მეთოდია მსფ-ს რომელიც ატარებს მხოლოდ 0,05 ჰეც-მდე მარალ სიხშირეებს. ასეთი მეთოდი დამაკმაყოფილებელ შედეგებს იძლევა პულსური არტერიული ცვლილებების გაზომვისას, მაგრამ ის არ გამოდგება სუნთქვასთან ან ვენაში მიმდინარე პროცესებთან დაკაგშირებით. იმისათვის, რომ ხელსაწყომ გაზომოს დაბალსიხშირული ცვლილებები და გამოყოს ΔZ -ის ნელი ცვლილებები, საჭიროა, ისევე როგორც ეს ნაჩვენებია სურ. 6.3.2.-ზე, დემოდულატორის სიგნალს გამოაკლდეს ბალანსირების ვპ ძაბვა. ამ სიდიდის მიწოდება შეიძლება მუდმივი ძაბვის რეგულირებადი წყაროდან, მაგრამ ამ შემთხვევაში i დენის მცირე (შემთხვევითი) ცვლილებები გამოიწვევს შეცდომებს ΔZ სიდიდის გაზომვისას. Vb სიდიდის მიცემის უფრო ხელსაყრელი ხერხია ამ სიდიდის მიღება გამართული სიგნალიდან, რომელიც მიეწოდება i დენის გენერატორიდან. ამ შემთხვევაში სიგნალი იქცევა როგორც უიტსტონის ხიდი: გკვებავი დენის ცვლილებები არ იწვევენ ხიდის ბალანსის დარღვევას.

თუმცა არსებობს კიდევ ერთი პრობლემა. იმ შემთხვევაში, როდესაც ელექტროდები ახალდადებულია ან პაციენტი ინძრევა, ხდება Z სიდიდის ისეთი ცვლილება, რომელიც აღემატება ΔZ სიდიდეს. იმისათვის, რომ გამოირიცხოს ΔZ სიდიდის მუდმივი შემადგენენლიო (რომელმაც შეიძლება გამოიწვიოს გამაძლიერებლის გაჯერება), ოპერატორმა ხელით უნდა დააყენოს Vb -ს საჭირო მნიშვნელობა. იმისათვის, რომ თავიდან აცილებულ იქნას ხელით დაყენების პროცედურა, შემუშავებულ იქნა ავტომატური ჩამოყრის სისტემა .იმ შემთხვევაში როდესაც ΔZ -ის რეგისტრირებადი სიდიდე არის იმდენად მაღალი, რომ იწვევს გამაძლიერებლის გაჯერებაზე გასვლას. გამორჩევა-შენხვის სქემა აყენებს $Vb = Z + \Delta Z$, რაც ჩამოყრის ΔZ -ის სიდიდეს ნულზე. ჩანაწერზე ასეთოი სწრაფი ჩამოყრა ადვილი შესამჩნებია, რადგან ის განსხვავდება ნელა მიმდინარე ფიზიოლოგიური ცვცლილებებისაგან. არსებობს იმპენდანსური პლეტიოზმოგრაფის ავტომატური ბალანსირების სისტემის დაწვრილებითი აღწერა (Shankar, Webster, 1985).

6.4. იმპენდასური პლეტიზმოგრაფიის გამოყენება

იმპენდანსური პლეტიზმოგრაფია გამოიყენება ქსოვილთა მოცულობის სხვადასხვა ცვლილებების გასაზომად (Geddes, Baer, 1989). თუ ელექტროდებს დააყენებენ პაციენტის ფეხებზე, შესაძლებელია დადგინდეს შეესაბამება თუ არა ნორმას მოცულობების პულსაცია კიდურებში. თუ ერთ კიდურში პულსური მრუდის ამპლიტუდა გაცილებით ნაკლებია, ვიდრე მე-2 კიდურში, ეს მიუთითებს პირველ კიდურში სისხლძარღვების ობსტრუქციაზე. თუ პულსაციის ამპლიტუდა შემცირებულია ორივე კიდურში, ეს მიუთითებს ორივე კიდურის მკვებავი პროქსიმალური სისხლძარღვების ობსტრუქციაზე. კლინიკაში ყველაზე ფართო გავრცელება პპოვა ვენების ტრომბოზების განსაზღვრის არაინვაზიურმა მეთოდმა, რომელიც დაფუძნებულია ვენოზურ ოკლუზიურ პლეტიზმოგრაფიაზე. იმპენდანსური პლეტიზმოგრაფიით (სურ. 6.1.1.) განხორციელებული მოცულობების ცვლილებების შეფასება საშუალებას იძლევა აცილებულ იქნას დიდი ზომის პლატიზმოგრაფიული კამერებისა და მანქეტების გამოყენების აუცილებლობა (სურ. 6.1.2.).

გულმკერდის დრუს ორივე მხარეზე დადებული ელექტროდები იძლევიან ზუსტ მონაცემებს სუნთქვით მოძრაობებზე, თუმცა ამ მეთოდით გაზომილ სუნთქვითი მოცულობების ცვლილება შედარებით არაზუსტია. ელექტრული იმპენდანსის ტრანსტორაქსულ გაზომვას ფართოდ იყენებენ ბავშვებში სუნთქვის გაჩერების მონიტორინგისას, რაც უკარი სიკვდილის სინდრომის პროფილაკტიკის საშუალებას იძლევა. კარდეიოგენული და მოძრაობასთან დაკავშირებული არტეფაქტების გაფილტვრისას, კომპიუტერულ ალგორითმებში იყენებენ ჩვენების გამოცნობის მეთოდებს, მაგ: ზღვრის გადიდება, ადაპტიური ზღვარი და მაქსიმალური მნიშვნელობების განსაზღვრა (Neuman, 1988).

ელექტროდების დადება კისრისა და წელის ირგვლი, საშუალებას იძლევა ელექტრული დენი გატარდეს მსხვილ სისხლძარღვებში, რომლებიც უშუალოდ არიან გულთან დაკავშირებული. ამგვარად რეგისტრირებული იმპენდანსის ცვლილებებით შესაძლებელია გულის დარტყმითი გამოტყორცნების დრმა შეფასება (Kubieek et al. 1970). დაწვრილებითი მიმოხილვა იმპენდანსური კარდიოგრაფიის საშუალებით მოცემულია შრომაში (Mohapatra, 1988). იმპენდანსური კარდიოგრაფიის სიგნალები მიდებულ იქნა ელექტროდების კისერზე, გულმკერდის დრუს ზედა და ქვედა ნაწილზე

დადებით პაციენტებზე, რომლებიც იმყოფებოდნენ ზურგზე მწოლიარე და მჯდომიარე მდგომარეობებში, ასევე პაციენტებზე, რომლებიც ასრულებდნენ კელოერგომეტრზე დატვირთვის ტესტს (Patterson et al., 1991). წერტილოვან ელექტროდებს განალაგებენ სხვანაირად, ვიდრე ლენტურ ელექტროდებს და არ იძლევიან საშუალებას ზუსტად გაიზომოს გულის სისტოლები, მაგრამ მისაღებად აფასებენ რეგიონალური სისხლდენის სიდიდეებს. ლენტური ელექტროდების გამოყენება უპრიანია ჯანმრთელ ადამიანებთან მიმართებაში, ხოლო მძიმედ ავადმყოფი პაციენტების გული სისტოლების შესაფასებლად სრულიად გამოუსადეგარია.

მიუხედავად იმისა, რომ Nyboer-ი (1970) და სხვა ავტორები ამტკიცებენ, რომ იმპენდანსური პლეტიზმოგრაფიის გამოყენება შეიძლება კიდურებში სისხლდენის შესაფასებლად, Swanson-მა აჩვენა, რომ ეს მეთოდი მსგავსი ამოცანების გადასაწყვეტად გამოუსადეგარია.

შესაძლებელია მარცხენა პარკუჭში რვაელექტროდიანი კათეტერის შეყვანა, დენის გატარება პირველ და მერვე ლენტურ ელექტროდს შორის და ძაბვის წყვილწყვილად გაზომვა ელექტროდებს შორის. იმპენდანსის ცვლილებებიდან გამომდინარე შესაძლებელია დროში პარკუჭის მოცულობის ცვლილების განსაზღვრა ხოლო ამ მონაცემებიდან წუთის განმავლობაში სისხლდენის მოცულობის შესახებ ინფორმაციის მიღება. წნევა-მოცულობა მრუდის ქვეშ ფართობის განსაზღვრა საშუალებას იძლევა გაიზომოს მარცხენა პარკუჭშის მუშაობა ერთი დარტყმის განმავლობაში.

ზოგიერთი ავტორი ამტკიცებს, რომ კიდურებს შორის იმპენდანსის გაზომვით შესაძლებებლია გამოსაკვლევ სხეულში წყლისა და ცხიმის მოცულობების განსაზღვრა. ტუმცა მტევანსა და ტერფს შორის გაზომილი იმპენდანსი, ძირითადად განისაზღვრება ხელისა და ფეხის იმპენდანსების სიდიდით, ხოლო ამ იმპენდანსში ტორსის შენატანი, რომელიც სხეულის საერთო მასის ნახევარს შეადგენს 5%-ზე ნაკლებია. თუმცა თუ ხელის, ფეხის და ტორსის იმპენდანსები გაიზომება ცალ-ცალკე, შესაძლებელია შესაფასებლად უფრო ვარგისი შედეგების მიღება (patterson, 1989).

N ელექტროდების საშუალებით მიღებული დამოუკიდებენლი გაზომვების რაოდენობა ტოლია N(N-1)/2. თუ გულმკერდის ღრუს პერიმეტრზე დადებული იქნება 16 ელექტროდი მაშინ შესაძლებელია 120 დამოუკიდებელი გაზომვის მიღება და ამ მონაცემებით გულმკერდის ღრუს შიგნით წინაღობების განაწილების ორგანზომილებიანი სურათის შექმნის მცდელობა. ასეთი

სურათის შესაქმნელად ვარგისი ელექტრული დენის მიწოდების, ელექტროდებს შორის ძაბვის გაზომვისა და ოპტიმიზაციური მარეკონსტრუირებელი ალგორითმი მოქმედია Webster-ის (1990) შრომაში.

თუმცა ასეთი სურათის მოცულობითი ეფექტურობა სულ რაღაც 10 %-ის მიუხედავად ამისა იმპენდანსური პლეტიზმოგრაფია სასარგებლო შეიძლება იყოს პნევმონიის განვითარების შესაფასებლად, კუჭის შიგთავსის ევაკუაციის სიჩქარის გასაზომად, სუნთქვის პროცესის მონიტორინგისათვის.

ასეთი იმპენდანსური პლეტიზმოგრაფიის დადებით მხარეს შეიძლება მივაკუთვნოთ მისი არაინვაზიურობა და გამოყუენების სიმარტივე. მერთოდის უარყოფითი მხარე მრავალი ამოცანის გადასაწყვეტად საჭირო სიზუსტის უქონლობა და ის გარემოება, რომ ბევრ შემთხვევაში უცნობია მიზეზები, რომლებიც იწვევენ იმპენდანსის ამა თუ იმ ცვლილებებს.

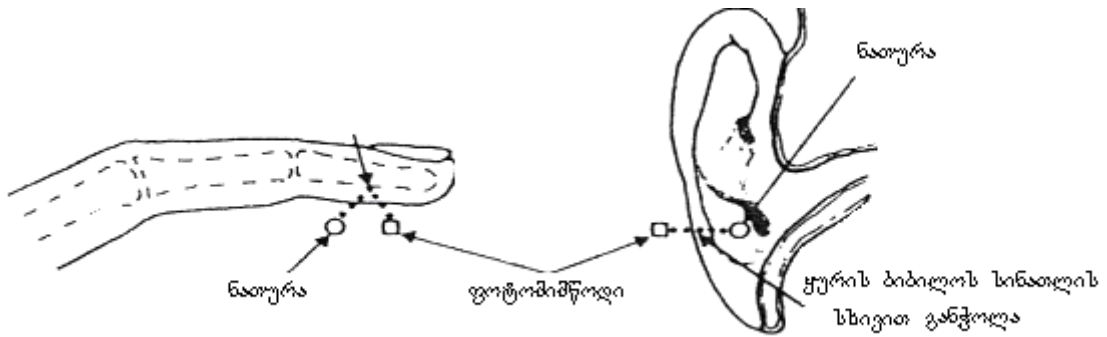
6.5 ფოტოპლეტიზმოგრაფია

ფოტოპლეტიზმოგრაფიას საფუძვლად უდევს სინათლის გატარება კაპილარულ არხში. არტერიული წნევის პულსაციის დროს კაპილარული არხი ივება სისხლით, რაც იწვევს სისხლძარღვების მოცულობის გაზრდას, რაც თავის მხრივ ცვლის მოცემულ უბანში სინათლის შთანთქმის, არეკვლისა და გაბნევის მახასიათებლებს. თუმცა მიუხედავად იმისა, რომ ფოტოპლეტიზმოგრაფია არის შედარებით სწრაფი მოვლენების რეგისტრაციის საკმაოდ მარტივი მეთოდი, ის ვერ იძლევა მოცულობის ცვლილების საკმაოდ ზუსტად განსაზღვრის საშუალებას. ამის გარდა, ფოტოპლეტიზმოგრაფია ძალიან მგრძნობიარება მოძრაობის არტეფაქტების მიმართ.

სინათლის ფაროვანი

სურ. 6.5.1-ზე ნაჩვენებია ფოტოპლეტიზმოგრაფიული მეთოდის ორი რეალიზაცია, რომლებშიც წყაროს მიერ გამოსხივებული შუქი გადის საკვლევ ქსოვილში (Geddes, Baker, 1989). შუქის წყაროს შესაძლებელია პატარა კოლფრამის ნათურის გამოყენება, თუმცა გასათვალისწინებელია ის, რომ მის მიერ წარმოებული სითბო იწვევს კაპილარების გაფართოებას, რაც ცვლის საკვლევის ობიექტის მდგომარეობას. ასეთი ზეგავლენა შეიძლება დადებითადაც ჩაითვალოს რადგან ვაზოდილატაციის დროს იზრდება სისხლძარღვების გაფართოების პულსური ამპლიტუდა. ზომით უფრო პატარა სინათლის წყაროს შექმნა შეიძლება გალიუმის არსენიდიანი შუქდიოდის

გამოყენებით (Lee, et al.1975), რომელიც იძლევა 940 ნმ სპექტრული მაქსიმუმის მქონე ვიწროზოლიან გამოსხივებას (სურ.6.5.1ა).



სურ. 6.5.1.

(ა), სინთლე, რომელიც გადის თითის ბალიშში, აირეკლება ძვლიდან და აღიქმება ფოტომიმღებით. (ბ) სინათლე გადის ყურის ნიჟარაში და აღიქმება ფოტომიმღებით.

ფოტომიმღებები

ადრე სინათლის მიღებებად იყენებდნე ფოტორეზისტორებს. მათ არა მხოლოდ დიდი ზომა ჰქონდათ არამედ იცვლიდნენ მგრძნობელობასაც სინათლით დასხივების შემდეგ. ამის გარდა, ფოტორეზისტორების გამოყენებისას საჭიროა შუქფილტრიც, რომელიც შეზღუდავს მიმღების მგრძნობელობას ინფრაწიგელი სპექტრის მახლობელი სისშირების სინათლისათვის. ამ ფილტრის გარეშე, სისხლის გაჯერება უანგბადით, რომელიც ყველაზე კარგად ხილულ უბანში ჩანს, იწვევს მიმღების მგრძნობელობის შეცვლას.

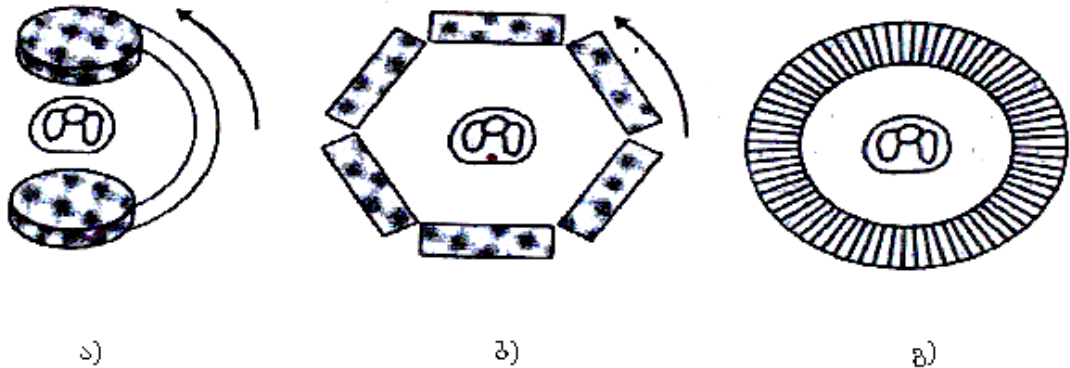
უფრო მცირე ზომის მიმღებებს აკეთებენ სილიციუმიანი ფოტოტრანზისტორების საფუძველზე. მიმღებების ყველა ტიპთან სასურველია ფილტრების გამოყენება, რომლებიც ატარებენ მხოლოდ ინფრაწიგელ გამოსხივებას და იცავენ მიმღებს ორმაგი ქსელური სისშირის 100 კც-ს ტოლი დამიზნების გამომწვევი ლუმინესცენტური განათებისაგან. ასეთი ფილტრი არ უშლის მზის ან გარგარიანი ნატურების შუქის გატარებას, რომლებსაც შეუძლიათ ნულოვანი ხაზის გადაწევა. ამის გამო ფოტოპლეტიზმოგრაფებს მოყვება შუქისათვის შეუდწევადი სპეციალური ყუთები (ჩაჩები).

ელექტრული სემაგი

მიმდების გამოსასვლელი სიგნალი წარმოადგენს გამავალი შუქის ძლიერ სიგნალს (საბაზო ხაზი), რომელიც მოდულირებულია საკვლევ ქსოვილში სისხლის პულსაციით გამოწვეული ძალიან სუსტი სიგნალით. იმისათვის რომ გამოყონ ეს სუსტი სიგნალი საბაზო ხაზის ძლიერი სიგნალიდან, იყენებენ მსფ-ს, რომელიც ატარებს 0,05 ჰე-ზე უფრო მაღალი სიხშირის სიგნალებს. გაფილტრულ სიგნალს აძლიერებენ რათა მიიღონ სისხლის მოცულობის პულსაციის საკმაოდ მაღალამპლიტუდური სიგნალი. პლეტიზმოგრამის რეგისტრაციის დროს, საკვლევი ქსოვილის ნებისმიერი მოძრაობა იწვევს საბაზო ხაზის ისეთ ცვლილებებს, რომელიც მრავალჯერ აღემატება პულსაციასთან პულსაციის სიგნალს. ეს, მოძრაობასთან დაკავშირებული დიდი არტეფაქტები იწვევენ გამაძლიერებლის გაჯერებას, ამიტომ ელექტრულ სქემაში გასათვალისწინებელია საშუალება, რომელიც სწრაფად დააბრუნებს ხელსაწყოს სასარგებლო გამომავალი სიგნალის რეგისტრაციისკენ.

გამოშენება

ფოტოპლეტიზმოგრაფია შეიძლება გამოყენეულ იქნას მოსვენების მდგომარეობაში მყოფი პაციენტებისათვის გულის შეკუმშვების რეგისტრაციის მიზნით. ამ შემთხვევაში მეთოდის გამოყენების უპირატესობა მდგომარეობს იმაში რომ რეგისტრირდება გულის რეალური შეკუმშვები, და არა ელექტროკარდიოგრამის სიგნალები. სათანადო დონეზე დაცული პლეტიზმოგრაფი არ არის მგძნობიარე გვერდით მომუშავე ელექტროქირუგიული ხელსაწყოებისადმი, რომელთა გამოყენება ჩვეულებრივ შეუძლებელს ხდის ელექტროკარდიოგრაფიის გამოყენებას. თუმცა თუ პაციენტი იმყოფება შოკის მდგომარეობაში, მაშინ ამ დროს წარმოქმნილმა გაზოკონსტრიქციამ შეიძლება გამოიწვიოს პერიფერიული სისხლდენის ისეთი შემცირება და შესაბამისად ფოტოპლეტიზმოგრაფიის გამომავალი სიგნალის ისეთი დასუსტება, რომ ეს მეთოდი გამოუსადევარი ხდება. ასეთი სიტუაციის გამორიცხვის მიზნით, ახდენენ ცხვირის ძგიდეში გამავალი შუქის რეგისტრაციას. ასეთი მიდგომისას ფასდება შიდა საძილე არტერიის ტერმინალური განშტოებების პულსური ცვლილებები, და შესაბამისად ხელსაწყოდან გამომავალი სიგნალი კორელირებს ტვინის სისხლის დინების სიდიდესთან.



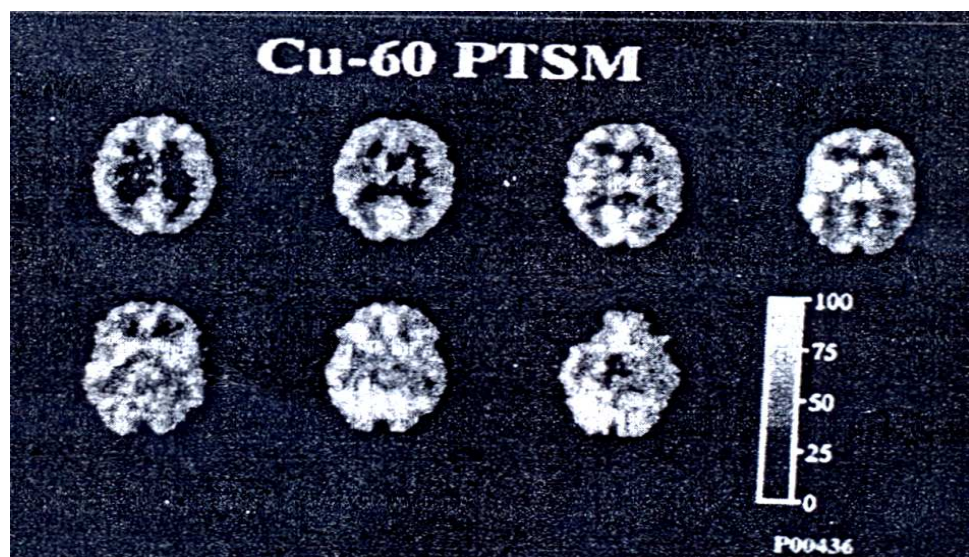
სურ. 6.8.1.

ციკლურ-წრიული პ.ე.ტ. – კამერის კონსტრუქციის ევოლუცია. ა) პეპსოგონალური (ბ) წრიული კამერები, რომლებიც პაციენტის ირგვლივ ბრუნავს. წრიული დეტაქტორების ნაკრები (დ) არ ბრუნავს, მაგრამ შეუძლია ოდნავ მობრუნება იმ ზომით, რომ შეავსოს დეტაქტორებს შორის სივრცე. წრიული კამერის ნახევრად გამტარი დეტაქტორი გაერთიანებულია კოლიმატორთან და კონსტრუქციით ჰგავს დეტაქტორებს, რომელსაც კომპიუტერულ ტომოგრაფიაში გამოიყენებენ. პ.ე.ტ.-ის უპირატესობა ჩვეულებრივი რადიოლოგიურ გამოკვლევებთან შედარებით, გამოიხატება იმაში, რომ ჭრილის გამოსახულება მკვეთრია. ემიტერები ჭარბადაა, რომელიც შეიძლება დამზადდეს მეტაბოლიტების ფორმით. რაოდენობრივი გაზომვები პ.ე.ტ.-ში გამოიხატება ემიტერის პოზიტრონის კონცენტრაციის განსაზღვრით ქსოვილში. ფაქტიური კონცენტრაცია, რომ მივიღოთ პ.ე.ტ.-კამერის დაკალიბრება აუცილებელია. პ.ე.ტ.-ის კამერა შეიძლება გამოვიყენოთ ქსოვილის კონცენტრაციის შესასწავლად თავისუფალ ერთეულებში. ტომოგრაფიის შემდეგ სისხლის ნიმუში მოკლე დროში შეიძლება მოვათავსოთ სცინტილაციურ მოვლენაში. ეტალოს სიდიდის გამოსაანგარიშებლად ქსოვილში აქტიურობის შედარებისა სისხლთან გვაძლევს იზოტოპიური შთანთქმის კოეფიციენტს. ამ მეთოდით იქნა გაზომილი ლოკალური ტვინის სისხლის მოცულობა და მისი აქტივობა.

ტვინის სხვადასხვა ნაწილები სხვადასხვანაირად მოქმედებს სტიმულებზე. პოზიტრონული ემისიური ტომოგრამა აჩვენებს ამ აქტიურობას

(ნახ.12.25.) ნორმალური თავის ტვინი გენერაციას უკეთებს ტვინის აქტიობის გამოსახულებას. ცერებრალური პათოლოგიები, სიმსივნე, ინსულტი და სხვა ანომალიები.

იზოტოპის შეყვანის ერთ-ერთი მეთოდი, ტვინის შესაბამისი გამოსახულების მისაღებად, არის პაციენტის მიერ ჰაერის ღრმად შესუნთქვა, რომელიც შეიცავს CO-ს რადიოაქტიური იზოტოპით ^{11}C ასეთი სახის იზოტოპები ბუნებაში არ არსებობენ და შეიძლება შეიქმნას პატარა ციკლოტრონში. ეს მიიღება ბირთვში პროცენის შეყვანით, რომელიც შემდეგ უშვებს ალფა ნაწილაკს ან ნეიტრონს. ზოგიერთი ელემენტისათვის დარჩენილი ბირთვი არასტაბილურია და მოკლე დროში უშვებს პოსიტრონს. მაგ; ^{11}C აქვს ნახევრად დაშლის პერიოდი 24 წუთში. ნახევრად დაშლის მოკლე პერიოდი ნიშნავს, რომ იზოტოპი უნდა მომზადდეს უშუალოდ გამოკვლევის წინ. რადიონუკლიდის დაშლა ხდება სწრაფად და პაციენტი იწმინდება ემიტერისაგან, რომელიც ფლობს მაღალ აქტივობას გარკვეული დროის განმავლობაში, რაც საკამრისია გამოსახულების მისაღებად. ორგანიზმის გაწმენდა იზოტოპებისაგან განისაზღვრება, როგორც რადიოაქტიური დაშლა, ან ბილოგიური გამოყვანა.



სურ. 6.8.2.

თავის ტვინის პოზიტრონული ემისიური ტომოგრამა.

ლიტერატურა:

1. J. Dyo. The Clinical Engineering Handbook Academic Press. The Biomedical Engineering. Series 2008;
2. Biomedical Engineering Handbook. Third Edition. -4. 232pp;
3. Н.А. Кореневский, Е.П. Попечителев, С.А. Филист Проектирование электронной медицинской аппаратуры для диагностики и лечебных воздействий;
4. Джозеф П. Хорнак, Основы МРТ. Copyright © 1996-2007;
5. Марусина М.Я., Казначеева А.О. Современные Виды Томографии. СПб., 2006. 152стр.